



11 Número de publicación: 2 368 700

(51) Int. CI.: C07K 16/28 (2006.01) A61K 39/395 (2006.01) C12N 15/02 (2006.01) A61K 31/4184 (2006.01) A61P 35/02 (2006.01)

12 TRADUCCIÓN DE PATENTE EUROPEA

Т3

- 96 Número de solicitud europea: 09707110 .4
- 96 Fecha de presentación: 11.04.2009
- Número de publicación de la solicitud: 2132228
 Fecha de publicación de la solicitud: 16.12.2009
- (54) Título: AGENTE INMUNOTERAPÉUTICO PARA CD37 Y COMBINACIÓN CON UN AGENTE QUIMIOTERAPÉUTICO BIFUNCIONAL DEL MISMO.
- 30 Prioridad: 11.04.2008 US 190067 P

(73) Titular/es:

Emergent Product Development Seattle, LLC 2401 Fourth Avenue Suite 1050 Seattle WA 98121, US

- 45 Fecha de publicación de la mención BOPI: 21.11.2011
- (72) Inventor/es:

TAN, Philip; SIMON, Sandy, Alexander; BRADY, William; LEDBETTER, Jeffrey, A.;

HAYDEN-LEDBETTER, Martha, Susan y MORALES, Cecile

- 45 Fecha de la publicación del folleto de la patente: 21.11.2011
- (74) Agente: de Elzaburu Márquez, Alberto

ES 2 368 700 T3

Aviso: En el plazo de nueve meses a contar desde la fecha de publicación en el Boletín europeo de patentes, de la mención de concesión de la patente europea, cualquier persona podrá oponerse ante la Oficina Europea de Patentes a la patente concedida. La oposición deberá formularse por escrito y estar motivada; sólo se considerará como formulada una vez que se haya realizado el pago de la tasa de oposición (art. 99.1 del Convenio sobre concesión de Patentes Europeas).

DESCRIPCIÓN

Agente Inmunoterapéutico para CD37 y Combinación con un Agente Quimioterapéutico Bifuncional del Mismo

ANTECEDENTES

Campo Técnico

15

20

La presente descripción proporciona generalmente composiciones y su uso en métodos para tratar trastornos de las células B y, más específicamente, una molécula inmunofarmacéutica modular pequeña (SMIP) anti-CD37 humanizada, así como terapias combinadas sinérgicas de moléculas de unión específica a CD37 con agente quimioterapéuticos bifuncionales para su uso en el tratamiento o la prevención de enfermedades auto-inmunitarias, inflamatorias, o hiperproliferativas relacionadas con las células B.

10 Descripción de la Técnica Relacionada

El sistema inmunitario humano protege generalmente el organismo de sustancias foráneas invasoras y patógenos. Un componente del sistema inmunitario son los linfocitos B, también referidos como células B, que producen anticuerpos que protegen el organismo uniéndose a, y en algunos casos mediando la destrucción de, una sustancia foránea o patógeno. En algunos casos, no obstante, las funciones del sistema inmunitario pueden fracasar y producir enfermedades. Por ejemplo, existen numerosos cánceres, enfermedades autoinmunitarias, y enfermedades inflamatorias que implican proliferación no controlada de células B.

Las células B pueden ser identificadas por las moléculas de su superficie celular, tales como CD37. CD37 es una proteína de 40-52 kDa altamente glicosilada que pertenece a la familia de los antígenos de la superficie celular transmembrana de la tetraspanina, que es altamente expresada sobre células B productoras de anticuerpos normales pero no sobre pre-células B o células plasmáticas. Además de las células B normales, casi todas las malignidades con origen en las células B son positivas para la expresión de CD37, incluyendo la leucemia linfocítica crónica (LLC), el linfoma no Hodgkins (LNH), y la leucemia de las células pilosas (Moore et al., J. Pathol. 152:13 (1987); Merson y Brochier, Immunol. Lett. 19:269 (1988); y Faure et al., Am. J. Dermatopathol. 12:122 (1990)).

Se han desarrollado algunas terapias específicas para CD37. Un anticuerpo monoclonal murino IgG1 específico para CD37, MB-1, se marcó con I¹³¹ y se sometió a ensayo en una prueba clínica en el tratamiento del LNH (véase Press et al., J. Clin. Oncol. 7:1027 (1989); Bernstein et al., Cancer Res. (Suppl.) 50:1017 (1990); Press et al., Front. Radiat. Ther. Oncol. 24:204 (1990); Press et al., Adv. Exp. Med. Biol. 303:91 (1991) y Brown et al., Nucl. Med. Biol. 24:657 (1997)). El anticuerpo MB-1 carece de funciones efectoras Fc, tales como citotoxicidad celular dependiente de anticuerpo (CCDA), y el anticuerpo MB-1 desnudo no inhibió el crecimiento tumoral en un modelo de xenoinjerto *in vivo* (Buchsbaum et al., Cancer Res. 52:6476 (1992)). Además, se administró un producto inmunoconjugado que tenía adriamicina ligada a G28-1, otro anti-CD37 monoclonal murino, a ratones y se demostró que era internalizado con adriamicina siendo liberado intracelularmente (véase, Braslawsky et al., Cancer Immunol. Immunother. 33:367 (1991)). Una proteína de fusión diseñada, denominada producto inmunofarmacéutico modular pequeño (SMIP®), dirigido a CD37 está siendo sometida a ensayo en la actualidad en seres humanos (véase, p. ej., Publicaciones de las Solicitudes de Patente de los Estados Unidos 2003/0133939 y 2007/0059306).

Aunque se ha llevado a cabo una investigación exhaustiva sobre las terapias basadas en anticuerpos, sigue existiendo la necesidad en la técnica de composiciones y métodos alternativos y mejorados para tratar los trastornos y enfermedades asociados con las células B.

La presente invención proporciona una molécula de unión específica a CD37 que comprende la secuencia de aminoácidos mostrada en el SEQ ID NO: 253.

En ciertas realizaciones, la molécula de unión específica a CD37 consiste esencialmente en la secuencia de aminoácidos mostrada en el SEQ ID NO: 253.

En ciertas realizaciones, la molécula de unión específica a CD37 consiste en la secuencia de aminoácidos mostrada en el SEQ ID NO: 253.

45 En un aspecto relacionado, la presente invención también proporciona una molécula de ácido nucleico aislada que comprende una secuencia de nucleótidos que codifica una molécula de unión específica a CD37 humanizada de la presente invención.

En otro aspecto relacionado, la invención proporciona un vector que comprende una molécula de ácido nucleico aislada que codifica una molécula de unión específica a CD37 humanizada de la presente invención.

50 En otro aspecto relacionado, la invención proporciona una célula anfitriona que comprende el vector descrito más arriba.

La invención también proporciona una composición que comprende una molécula de unión específica a CD37 humanizada de la presente invención y un portador farmacéuticamente aceptable.

En otro aspecto, la presente invención proporciona el uso de los compuestos de la invención en un método para reducir las células B o tratar una enfermedad asociada con la actividad aberrante de las células B, que comprende administra a un sujeto que lo necesite, una cantidad eficaz de una molécula de unión específica a CD37 humanizada proporcionada en la presente memoria.

- En ciertas realizaciones, la enfermedad asociada con la actividad aberrante de las células B es un linfoma de células B, una leucemia de células B, una enfermedad caracterizada por la producción de auto-anticuerpos, o una enfermedad caracterizada por la estimulación inapropiada de células T asociada con una ruta de células B.
- En ciertas realizaciones, la enfermedad caracterizada por la producción de auto-anticuerpos es una miopatía inflamatoria idiopática, artritis reumatoide, miastenia grave, enfermedad de Graves, diabetes melitus de tipo I, esclerosis múltiple, una enfermedad auto-inmunitaria, dermatomiositis, polimiositis, o macroglobinemia de Waldenstrom.

En ciertas realizaciones, la enfermedad asociada con la actividad aberrante de las células B es la leucemia linfocítica crónica (LLC).

15 BREVE DESCRIPCIÓN DE LOS DIBUJOS

20

25

30

35

40

45

50

La Figura 1 muestra los alineamientos de las secuencias de aminoácidos de la región variable de la cadena pesada y ligera de las secuencias G28.1 y CAS-024 de ratón, junto con una secuencia identidad consenso.

Las Figuras 2A-2D muestran los cromatogramas de la cromatografía de exclusión por tamaños (SEC) de CAS-001, CAS-002, CAS-003, y CAS-024. Los picos de interés (PDI) tienen 98-99% de moléculas SMIP que están siendo purificadas. CAS-024 tiene un pico muy agudo y simétrico (que indica homogeneidad), mientras los picos de CAS-001, CAS-002, y CAS-003 tienen un hombro ligero (donde después de la integración, el hombro representa aproximadamente un 35% de PDI), lo que indica una población heterogénea de moléculas.

La Figura 3 es un gráfico que muestra cómo compiten diferentes proteínas SMIP específicas anti-CD37 con la molécula CAS-006 parental (proteína SMIP anti-CD37 quimérica, mVLmVH) por la unión a CD37 sobre células Ramos, lo que proporciona una indicación de la afinidad de la unión en comparación con la molécula parental. CAS-024 (hVHhVL) tiene sustancialmente la misma afinidad por CD37 que CAS-006, mientras las otras moléculas (CAS-001, CAS-002, y CAS-003, todas hVLhVH) tienen un descenso de afinidad de 2 a 4 veces.

Las Figuras 4A y 4B son gráficos de análisis competitivo por la unión adicionales frente a CAS-006 (marcada como SMIP-016 en estos gráficos). Aquí, las moléculas SMIP híbridas de ratón-humano (CAS-014 mVHhVL y CAS-017 hVLmVH) tienen una afinidad que es superior a CAS-006, mientras CAS-024 muestra la misma afinidad de unión que CAS-006 y CAS-003 (hVLhVH) tiene una afinidad de unión inferior.

Las Figuras 5A-5E muestran la unión competitiva entre varios anticuerpos anti-CD37 diferentes y CAS-006 (una molécula SMIP anti-CD37 quimérica).

Las Figuras 6A y 6B demuestran que CAS-024 era estadísticamente superior a Rituxán® en el tratamiento *in vivo* de un modelo animal de linfoma folicular como se muestra por medio de (A) la tasa de supervivencia y (B) el porcentaje sin tumores.

La Figura 7 demuestra que CAS-024 actúa sinérgicamente con los agentes quimioterapéuticos fludarabina y vincristina para eliminar las células del linfoma de células del manto (LCM), células Rec-1.

La Figura 8 es un gráfico de barras que muestra el nivel de agotamiento de los linfocitos de sangre periférica en pacientes humanos tratados con una molécula SMIP anti-CD37 de esta descripción.

La Figura 9 muestra el agotamiento de los linfocitos y el transcurso del tratamiento para el paciente BJB. BJB (parte de la Cohorte 7) se trató con 3,0 mg/kg los días 1, 3 y 5 la primera semana seguido de 3 dosis semanales en el primer ciclo, y este mismo tratamiento se administró en un segundo ciclo. El paciente BJB mostró una caída espectacular de linfocitos (en 48 horas), mostró un descenso palpable en los gánglios linfáticos alrededor del día 4, y continuó respondiendo al tratamiento.

La Figura 10 muestra el agotamiento de los linfocitos y el transcurso del tratamiento para el paciente GRP. GRP (parte de la Cohorte 4) se trató con 1,0 mg/kg una vez a la semana durante cuatro semanas como primer ciclo, y después dos meses más tarde se trató de la misma manera en un segundo ciclo. El paciente GRP mostró una caída espectacular de linfocitos (en 2 semanas), mostró un descenso del 36% en el tamaño del gánglio linfático mediante TC, un descenso en el tamaño del bazo, una mejora en el nivel de hemoglobina, y continuó respondiendo al tratamiento.

La Figura 11 muestra un gráfico del índice de combinación (IC) para los efectos inhibidores de CAS-024 y bendamustina frente al crecimiento de células Rec-1.

La Figura 12 muestra los efectos inhibidores del clorambucilo solo y combinado con CAS-024 sobre el crecimiento de células SU-DHL-6.

La Figura 13 muestra un gráfico del índice de combinación para los efectos inhibidores de CAS-024 y clorambucilo sobre el crecimiento de células SU-DHL-6.

- La Figura 14A muestra comparaciones del volumen del tumor en ratones que portan tumores como resultado de inyecciones de células DOHH2 y tratados con posterioridad con hulgG (IgG Humana, R&D Systems), CAS-024, bendamustina, y la combinación de CAS-024 y bendamustina. La Figura 14B muestra el volumen del tumor en ratones individuales el día 13 con respecto al día 0.
- La Figura 15 muestra los volúmenes tumorales medios a lo largo del tiempo en ratones portadores de tumores como resultado de inyecciones de células DOHH2 y tratados con posterioridad con hulgG, CAS-024, bendamustina, y la combinación de CAS-024 y bendamustina. Los valores son la media ± el error típico de la media para cada día medido. Las curvas para cada grupo terminan después de que uno o más de los ratones del grupo fueran sometidos a eutanasia.
- La Figura 16 muestra los porcentajes de supervivencia a lo largo del tiempo de ratones portadores de tumores como resultado de inyecciones de células DOHH2 y tratados con posterioridad con hulgG, CAS-024, bendamustina, y la combinación de CAS-024 y bendamustina.

La Figura 17 muestra la incidencia de ratones libres de tumores a lo largo del tiempo después de los tratamientos con hulgG, CAS-024, bendamustina, y la combinación de CAS-024 y bendamustina.

DESCRIPCIÓN DETALLADA

55

En un aspecto, la presente invención proporciona la molécula de unión específica a CD37 CAS-024 (SEQ ID NO: 253), que es una versión humanizada de CAS-006 (una proteína inmunofarmacéutica modular pequeña (SMIP) que tiene las regiones variables de inmunoglobulina del anticuerpo monoclonal anti-CD37 humano de ratón G28-1). La proteína SMIP CAS-024 inesperadamente es (1) expresada hasta unos niveles máximos de aproximadamente 25 veces superiores a los de las versiones humanizadas de CAS-006 (tales como CAS-002, CAS-003; véanse los Ejemplos 2 y 5), (2) capaz de unirse a CD37 así como a CAS-006 mientras otras versiones humanizadas no (véanse los Ejemplos 4 y 5), y (3) producida en forma de una población homogénea de moléculas en comparación con la naturaleza heterogénea de otras versiones humanizadas (véase el Ejemplo 3). Adicionalmente, la presente descripción proporciona la molécula de unión específica a CD37 CAS-024 (SEQ ID NO: 253) para su uso en los métodos para reducir las células B o tratar enfermedades asociadas con la actividad aberrante de las células B que comprende administrar a un sujeto que lo necesite una cantidad eficaz de CAS-024 proporcionada en la presente memoria.

Antes de la exposición de esta descripción con mayor detalle, puede resultar útil comprender la misma para proporcionar definiciones de ciertos términos que se van a utilizar en la presente memoria. Las definiciones adicionales se exponen a lo largo de toda esta descripción.

- 35 En la presente descripción, se debe entender que cualquier intervalo de concentraciones, intervalo de porcentajes, intervalo de proporciones, o intervalo de números enteros incluye el valor de cualquier número entero dentro del intervalo citado y, cuando sea apropiado, sus fracciones (tales como una décima y una centésima de un número entero), a menos que se indique de otro modo. Asimismo, se debe entender que cualquiera de los intervalos numéricos citados en la presente memoria referentes a cualquier rasgo físico, tales como subunidades de polímeros, 40 tamaños o grosores, incluyen cualquier número entero dentro del intervalo citado, a menos que se indique de otro modo. Según se utiliza en la presente memoria, "aproximadamente" o "que consiste esencialmente en" representa ± 20% del intervalo, valor, o estructura indicados, a menos que se indique de otro modo. Se debe entender que los términos "un", "uno", y "una" según se utilizan en la presente memoria hacen referencia a "uno o más" de los componentes enumerados. Se debe entender que el uso de la alternativa (p. ej., "o") representa cualquiera, ambos, o cualquier combinación de las alternativas. Según se utiliza en la presente memoria, los términos "incluye" y 45 "comprende" se utilizan indistintamente. Además, se debe entender que los compuestos individuales, o grupos de compuestos, derivados de las diferentes combinaciones de las estructuras y sustituyentes descritos en la presente memoria, son descritos por la presente solicitud hasta el mismo punto que si cada compuesto o grupo de compuestos fuera expuesto individualmente. De este modo, la selección de estructuras concretas o sustituyentes 50 concretos está dentro del alcance de la presente descripción.
 - El término "moléculas de unión específica a CD37" hace referencia a una proteína, polipéptido, oligopéptido o péptido que se une específicamente a CD37 con una Ka de al menos aproximadamente $10^6 \, \text{M}^{-1}$ (p. ej., al menos aproximadamente $10^7 \, \text{M}^{-1}$, $10^8 \, \text{M}^{-1}$, $10^9 \, \text{M}^{-1}$, $10^{10} \, \text{M}^{-1}$, $10^{11} \, \text{M}^{-1}$, $10^{12} \, \text{M}^{-1}$, o $10^{13} \, \text{M}^{-1}$). El término "dominio de unión específica a CD37" hace referencia a una porción o un dominio de una molécula de unión específica a CD37 responsable de la unión específica a CD37 de la molécula. El propio dominio de unión específica a CD37 (esto es, sin ninguna otra porción de la molécula de unión específica a CD37) se une a CD37 con una Ka de al menos aproximadamente $10^6 \, \text{M}^{-1}$ (p. ej., al menos aproximadamente $10^7 \, \text{M}^{-1}$, $10^8 \, \text{M}^{-1}$, $10^9 \, \text{M}^{-1}$, $10^{10} \, \text{M}^{-1}$, $10^{11} \, \text{M}^{-1}$, $10^{12} \, \text{M}^{-1}$, o $10^{13} \, \text{M}^{-1}$). El propio dominio de unión específica a

CD37. Los dominios de unión específica de CD37 ilustrativos incluyen los fragmentos scFv y Fab específicos de CD37, que pueden ser obtenidos de anticuerpos anti-CD37, tales como el anticuerpo monoclonal G28-1.

"Derivado" según se utiliza en la presente memoria hace referencia a una versión modificada químicamente o biológicamente de un compuesto que es estructuralmente similar a un compuesto parental y (real o teóricamente) obtenible a partir de ese compuesto parental. Generalmente, un "derivado" difiere de un "análogo" en que un compuesto parental puede ser la sustancia de partida para generar un "derivado", mientras el compuesto parental puede no ser utilizado necesariamente como sustancia de partida para generar un "análogo". Un derivado puede tener propiedades químicas o físicas diferentes de las del compuesto parental. Por ejemplo, un derivado puede ser más hidrófilo o puede ser una secuencia mutada que tenga una reactividad alterada (p. ej., una CDR que tenga un cambio de aminoácidos que altere su afinidad hacia una diana) en comparación con el compuesto o la secuencia parentales.

"Enfermedad o trastorno asociado con células B" hace referencia a una actividad aberrante de las células B o una actividad que se desvía del curso normal, apropiado, o esperado. Por ejemplo, una enfermedad o trastorno asociado con células B puede incluir la proliferación inapropiada de células que tienen ADN u otros componentes celulares dañados o defectuosos. La actividad aberrante de las células B puede incluir la proliferación celular caracterizada por niveles inapropiadamente elevados de división celular, niveles inapropiadamente bajos de apoptosis, o ambos. Tales enfermedades pueden tener, por ejemplo, proliferaciones anómalas locales de células, grupos de células o tejidos individuales o múltiples, ya sean cancerosos o no cancerosos, benignos o malignos. Un trastorno o enfermedad asociado con células B también puede incluir la producción aberrante de anticuerpos, tal como la producción de autoanticuerpos, o la producción en exceso de anticuerpos más deseable cuando se producen a niveles normales. Asimismo se contempla en la presente memoria que la actividad aberrante de las células B se puede producir en ciertas sub-poblaciones de células B y no en otras sub-poblaciones, o puede incluir la estimulación inapropiada de células T, por ejemplo mediante la presentación inapropiada de antígenos a células T o mediante otra ruta de células B.

"Tratamiento" o "tratar" hace referencia a cualquier tratamiento terapéutico o tratamiento profiláctico/preventivo. Un tratamiento terapéutico puede mejorar al menos un síntoma de enfermedad en un individuo que recibe tratamiento o puede retrasar el empeoramiento de una enfermedad progresiva en un individuo, o evitar el comienzo de enfermedades asociadas adicionales.

Una "cantidad (o dosis) terapéuticamente eficaz" o "una cantidad (o dosis) eficaz de una molécula o compuesto de unión específica hace referencia a aquella cantidad del compuesto suficiente para dar como resultado la mejoría de uno o más síntomas de la enfermedad que está siendo tratada. Cuando se aplica a un ingrediente activo individual, administrado solo, la dosis terapéuticamente eficaz hace referencia a ese ingrediente solo. Cuando se aplican combinados, la dosis terapéuticamente eficaz hace referencia a las cantidades combinadas de los ingredientes activos que producen el efecto terapéutico, se administren sucesivamente o simultáneamente. La invención contempla específicamente que una o más moléculas de unión específica puedan ser administradas de acuerdo con los métodos de la invención, cada una en una dosis eficaz.

Un individuo que tiene, o se sospecha que tiene, una enfermedad asociada con una actividad aberrante de las células B" es un individuo en el que una enfermedad o un síntoma de un trastorno pueden estar causados por la actividad aberrante de las células B o la proliferación de las células B, pueden estar exacerbados por la actividad aberrante de las células B, o pueden ser aliviados mediante la regulación de la actividad de las células B. Los ejemplos de tales enfermedades son las malignidades de las células B o el cáncer de células B (por ejemplo, linfoma de células B, leucemia de células B o mieloma de células B), una enfermedad caracterizada por la producción de auto-anticuerpos o una enfermedad caracterizada por la estimulación inapropiada de células T causada por la presentación de antígenos inapropiados de las células B a las células T o causado por otras rutas que implican a las células B.

Las definiciones adicionales se proporcionan en la siguiente presentación detallada de la presente descripción.

Moléculas de Unión Específica a CD37 Humanizadas

5

10

15

20

40

45

50

55

En un aspecto, la presente descripción proporciona moléculas de unión específica a CD37 humanizadas como se muestra en las reivindicaciones. Estas moléculas pueden estar en cualquier forma que contenga un dominio de unión específica a CD37 humanizado, incluyendo un anticuerpo anti-CD37 humanizado, un fragmento Fab de un anticuerpo anti-CD37 humanizado, un Fv de cadena sencilla (scFv) específico de CD37 humanizado, una proteína SMIP específica de CD37 humanizada, una proteína, una proteína SCORPION específica de CD37 humanizada, y otras proteínas de unión bi- o multi-específicas que comprenden al menos un dominio de unión específico de CD37 humanizado. La descripción detallada de las proteínas SMIP y los métodos para elaborarlas se pueden encontrar, por ejemplo, en las Publicaciones de las Patentes de los Estados Unidos Núms. 2003/0133939, 2003/0118592, y 2005/0136049 y WO 2005017148. Los métodos para elaborar proteínas SCORPION se pueden encontrar, por ejemplo, en la Publicación de la Solicitud PCT Núm. WO 2007/146968. Otras proteínas de fusión multi-funcionales ilustrativas se pueden encontrar, por ejemplo, en la Publicación de la Solicitud de Patente de los Estados Unidos Núm. 2006/0051844 y en la Patente de los Estados Unidos Núm. 7.166.707. Ciertas proteínas de unión bi- o multi-

específicas pueden comprender un scFv específico de CD37 y uno o más dominios de unión diferentes que no están derivados de una inmunoglobulina.

La proteína SMIP CAS-024 es inesperadamente (1) expresada hasta unos niveles máximos de aproximadamente 25 veces superiores a los otras versiones humanizadas de CAS-006 (tales como CAS-002, CAS-003; véanse los Ejemplos 2 y 5), (2) capaz de unirse a CD37 así como a CAS-006 mientras otras versiones humanizadas no (véanse los Ejemplos 4 y 5), y (3) producida en forma de una población homogénea de moléculas en comparación con la naturaleza heterogénea de otras versiones humanizadas (véase el Ejemplo 3). En una realización preferida, la presente descripción proporciona la proteína de unión específica a CD37 que comprende o consiste en CAS-024 (SEQ ID NO: 253). En particular, esta molécula de unión específica a CD37 humanizada tiene esencialmente la misma afinidad de unión a CD37 que su molécula quimérica parental (CAS-006, proteína SMIP que tiene las regiones variables de la inmunoglobulina del anticuerpo monoclonal anti-CD37 humano de ratón G28-1) en contraste con otras moléculas humanizadas, es expresada a niveles elevados en comparación con otras moléculas humanizadas, y/o muestra un alto grado de homogeneidad cuando es purificada, por ejemplo, por medio de cromatografía de exclusión por tamaños (SEC) en contraste con otras moléculas humanizadas. Además, se ha demostrado que esta molécula de unión específica a CD37 CAS-024 es eficaz en la inhibición del crecimiento tumoral y ocasiona la regresión tumoral a largo plazo.

La descripción también incluye una molécula de ácido nucleico aislada que comprende una secuencia de nucleótidos que codifica moléculas de unión específica a CD37 humanizadas de la presente invención. En una realización, la descripción incluye vectores que comprenden estas moléculas de ácido nucleico y células anfitrionas que comprenden los vectores.

La descripción también incluye los procedimientos de producción de los polipéptidos descritos en la presente memoria, que comprenden cultivar células anfitrionas en condiciones adecuadas para expresar los polipéptidos, y opcionalmente aislar los polipéptidos del cultivo.

Composiciones y Métodos

5

10

15

20

- En un aspecto, la presente invención proporciona el uso de las composiciones de la invención en un método para reducir las células B o tratar una enfermedad asociada con la actividad aberrante de las células B que comprende administrar a un sujeto que lo necesite (esto es, un individuo que tiene o se sospecha que tiene una enfermedad asociada con la actividad aberrante de las células B) una cantidad eficaz de una molécula de unión específica a CD37 humanizada proporcionada en la presente memoria (p. ej., CAS-024).
- Las malignidades de las células B o cánceres de células B incluyen linfomas de células B (tales como las diferentes formas de enfermedad de Hodgkin, el linfoma no Hodgkin (LNH) o los linfomas del sistema nervioso central), las leucemias (tales como la leucemia linfoblástica aguda (LLA), la leucemia linfocítica crónica (LLC), la leucemia de células pilosas y la leucemia mioblástica crónica] y los mielomas (tales como el mieloma múltiple). Los cánceres de células B adicionales incluyen el linfoma linfocítico de células pequeñas, la leucemia prolinfocítica de células B, el linfoma linfoplasmacítico, el linfoma esplénico de la zona marginal, el linfoma de las células plasmáticas, el plasmacitoma solitario de hueso, el plasmacitoma extraóseo, el linfoma de células B de la zona marginal nodal, el linfoma folicular, el linfoma de las células del manto, el linfoma de células B grandes difuso, el linfoma de células B grandes del mediastino (tímico), el linfoma de células B grandes intravascular, el linfoma de efusión primaria, el linfoma/leucemia de Burkitt, las proliferaciones de células B de potencial maligno incierto, la granulomatosis linfomatoide, y el trastorno linfoproliferativo post-transplante.

El linfoma de Burkitt (o "malignidad de células B de Burkitt", o "tumor de Burkitt", o "Linfoma maligno de tipo Burkitt") es un cáncer del sistema linfático (en particular, de los linfocitos B). Se puede dividir en tres variantes clínicas principales: las variantes endémica, esporádica y asociada a la inmunodeficiencia.

- Las malignidades de células B no Burkitt incluyen, pero no están limitadas a, leucemia linfocítica crónica de células B (LLC)/linfoma linfocítico de células pequeñas, leucemia prolinfocítica de células B, leucemia linfoblástica aguda (LLA), linfoma linfoplasmacítico (incluyendo, pero no limitado a, macroglobulinemia de Waldenstrom), linfomas de la zona marginal (incluyendo, pero no limitados a, linfoma esplénico de células B de la zona marginal, linfoma de la zona marginal nodal, y extralinfoma de células B de la zona marginal nodal de tipo tejido linfoide asociado a la mucosa (TLAM)), leucemia de células pilosas, linfoma de las células plasmáticas/plasmacitoma, linfoma folicular, linfoma de las células del manto (LCM), linfoma de células B grandes difuso, linfoma de células B grandes transformante, linfoma de células B grandes del mediastino, el linfoma de células B grandes intravascular, el linfoma de efusión primaria, y el linfoma no Burkitt no Hodgkin (LNH).
- Los trastornos caracterizados por la producción de auto-anticuerpos a menudo son considerados enfermedades autoinmunitarias. Las enfermedades autoinmunitarias incluyen, pero no están limitadas a: artritis, artritis reumatoide, artritis reumatoide juvenil, osteoartritis, policondritis, artritis psoriásica, psoriasis, dermatitis, polimiositis/dermatomiositis, miositis con cuerpos de inclusión, miositis inflamatoria, necrolisis epidérmica tóxica, esclerodermia sistémica y esclerosis, síndrome de CREST, respuestas asociadas a la enfermedad inflamatoria del

intestino, enfermedad de Crohn, colitis ulcerativa, síndrome de disfunción respiratoria, síndrome de disfunción respiratoria y síndrome de disfunción respiratoria del adulto (SDRA), meningitis, encefalitis, uveítis, colitis, glomerulonefritis, afecciones alérgicas, eczema, asma, afecciones que implican infiltración de células T y respuestas inflamatorias crónicas, aterosclerosis, miocarditis autoinmunitaria, deficiencia de adherencia de los leucocitos, lupus eritematoso generalizado (LEG), lupus eritematoso cutáneo sub-agudo, lupus discoide, mielitis por lupus, cerebritis por lupus, diabetes de comienzo juvenil, esclerosis múltiple, encefalomielitis alérgica, neuromielitis óptica, fiebre reumática, corea de Sydenham, respuestas inmunitarias asociadas con hipersensibilidad aguda y retardada mediada por citoquinas y linfocitos T, tuberculosis, sarcoidosis, granulomatosis incluyendo granulomatosis de Wegener y enfermedad de Churg-Strauss, agranulocitosis, vasculitis (incluyendo vasculitis/angiitis por hipersensibilidad, ANCA y vasculitis reumatoide), anemia aplásica, anemia Diamond Blackfan, anemia hemolítica inmunitaria incluyendo anemia hemolítica autoinmunitaria (AHAI), anemia perniciosa, aplasia de glóbulos rojos puros (AGBP), deficiencia en Factor VIII, hemofilia A, neutropenia autoimmunitaria, pancitopenia, leucopenia, enfermedades que implican diapedesis de leucocitos, trastornos inflamatorios del sistema nervioso central (SNC), síndrome de lesión multiorgánica, miastenia grave, enfermedades mediadas por complejos antígeno-anticuerpo, enfermedad de la membrana del basamento anti-glomerular, síndrome de anticuerpos anti-fosfolípidos, neuritis alérgica, enfermedad de Behcet, síndrome de Castleman, síndrome de Goodpasture, Síndrome Miasténico de Lambert-Eaton, síndrome de Reynaud, síndrome de Sjögren, síndrome de Stevens-Johnson, rechazo de transplantes de órganos sólidos, enfermedad de injerto contra anfitrión (EICA), pénfigo buloso, pénfigo, poliendocrinopatías autoinmunitarias, espondiloartropatías seronegativas, enfermedad de Reiter, síndrome de la persona rígida, arteritis de células gigantes, nefritis del complejo inmunitario, nefropatía por IgA, polineuropatías por IgM o neuropatía mediada por IgM, púrpura trombocitopénica idiopática (PTI), púrpura trombocitopénica trombótica (PTT), púrpura Henoch-Schonlein, trombocitopenia autoinmunitaria, enfermedad autoinmunitaria del testículo y el ovario incluyendo orquitis y ooforitis autoinmunitaria, hipotiroidismo primario; enfermedades endocrinas autoinmunitarias incluyendo tiroiditis autoinmunitaria, tiroiditis crónica (Tiroiditis de Hashimoto), tiroiditis subaguda, hipotiroidismo idiopático, enfermedad de Addison, enfermedad de Graves, síndromes poliglandulares autoinmunitarios (o síndromes de endocrinopatía poligiandulares), diabetes de Tipo I, también referida como diabetes melitus insulino-dependiente (DMID) y síndrome de Sheehan; hepatitis autoinmunitaria, pneumonitis intersticial linfoide (VIH), bronquiolitis obliterante (sin transplante) vs NSIP, Síndrome de Guillain-Barre, vasculitis de vasos grandes (incluyendo polimialgia reumática y arteritis de células gigantes (arteritis de Takayasu), vasculitis de vasos medianos (incluyendo enfermedad de Kawasaki y poliarteritis nodosa), poliarteritis nodosa (PAN), espondilitis anguilosante, enfermedad de Berger (nefropatía por IgA), glomerulonefritis de progreso rápido, cirrosis biliar primaria, sprúe celíaco (enteropatía por gluten), crioglobulinemia, crioglobulinemia asociada a hepatitis, esclerosis lateral amiotrófica (ELA), enfermedad de la arteria coronaria, fiebre Mediterránea familiar, poliangiitis microscópica, síndrome de Cogan, síndrome de Whiskott-Aldric y tromboangiitis obliterante, enfermedades de tiroides autoinmunitarias (tales como enfermedad de Graves y tiroiditis de Hashimoto), síndrome de Sjögren, y miopatía inflamatoria idiopática (MII), incluyendo dermatomiositis (DM) y polimiositis (PM). Las enfermedades autoinmunitarias anteriores también pueden ser tratadas con moléculas de unión específica a CD37 humanizadas o con una combinación de moléculas de unión específica a CD37 y un agente quimioterapéutico bifuncional.

10

15

20

25

30

35

40

45

50

55

En un aspecto de la descripción, se administra una molécula de unión específica a CD37 humanizada en una composición farmacéutica. Para administrar una molécula de unión específica a CD37 humanizada a un ser humano o a animales de ensayo, es preferible formular la molécula de unión en una composición que comprende uno o más portadores farmacéuticamente aceptables. La expresión "farmacéuticamente o farmacológicamente aceptable" hace referencia a entidades moleculares y a composiciones que no producen reacciones alérgicas y otras reacciones adversas cuando se administran utilizando rutas bien conocidas en la técnica, como se describe más abajo. Los "portadores farmacéuticamente aceptables" incluyen todos y cada uno de los disolventes, medios de dispersión, recubrimientos, agentes anti-bacterianos y anti-fúngicos, agentes isotónicos y retardadores de la absorción clínicamente útiles y similares. Además, los compuestos pueden formar solvatos con agua o disolventes orgánicos comunes. También se contemplan tales solvatos.

Las composiciones farmacéuticas de la presente descripción que contienen una molécula de unión específica a CD37 humanizada utilizada en un método de la descripción pueden contener portadores o aditivos farmacéuticamente aceptables dependiendo de la ruta de administración. Los ejemplos de tales portadores o aditivos incluyen agua, un disolvente orgánico farmacéuticamente aceptable, colágeno, poli(alcohol vinílico), polivinilpirrolidona, un polímero carboxivinílico, sal de sodio de carboximetilcelulosa, sal de sodio de ácido poliacrílico, alginato de sodio, dextrano soluble en agua, sal de sodio de carboximetil-almidón, pectina, metilcelulosa, etilcelulosa, goma xantana, goma arábiga, caseína, gelatina, agar, diglicerina, glicerina, propilenglicol, polietilenglicol, Vaselina, parafina, alcohol estearílico, ácido esteárico, albúmina de suero humano (ASH), manitol, sorbitol, lactosa, un tensioactivo farmacéuticamente aceptable y similares. Los aditivos utilizados se seleccionan entre, pero no limitados a, los anteriores o sus combinaciones, según sea apropiado, dependiendo de la forma de dosificación de la presente descripción.

60 La formulación de la composición farmacéutica variará de acuerdo con la ruta de administración seleccionada (p. ej., solución, emulsión). Una composición apropiada que comprende el anticuerpo que se va a administrar puede ser preparada en un vehículo o portador fisiológicamente aceptable. Para las soluciones o emulsiones, los portadores adecuados incluyen, por ejemplo, soluciones, emulsiones o suspensiones acuosas o alcohólicas/acuosas,

incluyendo medios salinos y tamponados. Los vehículos parenterales pueden incluir solución de cloruro de sodio, dextrosa de Ringer, dextrosa y cloruro de sodio, solución de Ringer con lactato añadido o aceites fijados. Los vehículos intravenosos pueden incluir diferentes aditivos, conservantes, o reponedores de fluidos, nutrientes o electrolitos.

Una variedad de portadores acuosos, p. ej., agua, agua tamponada, solución salina al 0,4%, solución de glicina al 0,3%, o suspensiones acuosas pueden contener el compuesto activo mezclado con excipientes adecuados para la fabricación de suspensiones acuosas. Tales excipientes son agentes suspensores, por ejemplo sal de sodio de carboximetilcelulosa, metilcelulosa, hidroxipropilmetilcelulosa, alginato de sodio, polivinilpirrolidona, goma de tragacanto y goma de acacia; los agentes dispersantes o humectantes pueden ser un fosfátido de origen natural, por ejemplo lecitina, o productos de condensación de un óxido de alquileno con ácidos grasos, por ejemplo estearato de polioxietileno, o productos de condensación de óxido de etileno con alcoholes alifáticos de cadena larga, por ejemplo heptadecaetil-enoxicetanol, o productos de condensación de óxido de etileno con ésteres parciales derivados de ácidos grasos y un hexitol, por ejemplo monooleato de polioxietilensorbitol, o productos de condensación de óxido de etileno con ésteres parciales derivados de ácidos grasos y anhídridos de hexitol, por ejemplo monooleato de polietilensorbitán. Las suspensiones acuosas también pueden contener uno o más conservantes, por ejemplo phidroxibenzoato de etilo, o n-propilo.

Una molécula de unión específica a CD37, o una composición que comprende la molécula de unión de la invención puede ser liofilizada para su almacenamiento y reconstituida en un portador adecuado antes de su uso. Se ha demostrado que esta técnica es eficaz con las inmunoglobulinas convencionales. Se puede emplear cualquiera de las técnicas de liofilización y reconstitución adecuadas. Los expertos en la técnica apreciarán que la liofilización y la reconstitución pueden conducir a grados variables de pérdida de actividad y que los niveles de uso tienen que ser ajustados para compensarlo.

20

25

30

35

40

45

Los polvos y gránulos dispersables adecuados para la preparación de una suspensión acuosa mediante la adición de agua proporcionan el compuesto activo mezclado con un agente dispersante o humectante, un agente suspensor y uno o más conservantes. Los agentes dispersantes o humectantes adecuados se ilustran por medio de los ya mencionados más arriba.

La concentración de molécula de unión específica a CD37 en estas formulaciones puede variar ampliamente, por ejemplo desde menos de aproximadamente 0,5%, normalmente de 1% o al menos aproximadamente 1% hasta 15 o 20% en peso y se seleccionará principalmente basándose en los volúmenes de los fluidos, las viscosidades, etc., de acuerdo con el modo concreto de administración seleccionado. De este modo, se podría componer una composición farmacéutica típica para la inyección parenteral para que contuviera 1 mL de agua tamponada estéril, y 50 mg de anticuerpo. Se podría componer una composición típica para infusión intravenosa para que contuviera 250 mL de solución de Ringer estéril, y 150 mg de anticuerpo. Los métodos actuales para preparar composiciones administrables parenteralmente serán conocidos por los expertos en la técnica y se describen con más detalle, por ejemplo, en Remington's Pharmaceutical Science, 15ª ed., Mack Publishing Company, Easton, Pa. (1980). La dosis eficaz de moléculas de unión específica a CD37 (incluyendo las moléculas de unión específica a CD37 humanizadas) está dentro del intervalo de 0,01 mg a 1000 mg por kg de peso corporal por administración.

Las composiciones farmacéuticas pueden estar en forma de una suspensión acuosa, oleaginosa inyectable estéril, dispersiones o polvos estériles para la preparación extemporánea de soluciones o dispersiones inyectables estériles. La suspensión puede ser formulada de acuerdo con la técnica conocida utilizando los agentes dispersantes y humectantes y los agentes suspensores adecuados que han sido mencionados más arriba. La preparación inyectable estéril también puede ser una solución o suspensión inyectable en un diluyente o disolvente parenteralmente aceptable no tóxico, por ejemplo en forma de una solución en 1,3-butanodiol. El portador puede ser un disolvente o un medio de dispersión que contiene, por ejemplo, agua, etanol, poliol (por ejemplo, glicerol, propilenglicol, y polietilenglicol líquido, y similares), mezclas adecuadas de los mismos, aceites vegetales, solución de Ringer y solución de cloruro de sodio isotónica. Además, se emplean convencionalmente aceites fijados, estériles como disolvente o medio suspensor. Para este fin se puede emplear cualquier aceite fijado blando incluyendo mono-o di-glicéridos sintéticos. Además, los ácidos grasos tales como el ácido oleico encuentran uso en la preparación de invectables.

En todos los casos la forma debe ser estéril y debe ser fluida hasta el punto de que exista una fácil jeringabilidad. Se puede mantener una fluidez apropiada, por ejemplo, por medio del uso de un revestimiento, tal como lecitina, por medio del mantenimiento del tamaño de partícula requerido en el caso de la dispersión y mediante el uso de tensioactivos. Ésta debe ser estable en las condiciones de fabricación y almacenamiento y debe ser preservada de la acción contaminante de microorganismos, tales como bacterias y hongos. La prevención de la acción de los microorganismos se puede proporcionar por medio de diferentes agentes antibacterianos o antifúngicos, por ejemplo, parabenos, clorobutanol, fenol, ácido sórbico, timerosal, o similar. En muchos casos, será deseable incluir agentes isotónicos, por ejemplo, azúcares o cloruro de sodio. La absorción prolongada de las composiciones inyectables se puede producir mediante el uso en las composiciones de agentes retardadores de la absorción, por ejemplo, monoestearato de aluminio y gelatina.

Las composiciones útiles para la administración se pueden formular con intensificadores de la fijación o la absorción para incrementar su eficacia. Tales intensificadores incluyen por ejemplo, salicilato, glicocolato/linoleato, glicolato, aprotinina, bacitracina, SDS, caprato y similares. Véase, p. ej., Fix (J. Pharm. Sci., 85:1282-1285, 1996) y Oliyai y Stella (Ann. Rev. Pharmacol. Toxicol., 32:521-544, 1993).

Además, las propiedades de carácter hidrófobo y carácter hidrófilo de las composiciones contempladas para su uso en la descripción están bien equilibradas, aumentando de ese modo su utilidad tanto en usos *in vitro* como especialmente *in vivo*, mientras otras composiciones que carecen de dicho equilibrio son sustancialmente de menos utilidad. Específicamente, las composiciones contempladas para su uso en la descripción tienen un grado apropiado de solubilidad en medio acuoso que permite la absorción y la biodisponibilidad en el organismo, a la vez que también tienen un grado de solubilidad en lípidos que permite que los compuestos atraviesen la membrana celular hasta el supuesto sitio de acción. De este modo, las composiciones de anticuerpo contempladas tienen una eficacia máxima cuando pueden ser liberadas en el sitio de actividad del antígeno diana.

La molécula de unión, o las composiciones combinadas pueden ser administradas oralmente, tópicamente, transdérmicamente, parenteralmente, mediante pulverización para su inhalación, vaginalmente, rectalmente, o mediante inyección intracraneana, o cualquiera de sus combinaciones. El término parenteral, según se utiliza en la presente memoria, incluye inyecciones subcutáneas, intravenosas, intramusculares, inyección intracisternal, o técnicas de infusión. También se contemplan la administración mediante inyección intravenosa, intradérmica, intramuscular, intramamaria, intraperitoneal, intratecal, retrobulbar, intrapulmonar o implantación quirúrgica en un sitio concreto. Generalmente, las composiciones están esencialmente libres de pirógenos, así como de otras impurezas que podrían ser nocivas para el receptor. Se prefieren las inyecciones, especialmente intravenosas.

15

20

25

30

35

40

45

50

55

60

En una realización, la administración se realiza en el lugar de un cáncer o un tejido afectado que necesita tratamiento mediante inyección directa en el sitio o por medio de un mecanismo de reparto sostenido o de liberación sostenida, que puede liberar la formulación internamente. Por ejemplo, se pueden incluir microesferas o cápsulas biodegradables u otras configuraciones poliméricas biodegradables susceptibles de liberación sostenida de una composición (p. ej., un polipéptido, un anticuerpo, o una pequeña molécula soluble) en las formulaciones de la descripción implantadas cerca del cáncer.

También se pueden liberar composiciones terapéuticas en el paciente en múltiples sitios. Las administraciones múltiples se pueden presentar simultáneamente o se pueden administrar a lo largo de un periodo de tiempo. En ciertos casos resulta beneficioso proporcionar un flujo continuo de la composición terapéutica. Se puede administrar una terapia adicional periódicamente, de manera horaria, diaria, semanal o mensual.

La presente descripción también contempla la administración de la molécula de unión, o las composiciones combinadas conjuntamente con un agente terapéutico adicional. Los agentes terapéuticos adicionales contemplados por la descripción se enumeran en los párrafos de más abajo.

Un agente terapéutico adicional puede ser una molécula asociada con las células B. Otras moléculas asociadas con células B contempladas por la descripción incluyen moléculas de unión que se unen a las moléculas de superficie de las células B que no son CD37. Las moléculas asociadas con las células B, incluyen CD19 (antígeno CD19 de linfocitos B, también referido como antígeno superficial de linfocitos B B4, o Leu-12), CD20, CD21, CD22 (receptor de células B CD22, también referido como Leu-14, molécula de adhesión celular de linfocitos B, o BL-CAM), CD23, CD40 (antígeno de superficie de células B CD40, también referido como miembro 5 de la superfamilia de receptores del Factor de Necrosis Tumoral, receptor CD40L, o Bp50), CD80 (antígeno de activación de linfocitos T CD80, también referido como antígeno de Activación B7-1, B7, B7-1, o BB1), CD86 (antígeno de activación de linfocitos T CD86, también referido como antígeno de Activación B7-2, B70, FÚN-1, o BU63), CD37 (también referido como miembro 9 de la superfamilia de receptores del Factor de Necrosis Tumoral), CD152 (también referido como proteína 4 de linfocitos T citotóxicos o CTLA-4), L6 (antígeno L6 asociado a Tumores, también referido como miembro 1 de la superfamilia 4 transmembrana, Marcador de superficie 1 componente de la membrana, o M3S1), CD30 (antígeno de activación de linfocitos CD30, también referido como miembro 8 de la superfamilia de receptores del Factor de Necrosis Tumoral, receptor CD30L, o Ki-1), CD50 (también referido como molécula de adhesión intercelular 3 (ICAM3), o ICAM-R), CD54 (también referido como molécula de adhesión Intercelular 1 (ICAM1), o receptor de rinovirus del grupo principal), B7-H1 (ligando para un receptor inmunoinhibidor expresado por células T, células B, y células mieloides activadas, también referido como PD-L1; véase Dong, et al., "B7-H1, a third member of the B7 family, co-stimulates T-cell proliferation and interleukin-10 secretion", Nat. Med., 5:1365-1369 (1999), CD134 (también referido como miembro 4 de la superfamilia de receptores del Factor de Necrosis Tumoral, OX40, receptor de OX40L, antígeno ACT35, o receptor 1 de glicoproteína activada transcripcionalmente por TAX), 41 BB (receptor del ligando 4-1BB, antígeno 4-1BB de células T, o antígeno ILA de células T), CD153 (también referido como miembro 8 de la superfamilia de ligandos del Factor de Necrosis Tumoral, ligando CD30, o CD30-L), CD154 (también referido como miembro 5 de la superfamilia de ligandos del Factor de Necrosis Tumoral, proteína de activación relacionada con TNF, TRAP, o antígeno Gp39 de células T), receptores Toll, o similares.

Los ejemplos de los agentes quimioterapéuticos contemplados como agentes terapéuticos adicionales incluyen agentes alquilantes, tales como mostazas nitrogenadas (p. ej., mecloretamina, ciclofosfamida, ifosfamida, melfalan, y clorambucilo); nitrosoureas (p. ej., carmustina (BCNU), lomustina (CCNU), y semustina (metil-CCNU)); etileniminas y

metil-melaminas (p. ej., trietilenmelamina (TEM), trietilentiofosforamida (tiotepa), y hexametilmelamina (HMM, altretamina)); alquilsulfonatos (p. ej., busulfan); y triazinas (p. ej., dacabazina (DTIC)); antimetabolitos, tales como análogos de ácido fólico (p. ej., metotrexato, trimetrexato, y permetrexato (antifolato multi-dirigido)); análogos de pirimidina (tales como 5-fluorouracilo (5-FU), fluorodesoxiuridina, gemcitabina, citosinarabinósido (AraC, citarabina), 5-azacitidina, y 2,2'-difluorodesoxicitidina); y análogos de purina (p. ej., 6-mercaptopurina, 6-tioguanina, azatioprina, 2'-desoxicoformicina (pentostatina), eritrohidroxinoniladenina (EHNA), fludarabinafosfato, 2-clorodesoxiadenosina (cladribina, 2-CdA)); Inhibidores de topoisomerasa de tipo I tales como camptotecina (CPT), topotecan, y irinotecan; productos naturales, tales como epipodofilotoxinas (p. ej., etoposido y teniposido); y alcaloides de vinca (p. ej., vinblastina, vincristina, y vinorelbina); antibióticos antitumorales tales como actinomicina D, doxorrubicina, y bleomicina; radiosensibilizadores tales como 5-bromodesoxiuridina, 5-yododesoxiuridina, y bromodesoxicitidina; complejos de coordinación de platino tales como cisplatino, carboplatino, y oxaliplatino; ureas sustituidas, tales como hidroxiurea; y derivados de metilhidrazina tales como N-metilhidrazina (MIH) y procarbazina.

10

15

45

50

55

Los agentes terapéuticos adicionales contemplados para esta descripción para el tratamiento de enfermedades autoinmunitarias son referidos como agentes inmunosupresores, que actúan suprimiendo o enmascarando el sistema inmunitario del individuo que está siendo tratado. Los agentes inmunosupresores incluyen, por ejemplo, fármacos anti-inflamatorios no esteroideos (AINE), analgésicos, glucocorticoides, fármacos antirreumáticos modificadores de la enfermedad (FAME) para el tratamiento de la artritis, o modificadores de la respuesta biológica. Las composiciones de la descripción de las FAME también son útiles en el tratamiento de muchas otras enfermedades autoinmunitarias aparte de la AR.

Los AINE ilustrativos se seleccionan del grupo que consiste en ibuprofeno, naproxeno, naproxeno sodico, inhibidores de Cox-2 tales como Vioxx y Celebrex, y sialilatos. Los analgésicos ilustrativos se seleccionan del grupo que consiste en acetaminofeno, oxicodona, tramadol o hidrocloruro de propoxifeno. Los glucocorticoides ilustrativos se seleccionan del grupo que consiste en cortisona, dexametasona, hidrocortisona, metilprednisolona, prednisolona, o prednisona. Los modificadores de la respuesta biológica ilustrativos incluyen moléculas dirigidas contra los marcadores de la superficie celular (p. ej., CD4, CD5, etc.), inhibidores de citoquinas, tales como los antagonistas de TNF (p. ej. etanercept (Enbrel), adalimumab (Humira) y infliximab (Remicade)), los inhibidores de quimioquinas y los inhibidores de las moléculas de adherencia. Los modificadores de la respuesta biológica incluyen anticuerpos monoclonales así como formas recombinantes de las moléculas. Los FAME ilustrativos incluyen azatioprina, ciclofosfamida, ciclosporina, metotrexato, penicilamina, leflunomida, sulfasalazina, hidroxicloroquina, Oro (oral (auranofina) e intramuscular) y minociclina.

Se contempla que la composición de la molécula de unión y el agente terapéutico adicional se pueda administrar simultáneamente en la misma formulación. Alternativamente, los agentes se administran en una formulación separada pero a la vez, haciendo referencia concurrentemente a los agentes administrados, por ejemplo, a los minutos, horas o días entre sí.

En otro aspecto, el agente terapéutico adicional se administra antes de la administración de la molécula de unión. Administración previa hace referencia a la administración del agente terapéutico adicional en el intervalo de minutos, horas, o una semana antes del tratamiento con la molécula de unión, el agente quimioterapéutico bifuncional, o la composición combinada. Se contempla adicionalmente que el agente terapéutico adicional se administre con posterioridad a la administración de la composición de la molécula de unión. Se pretende que administración posterior describa la administración más de minutos, horas, o semanas después del tratamiento o la administración de la molécula de unión, el agente quimioterapéutico bifuncional, o la composición combinada.

Adicionalmente se contempla que cuando se administra la molécula de unión combinada con un agente terapéutico adicional, donde el agente terapéutico adicional es una citoquina o un factor de crecimiento, o un agente quimioterapéutico, la administración también puede incluir el uso de un agente radioterapéutico o de terapia de radiación. La terapia de radiación administrada combinada con una composición de anticuerpo se administra como determina el médico a cargo, y a las dosis típicamente administradas a los pacientes que están siendo tratados de cáncer.

Estas composiciones se pueden administrar en una sola dosis o en múltiples dosis. Los estudios de respuesta a la dosis convencionales, primero en modelos animales y después en ensayos clínicos, revelan dosificaciones óptimas para dolencias y poblaciones de pacientes concretas.

La administración de la molécula de unión o la composición combinada disminuye la población de células B al menos 20% después de una sola dosis de tratamiento. En una realización, la población de células B disminuye al menos aproximadamente 20, aproximadamente 30, aproximadamente 40, aproximadamente 50, aproximadamente 60, aproximadamente 70, aproximadamente 80, aproximadamente 90, o aproximadamente 100%. La reducción de células B se define como un descenso en el recuento de células B absoluto por debajo del límite inferior del intervalo normal. La recuperación de células B se define como la restitución del recuento de células B absoluto, por ejemplo, al 70%, 80%, 90% del valor de la línea base del sujeto o el intervalo normal. Adicionalmente, la administración de la molécula de unión, o la composición combinada de esta descripción produce los efectos clínicos deseados en la enfermedad o trastorno que está siendo tratado.

En algunas realizaciones, los pacientes que padecen una enfermedad asociada con la actividad aberrante de las células B que reciben tratamiento de acuerdo con la descripción pueden demostrar una respuesta beneficiosa global al tratamiento, basándose en criterios clínicos bien conocidos y comúnmente utilizados en la técnica y descritos más abajo. Por ejemplo, en pacientes afectados por artritis reumatoide, la administración puede mejorar el estado del paciente en una cantidad clínicamente significativa [p. ej., logra una Detección Preliminar de la Mejoría del Colegio Americano de Reumatología (ACR20)], y/o una mejora de 20% en la articulación sensible e hinchada y una mejora del 20% en las 3/5 medidas de ACR restantes (Felson et al., Arthritis Rheum. 1995, 38:727-35). Las medidas biológicas para la mejora en un paciente con AR después de la administración de moléculas de unión específica a CD37 y específica a CD20 incluyen la medida de los cambios en los niveles de citoquinas, medidos a través de los niveles de proteína o ARN. Las citoquinas de interés incluyen, pero no están limitadas a, TNF-α, IL-1, interferones, Blys, y APRIL. Los cambios de citoquinas pueden estar debidos a la reducción del número de células B o a un descenso de células T activadas. En pacientes con AR, los marcadores relevantes para el recambio óseo (resorción o erosión ósea) se miden antes y después de la administración de moléculas de unión específica a CD20. Los marcadores relevantes incluyen, pero no están limitados a, fosfatasa alcalina, osteocalcina, fragmentos de la rotura del colágeno, hidroxiprolina, fosfatasa ácida resistente a tartrato, y ligando RANK (RANKL). Otras lecturas relevantes para la mejora de la AR incluyen la medida de los niveles de proteína C reactiva (PCR), la velocidad de sedimentación de eritrocitos (VSE), el factor reumatoide, los anticuerpos PCC (péptido citrulinado cíclico) y la evaluación de los niveles de células B sistémicos y el recuento de linfocitos por medio de citometría de flujo. Los factores específicos también se pueden medir a partir de la sinovial de los pacientes con AR, incluyendo la evaluación de los niveles de células B en la sinovial procedente de biopsia de la sinovial, los niveles de RANKL y otros factores óseos y citoquinas expuestos más arriba.

10

15

20

25

30

50

55

En un aspecto relacionado, los efectos de la administración combinada sobre otras enfermedades se pueden medir de acuerdo con los patrones conocidos en la técnica. Por ejemplo, se contempla que los pacientes con enfermedad de Crohn tratados de acuerdo con la invención logren una mejora en el índice de Actividad de la Enfermedad de Crohn (CDAI) en el intervalo de aproximadamente 50 a aproximadamente 70 unidades, donde la remisión es de 150 unidades (Simonis et al, Scand. J Gastroent. 1998, 33:283-8). Una puntuación de 150 o 200 se considera normal, mientras una puntuación de 450 se considera una puntuación de enfermedad grave. Adicionalmente se desea que la administración de las moléculas de unión específica de CD37 y específica a CD20 de como resultado una reducción de los anticuerpos citoplasmáticos anti-neutrófilos perinucleares (pANCA) y los anticuerpos anti-Saccharomyces cervisiae (ASCA) en individuos afectados por la enfermedad inflamatoria del intestino.

Se contempla adicionalmente que los pacientes con miositis del adulto y juvenil tratados de acuerdo con la descripción pueden lograr una mejora en el conjunto principal de evaluaciones, tales como 3 de 6 del núcleo principal medido mejoradas en aproximadamente 20%, con no más de 2 de las medidas principales peores en aproximadamente 25% (véase Rider et al., Arthritis Rheum. 2004, 50:2281-90).

Adicionalmente se contempla que los pacientes con LEG tratados de acuerdo con la descripción pueden lograr una mejora en la puntuación de Medida de Actividad del Lupus Generalizado (SLAM) o Índice de Actividad de la Enfermedad LEG (SLEDAI) al menos 1 punto (Gladman et al, J Rheumatol 1994, 21:1468-71) (Tan et al., Arthritis Rheum. 1982, 25:1271-7). Una puntuación SLAM >5, o una puntuación SLEDAI >2, son consideradas como una enfermedad clínicamente activa. La respuesta al tratamiento se puede definir como la mejora o la estabilización en las 2 medidas de actividad de la enfermedad (el Índice de Actividad de la Enfermedad LEG [SLEDAI] y la Medida de Actividad del Lupus Generalizado) y 2 medidas de calidad de vida (evaluación global del paciente y Escala de Intensidad de la Fatiga Krupp) (Petri et al., Arthritis Rheum. 2004, 50:2858-68.) Adicionalmente se contempla que la administración de la molécula de unión a los pacientes con LEG da como resultado la reducción de anticuerpos anti-ADN de doble hebra. Alternativamente, la mejora puede ser calibrada utilizando los Criterios del Grupo de Evaluación del Lupus de las Islas Británicas (BILAG).

Adicionalmente se contempla que los pacientes que padecen esclerosis múltiple tratados de acuerdo con la descripción puedan lograr una mejora en la puntuación clínica en la escala ampliada del Estado Predicho de Discapacidad de Kurtzke (EDSS) (Kurtzke, F., Neurology 1983, 33:1444-52) de al menos 0,5, o un retraso en el empeoramiento de la enfermedad clínica de al menos 1,0 en la escala Kurtzke (Rudick et al., Neurology 1997, 49:358-63).

Adicionalmente se contempla que los pacientes que padecen MII tratados de acuerdo con la descripción pueden lograr una reducción de al menos uno de los cinco criterios expuestos en la evaluación de los Criterios de Evaluación de la Miopatía Inflamatoria Idiopática (IIMC) (Miller, F., supra). Adicionalmente se contempla que la administración a pacientes con MII puede dar como resultado la reducción de los factores asociados con MII seleccionados del grupo que consiste en creatina quinasa (CK), lactato deshidrogenasa, aldolasa, proteína C reactiva, aspartato aminotransferasa (AST), alanina aminotransferasa (ALT), y autoanticuerpos antinucleares (ANA), anticuerpos específicos de miositis (AEM), y anticuerpos para antígenos nucleares extraíbles. Alternativamente, los pacientes satisfacen 3 de 6 de los criterios expuestos en Rider et al., Arthritis Rheum., 50(7):2281-2290 (2004), con un empeoramiento en no más de 2 criterios.

60 En algunas realizaciones, los pacientes que padecen un cáncer de células B que reciben tratamiento de acuerdo con la descripción pueden demostrar una respuesta beneficiosa global al tratamiento, basándose en criterios clínicos

bien conocidos y comúnmente utilizados en la técnica, y descritos más abajo, tales como un descenso en el tamaño del tumor, una disminución en el número de tumores y/o una mejora en los síntomas de la enfermedad.

Los criterios clínicos ilustrativos son proporcionados por el Instituto Nacional del Cáncer de los Estados Unidos "(NCI) en sus sigla Inglesas", que ha dividido algunas de las clases de cáncer en las categorías clínicas de linfomas "indolentes" y "agresivos". Los linfomas indolentes incluyen linfomas de células foliculares, separados por "grados" citológicos, linfoma difuso células pequeñas/leucemia linfocítico de linfocítica linfoplasmacitoide/Macroglobulinemia de Waldenstrom, Linfoma de la zona marginal y leucemia de células pilosas. Los linfomas agresivos incluyen el linfoma de células grandes mixto difuso, el linfoma de Burkitt/linfoma de células no escindidas pequeñas difuso, el Linfoma linfoblástico, el linfoma de las células del manto y el linfoma relacionado con el SIDA. En algunos casos, el Índice Pronóstico Internacional (IPI) se utiliza en los casos de linfoma agresivo y folicular. Los factores a considerar en el IPI incluyen la edad (<60 años edad versus > 60 años de edad), lactato deshidrogenasa de suero (niveles normales versus elevados), estado funcional (0 o 1 frente a 2-4) (véase la definición de más abajo), fase de la enfermedad (I o II versus III o IV), e implicación del sitio extranodal (0 o 1 versus 2-4). Los pacientes con 2 o más factores de riesgo tienen menos de un 50% probabilidad de ausencia de recaída y supervivencia global a los 5 años.

5

10

15

20

30

35

40

60

El estado funcional en el IPI agresivo se define como sigue: Descripción del grado: 0 Totalmente activo, capaz de mantener toda la función normal previa a la enfermedad sin restricción; 1 Restringido en la actividad físicamente extenuante pero ambulatorio y capaz de llevar a cabo un trabajo de naturaleza ligera o sedentaria, p. ej., trabajo doméstico ligero, trabajo de oficina; 2 Ambulatorio y susceptible de autocuidado pero incapaz de cualquier actividad de trabajo, hasta y aproximadamente más de 50% de horas de vigilia; 3 Susceptible solamente de un autocuidado limitado, confinado en cama o en una silla más del 50% de las horas de vigilia; 4 Completamente incapacitado, incapaz de llevar a cabo el autocuidado, totalmente confinado en cama o silla; y, 5 Fallecido. (Veáse, The International Non-Hodgkin's Lymphoma Prognostic Factors Project. A predictive model for aggressive non-Hodgkin's lymphoma. N. Engl. J. Med. 329:987-94, 1993).

Por lo general, el grado de los linfomas se evalúa clínicamente utilizando el criterio de que el linfoma de grado bajo normalmente se presenta como una enfermedad nodal y a menudo es indolente o de crecimiento lento. La enfermedad de grado intermedio y elevado normalmente se presenta como una enfermedad mucho más agresiva con grandes tumores masivos extranodales.

El sistema de clasificación de Ann Arbor también se utiliza para medir el progreso de los tumores, especialmente de los linfomas no Hodgkin. En este sistema, las fases I, II, III, y IV del LNH en adultos se pueden clasificar en las categorías A y B dependiendo de si el paciente tiene síntomas generalizados bien definidos (B) o no (A). La designación se aplica a pacientes con los siguientes síntomas: pérdida no explicada de más del 10% de peso corporal en los 6 meses previos al diagnóstico, fiebre no explicada con temperaturas por encima de 38°C y sudoración nocturna profusa. Las definiciones de las fases son las siguientes: Fase I- afectación de una única región ganglionar linfoide o afectación localizada de un único órgano o sitio extralinfático. Fase II- afectación de dos o más regiones ganglionares linfoides en el mismo lado del diafragma o afectación localizada de un único órgano o sitio extralinfático asociado y sus ganglios linfáticos regionales con o sin otras regiones ganglionares linfoides en el mismo lado del diafragma. Fase III- afectación de regiones ganglionares linfoides en ambos lados del diafragma, posiblemente acompañada de afectación localizada de un órgano o sitio extralinfático, afectación del bazo, o ambas. Fase IV- afectación diseminada (multifocal) de uno o más sitios extralinfáticos con o sin afectación ganglionar linfoide asociada o afectación de órganos extralinfáticos aislados con afectación ganglionar distante (no regional). Para más detalles, véase The International Non-Hodgkin's Lymphoma Prognostic Factors Project: A predictive model for aggressive non-Hodgkin's lymphoma, New England J. Med. (1993) 329:987-994.

En un aspecto, el efecto terapéutico de los métodos de acuerdo con la descripción se determina por el nivel de la respuesta, por ejemplo, una respuesta parcial se define como la reducción del tumor a menos de la mitad de su tamaño original. Una respuesta completa se define como la eliminación total de la enfermedad confirmada mediante evaluación clínica o radiológica. En una realización, el individuo que recibe el tratamiento de acuerdo con la invención demuestra al menos una respuesta parcial al tratamiento. De acuerdo con el criterio de Cheson para evaluar el LNH desarrollado en colaboración con el Instituto Nacional del Cáncer (Cheson et al., J Clin Oncol. 1999, 17:1244; Grillo-Lopez et al., Ann Oncol. 2000, 11:399-408), se obtiene una respuesta completa cuando existe una desaparición completa de toda evidencia clínica y radiográfica detectable de la enfermedad y los síntomas asociados, todos los ganglios linfáticos han vuelto a su tamaño normal, el bazo ha experimentado una regresión en su tamaño, y la médula ósea está libre de linfoma.

Se obtiene una respuesta completa no confirmada cuando un paciente muestra una desaparición completa de la enfermedad y el bazo ha experimentado una regresión en el tamaño, pero los ganglios linfáticos han experimentado una regresión de más del 75% y la médula ósea es indeterminada. Una respuesta completa no confirmada satisface y excede los criterios de la respuesta parcial. Una respuesta global se define como una reducción de al menos el 50 por ciento de la carga tumoral global.

Se han desarrollado criterios similares para otras formas diferentes de cáncer o enfermedades hiperproliferativas y ya se encuentran disponibles para los expertos en la técnica. Véase, p. ej., Cheson et al., Clin Adv Hematol Oncol.

2006, 4:4-5, que describe los criterios para evaluar el LLC; Cheson et al., J Clin Oncol. 2003, 21:4642-9, que describe los criterios para la LMA; Cheson et al., Blood 2000, 96:3671-4, que describe los criterios para los síndrome mielodisplásicos.

En otro aspecto, una respuesta terapéutica en pacientes que tienen un cáncer de células B se manifiesta como una ralentización del progreso de la enfermedad en comparación con los pacientes que no reciben terapia. La medida del progreso ralentizado de la enfermedad o cualquiera de los factores anteriores se puede llevar a cabo utilizando mecanismo bien conocidos en la técnica, incluyendo tomografía ósea, tomografía computarizada, gammagrafía con galio 67, linfangiografía, IRM, TEM, ultrasonidos, y similares.

Como un aspecto adicional, la descripción incluye kits que comprenden uno o más compuestos o composiciones útiles en los métodos de esta descripción envasados de una manera que facilita su uso para poner en práctica los métodos de la descripción. En la realización más simple, dicho kit incluye un compuesto o una composición descritos en la presente memoria como útil para poner en práctica un método de la descripción envasado en un recipiente tal como una botella o vasija sellada, con una etiqueta fijada al recipiente o incluida en el envase que describe el uso del compuesto o la composición para poner en práctica el método de la descripción. Preferiblemente, el compuesto o la composición están envasados en una forma de dosificación unitaria. El kit puede incluir adicionalmente un dispositivo adecuado para administrar la composición de acuerdo con una ruta de administración preferida o para poner en práctica un análisis de escrutinio. El kit puede incluir una etiqueta que describa el uso de la composición o las composiciones de la molécula de unión en un método de la descripción.

EJEMPLOS

20 EJEMPLO 1

25

30

35

40

5

MOLÉCULAS DE UNIÓN ESPECÍFICA A CD37

Se pueden elaborar diferentes proteínas de unión específica a CD37 con los componentes ilustrativos proporcionados en las Tablas 2-4. Por ejemplo, se pueden elaborar anticuerpos o moléculas SMIP, y estas moléculas pueden ser quiméricas, humanizadas, o humanas. Más específicamente, las CDR de la región variable de la cadena ligera preferidas se encuentran en los SEQ ID NO: 236-240 y 247-254 y las CDR de los dominios variables de la cadena pesada preferidas incluyen los SEQ ID NO: 241-245 y 247-254. Asimismo, se proporcionan las regiones variables de la cadena ligera y pesada preferidas en el SEQ ID NO: 236-240 y SEQ ID NO: 241-245, respectivamente. También se pueden encontrar las regiones variables de las cadenas ligera y pesada preferidas en los SEQ ID NO: 247-254. Los conectores de los dominios variables preferidos incluyen los SEQ ID NO: 225-229, mientras las regiones bisagra preferidas incluyen los SEQ ID NO: 230-235.

Una realización particularmente preferida es CAS-024 [G28-1 VH (M99F, Y102S) - VL (T25A) scFv (SSC-P) H WCH2 WCH3], que es una proteína de fusión de cadena sencilla de 483 aminoácidos, recombinante que se une al CD37 humano. El dominio de unión comprende un scFv humanizado basado en las CDR de la región variable del anticuerpo G28-1, incluyendo mutaciones en la CDR3 de la cadena pesada y en la CDR1 de la cadena ligera. Los dominios variables están unidos por una secuencia (G4S)5 (25 aminoácidos) (SEQ ID NO: 229), que está conectada por medio de una unión de tres aminoácidos (GDQ) al extremo amino de una región bisagra de IgG1 núcleo y superior modificada (donde las dos primeras de las tres cisteínas encontradas en estas regiones bisagra están sustituidas cada una por una serina). El extremo carboxi de la bisagra está fusionado con un dominio efector que comprende los dominios CH2 y CH3 de IgG1. La secuencia de aminoácidos de CAS-024 se expone en el SEQ ID NO: 253. La Figura 1 muestra los alineamientos de la secuencia de aminoácidos de la región variable de la cadena pesada y ligera de las secuencias G28.1 y CAS-024 de ratón, junto con una secuencia de identidad consenso.

Tabla 1.

	Constructos SMIP Específicos de CD-37 Ilustrativos					
Constructo	Descripción†	pción† Conector		AA SEQ ID NO.		
CAS-001	Vk3:VHS-51	16aa (G ₄ S) ₂ (G ₄ T)G	SSC-P	6		
CAS-002	Vk3:VH5 JH4 CDRL1 (T25A); CDRH3 (M99F)	16aa (G ₄ S) ₂ (G ₄ T)G	SSC-P	48		
CAS-003	Vk3:VH5 JH5a CDRL1 (T25A); CDRH3 (M99F; Y102S)	16aa (G ₄ S) ₂ (G ₄ T)G	SSC-P	52		
CAS-007	Vk3:VH5-51 (ConectorTG→SS)	16aa (G ₄ S) ₃ S	SSC-P	8		
CAS-008	Vk3:VH5·51 <i>VH V11</i> S	16aa (G ₄ S) ₂ (G ₄ T)G	SSC-P	10		
CAS-009	Vk3:VH5-51 <i>CDRL1 (E27Q)</i>	16aa (G ₄ S) ₂ (G ₄ T)G	SSC-P	12		
CAS-010	Vk3:VR5-51 <i>CDRL1 (N28S)</i>	16aa (G ₄ S) ₂ (G ₄ T)G	SSC-P	14		
CAS-011	Vk3:VH5-51 <i>CDRL1 (72.5A)</i>	16aa (G ₄ S) ₂ (G ₄ T)G	SSC-P	16		
CAS-012	mVk:VH5∙5a	16aa (G ₄ S) ₂ (G ₄ A)S	SSC-P	18		
CAS-013	Vk3:VH5 <i>YH3 FWI</i>	16aa (G ₄ S) ₂ (G ₄ A)S	SSC-P	22		
CAS-014	mVH:Vk3	22aa (G ₄ S) ₄ AS	SSC-P	24		
CAS-015	Vk3:mVH (2H7 Líder)	16aa (G ₄ S) ₂ (G ₄ A)S	SSC-P	26		
CAS-016	CAS-016 mVH:Vk3		SCC-P	28		

(Cont.)

Constructo	Constructos SMIP Específico Descripción†	Conector	Bisagra*	AA SEQ ID NO.
CAS-017	Vk3:mVH	16aa (G ₄ S) ₂ (G ₄ A)S	SSC-P	30
CAS-018	Vk3:mVH	16aa (G ₄ S) ₂ (G ₄ A)S	SCC-P	32
CAS-019	Vk.3:VH5 <i>VH3 FW1</i>	16aa (G ₄ S) ₂ (G ₄ A)S	SCC-P	34
CAS-020	Vk3:VH5 <i>VH3-13 FW1</i>	16aa (G ₄ S) ₂ (G ₄ A)S	SSC-P	38
CAS-021	Vk3:VH5 <i>YH3-13 FW1</i>	16aa (G ₄ S) ₂ (G ₄ A)S	SCC-P	40
CAS-022	Vk3:VH5 <i>VH3-13 V11SFWI</i>	16aa (G ₄ S) ₂ (G ₄ A)S	SSC-P	42
CAS-023	Vk3:VH5 <i>VH1-13 V11S FW1</i>	16aa (G ₄ S) ₂ (G ₄ A)S	SCC-P	44
CAS-024	VHVL	25aa (G ₄ S) ₅	SSC-P	253
CAS-060	Vk3:VH5 <i>VH3 FW1</i>	16aa (G ₄ S) ₂ (G ₄ A)S	SSC-P	36
CAS-061	Vk3:VH5 <i>CDRL1 (T25A, E27Q)</i>	16aa (G ₄ S) ₂ (G ₄ T)G	SSC-P	46
CAS-062	Vk3:CDR-H3 JH6 <i>CDRL1 (T25A), CDRH3</i> (Y102V)	16aa (G ₄ S) ₂ (G ₄ T)G	SSC-P	254
CAS-063	Vk3:VH5 JH5b CDRL1 (T25A); CDRH3 (M99F, Y102P)	16aa (G ₄ S) ₂ (G ₄ T)G	SSC-P	266
CAS-064	Vk3:VH5 JH1 <i>CDRL1 (T25A) CDRH3 (D101E;</i> <i>Y102H)</i>	16aa (G ₄ S) ₂ (G ₄ T)G	SSC-P	267
CAS-065	Vk3:CDR-H3 TH3a <i>CDRL1 (T25A) CDRH3</i> (M99F; Y102V)	16aa (G ₄ S) ₂ (G ₄ T)G	SSC-P	268
CAS-066	Vk3:CDR-H3 JH3b <i>CDRL1 (T25A) CDRH3</i> (M99F, Y102I)	16aa (G ₄ S) ₂ (G ₄ T)G	SSC-P	269
CAS-067	Vk3:CDR-H3 JH2 <i>CDRL1(T25A) CDRH3</i> (M99F, Y102L)	16aa (G ₄ S) ₂ (G ₄ T)G	SSC-P	80
CAS-068	Vk3:VH5 JH2 CDRL1 (T25A) CDRH2 (T59N, N61A, R62Q; K65Q)	16aa (G ₄ S) ₂ (G ₄ A)s	SSC-P	82
CAS-069	Vk3:VH5 JH2 <i>CDRLI (T25A) CDRH2 (T5</i> 9G, <i>N61A; R62Q; K65Q)</i>	16aa (G ₄ S) ₂ (G ₄ A)S	SSC-P	262
CAS-070	Vk3:VH5 JH5a CDRL1 (T25A), CDRH3 (M99F, Y102S)	20aa (G ₄ S) ₃ (G ₃ A)S	СРРСР	84

^{*} Las entradas representan las abreviaturas referentes a las bisagras de IgG1 que tienen mutaciones solamente en la primera o la primera y la segunda cisteínas encontradas en la región superior y núcleo. La única excepción es SEQ ID NO: 84, que representa la secuencia de aminoácidos bisagra completa (CPPCP, SEQ ID NO: 230) utilizada (esencialmente, solo la secuencia IgG1 núcleo con una prolina en el extremo)

[†] La numeración de la mutación de CDR se basa en el esquema de numeración de Kabat.

Las regiones bisagra adicionales que se pueden utilizar en las moléculas de unión específica a CD-37, tales como las moléculas SMIP o los anticuerpos, se proporcionan en la siguiente tabla.

Tabla 2

	sagra llustrativas para las Proteínas de Unión Específica a (
Descripción bisagra		SEQ ID NO:		
ccc(p)-hlgG1	EPKSCDKTHTCPPCP	90		
scc(p)-hlgG1	EPKSSDKTHTCPPCP	92		
scc(s)-hlgG1	EPKSSDKTHTCPPCS	94		
csc(p)-hlgG1	EPKSCDKTHTSPPCP	102		
csc(s)-hlgG1	EPKSCDKTHTSPPCS	104		
ccs(p)-hlgG1	EPKSCDKTHTCPPSP	255		
ccs(s)-hlgG1	EPKSCDKTHTCPPSS	256		
ssc(p)-hlgG1	EPKSSDKIHISPPCP	106		
ssc(s)-hlgG1	EPKSSDKIHISPPCS	108		
scs(p)-hlgG1	EPKSSDKTHTCPPSP	257		
scs(s)-hlgG1	EPKSSDKTHTCPPSS	96		
css(p)-hlgG1	EPKSCDKTHTSPPSP	110		
css(s)-hlgG1	EPKSCDKTHTSPPSS	112		
sss(p)-hlgG1	EPKSSDKTHTSPPSP			
sss(s)-hlgG1	(s)-higG1 EPKSSDKTHTSPPSS			
hlgA1	VPSTFPTPSPSTPPTPSPS			
hlgA2	VPPPP	116		
hlgG3	ELKTPLGDTTHTCPRCPEPKSCDTPPPCPRCPEPKS CDTPPPCPRCPEPKSCDTPPPCPRCP	118		
hlgG3(ccc)	EPKSCDIPPPCPRCP	258		
hlgG3 (scc)	EPKSSDTPPPCPRCP	120		
hlgG3 (csc)	EPKSCDTPPPSPRCP	126		
hlgG3 (ccs)	EPKSCDTPPPCPRSP	259		
hlgG3 (ssc)) EPKSCDTPPPSPRCP			
hlgG3 (scs)	EPKSCDTPPPCPRSP	261		
hlgG3 (css)	EPKSCDTPPPSPRSP	122		
hlgG3 (sss)	EPKSSDTPPPSPRSP	124		
hlgD	hlgD ESPKAQASSVPTAQPQAEGSLAKATTAPATTRNTG RGGEEKKKEKEEQEERETKIP			

Las regiones marco adicionales que se pueden utilizar en las moléculas de unión específica a CD-37, tales como las moléculas SMIP o los anticuerpos, se proporcionan en las siguientes tablas.

TABLA 3A

Región V	Regiones Marco de VH Humana	SEQ ID NO	
	FR1		
VH1	QVQLVQSGAEVKKPGASVKVSCKASGYTFT	140	
VH1	QVQLVQSGAEVKKPGSSVKVSCKASGGTFS	141	
VH1	EVQLVQSGAEVKKPGATVKISCKVSGYTFT	143	
VH5	EVQLVQSGAEVKKPGESLKISCKGSGYSFI	144	
VH5	EVQLVQSGAEVKKPGESLRISCKGSGYSF T	145	
VH7	QVQLVQSGSELKKPGASVKVSCKASGYTFT	146	
	FR2		
VH1	WVRQAPGQGLEWMG	147	
VH1	WVQQAPGKGLEWMG	150	
VH5	WVRQMPGKGLEWMG	151	
	FR3		
VH1	RVTMTIDTSTSTAYMELRSLRSDDIAVYYCAR	154	
VH1	RVTITADESTSTAYMELSSLRSEDTAVYYCAR	155	
VH1	RVTITADKSISTAYMELSSLRSEDTAVYYCAR	156	
VH1	RVTITADTSTDTAYMELSSLRSEDIAVYYCAT	157	
VH5	QVTISADKSISTAYLQWSSLKASDTAMYYCAR	158	
VH5	HVTISADKSISTAYLQWSSLKASDTAMYYCAR	159	
VH7	RFVFSLDTSVSTAYLQISSLKAEDTAVYYCAR	160	
	FR4		
JH1, JH4, JH5a, JH5b	WGQGTLVTVSS	161	
JH2	WGRGTLVTVSS	162	
JH3a, JH3b	WGQGTMVTVSS	163	
JH6	WGQGTTVTVSS	168	
	WGKGTTVTVSS	169	

TABLA 3B

Región V	Regiones Marco de VK Humana	SEQ ID NO	
	FR1		
VK3	EIVMTQSPATLSVSPGERATLSC	170	
VK3	ENLTQSPATLSLSPGERATLSC	171	
VK1	DIQMTQSPSSLSASVGDRVTITC	172	
VK1	NIQMTQSPSAMSASVGDRVTITC	175	
VK1	AIQLTQSPSSLSASVGDRVTITC	177	
VK1	DIQLTQSPSFLSASVGDRVTITC		
VK1	AIRMTQSPFSLSASVGDRVTITC		

Región V	Regiones Marco de VK Humana	SEQ ID NO
VK1	AIQMTQSPSSLSASVGDRVITIC	180
VK1	DIQMTQSPSTLSASVGDRVTITC	181
	FR2	
VK3	WYQQKPGQAPRLLIY	182
VK1	WYQQKPGKAPKLLIY	184
VK1	WYQQKPGKVPKLLIY	185
VK1	WYQQKPGKAPKRLIY	186
VK1	WFQQKPGKVPKHLIY	187
VK1	WFQQKPGKAPKSLIY	188
VK1	WYQQKPAKAPKIFIY	191
	FR3	
VK3	GIPARFSGSGSGTEFTLTISSLQSEDFAVYYC	194
VK3	GIPARFSGSGSGTDFTLTISSLEPEDFAVYYC	195
VK1	GVPSRFSGSGSGTDPTLTISSLQPEDFATYYC	196
VK1	GVPSRFSGSGSGTDFTLTISSLQPEDVAIYYC	197
VK1	GVPSRFSGSGSGTEFTLTISSLQPEDFATYYC	198
VK1	GVPSRFSGSGSGIDYTLTISSLQPEDFATYYC	203
VK1	GVPSRFSGSGSGTEFTLTISSLQPDDFATYYC	205
	FR4	
JK1	FGQGTKVEIK	206
	FGQCTKLEIK	207
	FGPGTKVDIK	208
	FGGGTKVEIK	209
	FGQGTRLEIK	210

Las partes componentes ilustrativas preferidas de las moléculas SMIP específicas de CD-37 (incluyendo las secuencias líder utilizadas para la expresión y la exportación, pero que se separan de la proteína de fusión madura cuando son exportadas desde la célula; las secuencias conectoras utilizadas para unir los dominios variables de las cadenas ligera y pesada para formar los dominios de unión scFv; las bisagras utilizadas para unir los dominios de unión scFv a los dominios efectores; y los dominios efectores), así como ciertas moléculas SMIP específicas de CD-37, incluyendo la proteína de fusión CAS-024 preferida, se proporcionan en la Tabla 4.

Tabla 4

Partes de los Componentes SMIP y Polipéptidos SMIP Específicos de CD37 Selectos				
Constructo Núm. SEQ ID NO. Secuencia de Aminoácidos				
Secuencia Líder	223	MDFQVQIFSFLLISASVIIARGV		
Secuencia Líder	224	MEAPAQLLFLLLWLPDTTG		
Conector del Dominio Variable	225	GGGGSGGGGSS		
Conector del Dominio Variable	226	GGGGSGGGGGGAS		

5

(cont.)

Partes de los Componentes SMIP y Polipéptidos SMIP Específicos de CD37 Selectos				
Constructo Núm.	SEQ ID NO.	Secuencia de Aminoácidos		
Conector del Dominio Variable	227	GGGGSGSGGGGAS		
Conector del Dominio Variable	228	GGGGSGGGGTG		
Conector del Dominio Variable	229	GGGGSGGGGGGGGGGGGG		
Bisagra	230	CPPCP		
Bisagra (aminoácidos de la unión en cursiva)	231	SEPKSSDKTHTSPPCP		
Bisagra (aminoácidos de la unión en cursiva)	232	DLEPKSSDKTHTSPPCP		
Bisagra (aminoácidos de la unión en cursiva)	233	DQEPKSSDKTHTSPPCP		
Bisagra (aminoácidos de la unión en cursiva)	234	GDQEPKSSDKTHTSPPCP		
Bisagra (aminoácidos de la unión en cursiva)	235	GSSEPKSSDKTHTSPPCP		
VL CD37 Ratón (CDR destacadas)	236	DIQMTQSPASLSASVGETVTITC <i>RTSENVYSYLA</i> WYQQKQ GKSPQLLVS <i>FAKTLAE</i> GVPSRFSGSGSGTQFSLKISSLQPE DSGSYFC <i>QHHSDNPWT</i> FGGGTELEIK		
VL CD37 Humanizada (CDR destacadas)a	237	ETVLTQSPATLSLSPGERATLSC <i>RTSENVYSYLA</i> WYQQKPO QAPRLLIY <i>FAKTLAE</i> GIPARFSGSGSGTDFTLTISSLEPEDF AVYYC <i>QHHSDNPWT</i> FGQGTKVEIK		
VL CD37 Humanizada (CDR destacadas)b	238	EIVLTQSPATLSLSPGERATLSC <i>RASENVYSYLA</i> WYQQKPG QAPRLLIY <i>FAKTLAE</i> GIPARFSGSGSG1DFTLTISSLEPEDF AVYYC <i>QHHSDNPWT</i> FGQG1KVEIK		
VL CD37 Humanizada (CDR destacadas)c	239	EIVLTQSPATLSLSPGERATLSC <i>RTSQNVYSYLA</i> WYQQKPG QAPRLLIY <i>FAKTLAE</i> GIPARFSGSGSGIDFTLTISSLEPEDF AVYYC QHHSDNPWT FGQGIKVEIK		
VL CD37 Humanizada	240	EIVLTQSPATLSLSPGERATLSC <i>RTSESVYSYLA</i> WYQQKPG QAPRLLIY <i>FAKTLAE</i> GIPARFSGSGSGIDFTLTISSLEPEDF		
(CDR destacadas)d		AVYYC QHHSDNPWT FGQGTKVEIK		
VL CD37 Ratón (CDR destacadas)	241	AVQLQQSGPESEKPGASVKISCKASGYSFI <i>GYNMN</i> WVKQ NNGKSLEWIGNIDPYYGGTTYNRKFKGKATLTVDKSSSTA YMQLKSLTSEDSAVYYCARSVGPMDYWGQGTSVTVSS		
VH CD37 Humanizada (CDR destacadas)a	242	EVQLVQSGAEVKKPGESLKISCKGSGYSFTGYNMNWVRQ MPGKGLEWMGNIDPYYGGTTYNRKFKGQVTISADKSISTA YLQWSSLKASDTAMYYCARSVGPMDYWGQGTLVTVSS		

Partes de los Componentes SMIP y Polipéptidos SMIP Específicos de CD37 Selectos				
Constructo Núm.	SEQ ID NO.	Secuencia de Aminoácidos		
VH CD37 Humanizada (CDR destacadas)a	243	EVQLVQSGAEVKKPGESLKISCKGSGYSFI <i>GYNMN</i> WVRQ MPGKGLEWMG <i>NIDPYYGGTIYNRKFKG</i> QVTISADKSISTA YLQWSSLKASDIAMYYCAR <i>SVGPMDV</i> WGQGILVTVSS		
VH CD37 Humanizada (CDR destacadas)b		EVQLVQSGAEVKKPGESLKISCKGSGYSFT <i>GYNMN</i> WVRQ MPGKGLEWMG <i>NIDPYYGGTTYNRKFKG</i> QVTISADKSISTA YLQWSSLKASDTAMYYCAR <i>SVGPFDY</i> WGQGTLVTVSS		
VH CD37 Humanizada (CDR destacadas) _C	245	EVQLVQSGAEVKKPGESLKISCKGSGYSFT <i>GYNMN</i> WVRQ MPGKGLEWMG <i>NIDPYYGGTTYNRKFKG</i> QVTISADKSISTA YLQWSSLKASDTAMYYCAR <i>SVGPFDS</i> WGQGTLVTVSS		
lgG1 CH2CH3	246	APELLGGPSVFLFPPKPKDII MISRTPEVTCVVVDVSHEDP EVKFNWYVDGVEVHNAKI KPREEQYNSIYRVVSVLIVL HQDWLNGKEYKCKVSNKALPAPIEKIISKAKGQPREPQV YTLPPSRDELIKNQVSLICLVKGFYPSDIAVEWESNGQPE NNYKITPPVLDSDGSFFLYSKLIVDKSRWQQGNVFSCSV MHEALHNHYIQKSLSLSPGK		
CAS-006 (SMIP anti-CD37 quimérica)		DIQMTQSPASLSASVGETVTITCRISENVYSYLAWYQQKQ GKSPQLLVSFAKTLAEGVPSRFSGSGSGTQFSLKISSLQPE DSGSYFCQHHSDNPWIFGGGTELEIKGGGGSGGGSGGG GSSAVQLQQSGPESEKPGASVKISCKASGYSFTGYNMNWV KQNNGKSLEWIGNIDPYYGGITYNRKFKGKATLIVDKSSS TAYMQLKSLISEDSAVYYCARSVGPMDYWGQGTSVTVS SDLEPKSSDKIHTSPPCPAPELLGGPSVFLFPPKPKDTLMIS RTPEVICVVVDVSHEDPEVKFNWYVDGVEVHNAKTKPR EEQYNSTYRVVSVLTVLHQDWLNGKEYKCKVSNKALPA PIEKTISKAKGQPREPQVYTLPPSRDELTKNQVSLTCLVKG FYPSDIAVEWESNGQPENNYKTPPVLDSDGSFFLYSKLT VDKSRWQQGNVFSCSVMHEALHNHYTQKSLSLSPGK		
CAS-001	248	EIVLIQSPATLSLSPGERATLSCRTSENVYSYLAWYQQKPG QAPRLLIY FAKTLAEGIPARFSGSGSGIDFILITSSLEPEDF AVYYCQHHSDNPWTFGQGTKVEIKGGGGSGGGGSGGGG TGEVQLVQSGAEVKKPGESLKISCKGSGYSFIGYNMNWV RQMPGKGLEWMGNIDPYYGGTIYNRKFKGQVITSADKSI STAYLQWSSLKASDIAMYYCARSVGPMDYWGRGILVTV SSDQEPKSSDKTHTSPPCPAPELLGGPSVFLFPPKPKDILMI SRTPEVTCVVVDVSHEDPEVKFNWYVDGVEVHNAKTKP REEQYNSTYRVVSVLIVLHQDWLNGKEYKCKVSNKALP APIEKTISKAKGQPREPQVYTLPPSRDELTKNQVSLICLVK GFYPSDIAVEWESNGQPENNYKTTPPVLDSDGSFFLYSKL TVDKSRWQQGNVFSCSVMHEALHNHYTQKSLSLSPGK		

Partes de los	Partes de los Componentes SMIP y Polipéptidos SMIP Específicos de CD37 Selectos				
Constructo Núm.	SEQ ID NO.	Secuencia de Aminoácidos			
CAS-002	249	EIVLIQSPATLSLSPGERATLSCRASENVYSYLAWYQQKPG QAPRLLIYFAKTLAEGIPARFSGSGSGTDFTLIISSLEPEDF AVYYCQHHSDNPWTFGQGTKVEIKGGGGSGGGGSGGGG TGEVQLVQSGAEVKKPGESLKISCKGSGYSFTGYNMNWV RQMPGKGLEWMGNIDPYYGGTTYNRKFKGQVTISADKSI STAYLQWSSLKASDIAMYYCARSVGPFDYWGQGILVTV SSDQEPKSSDKTHTSPPCPAPELLGGPSVFLFPPKPKDTLMI SRTPEVICVVVDVSHEDPEVKFNWYVDGVEVHNAKTKP REEQYNSTYRVVSVLTVLHQDWLNGKEYKCKVSNKALP APIEKTISKAKGQPREPQVYTLPPSRDELTKNQVSLTCLVK GFYPSDIAVEWESNGQPENNYKTTPPVLDSDGSFFLYSKL TVDKSRWQQGNVFSCSVMHEALHNHYTQKSLSLSPGK			
CAS-003	250	EIVLTQSPATLSLSPGERATLSCRASENVYSYLAWYQQKPG QAPRLLIYFAKTLAEGIPARFSGSGSGTDFILTISSLEPEDF AVYYCQHHSDNPWTFGQGTKVEIKGGGGSGGGGSGGGG TGEVQLVQSGAEVKKPGESLKISCKGSGYSFIGYNMNWV RQMPGKGLEWMGNIDPYYGGTTYNRKFKGQVTISADKSI STAYLQWSSLKASDTAMYYCARSVGPFDSWGQGTLVTV SSDQEPKSSDKTHTSPPCPAPELLGGPSVFLFPPKPKDTLMI SRIPEVTCVVVDVSHEDPEVKFNWYVDGVEVHNAKTKP REEQYNSTYRVVSVLTVLHQDWLNGKEYKCKVSNKALP APIEKTISKAKGQPREPQVYTLPPSRDELTKNQVSLTCLVK GFYPSDIAVEWESNGQPENNYKTTPPVLDSDGSFFLYSKL TVDKSRWQQGNVFSCSVMHEALHNHYTQKSLSLSPGK			
CAS-014 (híbrido ratón-humano)	251	AVQLQQSGPESEKPGASVKISCKASGYSFTGYNMNWVKQ NNGKSLEWIGNIDPYYGGTTYNRKFKGKAILTVDKSSSTA YMQLKSLISEDSAVYYCARSVGPMDYWQQGTSVTVSSG GGGSGGGSGGGSGGGSASEIVLIQSPATLSLSPGERAT LSCRTSENVYSYLAWYQQKPGQAPRLLIYFAKTLAEGIPA RFSGSGSGIDFTLTISSLEPEDFAVYYCQHHSDNPWTFGQ GTKVEIKGSSEPKSSDKTHTSPPCPAPELLGGPSVFLFPPKP KDTLMISRTPEVTCVVVDVSHEDPEVKFNWYVDGVEVHN AKTKPREEQYNSTYRVVSVLTVLHQDWLNGKEYKCKVS NKALPAPIEKTISKAKGQPREPQVYTLPPSRDELTKNQVSL TCLVKGFYPSDIAVEWESNGQPENNYKTTPPVLDSDGSFF LYSKLTVDKSRWQQGNVFSCSVMHEALHNHYTQKSLSLS PGK			

Partes de lo	Partes de los Componentes SMIP y Polipéptidos SMIP Específicos de CD37 Selectos				
Constructo Núm.	SEQ ID NO.	Secuencia de Aminoácidos			
		EIVLTQSPATLSLSPGERATLSC <i>RTSENVYSYLA</i> WYQQKPG			
		QAPRLLIY FAKTLAEGIPARFSGSGSGTDFTLIISSLEPEDF			
		AVYYC QHHSDNPWT FGQGIKVEIKGGGGSGGGGSGGG			
		ASAVQLQQSGPESEKPGASVKISCKASGYSFTGYNMNWV			
	ļ	KQNNGKSLEWIG <i>NIDPYYGGTTYNRKFKG</i> KATLTVDKSSS			
CAS-017 (híbrido	252	TÄYMQLKSLISEDSAVYYCAR <i>SVGPMDY</i> WGQGTSVTVS			
humano-ratón)	232	S <u>S</u> EPKSSDKTHTSPPCPAPELLGGPSVFLFPPKPKDTLMISR			
		IPEVICVVVDVSHEDPEVKFNWYVDGVEVHNAKIKPRE			
		EQYNSTYRVVSVLTVLHQDWLNGKEYKCKVSNKALPAPI			
		EKIISKAKGQPREPQVYILPPSRDELTKNQVSLICLVKGF			
		YPSDIAVEWESNGQPENNYKTTPPVLDSDGSFFLYSKLIV			
		DKSRWQQGNVFSCSVMHEALHNHYTQKSLSLSPGK			
	253	EVQLVQSGAEVKKPGESLKISCKGSGYSFI <i>GYNMN</i> WVRQ			
		MPGKGLEWMG <i>NIDPYYGGTTYNRKFKG</i> QVTISADKSIS1A			
		YLQWSSLKASDIAMYYCAR <i>SVGPFDS</i> WGQGILVTVSS <i>G</i>			
		GGGSGGGGSGGGGSGGGGSETVLTQSPATLSLSPG			
		ERATLSC <i>RASENVYSYLA</i> WYQQKPGQAPRLLIY <i>FAKTLAE</i>			
		GIPARFSGSGSGTDFTL1ISSLEPEDFAVYYCQHHSDNPWT			
CAS-024		FGQGTKVEIK <i>GDQEPKSSDKTHTSPPCP</i> APELLGGPSVFLF			
		PPKPKDILMISRIPEVICVVVDVSHEDPEVKFNWYVDGV			
		EVHNAKI KPREEQYNSIYRVVSVLIVLHQDWLNGKEYK			
		CKVSNKALPAPIEKTISKAKGQPREPQVYTLPPSRDELTKN			
		QVSLICLVKGFYPSDIAVEWESNGQPENNYKITPPVLDSD			
		GSFFLYSKLTVDKSRWQQGNVFSCSVMHEALHNHYIQKS			
		LSLSPGK			

EJEMPLO 2

EXPRESIÓN DE CAS-024 Y OTRAS PROTEÍNAS DE UNIÓN ESPECÍFICA A CD37

- Se clonaron CAS-024 y otras moléculas SMIP de unión específica a CD37 en un sistema de expresión de células de mamífero de Ovario de Hámster Chino (CHO). Las células CHO transfectadas que producían las moléculas SMIP se cultivaron en matraces con sacudimiento y los sobrenadantes de cultivo celular cosechados se titularon utilizando un sensor Octec Q Protein A.
- La Tabla 5 demuestra que el constructo CAS-024 (formato VHVL con un conector del dominio variable de 25 aminoácidos) tenía un nivel de expresión inesperadamente superior, hasta aproximadamente 10 veces mejor, que las otras moléculas SMIP anti-CD37 humanizadas (la mayor parte del formato VLVH con un conector del dominio variable de 15 aminoácidos). En efecto, todos los constructos VLVH totalmente humanizados se expresan escasamente (datos no mostrados), como las moléculas híbridas ratón-humano en cualquier orientación (véase el Ejemplo 5).

15

Tabla 5.

Expresión de SMIP					
Proteína SMIP	Intervalo de Título Proteína (μg/ml)				
CAS-001	492	65 - 80			
CAS-002	425	200 - 280			

Expresión de SMIP					
Proteína SMIP Clones Escrutados Intervalo de Título Proteín (μg/ml)					
CAS-003	611	300 - 360			
CAS-024	203	500 - 650			

EJEMPLO 3

PURIFICACIÓN Y CROMATOGRAFÍA DE EXCLUSIÓN POR TAMAÑOS DE CAS-024 Y OTRAS PROTEÍNAS DE UNIÓN ESPECÍFICA A CD37

Para producir más proteína, se clonaron ácidos nucleicos que codificaban CAS-024 y otras moléculas SMIP de unión específica a CD37 diferentes en un sistema de expresión de células de mamífero de Ovario de Hámster Chino (CHO). Las células CHO transfectadas que producían las moléculas SMIP fueron cultivadas en matraces con sacudimiento.

10 Todas las moléculas SMIP de unión específica a CD37 se purificaron a partir de los sobrenadantes del cultivo de CHO mediante cromatografía de Afinidad con Proteína A. Se equilibró una columna de Proteína A- Sefarosa FF de 50 ml (GE Healthcare) a 5,0 mls/min (150 cm/hr) para Volúmenes de la Columna de 15 (VC) con dPBS. El sobrenadante de cultivo se cargó sobre la columna de rProteína A-Sefarosa FF a una velocidad de flujo de 1,7 mls/min utilizando el AKTA Explorer 100 Air (GE healthcare), que captura las moléculas SMIP recombinantes. La columna se lavó con dPBS para Volúmenes de la Columna de 5 (VC), después con NaCl 10 M, Fosfato de Sodio 20 15 mM, pH 6,0, y después con NaCl 25 mM, NaOAc 25 mM, pH 5,0. Las moléculas de unión específica a CD37 recombinante se hicieron eluir de la columna con glicina 100 mM, pH 3,5. Las fracciones (10 mL) del producto eluido se recuperaron y después se llevaron a pH 5,0 con un 20% del volumen eluido de ácido 2-(N-morfolino)etanosulfónico (MES) 0,5 M, pH 6,0. Este producto eluido se concentró a aproximadamente 25 mg/mL de proteína y se esterilizó por filtración. Esta proteína concentrada y esterilizada se purificó adicionalmente mediante 20 cromatografía GPC/exclusión por tamaños (SEC) para lograr separar la molécula SMIP (dímero) de los productos agregados de peso molecular superior. Una columna XK 50/100 (GE healthcare) que contenía 1 L de Superdex 200-Sefarosa FF se equilibró a 12,6 ml/min (38 cm/hr) para volúmenes de la columna de 1 5 (VC) con dPBS. Se aplicó un volumen máximo de 54 mls (3% VC) de la muestra a la columna. La columna continuó circulando a 12,6 25 ml/min y la proteína eluida se fraccionó en fracciones de 40 mL. Cada fracción se analizó para determinar la calidad del producto utilizando una HPLC analítica, y las fracciones eluidas se reunieron a más de aproximadamente 95% de la proteína de interés (no agregada). La reserva resultante se esterilizó por filtración a 0.22 µm, se concentró, y después se formuló con fosfato de sodio 20 mM, sacarosa 240 mM, pH 6,0.

Las trazas de la SEC que muestran los picos que contienen la proteína de interés (PDI) para CAS-001 (SEQ ID NO: 6), CAS-002 (SEQ ID NO: 48), CAS-003 (SEQ ID NO: 52), y CAS-024 (SEQ ID NO: 253) se muestran en las Figuras 2A-2D, respectivamente. El pico de CAS-024 es más estrecho y más simétrico que los de las muestras de CAS-001, CAS-002, y CAS-003 (más amplios y asimétricos). La molécula CAS-006 (quimérica) produce un pico más agudo similar al de CAS-024. Las muestras de CAS-001, CAS-002, y CAS-003 tenían todas un hombro con una ligera cola, que si se integraba, representaba aproximadamente 35% del área PDI. Este "hombro" sería difícil de separar del PDI y probablemente representaría confórmeros plegados erróneamente o una población heterogénea de moléculas {p. ej., tienen diferentes niveles de glicosilación). Esto indica que CAS-024 no solo se había expresado mejor, si no que este constructo también produce una población de moléculas más homogénea.

EJEMPLO 4

30

35

40

45

50

LA UNIÓN CELULAR POR CAS-024 ES INESPERADAMENTE SUPERIOR A OTRAS PROTEÍNAS DE UNIÓN ESPECÍFICA A CD37

Se utilizó un análisis competitivo para comparar la afinidad de unión de diferentes moléculas inmunofarmacéuticas modulares pequeñas (SMIP) específicas anti-CD37 para el CD-37 encontrado en células Ramos (una línea celular linfoblastoide B derivada de un linfoma de Burkitt). Una molécula SMIP anti-CD37 quimérica purificada mediante SEC (CAS-006, SEQ ID NO: 247) se marcó con el colorante de fluorescencia FMAT Blue® (Applied Biosystems) y se utilizó como patrón para competir con la molécula SMIP anti-CD37 quimérica no marcada purificada (control positivo) y las moléculas de ensayo SMIP anti-CD37 humanizadas no marcadas purificadas. La mayor afinidad mostrada como una señal de fluorescencia más débil y un valor de fluorescencia FL1 se utilizó para generar la curva de competición. En resumen, la molécula SMIP anti-CD37 marcada con el reactivo FMAT Blue® se diluyó hasta 2 μg/ml en tampón de bloqueo FACS y las muestras de proteína purificada (CAS-001 (SEQ ID NO: 6), CAS-002 (SEQ ID NO: 48), CAS-003 (SEQ ID NO: 52), y CAS-024 (SEQ ID NO: 253)) se diluyeron seriadamente 1:2 a concentraciones que oscilaban entre 50 μg/ml y 0,02 μg/ml. Las células Ramos se cosecharon a 1.000 rpm durante 5 minutos y se resuspendieron en tampón de bloqueo FACS a 4 x 10⁶ células/10 ml de tampón. A cada pocillo de

una placa de 96 pocillos de color negro se le añadió lo siguiente: $50 \mu l$ de muestra, $50 \mu l$ de molécula SMIP anti-CD37 quimérica marcada con FMAT Blue®, y $50 \mu l$ de células Ramos (4×10^4 /pocillo). Las placas se incubaron a la temperatura ambiente durante $30 \min$ y se leyeron en un 8200 Cellular Detection System (Applied Biosystems) regulado para un tamaño de células medio y una señal baja.

Este análisis competitivo FMAT demostró que CAS-024 (la molécula SMIP anti-CD37 humanizada que tenía un scFV de VHVL con un conector del dominio variable de 25 aminoácidos) tiene la misma afinidad por CD37 que la molécula SMIP anti-CD37 quimérica parental y, en contraste, tiene inesperadamente una afinidad hasta 4 veces mayor por CD37 que las moléculas SMIP anti-CD37 humanizadas que tenían la estructura VLVH inversa y un conector del dominio variable de 16 aminoácidos más corto (véase la Figura 3). La mejor unión, aunque significativamente menor que la de CAS-006 o CAS-024, se encontró en un constructo VLVH que no tenía ninguna mutación en CDR (CAS-001). Sin embargo, CAS-001 fue sistemáticamente el constructo peor expresado y produjo una población no homogénea de moléculas purificadas – incluso para este constructo, CAS-024 se unía entre 1,5 y 2 veces mejor que CAS-001.

Este resultado también fue sorprendentemente porque M99 e Y102 de la CDR3 de la cadena pesada de CAS-024 están mutadas – la posición Y102 generalmente está conservada y cabría esperar que un cambio en esta posición solo disminuyera o incluso anulara la unión (p. ej., CAS-062, muta en la posición Y102, tiene una unión detectable pero gravemente disminuida en comparación con CAS-001 o CAS-024, mientras CAS-063 a CAS-067 tienen cada uno una actividad de unión de escasamente detectable a nula en este análisis cuando se añade una mutación en la posición M99 o D101, datos no mostrados). De este modo, la estructura de CAS-024 proporcionó una molécula que se unía sorprendentemente tan bien como la molécula quimérica, CAS-006.

EJEMPLO 5

30

35

40

45

EXPRESIÓN Y UNIÓN CELULAR DE CAS-024 EN COMPARACIÓN CON LAS PROTEÍNAS DE UNIÓN ESPECÍFICA A CD37 HÍBRIDAS DE RATÓN-HUMANO

Se produjeron las moléculas SMIP de unión específica a CD37 CAS-024 y otras por medio de la tecnología de ADN recombinante y se transfectaron en células HEK293 durante 7 días. Los sobrenadantes del cultivo celular se cosecharon el día 7 y se titularon utilizando un sensor Octec Q Protein A.

De un modo similar a los resultados mostrados en el Ejemplo 2, aquí la Tabla 6 demuestra que CAS-024 (formato VHVL con un conector del dominio variable de 25 aminoácidos) se expresaba de aproximadamente 5 veces a aproximadamente 27 veces mejor que las otras moléculas SMIP anti-CD37 híbridas de ratón-humano o humanizadas. Las moléculas híbridas de ratón-humano no se expresaban bien con independencia de la orientación VHVL o VLVH.

Tabla 6.

Expresión SMIP				
Proteína SMIP Título Proteína(μ				
CAS-002 (hVLhVH)	0,47			
CAS-003 (hVLhVH)	2,39			
CAS-014 (mVHhVL)	2,16			
CAS-017 (hVLmVH)	0 70			
CAS-006 (mVLmVH)	9,3			
CAS-024 (hVHhVL)	12 7			

Se utilizó un análisis competitivo como el descrito en el Ejemplo 4 para comparar la afinidad de unión de diferentes moléculas SMIP anti-CD37 híbridas de ratón-humano en comparación con la unión de CAS-024 a células Ramos. Una molécula SMIP anti-CD37 quimérica purificada por medio de SERC (CAS-006, SEQ ID NO: 247) se marcó con el colorante de fluorescencia FMAT Blue® (Applied Biosystems) y se utilizó como patrón para competir con la molécula SMIP anti-CD37 quimérica no marcada purificada (CAS-006, control positivo) y las moléculas de ensayo SMIP anti-CD37 humanizadas no marcadas - CAS-002 (SEQ ID NO: 48), CAS-003 (SEQ ID NO: 52), CAS-014 (SEQ ID NO: 251), CAS-017 (SEQ ID NO: 252), y CAS-024 (SEQ ID NO: 253).

Este análisis competitivo con FMAT demostró de nuevo que CAS-024 (molécula humanizada VHVL con un conector de 25 aminoácidos) tiene la misma afinidad por CD37 que la molécula SMIP anti-CD37 quimérica parental (CAS-006), mientras CAS-002 y CAS-003 (moléculas humanizadas VLVH con un conector de 16 aminoácidos) no se unían tan bien (mostrando una reducción de 2-3 veces) (véase la Figura 4A). Las moléculas híbridas de ratónhumano, con independencia de la orientación del dominio variable (VH de ratón-VL humanizada con un conector de 22 aminoácidos o VL humanizada-VH de ratón con un conector de 16 aminoácidos), se unían tan bien o incluso

mejor (1,5 a 2 veces) que CAS-006 y CAS-024 (véase la Figura 4B). Estos datos demuestran que una molécula híbrida de ratón-humano se une tan bien como o mejor que CAS-006, con independencia de la orientación, y que finalmente el constructo VLVH completamente humanizado sin mutaciones en CDR se une mejor que otras moléculas humanizadas pero todavía tiene una disminución de la unión en comparación con CAS-006 o CAS-024. En conjunto, estos datos sugieren que la carencia de mutaciones en las CDR para esta molécula proporcionaría mejores moléculas de unión. Asimismo, el orden concreto (VLVH o VHVL) no parecía resolver el problema de expresión, ni siquiera cuando se utiliza un conector con un dominio variable más largo (véase CAS-014). De este modo, fue imposible seleccionar una molécula con la estructura de CAS-024 y propiedades similares a la molécula parental CAS-006.

10 EJEMPLO 6

15

20

25

40

45

50

55

CAS-006 Y LOS DIFERENTES ANTICUERPOS ESPECÍFICOS DE CD37 SE UNEN AL MISMO EPÍTOPO O A EPÍTOPOS SOLAPANTES SOBRE CD37

Se realizaron experimentos para identificar el epítopo CD37 unido a CAS-006 y otros anticuerpos específicos de CD37 descritos previamente. Se obtuvieron MB371 no conjugado (Núm. 555457) y MB371 conjugado con FITC (Núm. 555456) de BD Pharmingen (San Jose, CA), BL14 conjugado con FITC (Núm. 0457) de Immunotech/Beckman Coulter (Fullerton, CA), NMN46 conjugado con FITC (Núm. RDI-CBL 136FT) y NMN46 no conjugado (Núm. RDI-CBL 136) de RDI (Flanders, NJ), IPO24 conjugado con FITC (Núm. 186-040) e IPO-24 no conjugado (Núm. 186-020) de Ancell Corporation (Bayport, MN), HHI conjugado con FITC (Núm. 3081) y HH1 no conjugado (Núm. 3080) de DiaTec. Com (Oslo, Noruega) y WR17 conjugado con FITC (YSRTMCA483F) y WR17 no conjugado (YSRTMCA483S) de Accurate Chemical & Scientific (Westbury, NY). La proteína SMIP CAS-006 fue producida como se describe en el Ejemplo 2.

CAS-006 se conjugó con FITC utilizando un Kit de Marcaje con FITC Fluoroinformador para Sondas Moleculares (F6434) de acuerdo con las instrucciones del fabricante como sigue: el pico de interés (PDI) de la proteína CAS-006 a 13,5 mg/mL se ajustó a 5 mg/mL con PBS. Se añadió un mg (200 µI) a los tubos del kit con una varilla de agitación, y se añadió NaHCO₃ 1 M (ajustado a pH 8,5 con NaOH 6N), hasta una concentración final de 0,1 M. Se añadieron 50 µI de DMSO a 370 µg de FITC y se **a**adieron a los tubos a razones molares de FITC:proteína de 15, 20, 30 y 40 utilizando la fórmula para determinar los µI de FITC a añadir: [µI de solución de FITC a añadir = 5 mg/mL de proteína x 0,2 mL x 389 x 100 x razón molar deseada/Peso molecular de CAS-006 (110.000)].

Las reacciones se protegieron de la luz y se agitaron continuamente durante 75 minutos a la temperatura ambiente.

Las reacciones se añadieron a columnas de centrifugación preparadas como se describe en el kit y se centrifugaron a 1.100 g durante 5 minutos para cambio de tampón en PBS por azida y separar el FITC no conjugado. Se determinó la densidad óptica a 280 nM y 494 nM con gotas de 2 µl en un Nanodrop; el coeficiente de extinción para CAS-016 se determinó experimentalmente para este aparato leyendo las diluciones de la molécula SMIP no conjugada de partida, la concentración de cada uno de los productos conjugados fue de 4,25 mg/ml y se determinaron las siguientes razones de FITC:proteína: 2,7 FITC/CAS-016 a una razón de 15; 3,7 FITC/CAS-016 a una razón de 20; 4,4 FITC/CAS-016 a una razón de 30; y 5,1 FITC/CAS-016 a una razón de 40.

Se añadió BSA a 3 mg/mL para ayudar a estabilizar la proteína. Se evaluó la unión de cada fracción a diluciones que oscilaban entre 100 y 24.300x en Ramos y entre 3.200 y 25.600 en PBMC humanas. Todas se unieron, pero se seleccionó la razón MR30 para su uso adicional puesto que daba una IMF elevada que se mantenía bien a lo largo del intervalo de titulación utilizado, indicando que la avidez de la unión resultaba menos afectada en esta reacción.

Los productos conjugados de anticuerpo marcado con FITC se titularon de 10 ng/mL a 10 µg/mL en un estudio de unión inicial para determinar la cantidad óptima a utilizar en los estudios de bloqueo. El nivel seleccionado estaba justo por debajo de las cantidades saturantes, y se mantuvo constante en los siguientes análisis, mientras los niveles de anticuerpo de bloqueo se incrementaron a lo largo de un intervalo de 10 veces. Los datos se trazaron como el porcentaje de unión máxima frente a la concentración de anticuerpo de bloqueo, de manera que los niveles superiores indican un bloqueo menos eficaz, mientras los niveles inferiores indican una actividad de bloqueo más eficaz. Todos los anticuerpos sometidos a ensayo mostraron una actividad de bloqueo de la unión máxima observada sin reactivos no marcados (Figura 5).

Después se tiñeron células BJAB, una línea de células B linfoblastoides con un panel de diferentes clones de mAb anti-CD37, incluyendo MB371, BL14, NMN46, IPO24, HH1, WR17, y SMIP CAS-006 quimérico. Para los análisis de unión competitivos, se incubaron 2,5 x 10⁵ células BJAB en placas con el fondo en V de 96 pocillos en medio de tinción (PBS con suero de ratón al 2%) con los mAb anti-CD37 conjugados con FITC a 1,25 μg/mL en presencia de MAb anti-CD37 no conjugado a las concentraciones indicadas (2,5, 1,25, 0,6, o 0,3 μg/ml) o medio de tinción durante 45 minutos sobre hielo en la oscuridad. Los anticuerpos de bloqueo y los productos conjugados de anticuerpo marcados con FITC se añadieron a las reacciones antes de la adición de las células. Después las células se lavaron 2,5 veces con PBS y se fijaron con paraformaldehído al 1% (USB, Cleveland, Ohio). Las células tratadas se analizaron mediante citometría de flujo utilizando un aparato FACsCalibur y el programa CellQuest (BD Biosciences, San Jose, CA).

Para los análisis de bloqueo cruzado FACs, se incubaron 2,5 x 10⁵ células BJAB en placas de fondo en V de 96 pocillos en medio de tinción (PBS con suero de ratón al 2%) en presencia de MAb anti-CD37 no conjugado a 5 μg/mL durante 45 minutos a la temperatura ambiente en la oscuridad. Se añadieron mAb anti-CD37 conjugados con FITC a una concentración final de 2 μg/ml, dando como resultado una dilución de los reactivos no marcados a 33 μg/ml. Las reacciones se incubaron adicionalmente durante 45 minutos a la temperatura ambiente en la oscuridad, después se lavaron 2,5 veces con PBS, y finalmente se fijaron en paraformaldehído al 1% en PBS (USB, Cleveland, Ohio). Las células se analizaron mediante citometría de flujo en un aparato FACsCalibur utilizando el programa Cell Quest (BD Biosciences, San Jose, CA).

Para los análisis de unión celular, las células se resuspendieron en PBS (Gibco/Invitrogen, Grand Island NY) que contenía FBS al 2% (Gibco/Invitrogen), (medio de tinción) a una concentración de aproximadamente 4 x 10⁶ células/mL. Después las células se cultivaron en placa y luego se añadieron las muestras de ensayo, diluidas en medio de tinción, 1:1 a las concentraciones finales designadas. Las reacciones se incubaron durante 45 minutos sobre hielo. Las muestras se centrifugaron y se lavaron 2 veces con PBS. Se añadió anti-IgG humana de cabra con FITC (CalTag, Burlingame CA) a una dilución final de 1:50, y se incubó 45 minutos sobre hielo. Las muestras se centrifugaron, se lavaron en PBS, después se fijaron en 200 µl de paraformaldehído al 1% en PBS (USB, Cleveland, Ohio). Las células se analizaron mediante citometría de flujo en un aparato FACsCalibur utilizando el programa Cell Quest (BD Biosciences, San Jose, CA).

Cada anticuerpo mostró una inhibición de la unión dependiente de la dosis, indicando que todas las moléculas sometidas a ensayo se unen a un epítopo idéntico o íntimamente relacionado. Se observó una potencia diferente para la inhibición de la unión para cada anticuerpo. La SMIP CAS-006 tenía el nivel más alto de actividad de bloqueo de todas las moléculas sometidas a ensayo, mientras HH1 dio un nivel intermedio de actividad de bloqueo, y WR17, IPO24 bloquearon mejor que MB371, pero mostraron un bloqueo menos eficaz que las otras dos moléculas no marcadas (Figura 5).

Además de los análisis de la actividad de bloqueo, se realizó una serie similar de experimentos en los que se sometieron a ensayo diferentes anticuerpos dirigidos a CD37 para determinar su capacidad para competir entre sí por la unión al receptor de CD37. Los resultados de estos experimentos, como los resultados obtenidos en los estudios de bloqueo para todas las moléculas sometidas a ensayo, indicaron que los diferentes anticuerpos dirigidos a CD37 y CAS-006 tienen los mismos epítopos o epítopos íntimamente solapantes.

EJEMPLO 7

20

25

35

40

30 RESPUESTA A LA DOSIS DE CAS-024 EN UN MODELO DE XENOINJERTO DE TUMOR HUMANO SUBCUTÁNEO ESTABLECIDO (DOHH2) EN RATONES SCID

El objetivo de este experimento fue examinar la respuesta a la dosis para el tratamiento con CAS-024 en un modelo de xenoinjerto de tumor humano subcutáneo establecido (DOHH2) en ratones SCID. DOHH2 es una línea de células B linfoblastoides humanas CD20⁺CD37⁺ derivada de un paciente con linfoma folicular (Kluin-Nelemans et al., Leukemia 5:221, 1991). De este modo, DOHH2 derivaba de un paciente con un LNH no Burkitt.

Se inyectaron cinco millones de células DOHH2 subcutáneamente en el flanco de ratones CB-17SCID hembra (Harlan, Somerville, NJ) de 6,5 semanas de edad y con un peso medio de $18,0\pm0,1$ g (oscilando entre 14,6 y 22,6 g). El día 8 después de la inoculación del tumor, los tumores palpables e hicieron evidentes en la mayor parte de los ratones. Los ratones que portaban tumores se clasificaron en cuatro grupos con volúmenes medios de los tumores equivalentes (n=14 por grupo; 2 jaulas de 5 ratones y 1 jaula de 4 ratones para cada grupo). El día de la clasificación se definió como día 0. Los diámetros de los tumores se determinaron con un par de calibres y se calcularon los volúmenes de los tumores utilizando la fórmula: V = 1/2 [longitud x (anchura) 2]. El volumen tumoral medio de la línea base fue de 228 mm 3 , el tamaño tumoral de la línea base media fue de 224 mm 3 , y el intervalo fue de 179 a 284 mm 3 .

45 Tabla 7.

Reactivos para el Uso In Vivo					
Reactivo	% PDI	Concentración y Endotoxina	Preparación para Inyectable		
PBS	NA	1X Endotoxina < 0,03UE/mg	NA		
IgG Humana (hulgG)	No sometida a ensayo	10 mg/mL Endotoxina = 10 UE/mg	Diluido a 1,0 mg/mL, PBS		
CAS-024	100	9,6 mg/mL Endotoxina = 0,01 UE/mg	Diluido a 1,0 mg/mL PBS para dosis de 200 µg; después diluir 1:2 para preparar dosis de 100 µg, después diluir seriadamente 1:3 para preparar las otras soluciones de dosificación.		

Los grupos de ratones SCID que portaban tumores se trataron los días 0, 4, y 8 por medio de inyección IP de 0,2 mL de PBS que contenía 200 µg de hulgG (control negativo) o 200, 100, 30, 10, o 3 µg de CAS-024. Las dos soluciones de dosis más baja de CAS-024 se prepararon el día de la inyección para evitar la necesidad de añadir una proteína portadora a las soluciones más diluidas. Las soluciones de fármaco tenían códigos de color como se describe más abajo (véase la Tabla 8 de más abajo).

Tabla 8.

5

10

15

20

25

30

35

Diseño Experimental						
ID GRUPO	Núm. Ratones, Ruta Inyección, y Días Tratamiento	Dosis por inyección (μg)	mg/kg por inyección ^a	Dosis cumulativa (μg)	Dosis cumulativa (~mg/kg) ^a	
hulgG		200	11,1	600	33	
CAS-024						
200	14 por grupo	200	11,1	600	33	
CAS-024						
100	Inyección IP	100	5,6	300	16.7	
CAS-024	•					
30		30	17	90	5.0	
CAS-024	Días 0, 4, 8					
10	. ,	10	0,6	30	1.7	
CAS-024						
3		3	0,2	9	0.5	

a Observar que hulgGy CAS-024 se administraron en μ g por ratón, no en mg/kg. Los mg/kg aproximados se indican por conveniencia, y se basan en el peso medio (18,0±01 g) de ratón el día 0. El intervalo de peso en este experimento fue de 14,6 a 22,6 g.

Se prepararon soluciones de dosificación con volúmenes similares y se indicaron los contenidos de los tubos en etiquetas eliminables. Un investigador que no estaba tratando ni evaluando los ratones colocó un código de color en cada tubo y anotó el código y la identidad de los contenidos del tubo en un cuaderno de laboratorio. Los ratones se controlaron diariamente mediante inspección visual. Se determinaron los pesos semanalmente, y se determinaron los diámetros de los tumores al menos 3 veces por semana (L, X, V) por medio de un observador ciego (véase más arriba) para los grupos de tratamiento. Se calcularon los volúmenes de los tumores como se ha descrito más arriba. Los ratones fueron sometidos a eutanasia si el volumen de su tumor alcanzaba más de 1.500 mm³ (o 1200 mm³ los Viernes). La muerte no fue el criterio de valoración de los protocolos tumorales y, a menos que se indique de otro modo, la "supervivencia" de un ratón estuvo determinada por el momento en el que fue sometido a eutanasia debido a que el volumen de su tumor alcanzaba los límites previamente determinados. (El protocolo requería que los ratones fueran sometidos a eutanasia si (1) el volumen de su tumor excedía de los parámetros indicados más arriba, (2) se producía la ulceración de un tumor, (3) el tumor inhibía la movilidad del ratón, y (4) la pérdida de peso excedía el 20% del peso corporal).

Un ratón del grupo de tratamiento con 100 µg de CAS-024 fue sometido a eutanasia el día 35 debido a una pérdida de peso >20%. Este ratón tenía un volumen del tumor de 266 mm³ en ese momento, y fue tratado censurando sus datos para el análisis de supervivencia (no sometido a eutanasia el día 35 debido al crecimiento del tumor). Para el cálculo de la incidencia sin tumores al final del estudio, este ratón fue clasificado como uno que había sido sometido a eutanasia durante el estudio debido al crecimiento de su tumor (su tumor estaba volviendo a crecer en el momento de su fallecimiento). Ningún otro ratón fue encontrado muerto y ninguno fue sometido a eutanasia debido a la pérdida de peso, a la ulceración del tumor, o a la reducción de la movilidad. No hubo signos manifiestos de toxicidad ni se observaron pérdidas de peso en ninguno de los grupos de tratamiento (datos no mostrados).

Todos los análisis estadísticos se realizaron utilizando el programa GraphPad Prism. Se determinaron diferencias significativas en los volúmenes medios de los tumores y los volúmenes medios relativos de los tumores utilizando un ANOVA de una vía para datos no paramétricos (test de Kruskal-Wallis) con un post-test de comparación múltiple de Dunn. Para examinar las diferencias entre cada uno de los grupos tratados con CAS-024 y el grupo con hulgG, se compararon todos los grupos. Para las comparaciones entre los grupos con CAS-024 solamente, se excluyó el grupo con hulgG. Además, se analizaron los grupos con dosis altas y medias (200, 100, y 30 µg) como un grupo de datos, y se analizaron los grupos con dosis medias y bajas (30, 10, y 3 µg) como otro grupo de datos. Se determinaron las diferencias significativas en la supervivencia de los ratones a lo largo del tiempo utilizando el análisis de supervivencia de Kaplan-Meier con un test de logaritmo del rango para comparar las curvas de

supervivencia. Se determinaron las diferencias significativas en la incidencia de ratones libres de tumores utilizando el test de Fischer exacto, los valores de p <0,05 se consideraron significativos.

- CAS-024 tuvo un efecto inhibidor dependiente de la dosis sobre el crecimiento de los tumores DOHH2. Con la excepción del grupo con un régimen de dosificación bajo (3 μg), el volumen medio del tumor de cada grupo tratado con CAS-024 fue significativamente inferior al del grupo tratado con IgG humana tan pronto como el día 5, y permaneció bajo hasta el día 12. Los ratones tratados con hulgG fueron sometidos a eutanasia empezando el día 12; por lo tanto, las comparaciones de los volúmenes de los tumores de los grupos tratados con CAS-024 con el grupo tratado con hulgG no se realizaron para momentos más tardíos. En términos de la respuesta a la dosis, no hubo una diferencia significativa en los volúmenes medios de los tumores de los dos grupos de dosificación más elevada en cualquier punto del estudio. En contraste, los volúmenes medios de los tumores de estos dos grupos difirieron significativamente de los de cada uno de los tres grupos de dosificación inferior entre los días 12 a 16 (el día 16 fue el último momento evaluable para el grupo con una dosificación baja). De un modo similar, los volúmenes medios de los tumores en ratones de los grupos con dosis de 30 μg y 10 μg difirieron entre sí y del grupo de dosis baja a lo largo de este mismo período.
- Los tumores de los ratones tratados con hulgG crecieron rápidamente, y todos los ratones de este grupo se sometieron a eutanasia el día 19. Como se resume en las Tablas 9 y 10 de más abajo, la supervivencia de los ratones tratados con cualquiera de los regímenes de dosificación con CAS-024 fue prolongada con respecto al grupo tratado con hulgG (p<0,0001 en todos los casos). En términos de una respuesta a la dosis, no hubo una diferencia significativa en las curvas de supervivencia de los ratones tratados con los regímenes de dosificación más elevados (200 y 100 μg) (p=0,7091). Con excepción de esta comparación de grupos, hubo una diferencia significativa entre la curva de supervivencia de cada grupo de dosificación y la curva de supervivencia de los grupos tratados con un régimen de dosificación más bajo (los valores de p oscilaron de 0,0132 a <0,0001).

Tabla 9.

	Tiempo Medio de Supervivencia e incidencia de Ratones Libres de Tumores					
Grupo de Tratamiento ^a	Dosis Cumulativa	Tiempo Medio de Supervivencia (Días) ^b	Muerte (No Debida a Volumen Grande de Tumor)	Incidencia de Libres de Tumor al Final del Estudio ^c	Valor p para el Test de Fischer Exacto (Comparación de incidencia de libres de tumor) ^d	
HulgG 200	600 µg	14	0/14	0/14 (0%)	NA	
CAS-024 200	600 µg	No definido ^{ef}	0/14	11/14 (79%) ⁹	<0,0001	
CAS-024 100	300 µg	No definido	1/14 ^b	11/14 (79%)	<0,0001	
CAS-024 30	90 µg	35	0/14	5/14 (36%)	0,0407	
CAS-024 10	30 µg	28	0/14	0/14 (0%)	NA	
CAS-024 3	9 µg	19	0/14	0/14 (0%)	NA	

^a Los ratones fueron tratados con la proteína indicada por medio de inyección IP los días 0, 4, y 8. Los números indican la cantidad de proteína (μg) inyectada por día.

Los ratones "libres de tumores" no tenían tumores SC palpables. La ausencia de células tumorales no fue confirmada por la histología. El estudio terminó el día 61.

^b La supervivencia de un ratón fue determinada el día que se sometió a eutanasia debido al crecimiento del tumor. Un ratón del grupo con 100µg de CAS -024 fue sometido a eutanasia el día 35 debido a una pérdida de peso >20%. El ratón tenía un tumor con un volumen de 266 mm³ en ese momento, y fue tratado como dato censurado (el volumen del tumor no alcanzaba, el día 35, el límite determinado previamente) para el análisis de Kaplan Meier. Ningún otro ratón fue sometido a eutanasia por razones distintas de que el volumen de su tumor alcanzara el límite previamente determinado.

^d Cada grupo se comparó con el grupo de control tratado con HulgG.

^e El tiempo de supervivencia medio es indefinido cuando >50% de los ratones están vivos al final del período de observación.

f Los valores en negrita indican que las curvas de supervivencia del grupo indicado son significativamente diferentes de las del control con HulgG (p<0,0001 en cada caso, test del logaritmo del rango).

⁹ Los valores en negrita son significativamente diferentes de los del grupo de control tratado con hulgG

^b Un ratón fue sometido a eutanasia el día 35 debido a un pérdida de peso >20%. El ratón tenía un volumen del tumor de 266 mm³ en ese momento y se trató como dato censurado para el análisis de Kaplan Meier.

Tabla 10.

	Grupos Tratados con CAS-024			
	Valores de p para las Comparaciones Indicadas			
Comparación de Grupos ^a	Test del logaritmo del rango (comparación de curvas de supervivencia)	Test exacto de Fischer (comparación de incidencia de libr de tumores)		
200 versus 100	0,7091	1,000		
200 versus 30	0,0132 ⁿ	0,0542		
200 versus 10	<0,0001	<0,0001		
200 versus 3	<0,0001	<0,0001		
100 versus 30	0,0035	0,0542		
100 versus 10	<0,0001	<0,0001		
100 versus 3	<0,0001	<0,0001		
30 versus 10	0,0002	0,0407		
30 versus 3	<0,0001	0,0407		
10 versus 3	<0,0001	NA		

^a Véase la leyenda de la Tabla 7 para la información sobre los grupos.

Todos los ratones del grupo tratado con hulgG y de los dos grupos con CAS-024 de dosis más baja (10 y 3 μg) se sometieron a eutanasia debido al crecimiento de sus tumores. Por el contrario, la mayor parte de los tumores en los grupos de ratones tratados con 200 o 100 μg de CAS-024 regresaron al punto en el que no se encontraba presente ningún tumor palpable. Hacia el final del estudio, 11/14 (79%) de los ratones de cada uno de los dos grupos con las dosis más altas y 5/14 (36%) de los ratones del grupo con una dosis de 30 μg permanecieron libres de tumores (p<0.0001 y 0.0407, respectivamente, frente al grupo con hulgG).

De este modo, CAS-024 mostró efectos inhibidores dependientes de la dosis sobre el crecimiento de xenoinjertos de tumores humanos subcutáneos establecidos (DOHH2) en ratones SCID. Los dos regímenes de dosificación más altos (100 o 200 µg por inyección IP; dosis cumulativa de 300 o 600 µg, que corresponde a aproximadamente 16,7 o 33 mg/kg, respectivamente) tuvieron efectos inhibidores similares y fueron los más eficaces de los regímenes sometidos a ensayo en términos de inhibición del crecimiento de los tumores, prolongación de la supervivencia, e inducción de la regresión completa de los tumores.

EJEMPLO 8

10

20

25

15 EFICACIA DE CAS-024 Y RITUXAN® COMO AGENTES INDIVIDUALES EN UN MODELO DE XENOINJERTO DE TUMOR HUMANO ESTABLECIDO (DOHH2) EN RATONES SCID

El objetivo de este estudio fue examinar la eficacia de CAS-024 y Rituxán como agentes individuales en un modelo de xenoinjerto de tumor humano establecido (DOHH2) en ratones SCID. Como se muestra más arriba, DOHH2 es una línea de células B linfoblastoides humanas CD20⁺CD37⁺ derivada de un paciente con linfoma folicular.

Se inyectaron cinco millones de células DOHH2 subcutáneamente en el flanco de ratones CB-17SCID hembra (Harlan, Somerville, NJ) de 6,5 semanas de edad. El día 8 después de la inoculación del tumor, se hicieron evidentes tumores palpables en la mayoría de los ratones. Los ratones que portaban tumores se clasificaron en cuatro grupos (n = 15 por grupo; 3 jaulas de 5 ratones para cada grupo) con volúmenes medios de tumores equivalentes. El día de la clasificación se definió como día 0 del estudio. Se determinaron los diámetros tumorales con un par de calibres y se calcularon los volúmenes de los tumores utilizando la fórmula: V = 1/2 [longitud x (anchura)²]3. El volumen medio de los tumores de la línea base fue de 228 mm³; el tamaño tumoral de la línea base de la mediana fue de 227 mm; y el intervalo fue de 181 a 272 mm³. Los ratones (15 por grupo de tratamiento) se trataron los días 0, 4, y 8 por medio de inyección IP de 0,2 mL de PBS que contenía 200 µg de lgG humana, CAS-024, o Rituxan® (para un total de 600 µg después de tres tratamientos). Para los grupos tratados IP con hulgG, CAS-

^b Los valores de p < 0,05 están en negrita para dar énfasis.

024, y Rituxan[®], se prepararon soluciones en volúmenes similares y los contenidos de los tubos se anotaron en etiquetas eliminables. Un investigador que no estaba tratando o evaluando a los ratones colocó un código de color en cada tubo y anotó el código y la identidad de los contenidos de los tubos en un cuaderno de laboratorio.

Los ratones fueron controlados diariamente por medio de inspección visual. Los pesos fueron determinados semanalmente, y los diámetros de los tumores fueron determinados al menos 3 veces por semana (L, X, V) por un observador ciego (véase más arriba) para los grupos de tratamiento. Los volúmenes de los tumores se calcularon como se ha descrito más arriba. Los volúmenes de los tumores el último día que todos los ratones estuvieron vivos en cada grupo también se expresaron en términos de volúmenes tumorales con respecto al día 0, utilizando la fórmula:

(volumen el día de interés – volumen el día 0)

Volumen tumoral relativo el día de interés = -----
volumen el día 0

5

10

25

30

35

40

45

50

Los ratones fueron sometidos a eutanasia si el volumen de su tumor alcanzaba más de 1.500 mm³ (o 1200 mm³ los Viernes). La muerte no fue el critrio de valoración de los protocolos tumorales y, a menos que se indique de otro modo, la "supervivencia" de un ratón estuvo determinada por el momento en el que fue sometido a eutanasia debido a que el volumen de su tumor alcanzaba los límites previamente determinados. (El protocolo de los autores de la presente invención requería que los ratones fueran sometidos a eutanasia si el volumen de su tumor excedía los parámetros indicados más arriba, se producía la ulceración de un tumor, el tumor inhibía la movilidad del ratón, o la pérdida de peso excedía el 20%).

Todos los análisis estadísticos se realizaron utilizando el programa GraphPad Prism. Se determinaron diferencias significativas en los volúmenes tumorales medios y los volúmenes tumorales relativos medios utilizando un ANOVA de una vía para los datos no paramétricos (test de Kruskal-Wallis) con un post-test de comparación múltiple de Dunn. Se determinaron las diferencias significativas en la supervivencia de los ratones a lo largo del tiempo utilizando el análisis de supervivencia de Kaplan-Meier con un test de logaritmo del rango para comparar curvas de supervivencia. Las diferencias significativas en la incidencia de ratones libres de tumores se determinaron utilizando el test exacto de Fisher (los valores de p <0,05 se consideraron significativos).

Los ratones se sometieron a eutanasia cuando los volúmenes de sus tumores alcanzaron los límites descritos más arriba. Un ratón del grupo de tratamiento con CAS-024 fue sometido a eutanasia el día 45 debido a una pérdida de peso >20%. Este ratón no tenía un tumor SC evidente en ese momento, y fue tratado como dato censurado para el análisis de supervivencia (no sometido a eutanasia el día 45 debido al crecimiento del tumor) y no fue incluido en la comparación de la incidencia de libres de tumores al final del estudio. No se encontró ningún otro ratón muerto ni se sometió a eutanasia debido a la pérdida de peso, la ulceración del tumor, o la disminución de la movilidad. No se observaron signos manifiestos de toxicidad ni pérdidas de peso en ninguno de los grupos de tratamiento (datos no mostrados).

Los ratones tratados con CAS-024 y Rituxán mostraron una rápida respuesta al tratamiento. Los volúmenes tumorales medios de los grupos tratados con CAS-024 y Rituxan[®] fueron significativamente más bajos que los del grupo tratado con IgG humana tan pronto como el día 4 (después de una única inyección de fármaco) y permanecieron más bajos hasta el día 11. No hubo diferencias significativas en los volúmenes tumorales medios o en los volúmenes tumorales relativos medios entre los grupos tratados con CAS-024 y Rituxan[®] hasta el día 11. Los ratones tratados con hulgG fueron sometidos a eutanasia empezando el día 11; por lo tanto, las comparaciones de los volúmenes de los tumores no se realizaron para momentos más tardíos.

Los tumores de los ratones tratados con hulgG crecieron rápidamente y todos los ratones de este grupo fueron sometidos a eutanasia el día 15. En contraste, sobre el día 15, la mayoría de los tumores de los grupos tratados con CAS-024 y Rituxán habían mostrado regresión hasta el punto de que no se encontraron presentes tumores palpables. Notablemente, la respuesta al tratamiento fue duradera solamente en el grupo tratado con CAS-024. Hacia el final del estudio, todos los ratones tratados con Rituxán fueron sometidos a eutanasia debido al crecimiento de sus tumores, mientras 10/14 (71 %) de los ratones del grupo tratado con CAS-024 permanecieron libres de tumores. Véase la Tabla 9. De este modo, al final del estudio, las curvas de supervivencia y la incidencia de ratones libres de tumores en el grupo tratado con CAS-024 difirieron significativamente del grupo de control con hulgG y el grupo tratado con Rituxan[®]. La Figura 6 demuestra que CAS-024 era estadísticamente superior a Rituxán en el tratamiento *in vivo* de este modelo animal de linfoma folicular.

Tabla 11.

	Tiempo Medio de Supervivencia e Incidencia de Ratones Libres de Tumores						
Grupo de Tratamiento	Días de Tratamiento y Dosis Cumulativa	Tiempo Medio de Supervivencia (Días) ^a	Valor p a partir del Test de Logaritmo del Rango	Muerte (distinta del Sacrificio por el Tamaño del Tumor)	Ratones Libres de Tumores el Día 81 ^c	Test Exacto de Fischer (Comparación con Incidencia de libres de tumores) ^b	
HulgG	Días 0, 4, 8 600 μg	13	-	0/15	0/15	NA	
CAS-024 IP	Días 0, 4, 8 600 µg	No definido ^{d,e}	<0,0001	1/15 [†]	10/14 (71%)	<0,0001	
Rituxán [®] IP	Días 0, 4, 8 600 µg	43	<0,0001	0/15	0/15 (0%)	NA	

^a La supervivencia se determinó el día que el ratón fue sometido a eutanasia debido al crecimiento del tumor. Aparte de un ratón del grupo al que se habían administrados dosis de CAS-024 (véase (f)), ningún ratón fue sometido a eutanasia por razones que no fueran que el volumen del tumor alcanzara el límite previamente determinado.

En conclusión, CAS-024 y Rituxán fueron eficaces como agentes individuales en el modelo de xenoinjerto de tumor humano (DOHH2) en ratones SCID. Si bien ambos agentes causaron una regresión inicial del tumor en la mayor parte de los ratones, solamente se observó regresión del tumor a largo plazo en el grupo de ratones tratados con CAS-024 ya que se observó recurrencia de los tumores después del tratamiento óptimo con anti-CD20. Por consiguiente, CAS-024, un SMIP anti-CD37 humanizado, muestra una eficacia significativa en modelos de xenoinjerto con tumores pre-clínicos incluyendo modelos que demuestran que el Rituxan[®] fracasa con el tiempo. Estos resultados sugieren por lo tanto que el tratamiento con CAS-024 de pacientes con linfoma y leucemia de células B es beneficioso y es un tratamiento alternativo viable en pacientes en los que fracasa el tratamiento con Rituxan[®].

EJEMPLO 9

10

15

20

25

EVALUACIÓN IN VITRO DE CAS-024 COMBINADO CON AGENTES QUIMIOTERAPÉUTICOS

Se demostró previamente que CAS-006 actúa sinérgicamente combinado con el agente quimioterapéutico fludarabina para eliminar las células con leucemia linfocítica crónica (LLC) *in vitro* (véase, p. ej., la Publicación de la Solicitud de Patente de los Estados Unidos Núm. 2007/0059306). Puesto que las células con LLC no se dividen activamente en cultivo celular *in vitro*, los datos indican que no se requiere proliferación celular para el efecto proapoptótico de CAS-006 o CAS-024 para determinar su sinergia con agentes quimioterapéuticos. El propósito de este estudio, por lo tanto, fue determinar si CAS-024 y los diferentes agentes quimioterapéuticos fueron eficaces sobre la línea celular de linfoma de las células del manto (LCM), Rec-1, que crece activamente y se divide en cultivo celular *in vitro* y si la combinación de CAS-024 y un agente quimioterapéutico (fármaco) des-sensibilizaría o intensificaría la respuesta del linfoma de las células del manto a los diferentes agentes quimioterapéuticos. Los agentes quimioterapéuticos sometidos a ensayo fueron doxorrubicina, vincristina, y fludarabina, que se utilizan para tratar el linfoma no Hodgkin y otras malignidades linfoides.

Las células Rec-1, una línea de células B humanas CD37+ establecida a partir de un paciente con linfoma de las células del manto, fueron sometidas a ensayo para determinar la inhibición del crecimiento en respuesta a CAS-024 entrecruzado en presencia o ausencia de doxorrubicina, vincristina, o fludarabina, (véase la Figura 7). Se pre-incubó CAS-024 con anti-F(ab)'₂ de IgG humana para entrecruzar la proteína. Las células se cultivaron con medio solo o con medio que contenía diferentes concentraciones de la proteína CAS-024 entrecruzada, en presencia o ausencia

^b Cada grupo fue comparado con el grupo de control tratado con HulgG.

^c Los ratones "libres de tumores" no tenían tumores SC palpables; la confirmación de la ausencia de células tumorales no fue ratificada por la histología.

^d El tiempo medio de supervivencia es indefinido cuando >50% de los ratones están vivos al final del período de observación.

^e Los valores en negrita son significativamente diferentes de los del control con HulgG.

f Un ratón fue sometido a eutanasia el día 45 debido a una pérdida de peso >20%. El ratón no tenía un tumor SC aparente en ese momento y fue excluido del grupo para la comparación de ratones libres de tumores el día 81.

diferentes concentraciones de doxorrubicina, vincristina, o fludarabina. Los cultivos se incubaron durante 96 horas y se evaluó la inhibición del crecimiento utilizando el sistema de detección de células viables por medio de ATP (esto es, células viables cuantificadas mediante liberación de ATP).

Se utilizó el método del Efecto Mediana/Índice de Combinación (IC) de Chou y Talalay (Adv. Enzyme Regul. 22:27, 1984) para el análisis de los datos. Un valor numérico, asignado a cada combinación de fármacos a niveles de dosificación previamente definidos, permitió comparaciones de fármaco/interacción de fármaco cuantitativas entre diferentes combinaciones de fármacos. Los resultados se expresaron como Índices de combinación (IV) frent al nivel del efecto, donde el nivel del efecto representaba el porcentaje de inhibición del crecimiento celular. Se promedió el IC medio ± ETM para cada nivel a lo largo de tres experimentos. Se consideró sinergia un IC < 1,0, avidez un IC = 1,0, y antagonismo un IC > 1,0. Los valores presentados son la media ± ETM para cada nivel de efecto, promediando tres análisis independientes.

La combinación de CAS-024 con vincristina o fludarabina, fue sinérgica (IC < 1,0) y la combinación de CAS-024 y doxorrubicina fue aditiva (IC no significativamente diferente de 1,0). Ninguna de las combinaciones de CAS-024 y agentes quimioterapéuticos fue antagónica (IC >1,0) a todos los niveles de efecto. Por lo tanto, la combinación de CAS-024 con cada uno de los tres agentes quimioterapéuticos sometidos a ensayo no des-sensibilizó las células diana a la inhibición del crecimiento inducida por fármacos, pero en lugar de eso dio como resultado efectos inhibidores sinérgicos o aditivos sobre el crecimiento de las células diana. Una realización preferida sería la combinación de CAS-024 (SEQ ID NO: 253) con vincristina o fludarabina. Estos datos indican que la eficacia de los agentes quimioterapéuticos establecidos aumenta cuando se utilizan combinados con CAS-024.

20 EJEMPLO 10

5

10

15

25

30

35

40

45

50

55

RESULTADOS DE LA FASE CLÍNICA 1/2 PRELIMINAR

Como se ha mantenido en la presente memoria, los estudios pre-clínicos han demostrado que las moléculas SMIP CD37 median una eliminación significativamente mayor de las células con leucemia linfocítica crónica (LLC) directa y mediada por células asesinas naturales (NK) en comparación con otros anticuerpos terapéuticos utilizados en la LLC. Por consiguiente, se ha iniciado un estudio de aumento de la dosis a escala, abierto de fase 1/2 en pacientes con leucemia linfocítica crónica (LLC) recurrente.

Los pacientes con LLC o linfoma linfocítico de células pequeñas (LLP) recurrentes/refractarios que tenían una función orgánica adecuada, > 30.000 plaquetas/mm³ fueron los candidatos. Se estudiarán seis dosis y dos programas diferentes (cohortes 1 - 10). Las dosis planeadas oscilan entre 0,03 mg/kg y 10 mg/kg IV una vez a la semana durante 4 dosis (cohortes 1-6 y 9). El segundo programa (cohorte 7, 8, y 10) someterá a ensayo 3,0, 6,0, o 10,0 mg/kg los días 1, 3 y 5 la primera semana seguido de 3 dosis semanalmente. El aumento y la disminución de las dosis a escala se basa en los grados de toxicidad de la Common Toxicity Criteria Adverse Events (CTC AE). Los pacientes pueden recibir 2 ciclos adicionales, si hay un efecto biológico positivo después del primer ciclo.

Resultados: Hasta la fecha, se han inscrito 22 pacientes (cohorte 1-7 y 9) y han completado el tratamiento (todos recibieron fludarabina previa, y tratamiento con rituximab). Seis pacientes entraron en un segundo ciclo y dos pacientes entraron en un tercer ciclo. Los pacientes que estaban siendo tratados han pasado por numerosos regímenes previos (p. ej., en la Cohorte 4 los pacientes tenían de 6 a 10 (mediana 6) y en la Cohorte 5 tenían de 5 a 13 (mediana 9,5) regímenes previos). Ocho de los diez tienen rasgos genómicos de alto riesgo [del(17p13.1), n=5 y del(11q22.3), n=3]. No se produjeron toxicidades ni eventos adversos graves limitantes de la dosis. Se observó una toxicidad suave por la infusión (grado 1 - 2) en tres pacientes. Comenzando con la dosis de 0,3 mg/kg, los ocho pacientes demostraron evidencia de actividad biológica incluyendo los pacientes con del(17p13.1). Dos pacientes tuvieron un aclaramiento parcial de leucemia cutis, y la reducción de la mediana en el recuento de linfocitos periféricos fue del 64% (véase la Figura 5). Un paciente presento una reducción del 99% en el recuento de linfocitos periféricos sin eventos adversos graves y una respuesta continua después de 3 meses de tratamiento (véase la Figura 6). Un paciente presentó un incremento en la hemoglobina del 40% y una reducción en el tamaño de los ganglios linfáticos del 36% determinada mediante Tomografía Axial Computarizada y continuó respondiendo después de 3 meses de tratamiento (véase la Figura 7). Dos pacientes tuvieron un incremento significativo en el recuento de plaquetas.

Conclusión: Hasta la fecha, esta molécula SMIP para CD37 es un tratamiento bien tolerado con una toxicidad infusional mínima y sin toxicidad limitante de la dosificación observada. También parece haber una implicación del complemento pues los pacientes con caídas graves en los recuentos de linfocitos no muestran signos de síndrome de lisis tumoral. Se ha observado ya una reducción esperanzadora en los recuentos sanguíneos de linfocitos tumorales, una reducción en el tamaño de los ganglios linfáticos/bazo, un aclaramiento de la leucemia cutis, y/o un aclaramiento parcial de la enfermedad medular, y/o una mejora en la función hematopoyética normal en pacientes con alto riesgo de LLC genómica a dosis bajas, no saturantes de moléculas SMIP para CD37.

EJEMPLO 11

EFICACIA IN VITRO DE CAS024 COMBINADA CON BENDAMUSTINA

Este estudio se realizó para determinar los efectos de CAS024, bendamustina, y la combinación de CAS024 y bendamustina sobre células Rec-1 (una línea celular de linfoma de las células del manto) y SU-DHL-6 (una línea de linfoma de células grandes difuso).

Se utilizaron las siguientes líneas celulares humanas que expresaban CD37: Rec-1 y SU-DHL-6 (ambas de DSMZ, Braunschweig, Alemania). Se adquirió Bendamustina (TREANDA[®]) de la Farmacia de la Universidad de Washington (Seattle, WA) y se disolvió en PBS y se almacenó a -20°C hasta su uso.

Las células Rec-1 y SU-DHL-6 se cultivaron en placa a 1 x 10⁴ células/pocillo en 100 µL de medio en placas de fondo redondo de color negro, paredes de color negro y 96 pocillos. Las células se trataron con diferentes concentraciones de CAS024 que habían sido incubadas previamente con anti-F(ab)'2 de IgG humana y las placas se incubaron durante 96 hr a 37°C, con 5% de CO₂ en presencia de diluciones seriadas de bendamustina. El volumen final de cada pocillo fue de 150 µL. Después de la incubación, las placas se enfriaron a la temperatura ambiente y se marcaron con 100 μL/pocillo de reactivo de detección ATPlite (Perkin Elmer, Boston, MA). El análisis mide el ATP celular como marcador de células viables. Las muestras se analizaron mediante detección de la luminiscencia utilizando un lector de placa Topcount NXT (Perkin Elmer, Waltham, MA). Los datos se redujeron utilizando un ajuste de las curvas de 4 parámetros en Prism (versión 4.0, Graphpad Software, San Diego, CA) y se definió la CI₅₀ como la concentración que da como resultado una inhibición del 50% en comparación con los cultivos no tratados. Para la determinación de la sinergia se utilizó el método del Efecto Mediana/Índice de Combinación (IC) para el análisis de datos (Chou y Talalay). Un valor numérico, asignado a cada combinación de fármacos a los niveles de dosificación definidos previamente, permite las comparaciones de fármaco/interacción de fármaco cuantitativas entre las diferentes combinaciones de fármacos. Los valores de IC asignan interacciones en tres categorías: sinergismo, aditividad, y antagonismo (IC<1,0, =1, o >1,0 respectivamente). Después del marcaje y la reducción de datos, se determinaron los valores de los Índices de Combinación (IC) utilizando el paquete de programas Calcusyn (Biosoft, Cambridge, RU). Los resultados de dos experimentos separados demuestran que la combinación de CAS024 con bendamustina da como resultado efectos inhibidores sinérgicos sobre el crecimiento de las células diana (véase, la Figura 11). Se obtuvieron resultados similares que demuestran que la combinación de CAS024 con bendamustina también inhibe sinérgicamente el crecimiento de las células SU-DHL-6.

También se determinaron los efectos de la combinación de CAS-024 con otro agente alquilante, clorambucilo, utilizando el método descrito más arriba y las concentraciones se muestran en la Figura 12. A diferencia de la bendamustina, el clorambucilo combinado con CAS-024 no dio como resultado efectos inhibidores sinérgicos sobre el crecimiento de las células SU-DHL-6 (véase, la Figura 13)

EJEMPLO 12

10

15

20

25

30

35

40

50

55

EFICACIA DE CAS024 COMBINADO CON BENDAMUSTINA EN UN MODELO DE XENOINJERTO DE TUMOR HUMANO

Este estudio se realizó para comparar la eficacia de CAS024 combinado con bendamustina frente a cada agente administrado individualmente contra xenoinjertos de tumor humano DOHH2 subcutáneo en ratones SCID.

Establecimiento de los xenoinjertos de tumor y clasificación en grupos de tratamiento. Como se ha descrito más arriba, DOHH2 es una línea de células linfoblastoides B humanas CD20⁺CD37⁺ derivada de un paciente con linfoma folicular. Se inyectaron 5 millones de células DOHH2 subcutáneamente en el flanco de ratones SCID CB-17 hembra. El día 8 después de la inoculación del tumor, resultaban evidentes tumores palpables en la mayor parte de los ratones. Los ratones portadores de tumores fueron clasificados en cinco grupos con volúmenes tumorales medios equivalentes (n=15 por grupo; 3 jaulas de 5 ratones para cada grupo). El día de la clasificación se definió como día 0. Los diámetros de los tumores se determinaron con un par de calibres y los volúmenes de los tumores se calcularon utilizando la fórmula: V = 1/2 [longitud x (anchura)²]. El volumen del tumor medio de la línea base fue de 231 mm³, el tamaño tumoral de la línea base de la mediana fue de 229 mm³, y el intervalo fue de 201 a 261 mm³.

Tratamiento in vivo. Los grupos de ratones fueron tratados con una inyección de 0,2 mL de PBS que contenía 10 μg de hulgG (días 0, 4, 8 IV), 10 μg de CAS024 (días 0, 4, 8 IV), 10 mg/kg de Bendamustina (0, 2, 4, 7, 9 IP), ο 10 μg de CAS024 (días 0, 4, 8 IV) y 10 mg/kg de Bendamustina (0, 2, 4, 7, 9 IP).

Control y criterios de valoración. Los ratones fueron controlados diariamente mediante inspección visual. Los pesos fueron determinados semanalmente, y los diámetros de los tumores se determinaron al menos 3 veces por semana (L, X, V) por medio de un observador ciego (véase más arriba) para los grupos de tratamiento. Los volúmenes de los tumores se calcularon como se ha descrito más arriba.

Los ratones fueron sometidos a eutanasia si el volumen de sus tumores alcanzaba más de 1.500 mm³ (o 1200 mm³ los Viernes). La muerte no fue el criterio de valoración en este estudio, y a menos que se indique de otro modo, la "supervivencia" de un ratón estuvo determinada por el momento en que fue sometido a eutanasia debido a que el volumen de su tumor alcanzaba los límites determinados previamente. Los ratones fueron sometidos a eutanasia si el volumen de su tumor excedía los parámetros indicados más arriba, se producía la ulceración del tumor, el tumor inhibía la movilidad del ratón, o si la pérdida de peso excedía el 20%.

Análisis estadísticos. Todos los análisis estadísticos se realizaron utilizando el programa GraphPad Prism. Se determinaron las diferencias significativas en los volúmenes tumorales medios y los volúmenes tumorales relativos medios se determinaron utilizando un ANOVA de una vía para datos no paramétricos (Test de Kruskal-Wallis) con un Post-Test de comparación múltiple de Dunn. Las diferencias significativas en la supervivencia de los ratones fueron determinadas utilizando el análisis de supervivencia de Kaplan-Meier con un test de logaritmo del rango para comparar las curvas de supervivencia. Se determinaron las diferencias significativas en la incidencia de ratones libres de tumores utilizando el Test exacto de Fisher, los valores de p <0.05 se consideraron significativos.

5

10

15

30

En los grupos tratados con Bendamustina se observaron pelajes desaliñados y diarrea que comenzaron alrededor del día 6. El día 10, un ratón del grupo de tratamiento con CAS024 + Bendamustina fue sometido a eutanasia debido a una pérdida de peso > 20 %. Este ratón fue tratado como un dato censurado para el análisis de las curvas de supervivencia. No se observaron signos clínicos de toxicidad en el grupo de tratamiento con CAS024 solo.

Todos los tratamientos, demostraron un efecto inhibidor sobre el crecimiento de DOHH2 en comparación con hulgG. El día 13 (que fue el último día que todos los ratones estuvieron vivos) el volumen tumoral medio y el volumen tumoral relativo medio de todos los grupos de tratamiento fueron estadísticamente diferentes de los del grupo de ratones de control con hulgG (Figuras 14A y 4B). También se observó una diferencia significativa en los volúmenes tumorales medios y los volúmenes tumorales relativos medios entre el grupo de tratamiento con Bendamustina y el de CAS024 + Bendamustina combinados. No hubo diferencias significativas en los volúmenes tumorales medios o los volúmenes tumorales relativos medios entre otros dos grupos de tratamiento cualesquiera. Los volúmenes tumorales medios a lo largo del tiempo de los cuatro grupos se muestran en la Figura 15.

Los tumores en los ratones tratados con hulgG crecieron rápidamente, y todos los ratones de este grupo fueron sometidos a eutanasia el día 17. Como se muestra en la Figura 16 y se resume en las Tablas 12 y 13, la supervivencia de los ratones a los que se había administrado una dosis con cualquiera de los grupos de tratamiento se prolongó en comparación con el grupo tratado con hulgG (p < 0,0001 para todos los grupos). También hubo una diferencia significativa entre las curvas de supervivencia de los tres grupos de tratamiento y entre sí siendo superior la combinación de CAS024/bendamustina a cualquier agente individual.

Ninguno de los ratones tratados con hulgG permaneció con viva (por consiguiente ninguno estaba libre de tumores) al final del estudio (día 34) (Figura 17 y Tabla 12). La incidencia de ratones libres de tumores en los otros grupos fue de 0/15 (0%) en el caso de los grupos de tratamiento con CAS024 y Bendamustina y de 2/14 (14%) en el grupo de tratamiento combinado con CAS024 + Bendamustina. No hubo diferencia significativa en la incidencia de ratones libres de tumores entre ninguno de los grupos de tratamiento.

Tabla 12.

Tiempo Medio de Supervivencia e Incidencia de Ratones Libres de Tumores al final del Período de Observación

Grupo de Tratamiento ^a	Días de Tratamiento	Tiempo Medio Supervivencia (Días) ^a	Incidencia Libres de Tumores al Final del Estudio
hulgG	Días 0, 4, 8	15	0/15 (0%)
CAS024 10 µg	Días 0, 4, 8	17 ^b	0/15 (0%)
Bendamustina 10 mg/kg	Días 0, 2, 4, 7, 9	17	0/15 (0%)
CAS024 + Bendamustina	Días 0, 4, 8, 0, 2, 4, 7, 9	24	2/14 (14%) ^d

^a La "supervivencia" de un ratón se determinó por el día que fue sometido a eutanasia debido al crecimiento del tumor. Un ratón del grupo con la combinación CAS024 + Bendamustina fue sometido a eutanasia el día 10 debido a una pérdida de peso > 20%. Este ratón se trató como un dato censurado cuando se calcularon las curvas de supervivencia. Ningún otro ratón fue sometido a eutanasia por razones que no fueran que el volumen de su tumor alcanzara el límite predeterminado.

^b Los valores en negrita indican que las curvas de supervivencia del grupo indicado son significativamente diferentes de las del control con hulgG control (p<0,0001 para todos los grupos de tratamiento; Test del logaritmo del rango).

^c Los ratones "libres de tumores" no tienen tumores SC palpables. La ausencia de células tumorales no fue confirmada por la histología. El estudio terminó el día 34.

^d En el grupo con la combinación CAS024 + Bendamustina un ratón fue sometido a eutanasia el día 10 debido a una pérdida de peso > 20%. Ningún otro ratón fue sometido a eutanasia por razones de toxicidad.

Tabla 13. Valores para la Comparación de las curvas de supervivencia entre los Grupos Tratados

Valores de p para la Comparación de las curvas de supervivencia						
(Test del logaritmo del rango)						
hulgG TRU-016 Bendamustina TRU-016+Bendamustina						
hulgG	NA	<0,0001	<0,0001	<0,0001		
TRU-016	<0,0001 ^a	NA	0,0050	0,01		
Bendamustina <0,0001 0,0050 NA <0,0001						
TRU-016 + Bendamustina	<0,0001	0,01	<0,0001	NA		

Este estudio demuestra que CAS024 combinado con Bendamustina mostró efectos inhibidores sobre el crecimiento de tumores DOHH2 en ratones SCID mayores que los observados con cualquiera de los agentes solos.

Estos y otros cambios pueden ser realizados en las realizaciones a la luz de la descripción detallada anterior. En general, en las siguientes reivindicaciones, no se debe considerar que los términos utilizados limitan las reivindicaciones a las realizaciones específicas descritas en la memoria y en las reivindicaciones, si no que se debe considerar que incluyen todas las posibles realizaciones junto con el alcance total de los equivalentes a los cuales se dirigen dichas reivindicaciones. Por consiguiente, las reivindicaciones no están limitadas por la descripción.

```
LISTADO DE SECUENCIAS
```

```
<110> Trubion Pharmaceuticals, Inc.
Tan, Phillip
Simon, Sandy A.
Cerveny, Charles G.
Nilsson, Christy Anne
Brady, William
Ledbetter, Jeffrey A.
Hayden-Ledbetter, Martha S.
Thompson, Peter A.
Morales, Cecile
<120> AGENTE INMUNOTERAPÉUTICO PARA
QUIMIOTERAPÉUTICO BIFUNCIONAL DEL MISMO
```

<120> AGENTE INMUNOTERAPÉUTICO PARA CD37 Y COMBINACIÓN CON UN AGENTE QUIMIOTERAPÉUTICO BIFUNCIONAL DEL MISMO

- <130> 910180.420PC
- <140> PCT
- <141> 10-04-2009
- <150> US 61/190,067
- <151> 11-04-2008
- <160> 269
- <170> Patentln versión 3.3
- <210> 1
- <211> 1510
- <212> ADN
- <213> Secuencia artificial
- <220>
- <223> proteína de unión específica a CD37
- <400>

aagettgeeg ecatggattt teaagtgeag attiteaget teetgetaat eagtgettea 60
gteataattg eeagaggagt egacateeag atgaeteagt eteeageete eetatetgea 120
tetgtgggag agaetgteae eateacatgt egaacaagtg aaaatgttta eagttatttg 180
gettggtate ageagaaaca gggaaaatet eeteagetee tggtetettt tgeaaaaace 240
ttageagaag gtgtgeeate aaggtteagt ggeagtggat eaggeacaca gttttetetg 300
aagateagea geetgeagee tgaagattet ggaagttatt tetgteaaca teatteegat 360
aateegtgga egtteggtgg aggeacegaa etggagatea aaggtggegg tggeteggge 420
ggtggtgggt egggtggegg eggategtea geggteeage tgeageagte tggaeetgag 480
teggaaaage etggegette agtgaagatt teetgeaagg ettetggtta eteatteaet 540

ggctacaata tgaactgggt gaagcagaat aatggaaaga gccttgagtg gattggaaat 600 attgateett attatggtgg taetaeetae aaceggaagt teaagggeaa ggecacattg actgtagaca aatcctccag cacagcctac atgcagctca agagtctgac atctgaggac 720 tetgeagtet attactgtge aagateggte ggeectatgg actactgggg teaaggaace 780 tcagtcaccg tctcttcaga tctggagccc aaatcttctg acaaaactca cacatctcca 840 ccqtgcccag cacctgaact cttgggtgga ccgtcagtct tcctcttccc cccaaaaccc 900 aaggacaccc tcatgatctc ccggacccct gaggtcacat gcgtggtggt ggacgtgagc 960 cacgaagacc ctgaggtcaa gttcaactgg tacgtggacg gcgtggaggt gcataatgcc 1020 aagacaaagc cgcgggagga gcagtacaac agcacgtacc gtgtggtcag cgtcctcacc 1080 gtcctgcacc aggactggct gaatggcaag gagtacaagt gcaaggtctc caacaaagcc 1140 ctcccagccc ccatcgagaa aaccatctcc aaagccaaag ggcagccccg agaaccacag 1200 gtgtacaccc tgcccccatc ccgggatgag ctgaccaaga accaggtcag cctgacctgc 1260 ctggtcaaag gcttctatcc aagcgacatc gccgtggagt gggagagcaa tgggcaaccg 1320 gagaacaact acaagaccac geeteeegtg etggaeteeg aeggeteett etteetetae 1380 agcaagetea eegtggacaa gagcaggtgg cagcagggga aegtettete atgeteegtg 1440 atgcatgagg ctctgcacaa ccactacacg cagaagagcc tctccctgtc tccgggtaaa 1500 1510 tgagtctaga

```
<210> 2
<211> 496
<212> PRT
<213> Secuencia artificial
<220>
<223> proteína de unión específica a CD37
<400> 2
```

Met Asp Phe Gln Val Gln lie Phe Ser Phe Leu Leu lie Ser Ala Ser 1 5 10 15

Val IIe IIe Ala Arg Gly Val Asp IIe Gln Met Thr Gln Ser Pro Ala 20 25 30

Ser Leu Ser Ala Ser Val Gly Glu Thr Val Thr Ile Thr Cys Arg Thr 35 40 45

Ser Glu Asn Val Tyr Ser Tyr Leu Ala Trp Tyr Gln Gln Lys Gln Gly 50 55 60
Lys Ser Pro Gln Leu Leu Val Ser Phe Ala Lys Thr Leu Ala Glu Gly 65 70 75 80
Val Pro Ser Arg Phe Ser Gly Ser Gly Ser Gly Thr Gln Phe Ser Leu 85 90 95
Lys lle Ser Ser Leu Gin Pro Glu Asp Ser Gly Ser Tyr Phe Cys Gin 100 105 110
His His Ser Asp Asn Pro Trp Thr Phe Gly Gly Gly Thr Glu Leu Glu 115 120 125
lle Lys Gly Gly Gly Ser Gly Gly Gly Gly Ser Gly Gly Gly 130 135 140
Ser Ser Ala Val Gln Leu Gln Gln Ser Gly Pro Glu Ser Glu Lys Pro 145 150 155 160
Gly Ala Ser Val Lys Ile Ser Cys Lys Ala Ser Gly Tyr Ser Phe Thr 165 170 175
Gly Tyr Asn Met Asn Trp Val Lys Gln Asn Asn Gly Lys Ser Leu Glu 180 185 190
Trp Ile Gly Asn Ile Asp Pro Tyr Tyr Gly Gly Thr Thr Tyr Asn Arg 195 200 205
Lys Phe Lys Gly Lys Ala Thr Leu Thr Val Asp Lys Ser Ser Ser Thr 210 215 220
Ala Tyr Met Gin Leu Lys Ser Leu Thr Ser Glu Asp Ser Ala Val Tyr 225 230 235 240
Tyr Cys Ala Arg Ser Val Gly Pro Met Asp Tyr Trp Gly Gln Gly Thr 245 250 255
Ser Val Thr Val Ser Ser Asp Leu Glu Pro Lys Ser Ser Asp Lys Thr 260 265 270

His Thr Ser Pro Pro Cys Pro Ala Pro Glu Leu Leu Gly Gly Pro Ser Val Phe Leu Phe Pro Pro Lys Pro Lys Asp Thr Leu Met Ile Ser Arg Thr Pro Glu Val Thr Cys Val Val Val Asp Val Ser His Glu Asp Pro Glu Val Lys Phe Asn Trp Tyr Val Asp Gly Val Glu Val His Asn Ala Lys Thr Lys Pro Arg Glu Glu Gln Tyr Asn Ser Thr Tyr Arg Val Val Ser Val Leu Thr Val Leu His Gln Asp Trp Leu Asn Gly Lys Glu Tyr Lys Cys Lys Val Ser Asn Lys Ala Leu Pro Ala Pro Ile Glu Lys Thr lie Ser Lys Ala Lys Gly Gln Pro Arg Glu Pro Gln Val Tyr Thr Leu Pro Pro Ser Arg Asp Glu Leu Thr Lys Asn Gln Val Ser Leu Thr Cys Leu Val Lys Gly Phe Tyr Pro Ser Asp lle Ala Val Glu Trp Glu Ser Asn Gly Gln Pro Glu Asn Asn Tyr Lys Thr Thr Pro Pro Val Leu Asp Ser Asp Gly Ser Phe Phe Leu Tyr Ser Lys Leu Thr Val Asp Lys Ser Arg Trp Gln Gln Gly Asn Val Phe Ser Cys Ser Val Met His Glu Ala

Leu His Asn His Tyr Thr Gln Lys Ser Leu Ser Leu Ser Pro Gly Lys

<210> 3 <400> 3 <210> <400> <210> 1482 ADN <213> Secuencia artificial <220> <223> proteína de unión específica a CD37 <400> 5 60 atggaagccc cagctcagct tctcttcctc ctgctactct ggctcccaga taccaccgga 120 gaaattgtgt tgacacagtc tccagccacc ctgtctttgt ctccaggcga aagagccacc 180 ctctcctgcc gaacaagtga aaatgtttac agctacttag cctggtacca acagaaacct ggccaggctc ctaggctcct catctatttt gcaaaaacct tagcagaagg aattccagcc 240 aggttcagtg gcagtggatc cgggacagac ttcactctca ccatcagcag cctagagcct 300 gaagattttg cagtttatta ctgtcaacat cattccgata atccgtggac attcggccaa 420 gggaccaagg tggaaatcaa aggtggcggt ggctcgggcg gtggtggatc tggaggaggt 480 gggaccggtg aggtgcagct ggtgcagtct ggagcagagg tgaaaaagcc cggagagtct ctgaagattt cctgtaaggg atccggttac tcattcactg gctacaatat gaactgggtg cgccagatgc ccgggaaagg cctcgagtgg atgggcaata ttgatcctta ttatggtggt 600 660 actacctaca accggaagtt caagggccag gtcactatct ccgccgacaa gtccatcagc 720 accgcctacc tgcaatggag cagcctgaag gcctcggaca ccgccatgta ttactgtgca cgctcagtcg gccctatgga ctactggggc cgcggcaccc tggtcactgt ctcctctgat 780 caggagecca aatettetga caaaacteae acateteeae egtgeecage acetgaacte ctgggtggac cgtcagtctt cctcttcccc ccaaaaccca aggacaccct catgatctcc 900 960 cggacccctg aggtcacatg cgtggtggtg gacgtgagcc acgaagaccc tgaggtcaag ttcaactggt acgtggacgg cgtggaggtg cataatgcca agacaaagcc gcgggaggag 1020 cagtacaaca gcacgtaccg tgtggtcagc gtcctcaccg tcctgcacca ggactggctg 1080

aatggcaagg agtacaagtg caaggtctcc aacaaagccc teccagcccc categagaaa 1140
accateteca aagccaaagg gcagccccga gaaccacagg tgtacaccet geccccatec 1200
cgggatgagc tgaccaagaa ccaggtcagc etgacetgcc tggtcaaagg ettetateca 1260
agcgacateg cogtggagtg ggagagcaat gggcagcegg agaacaacta caagaccacg 1320
cetecegtge tggacteega eggeteette tteetetaca geaageteae egtggacaag 1380
agcaggtgge agcaggggaa egtettetea tgeteegtga tgeatgagge tetgcacaac 1440
cactacacge agaagageet eteeetgtet eegggtaaat ga 1482

<210> 6

<211> 493

<212> PRT

<213> Secuencia artificial

<220>

<223> Proteína de unión específica a CD37

<400> 6

Met Glu Ala Pro Ala Gln Leu Leu Phe Leu Leu Leu Leu Trp Leu Pro 1 5 10 15

Asp Thr Thr Gly Glu lle Val Leu Thr Gln Ser Pro Ala Thr Leu Ser 20 25 30

Leu Ser Pro Gly Glu Arg Ala Thr Leu Ser Cys Arg Thr Ser Glu Asn 35 40 45

Val Tyr Ser Tyr Leu Ala Trp Tyr Gln Gln Lys Pro Gly Gln Ala Pro 50 55 60

Arg Leu Leu Ile Tyr Phe Ala Lys Thr Leu Ala Glu Gly Ile Pro Ala 65 70 75 80

Arg Phe Ser Gly Ser Gly Ser Gly Thr Asp Phe Thr Leu Thr Ile Ser 85 90 95

Ser Leu Glu Pro Glu Asp Phe Ala Val Tyr Tyr Cys Gln His His Ser 100 105 110

Asp Asn Pro Trp Thr Phe Gly Gln Gly Thr Lys Val Glu lle Lys Gly 115 120 125

Gly Gly Gly Ser Gly Gly Gly Gly Gly Gly Gly Thr Gly Glu 130 135 140
Val Gln Leu Val Gln Ser Gly Ala Glu Val Lys Lys Pro Gly Glu Ser 145 150 155 160
Leu Lys Ile Ser Cys Lys Gly Ser Gly Tyr Ser Phe Thr Gly Tyr Asn 165 170 175
Met Asn Trp Val Arg Gln Met Pro Gly Lys Gly Leu Glu Trp Met Gly 180 185 190
Asn Ile Asp Pro Tyr Tyr Gly Gly Thr Thr Tyr Asn Arg Lys Phe Lys 195 200 205
Gly Gln Val Thr Ile Ser Ala Asp Lys Ser Ile Ser Thr Ala Tyr Leu 210 215 220
Gln Trp Ser Ser Leu Lys Ala Ser Asp Thr Ala Met Tyr Tyr Cys Ala 225 230 235 240
Arg Ser Val Gly Pro Met Asp Tyr Trp Gly Arg Gly Thr Leu Val Thr 245 250 255
Val Ser Ser Asp Gln Glu Pro Lys Ser Ser Asp Lys Thr His Thr Ser 260 265 270
Pro Pro Cys Pro Ala Pro Glu Leu Leu Gly Gly Pro Ser Val Phe Leu 275 280 285
Phe Pro Pro Lys Pro Lys Asp Thr Leu Met Ile Ser Arg Thr Pro Glu 290 295 300
Val Thr Cys Val Val Val Asp Val Ser His Glu Asp Pro Glu Val Lys 305 310 315 320
Phe Asn Trp Tyr Val Asp Gly Val Glu Val His Asn Ala Lys Thr Lys 325 330 335

Val Ser Asn Lys Ala Leu Pro Ala Pro Ile Glu Lys Thr Ile Ser Lys Ala Lys Gly Gln Pro Arg Glu Pro Gln Val Tyr Thr Leu Pro Pro Ser Arg Asp Glu Leu Thr Lys Asn Gln Val Ser Leu Thr Cys Leu Val Lys Gly Phe Tyr Pro Ser Asp lle Ala Val Glu Trp Glu Ser Asn Gly Gln Pro Glu Asn Asn Tyr Lys Thr Thr Pro Pro Val Leu Asp Ser Asp Gly Ser Phe Phe Leu Tyr Ser Lys Leu Thr Val Asp Lys Ser Arg Trp Gln Gln Gly Asn Val Phe Ser Cys Ser Val Met His Glu Ala Leu His Asn His Tyr Thr Gln Lys Ser Leu Ser Leu Ser Pro Gly Lys <210> 7 <211> 1482 <212> ADN <213> Secuencia artificial <220> <223> Proteína de unión específica a CD37 <400> 7

Thr Val Leu His Gln Asp Trp Leu Asn Gly Lys Glu Tyr Lys Cys Lys

60 atggaagccc cagctcagct tctcttcctc ctgctactct ggctcccaga taccaccgga gaaattgtgt tgacacagtc tccagccacc ctgtctttgt ctccaggcga aagagccacc 120 ctctcctgcc gaacaagtga aaatgtttac agctacttag cctggtacca acagaaacct 180 ggccaggete etaggeteet catetatttt gcaaaaacet tagcagaagg aattecagee 240 aggttcagtg gcagtggatc cgggacagac ttcactctca ccatcagcag cctagagcct 300 gaagattttg cagtttatta ctgtcaacat cattccgata atccgtggac attcggccaa gggaccaagg tggaaatcaa aggtggcggt ggctcgggcg gtggtggatc tggaggaggt 420 gggagetetg aggtgeaget ggtgeagtet ggageagagg tgaaaaagee eggagagtet 480 ctgaagattt cctgtaaggg atccggttac tcattcactg gctacaatat gaactgggtg 540 cgccagatgc ccgggaaagg cctcgagtgg atgggcaata ttgatcctta ttatggtggt 600 actacctaca accggaagtt caagggccag gtcactatct ccgccgacaa gtccatcagc accgcctacc tgcaatggag cagcctgaag gcctcggaca ccgccatgta ttactgtgca 720 cgctcagtcg gccctatgga ctactggggc cgcggcaccc tggtcactgt ctcctctgat 780 caggagecea aatettetga caaaaeteae acateteeae egtgeecage acetgaaete 840 ctgggtggac cgtcagtctt cctcttcccc ccaaaaccca aggacaccct catgatctcc 900 960 eggaeceetg aggteacatg egtggtggtg gaegtgagee aegaagaece tgaggteaag ttcaactggt acgtggacgg cgtggaggtg cataatgcca agacaaagcc gcgggaggag 1020 cagtacaaca gcacgtaccg tgtggtcagc gtcctcaccg tcctgcacca ggactggctg 1080 aatggcaagg agtacaagtg caaggtctcc aacaaagccc tcccagcccc catcgagaaa 1140 accateteca aagecaaagg geageceega gaaccacagg tgtacaccet geececatee 1200 cgggatgagc tgaccaagaa ccaggtcagc ctgacctgcc tggtcaaagg cttctatcca 1260 agegacateg cegtggagtg ggagageaat gggcageegg agaacaacta caagaccaeg 1320 cctcccgtgc tggactccga cggctccttc ttcctctaca gcaagctcac cgtggacaag 1380 agcaggtggc agcaggggaa cgtcttctca tgctccgtga tgcatgaggc tctgcacaac 1440 1482 cactacacgc agaagagcct ctccctgtct ccgggtaaat ga

<210> 8 <211> 493

<211> 493

<212> PRT

<213> Secuencia artificial
<220>
<223> Proteína de unión específica a CD37
<400> 8

Met Glu Ala Pro Ala Gln Leu Leu Phe Leu Leu Leu Leu Trp Leu Pro
1 5 10 15

Asp Thr Thr Gly Glu lle Val Leu Thr Gln Ser Pro Ala Thr Leu Ser

20 00	
Leu Ser Pro Gly Glu Arg Ala Thr Leu Ser Cys Arg Thr Ser Glu Asn 35 40 45	
Val Tyr Ser Tyr Leu Ala Trp Tyr Gln Gln Lys Pro Gly Gln Ala Pro 50 55 60	
Arg Leu Leu lle Tyr Phe Ala Lys Thr Leu Ala Glu Gly lle Pro Ala 65 70 75 80	
Arg Phe Ser Gly Ser Gly Ser Gly Thr Asp Phe Thr Leu Thr Ile Ser 85 90 95	
Ser Leu Glu Pro Glu Asp Phe Ala Val Tyr Tyr Cys Gln His His Ser 100 105 110	
Asp Asn Pro Trp Thr Phe Gly Gln Gly Thr Lys Val Glu lle Lys Gly 115 120 125	
Gly Gly Gly Ser Gly Gly Gly Ser Gly Gly Gly Ser Ser Glu 130 135 140	
Val Gln Leu Val Gln Ser Gly Ala Glu Val Lys Lys Pro Gly Glu Ser 145 150 155 160	
Leu Lys IIe Ser Cys Lys Gly Ser Gly Tyr Ser Phe Thr Gly Tyr Asn 165 170 175	
Met Asn Trp Val Arg Gln Met Pro Gly Lys Gly Leu Glu Trp Met Gly 180 185 190	
Asn Ile Asp Pro Tyr Tyr Gly Gly Thr Thr Tyr Asn Arg Lys Phe Lys 195 200 205	
Gly Gln Val Thr Ile Ser Ala Asp Lys Ser Ile Ser Thr Ala Tyr Leu 210 215 220	
Gln Trp Ser Ser Leu Lys Ala Ser Asp Thr Ala Met Tyr Tyr Cys Ala 225 230 235 240	

Arg Ser Val Gly Pro Met Asp Tyr Trp Gly Arg Gly Thr Leu Val Thr

	245	250	255	
			Ser Asp Lys Thr I 270	His Thr Ser
Pro Pro 0 275			u Gly Gly Pro Ser 5	Val Phe Leu
Phe Pro 290	Pro Lys Pro L 295	ys Asp Thr Le 300	u Met lle Ser Arg	Thr Pro Glu
Val Thr C 305	Cys Val Val Va 310	l Asp Val Ser I 315	His Glu Asp Pro G 320	lu Val Lys
Phe Asn	Trp Tyr Val As 325	sp Gly Val Glu 330	Val His Asn Ala L 335	ys Thr Lys
	•	yr Asn Ser Thr 345	Tyr Arg Val Val S 350	er Val Leu
Thr Val L 355			n Gly Lys Glu Tyr I 35	Lys Cys Lys
Val Ser A 370	Asn Lys Ala Le 375	eu Pro Ala Pro 380	lle Glu Lys Thr lle	Ser Lys
Ala Lys (385	Gly Gln Pro Ar 390	g Glu Pro Gln 395	Val Tyr Thr Leu P 400	ro Pro Ser
Arg Asp	Glu Leu Thr L 405	ys Asn Gln Va 410	I Ser Leu Thr Cys 415	Leu Val Lys
		sp lle Ala Val (425	Glu Trp Glu Ser As 430	sn Gly Gln
Pro Glu 435	•	•	o Pro Val Leu Asp 15	Ser Asp Gly
Ser Phe 450	Phe Leu Tyr \$ 455	Ser Lys Leu Tl 460	hr Val Asp Lys Ser	Arg Trp Gln
Gln Gly	Asn Val Phe S	er Cys Ser Va	al Met His Glu Ala	Leu His Asn

465 470 475 480

His Tyr Thr Gln Lys Ser Leu Ser Leu Ser Pro Gly Lys 485 490

<210> 9

<211> 1482

<212> ADN

<213> Secuencia artificial

<220>

<223> Proteína de unión específica a CD37

<400> 9

atggaagece cageteaget tetetteete etgetaetet ggeteecaga taccacegga 60 120 gaaattgtgt tgacacagtc tccagccacc ctgtctttgt ctccaggcga aagagccacc ctctcctgcc gaacaagtga aaatgtttac agctacttag cctggtacca acagaaacct 180 ggccaggete etaggeteet catetatttt gcaaaaacet tagcagaagg aattecagee 240 aggiticagtig geagtiggate egggacagae titeaetetea eeateageag eetagageet 300 gaagattttg cagtttatta ctgtcaacat cattccgata atccgtggac attcggccaa gggaccaagg tggaaatcaa aggtggcggt ggctcgggcg gtggtggatc tggaggaggt 420 gggaccggtg aggtgcagct ggtgcagtct ggagcagagt cgaaaaaagcc cggagagtct 480 ctgaagattt cctgtaaggg atccggttac tcattcactg gctacaatat gaactgggtg 540 cgccagatgc ccgggaaagg cctcgagtgg atgggcaata ttgatcctta ttatggtggt 600 actacctaca accggaagtt caagggccag gtcactatct ccgccgacaa gtccatcagc accgcctacc tgcaatggag cagcctgaag gcctcggaca ccgccatgta ttactgtgca cgctcagtcg gccctatgga ctactggggc cgcggcaccc tggtcactgt ctcctctgat 780 caggagecca aatettetga caaaacteac acatetecae egtgeccage acetgaacte 840 ctgggtggac cgtcagtctt cctcttcccc ccaaaaccca aggacaccct catgatctcc 900 cggacccctg aggtcacatg cgtggtggtg gacgtgagcc acgaagaccc tgaggtcaag ttcaactggt acgtggacgg cgtggaggtg cataatgcca agacaaagcc gcgggaggag 1020 cagtacaaca gcacgtaccg tgtggtcagc gtcctcaccg tcctgcacca ggactggctg 1080 aatggcaagg agtacaagtg caaggtctcc aacaaagccc tcccagcccc catcgagaaa 1140 accateteca aagecaaagg geageceega gaaccaeagg tgtacaeeet geececatee 1200

egggatgage tgaccaagaa ceaggteage etgacetgee tggteaaagg ettetateea 1260
agegacateg eegtggagtg ggagageaat gggeageegg agaacaacta caagaceaeg 1320
ceteeegtge tggacteega eggeteette tteetetaca geaageteae egtggacaag 1380
ageaggtgge ageaggggaa egtettetea tgeteegtga tgeatgagge tetgeacaae 1440
cactacaege agaagageet eteeetgtet eegggtaaat ga 1482

<210> 10 <211> 493 <212> PRT <213> Secuencia artificial <220> <223> Proteína de unión específica a CD37 <400> 10

Met Glu Ala Pro Ala Gln Leu Leu Phe Leu Leu Leu Leu Trp Leu Pro 1 5 10 15

Asp Thr Thr Gly Glu lle Val Leu Thr Gln Ser Pro Ala Thr Leu Ser 20 25 30

Leu Ser Pro Gly Glu Arg Ala Thr Leu Ser Cys Arg Thr Ser Glu Asn 35 40 45

Val Tyr Ser Tyr Leu Ala Trp Tyr Gln Gln Lys Pro Gly Gln Ala Pro 50 55 60

Arg Leu Leu lle Tyr Phe Ala Lys Thr Leu Ala Glu Gly lle Pro Ala 65 70 75 80

Arg Phe Ser Gly Ser Gly Ser Gly Thr Asp Phe Thr Leu Thr Ile Ser 85 90 95

Ser Leu Glu Pro Glu Asp Phe Ala Val Tyr Tyr Cys Gln His His Ser 100 105 110

Asp Asn Pro Trp Thr Phe Gly Gln Gly Thr Lys Val Glu Ile Lys Gly 115 120 125

Val Gln Leu Val Gln Ser Gly Ala Glu Ser Lys Lys Pro Gly Glu Ser 145 150 155 160
Leu Lys IIe Ser Cys Lys Gly Ser Gly Tyr Ser Phe Thr Gly Tyr Asn 165 170 175
Met Asn Trp Val Arg Gln Met Pro Gly Lys Gly Leu Glu Trp Met Gly 180 185 190
Asn Ile Asp Pro Tyr Tyr Gly Gly Thr Thr Tyr Asn Arg Lys Phe Lys 195 200 205
Gly Gln Val Thr lle Ser Ala Asp Lys Ser lle Ser Thr Ala Tyr Leu 210 215 220
Gln Trp Ser Ser Leu Lys Ala Ser Asp Thr Ala Met Tyr Tyr Cys Ala 225 230 235 240
Arg Ser Val Gly Pro Met Asp Tyr Trp Gly Arg Gly Thr Leu Val Thr 245 250 255
Val Ser Ser Asp Gln Glu Pro Lys Ser Ser Asp Lys Thr His Thr Ser 260 265 270
Pro Pro Cys Pro Ala Pro Glu Leu Leu Gly Gly Pro Ser Val Phe Lee 275 280 285
Phe Pro Pro Lys Pro Lys Asp Thr Leu Met Ile Ser Arg Thr Pro Glu 290 295 300
Val Thr Cys Val Val Val Asp Val Ser His Glu Asp Pro Glu Val Lys 305 310 315 320
Phe Asn Trp Tyr Val Asp Gly Val Glu Val His Asn Ala Lys Thr Lys 325 330 335
Pro Arg Glu Glu Gln Tyr Asn Ser Thr Tyr Arg Val Val Ser Val Leu 340 345 350

Thr Val Leu His Gln Asp Trp Leu Asn Gly Lys Glu Tyr Lys Cys Lys $355 \hspace{1.5cm} 360 \hspace{1.5cm} 365$

Val Ser Asn Lys Ala Leu Pro Ala Pro lle Glu Lys Thr lle Ser Lys 370 375 Ala Lys Gly Gln Pro Arg Glu Pro Gln Val Tyr Thr Leu Pro Pro Ser 385 390 395 Arg Asp Glu Leu Thr Lys Asn Gln Val Ser Leu Thr Cys Leu Val Lys 405 410 415 Gly Phe Tyr Pro Ser Asp Ile Ala Val Glu Trp Glu Ser Asn Gly Gln 420 425 Pro Glu Asn Asn Tyr Lys Thr Thr Pro Pro Val Leu Asp Ser Asp Gly 435 440 Ser Phe Phe Leu Tyr Ser Lys Leu Thr Val Asp Lys Ser Arg Trp Gln 450 455 460 Gln Gly Asn Val Phe Ser Cys Ser Val Met His Glu Ala Leu His Asn 470 475 480 His Tyr Thr Gln Lys Ser Leu Ser Leu Ser Pro Gly Lys 490 <210> 11 <211> <212> 1482 ADN <213> Secuencia artificial <223> Proteína de unión específica a CD37 <400> 11 atggaagccc cagctcagct tctcttcctc ctgctactct ggctcccaga taccaccgga 60 gaaattgtgt tgacacagtc tccagccacc ctgtctttgt ctccaggcga aagagccacc 120 ctctcctgcc gaacaagtca aaatgtttac agctacttag cctggtacca acagaaacct 180 ggccaggete etaggeteet catetatttt gcaaaaacet tagcagaagg aattecagee 240 aggitcagtg gcagtggatc cgggacagac ttcactctca ccatcagcag cctagagcct 300 gaagattttg cagtttatta ctgtcaacat cattccgata atccgtggac attcggccaa 360

gggaccaagg tggaaatcaa aggtggcggt ggctcgggcg gtggtggatc tggaggaggt 420

gggaccggtg aggtgcagct ggtgcagtct ggagcagagg tgaaaaagcc cggagagtct 480 ctgaagattt cctgtaaggg atccggttac tcattcactg gctacaatat gaactgggtg 540 cgccagatgc ccgggaaagg cctcgagtgg atgggcaata ttgatcctta ttatggtggt 600 actacctaca accggaagtt caagggccag gtcactatct ccgccgacaa gtccatcagc 660 accocctace tocaatogag cageetgaag geeteggaca cegecatota ttactotoga 720 cgctcagtcg gccctatgga ctactggggc cgcggcaccc tggtcactgt ctcctctgat 780 caggagecea aatettetga caaaacteae acateteeae egtgeceage acetgaacte 840 ctgggtggac cgtcagtctt cctcttcccc ccaaaaccca aggacaccct catgatctcc 900 cggacccctg aggtcacatg cgtggtggtg gacgtgagcc acgaagaccc tgaggtcaag ttcaactggt acgtggacgg cgtggaggtg cataatgcca agacaaagcc gcgggaggag 1020 cagtacaaca gcacgtaccg tgtggtcagc gtcctcaccg tcctgcacca ggactggctg 1080 aatggcaagg agtacaagtg caaggtetee aacaaageee teecageeee categagaaa 1140 accateteca aagecaaagg geageceega gaaccaeagg tgtacaeeet geeeceatee 1200 cgggatgagc tgaccaagaa ccaggtcagc ctgacctgcc tggtcaaagg cttctatcca 1260 agcgacateg cogtggagtg ggagageaat gggcageegg agaacaacta caagaccaeg 1320 cctcccgtgc tggactccga cggctccttc ttcctctaca gcaagctcac cgtggacaag 1380 agcaggtggc agcaggggaa cgtcttctca tgctccgtga tgcatgaggc tctgcacaac 1440 1482 cactacacge agaagageet eteeetgtet eegggtaaat ga

```
<210> 12
<211> 493
<212> PRT
<213> Secuencia artificial
<220>
<223> Proteína de unión específica a CD37
<400> 12
```

Met Glu Ala Pro Ala Gln Leu Leu Phe Leu Leu Leu Leu Trp Leu Pro 1 5 10 15

Asp Thr Thr Gly Glu lle Val Leu Thr Gln Ser Pro Ala Thr Leu Ser 20 25 30

Leu Ser Pro Gly Glu Arg Ala Thr Leu Ser Cys Arg Thr Ser Gln Asn

35	i	40	4	45			
Val Tyr 50		eu Ala Trp 55	Tyr G 60	In GIn	Lys Pro 0	Gly Gln Ala	a Pro
Arg Let 65	u Leu lle 7 70	fyr Phe Al	a Lys 1 75	Γhr Leι	a Ala Glu 80	Gly lle Pro	o Ala
Arg Ph	e Ser Gly 85	Ser Gly S 90		Thr As		nr Leu Thr	lle Ser
Ser Lei	u Glu Pro 100	Glu Asp F 105	he Ala	ı Val Ty 110		s GIn His I	His Ser
Asp As 11		Thr Phe (Gly Gln	Gly T 125	hr Lys Va	l Glu lle L	ys Gly
Gly Gly 130	/ Gly Ser	Gly Gly Gl 135		Ser Gly 40	y Gly Gly	Gly Thr G	ly Glu
Val Gln 145		GIn Ser G 50	ly Ala (155		Lys Lys 160	Pro Gly G	lu Ser
Leu Ly	s lle Ser (165	Cys Lys Gi 17	ly Ser (70		r Ser Phe 175	Thr Gly T	yr Asn
Met As	n Trp Val 180	Arg Gln M 185	let Pro	Gly Ly 19		u Glu Trp	Met Gly
	Asp Pro	Tyr Tyr Gly 200	y Gly T	hr Thr 205	Tyr Asn A	Arg Lys Ph	ne Lys
Gly Glı 210	n Val Thr I	le Ser Ala 215	•	ys Ser 20	lle Ser T	hr Ala Tyr	Leu
Gln Trp 225		Leu Lys A 30	la Ser 235		nr Ala Me 240	et Tyr Tyr C	Sys Ala
Arg Se	r Val Gly 245	Pro Met A	sp Tyr 50		y Arg Gly 255	Thr Leu \	/al Thr

Val Ser Ser Asp Gln Glu Pro Lys Ser Ser Asp Lys Thr His Thr Ser

260	265	270
Pro Pro Cys P	ro Ala Pro Glu	ı Leu Leu Gly Gly Pro Ser Val Phe Leu
275	280	285
Phe Pro Pro L	ys Pro Lys As _l	p Thr Leu Met Ile Ser Arg Thr Pro Glu
290	295	300
Val Thr Cys Va	al Val Val Asp	Val Ser His Glu Asp Pro Glu Val Lys
305	310	315 320
Phe Asn Trp T	yr Val Asp Gly	Val Glu Val His Asn Ala Lys Thr Lys
325	330) 335
Pro Arg Glu G	lu Gln Tyr Asn	i Ser Thr Tyr Arg Val Val Ser Val Leu
340	345	350
Thr Val Leu Hi	s Gln Asp Trp	Leu Asn Gly Lys Glu Tyr Lys Cys Lys
355	360	365
Val Ser Asn Ly	s Ala Leu Pro	Ala Pro lle Glu Lys Thr lle Ser Lys
370	375	380
Ala Lys Gly Gl	n Pro Arg Glu	Pro Gln Val Tyr Thr Leu Pro Pro Ser
385	390	395 400
Arg Asp Glu L	eu Thr Lys As	n GIn Val Ser Leu Thr Cys Leu Val Lys
405	410) 415
Gly Phe Tyr P	ro Ser Asp Ile	Ala Val Glu Trp Glu Ser Asn Gly Gln
420	425	430
Pro Glu Asn A	sn Tyr Lys Thi	r Thr Pro Pro Val Leu Asp Ser Asp Gly
435	440	445
Ser Phe Phe I	Leu Tyr Ser Ly	rs Leu Thr Val Asp Lys Ser Arg Trp Gln
450	455	460
Gln Gly Asn V	al Phe Ser Cy	rs Ser Val Met His Glu Ala Leu His Asn
465	470	475 480
His Tyr Thr Gl	n Lys Ser Leu	Ser Leu Ser Pro Gly Lys
485	490	

<210> 13

<211> 1482

<212> ADN

<213> Secuencia artificial

<220>

<223> Proteína de unión específica a CD37

<400> 13

60 atggaagece cageteaget tetetteete etgetaetet ggeteecaga taecaeegga gaaattgtgt tgacacagtc tccagccacc ctgtctttgt ctccaggcga aagagccacc 120 ctctcctgcc gaacaagtga aagtgtttac agctacttag cctggtacca acagaaacct 180 ggccaggctc ctaggctcct catctatttt gcaaaaacct tagcagaagg aattccagcc 240 aggttcagtg gcagtggatc cgggacagac ttcactctca ccatcagcag cctagagcct gaagattttg cagtttatta ctgtcaacat cattccgata atccgtggac attcggccaa 360 gggaccaagg tggaaatcaa aggtggcggt ggctcgggcg gtggtggatc tggaggaggt 420 480 gggaccggtg aggtgcagct ggtgcagtct ggagcagagg tgaaaaagcc cggagagtct ctgaagattt cctgtaaggg atccggttac tcattcactg gctacaatat gaactgggtg 540 cgccagatgc ccgggaaagg cctcgagtgg atgggcaata ttgatcctta ttatggtggt 600 660 actacctaca accggaagtt caagggccag gtcactatct ccgccgacaa gtccatcagc accgcctacc tgcaatggag cagcctgaag gcctcggaca ccgccatgta ttactgtgca 720 cgctcagtcg gccctatgga ctactggggc cgcggcaccc tggtcactgt ctcctctgat 780 caggagecea aatettetga caaaacteae acateteeae egtgeecage acetgaacte 840 ctgggtggac cgtcagtctt cctcttcccc ccaaaaccca aggacaccct catgatctcc 900 eggaeceetg aggteacatg egtggtggtg gaegtgagee aegaagaece tgaggteaag ttcaactggt acgtggacgg cgtggaggtg cataatgcca agacaaagcc gcgggaggag 1020 cagtacaaca gcacgtaccg tgtggtcagc gtcctcaccg tcctgcacca ggactggctg 1080 aatggcaagg agtacaagtg caaggtetee aacaaageee teecageeee categagaaa 1140 accateteea aageeaaagg geageeeega gaaceaeagg tgtacaceet geeeeeatee 1200 cgggatgage tgaccaagaa ceaggteage etgacetgee tggtcaaagg ettetateea 1260 agcgacatcg cogtggagtg ggagagcaat gggcagccgg agaacaacta caagaccacg 1320

cctcccgtgc tggactccga cggctccttc ttcctctaca gcaagctcac cgtggacaag 1380
agcaggtggc agcaggggaa cgtcttctca tgctccgtga tgcatgaggc tctgcacaac 1440
cactacacgc agaagagcct ctccctgtct ccgggtaaat ga 1482

<210> 14

<211> 493

<212> PRT

<213> Secuencia artificial

<220>

<223> Proteína de unión específica a CD37

<400> 14

Met Glu Ala Pro Ala Gin Leu Leu Phe Leu Leu Leu Leu Trp Leu Pro 1 5 10 15

Asp Thr Thr Gly Glu IIe Val Leu Thr Gln Ser Pro Ala Thr Leu Ser 20 25 30

Leu Ser Pro Gly Glu Arg Ala Thr Leu Ser Cys Arg Thr Ser Glu Ser 35 40 45

Val Tyr Ser Tyr Leu Ala Trp Tyr Gln Gln Lys Pro Gly Gln Ala Pro 50 55 60

Arg Leu Leu lle Tyr Phe Ala Lys Thr Leu Ala Glu Gly lle Pro Ala 65 70 75 80

Arg Phe Ser Gly Ser Gly Ser Gly Thr Asp Phe Thr Leu Thr Ile Ser 85 90 95

Ser Leu Glu Pro Glu Asp Phe Ala Val Tyr Tyr Cys Gln His His Ser 100 105 110

Asp Asn Pro Trp Thr Phe Gly Gln Gly Thr Lys Val Glu IIe Lys Gly 115 120 125

Gly Gly Gly Ser Gly Gly Gly Gly Gly Gly Gly Thr Gly Glu 130 135 140

Val Gln Leu Val Gln Ser Gly Ala Glu Val Lys Lys Pro Gly Glu Ser 145 150 155 160

Leu Lys IIe Ser Cys Lys Gly Ser Gly Tyr Ser Phe Thr Gly Tyr Asn 165 170 175
Met Asn Trp Val Arg Gln Met Pro Gly Lys Gly Leu Glu Trp Met Gly 180 185 190
Asn Ile Asp Pro Tyr Tyr Gly Gly Thr Thr Tyr Asn Arg Lys Phe Lys 195 200 205
Gly Gln Val Thr Ile Ser Ala Asp Lys Ser Ile Ser Thr Ala Tyr Leu 210 215 220
Gln Trp Ser Ser Leu Lys Ala Ser Asp Thr Ala Met Tyr Tyr Cys Ala 225 230 235 240
Arg Ser Val Gly Pro Met Asp Tyr Trp Gly Arg Gly Thr Leu Val Thr 245 250 255
Val Ser Ser Asp Gln Glu Pro Lys Ser Ser Asp Lys Thr His Thr Ser 260 265 270
Pro Pro Cys Pro Ala Pro Glu Leu Leu Gly Gly Pro Ser Val Phe Leu 275 280 285
Phe Pro Pro Lys Pro Lys Asp Thr Leu Met Ile Ser Arg Thr Pro Glu 290 295 300
Val Thr Cys Val Val Val Asp Val Ser His Glu Asp Pro Glu Val Lys 305 310 315 320
Phe Asn Trp Tyr Val Asp Gly Val Glu Val His Asn Ala Lys Thr Lys 325 330 335
Pro Arg Glu Glu Gln Tyr Asn Ser Thr Tyr Arg Val Val Ser Val Leu 340 345 350
Thr Val Leu His Gln Asp Trp Leu Asn Gly Lys Glu Tyr Lys Cys Lys 355 360 365
Val Ser Asn Lys Ala Leu Pro Ala Pro Ile Glu Lys Thr Ile Ser Lys 370 375 380

Ala Lys Gly Gln Pro Arg Glu Pro Gln Val Tyr Thr Leu Pro Pro Ser 385 390 395 400 Arg Asp Glu Leu Thr Lys Asn Gln Val Ser Leu Thr Cys Leu Val Lys 405 410 415 Gly Phe Tyr Pro Ser Asp lle Ala Val Glu Trp Glu Ser Asn Gly Gln 425 420 430 Pro Glu Asn Asn Tyr Lys Thr Thr Pro Pro Val Leu Asp Ser Asp Gly 435 440 445 Ser Phe Phe Leu Tyr Ser Lys Leu Thr Val Asp Lys Ser Arg Trp Gln 450 455 Gln Gly Asn Val Phe Ser Cys Ser Val Met His Glu Ala Leu His Asn 465 470 475 480 His Tyr Thr Gln Lys Ser Leu Ser Leu Ser Pro Gly Lys 490 485 <210> 15 <211> 1482 <212> ADN <213> Secuencia artificial <223> Proteína de unión específica a CD37 <400> 15 atggaageee cageteaget tetetteete etgetaetet ggeteecaga taecacegga 60 gaaattgtgt tgacacagtc tccagccacc ctgtctttgt ctccaggcga aagagccacc 120 ctctcctgcc gagcaagtga aaatgtttac agctacttag cctggtacca acagaaacct 180 240 ggccaggctc ctaggctcct catctatttt gcaaaaacct tagcagaagg aattccagcc aggitcagtg gcagtggatc cgggacagac ttcactctca ccatcagcag cctagagcct gaagattitg cagtitatta cigicaacat catteegata ateegiggae atteggeeaa 420 gggaccaagg tggaaatcaa aggtggcggt ggctcgggcg gtggtggatc tggaggaggt 480 gggaccggtg aggtgcagct ggtgcagtct ggagcagagg tgaaaaagcc cggagagtct

ctgaagattt cctgtaaggg atccggttac tcattcactg gctacaatat gaactgggtg

cgccagatgc ccgggaaagg cctcgagtgg atgggcaata ttgatcctta ttatggtggt 600 actacctaca accggaagtt caagggccag gtcactatct ccgccgacaa gtccatcagc accgcctacc tgcaatggag cagcctgaag gcctcggaca ccgccatgta ttactgtgca 720 cgctcagtcg gccctatgga ctactggggc cgcggcaccc tggtcactgt ctcctctgat 780 caggagecea aatettetga caaaaeteae acateteeae egtgeeeage acetgaacte 840 ctgggtggac cgtcagtctt cctcttcccc ccaaaaccca aggacaccct catgatctcc 900 cggacccctg aggtcacatg cgtggtggtg gacgtgagcc acgaagaccc tgaggtcaag 960 ttcaactggt acgtggacgg cgtggaggtg cataatgcca agacaaagcc gcgggaggag 1020 cagtacaaca gcacgtaccg tgtggtcagc gtcctcaccg tcctgcacca ggactggctg 1080 aatggcaagg agtacaagtg caaggtctcc aacaaagccc tcccagcccc catcgagaaa 1140 accateteca aagecaaagg geageceega gaaccacagg tgtacaccet geececatee 1200 cgggatgage tgaccaagaa ccaggtcage etgacetgee tggtcaaagg ettetateca 1260 agcgacatcg cogtggagtg ggagagcaat gggcagccgg agaacaacta caagaccacg 1320 cctcccgtgc tggactccga cggctccttc ttcctctaca gcaagctcac cgtggacaag 1380 agcaggtggc agcaggggaa cgtcttctca tgctccgtga tgcatgaggc tctgcacaac 1440 1482 cactacacgc agaagagcct ctccctgtct ccgggtaaat ga

<210> 16

<211> 493

<212> PRT

<213> Secuencia artificial

<220>

<223> Proteína de unión específica a CD37

<400> 16

Met Glu Ala Pro Ala Gln Leu Leu Phe Leu Leu Leu Leu Trp Leu Pro 1 5 10 15

Asp Thr Thr Gly Glu lle Val Leu Thr Gln Ser Pro Ala Thr Leu Ser 20 25 30

Leu Ser Pro Gly Glu Arg Ala Thr Leu Ser Cys Arg Ala Ser Glu Asn 35 40 45

Val Tyr Ser Tyr Leu Ala Trp Tyr Gln Gln Lys Pro Gly Gln Ala Pro

50	55	60	
Arg Leu Leu l	lle Tyr Phe Ala	Lys Thr Leu	ı Ala Glu Gly lle Pro Ala
65	70	75	80
Arg Phe Ser 85	Gly Ser Gly Se 90	er Gly Thr As 95	p Phe Thr Leu Thr Ile Ser
Ser Leu Glu I	Pro Glu Asp Pl	he Ala Val Ty	vr Tyr Cys Gln His His Ser
100	105	110)
Asp Asn Pro	Trp Thr Phe G	ily Gln Gly Ti	hr Lys Val Glu lle Lys Gly
115	120	125	
Gly Gly Gly S	Ser Gly Gly Gly	y Gly Ser Gly	Gly Gly Gly Thr Gly Glu
130	135	140	
Val Gln Leu \	/al Gln Ser Gly	y Ala Glu Val	Lys Lys Pro Gly Glu Ser
145	150	155	160
Leu Lys Ile S 165			Ser Phe Thr Gly Tyr Asn 175
Met Asn Trp \	Val Arg Gln Me	et Pro Gly Ly	s Gly Leu Glu Trp Met Gly
180	185	190)
Asn Ile Asp F	Pro Tyr Tyr Gly	Gly Thr Thr	Tyr Asn Arg Lys Phe Lys
195	200	205	
Gly Gln Val T	hr lle Ser Ala /	Asp Lys Ser	lle Ser Thr Ala Tyr Leu
210	215	220	
Gln Trp Ser S	Ser Leu Lys Ala	a Ser Asp Th	nr Ala Met Tyr Tyr Cys Ala
225	230	235	240
Arg Ser Val 0 24			y Arg Gly Thr Leu Val Thr 255
Val Ser Ser A	Asp Gln Glu Pr	o Lys Ser Se	er Asp Lys Thr His Thr Ser
260	265	27	0

Pro Pro Cys Pro Ala Pro Glu Leu Leu Gly Gly Pro Ser Val Phe Leu

Phe Pro Pro Lys Pro Lys Asp Thr Leu Met lle Ser Arg Thr Pro Glu Val Thr Cys Val Val Val Asp Val Ser His Glu Asp Pro Glu Val Lys Phe Asn Trp Tyr Val Asp Gly Val Glu Val His Asn Ala Lys Thr Lys Pro Arg Glu Glu Gln Tyr Asn Ser Thr Tyr Arg Val Val Ser Val Leu Thr Val Leu His Gln Asp Trp Leu Asn Gly Lys Glu Tyr Lys Cys Lys Val Ser Asn Lys Ala Leu Pro Ala Pro lle Glu Lys Thr lle Ser Lys Ala Lys Gly Gln Pro Arg Glu Pro Gln Val Tyr Thr Leu Pro Pro Ser Arg Asp Glu Leu Thr Lys Asn Gln Val Ser Leu Thr Cys Leu Val Lys Gly Phe Tyr Pro Ser Asp lle Ala Val Glu Trp Glu Ser Asn Gly Gln Pro Glu Asn Asn Tyr Lys Thr Thr Pro Pro Val Leu Asp Ser Asp Gly Ser Phe Phe Leu Tyr Ser Lys Leu Thr Val Asp Lys Ser Arg Trp Gln Gln Gly Asn Val Phe Ser Cys Ser Val Met His Glu Ala Leu His Asn His Tyr Thr Gln Lys Ser Leu Ser Leu Ser Pro Gly Lys

<210> 17 <211> 1479 <212> ADN <213> Secuencia artificial

<220>

<223> Proteína de unión específica a CD37

<400> 17

> atggaageae cagegeaget tetetteete etgetaetet ggeteecaga taecaceggt 60 120 gacatecaga tgactcagte tecageetee etatetgeat etgtgggaga gactgteace 180 atcacatgtc gaacaagtga aaatgtttac agttatttgg cttggtatca gcagaaacag 240 ggaaaatctc ctcagctcct ggtctctttt gcaaaaacct tagcagaagg tgtgccatca aggttcagtg gcagtggatc aggcacacag ttttctctga agatcagcag cctgcagcct 300 gaagattetg gaagttattt etgteaacat eatteegata ateegtggae gtteggtgga 420 ggcaccgaac tggagatcaa aggtggcggt ggctcgggcg gtggtgggtc gggtggcggc 480 ggagctagcg aggtgcagct ggtgcagtct ggagcagagg tgaaaaaagcc cggagagtct ctgaggattt cctgtaaggg atccggttac tcattcactg gctacaatat gaactgggtg 540 cgccagatgc ccgggaaagg cctggagtgg atgggcaata ttgatcctta ttatggtggt actacctaca accggaagtt caagggccag gtcactatct ccgccgacaa gtccatcagc 720 accgcctacc tgcaatggag cagcctgaag gcctcggaca ccgccatgta ttactgtgca 780 cgctcagtcg gccctatgga ctactggggc cgcggcaccc tggtcactgt ctcctcgagc gageceaaat ettetgacaa aacteacaca tetecacegt geecageace tgaacteetg 840 ggtggaccgt cagtetteet etteececca aaacecaagg acacecteat gateteecgg 900 acccctgagg tcacatgcgt ggtggtggac gtgagccacg aagaccctga ggtcaagttc 960 aactggtacg tggacggcgt ggaggtgcat aatgccaaga caaagccgcg ggaggagcag 1020 tacaacagca cgtaccgtgt ggtcagcgtc ctcaccgtcc tgcaccagga ctggctgaat 1080 ggcaaggagt acaagtgcaa ggtctccaac aaagccctcc cagcccccat cgagaaaacc 1140 atctccaaag ccaaagggca gccccgagaa ccacaggtgt acaccctgcc cccatcccgg 1200 gatgagctga ccaagaacca ggtcagcctg acctgcctgg tcaaaggctt ctatccaagc 1260 gacatcgccg tggagtggga gagcaatggg cagccggaga acaactacaa gaccacgcct 1320 cccgtgctgg actccgacgg ctccttcttc ctctacagca agctcaccgt ggacaagagc 1380 aggtggcagc aggggaacgt cttctcatgc tccgtgatgc atgaggctct gcacaaccac 1440 tacacgcaga agagectete cetgteteeg ggtaaatga 1479

<210> 18

<211>

<212> <213>	PRT Secuencia artificial			
<220> <223>	Proteína de unión espec	cífica a CD37		
<400>	18			
Met 1	t Glu Ala Pro Ala Gln L 5 1		Leu Leu Leu Trp Lei 15	u Pro
Asp	Thr Thr Gly Asp lle G 20 25	Sin Met Thr G 30	Sin Ser Pro Ala Ser Leu S	Ser
Ala	Ser Val Gly Glu Thr V 35 40	al Thr lle Th i 45	Cys Arg Thr Ser Glu As	n
	Tyr Ser Tyr Leu Ala Tr 50 55	rp Tyr Gln Gl 60	n Lys Gin Gly Lys Ser Pr	О
Gln 65	Leu Leu Val Ser Phe 70	Ala Lys Thr I 75	Leu Ala Glu Gly Val Pro \$ 80	Ser
Arg	Phe Ser Gly Ser Gly 85 9		Gln Phe Ser Leu Lys IIe 9 95	Ser
Ser	Leu Gin Pro Glu Asp 100 105		Tyr Phe Cys Gln His His 10	Ser
Asp		Gly Gly Gly 125	Thr Glu Leu Glu lle Lys (Эly
	Gly Gly Ser Gly Gly C 30 135	Gly Gly Ser G 140	Gly Gly Gly Ala Ser G	lu
Val 145		Gly Ala Glu V 155	al Lys Lys Pro Gly Glu S 160	er
Leu		Gly Ser Gly T 170	yr Ser Phe Thr Gly Tyr A 175	sn

Met Asn Trp Val Arg Gln Met Pro Gly Lys Gly Leu Glu Trp Met Gly 180 185 190
Asn Ile Asp Pro Tyr Tyr Gly Gly Thr Thr Tyr Asn Arg Lys Phe Lys 195 200 205
Gly Gln Val Thr Ile Ser Ala Asp Lys Ser Ile Ser Thr Ala Tyr Leu 210 215 220
Gln Trp Ser Ser Leu Lys Ala Ser Asp Thr Ala Met Tyr Tyr Cys Ala 225 230 235 240
Arg Ser Val Gly Pro Met Asp Tyr Trp Gly Arg Gly Thr Leu Val Thr 245 250 255
Val Ser Ser Ser Glu Pro Lys Ser Ser Asp Lys Thr His Thr Ser Pro 260 265 270
Pro Cys Pro Ala Pro Glu Leu Leu Gly Gly Pro Ser Val Phe Leu Phe 275 280 285
Pro Pro Lys Pro Lys Asp Thr Leu Met lle Ser Arg Thr Pro Glu Val 290 295 300
Thr Cys Val Val Val Asp Val Ser His Glu Asp Pro Glu Val Lys Phe 305 310 315 320
Asn Trp Tyr Val Asp Gly Val Glu Val His Asn Ala Lys Thr Lys Pro 325 330 335
Arg Glu Glu Gln Tyr Asn Ser Thr Tyr Arg Val Val Ser Val Leu Thr 340 345 350
Val Leu His Gln Asp Trp Leu Asn Gly Lys Glu Tyr Lys Cys Lys Val 355 360 365

Ser Asn Lys Ala Leu Pro Ala Pro Ile Glu Lys Thr Ile Ser Lys Ala

380

Lys Gly Gln Pro Arg Glu Pro Gln Val Tyr Thr Leu Pro Pro Ser Arg 385 390 395 400

375

370

Asp Glu Leu Thr Lys Asn Gln Val Ser Leu Thr Cys Leu Val Lys Gly
405 410 415

Phe Tyr Pro Ser Asp IIe Ala Val Glu Trp Glu Ser Asn Gly Gln Pro 420 425 430

Glu Asn Asn Tyr Lys Thr Thr Pro Pro Val Leu Asp Ser Asp Gly Ser 435 440 445

Phe Phe Leu Tyr Ser Lys Leu Thr Val Asp Lys Ser Arg Trp Gln Gln 450 455 460

Gly Asn Val Phe Ser Cys Ser Val Met His Glu Ala Leu His Asn His 465 470 475 480

Tyr Thr Gln Lys Ser Leu Ser Leu Ser Pro Gly Lys 485 490

<210> 19

<211> 1479

<212> ADN

<213> Secuencia artificial

<220>

<223> Proteína de unión específica a CD37

<400> 19

atggaagcac cagegeaget tetetteete etgetaetet ggeteecaga taceaceggt 60
gaaattgtgt tgacacagte teeageeace etgtetttgt eteeaggega aagageeace 120
eteteetgee gaacaagtga aaatgtttae agetaettag eetggtaeca acagaaacet 180
ggeeaggete etaggeteet eatetatttt geaaaaacet tageagaagg aatteeagee 240
aggtteagtg geagtggate egggacagae tteaetetea eeateageag eetagageet 300
gaagattttg eagtttatta etgteaacat eatteegata ateegtggae atteggeeaa 360
gggaceaagg tggaaateaa aggtggeggt ggetegggeg gtagtggate tggaggaggt 420
ggagetageg eggteeaget geageagtet ggacetgagt eggaaaagee tggegettea 480
gtgaagattt eetgeaagge ttetggttae teatteaetg getaeaatat gaaetgggtg 540
aageagaata atggaaagag eettgagtgg attggaaata ttgateetta ttatggtggt 600
actaeetaea aeeggaagtt eaagggeaag geeacattga etgtagaeaa ateeteeage 660

acagectaca tgcageteaa gagtetgaca tetgaggaet etgcagteta ttaetgtgea 720 agateggteg geectatgga etactggggt caaggaacet cagteacegt etectegage 780 gageceaaat ettetgacaa aacteacaca tetecacegt geecageace tgaacteetg 840 ggtggaccgt cagtetteet etteccecca aaacccaagg acacceteat gateteegg 900 accectgagg teacatgegt ggtggtggac gtgagecaeg aagacectga ggteaagtte 960 aactggtacg tggacggcgt ggaggtgcat aatgccaaga caaagccgcg ggaggagcag 1020 tacaacagca cgtaccgtgt ggtcagcgtc ctcaccgtcc tgcaccagga ctggctgaat 1080 ggcaaggagt acaagtgcaa ggtctccaac aaagccctcc cagcccccat cgagaaaacc 1140 atctccaaag ccaaagggca gccccgagaa ccacaggtgt acaccctgcc cccatcccgg 1200 gatgagetga ceaagaacea ggteageetg acetgeetgg teaaaggett etateeaage 1260 gacategeeg tggagtggga gagcaatggg cageeggaga acaactacaa gaccaegeet 1320 cccgtgctgg actccgacgg ctccttcttc ctctacagca agctcaccgt ggacaagagc 1380 aggtggcagc aggggaacgt cttctcatgc tccgtgatgc atgaggctct gcacaaccac 1440 1479 tacacgcaga agagcctctc cctgtctccg ggtaaatga

<210> 20

<211> 492

<212> PRT

<213> Secuencia artificial

<220>

<223> Proteína de unión específica a CD37

<400> 20

Met Glu Ala Pro Ala Gln Leu Leu Phe Leu Leu Leu Leu Trp Leu Pro 1 5 10 15

Asp Thr Thr Gly Glu lle Val Leu Thr Gln Ser Pro Ala Thr Leu Ser 20 25 30

Leu Ser Pro Gly Glu Arg Ala Thr Leu Ser Cys Arg Thr Ser Glu Asn 35 40 45

Val Tyr Ser Tyr Leu Ala Trp Tyr Gln Gln Lys Pro Gly Gln Ala Pro 50 55 60

Arg Leu Leu lie Tyr Phe Ala Lys Thr Leu Ala Glu Gly lie Pro Ala

65	70	75	80		
Arg Phe Sei	Gly Ser Gly S 5 90	-	ır Asp Ph 95	e Thr Leu Th	ar lle Ser
Ser Leu Glu 100	Pro Glu Asp F 105	Phe Ala V	al Tyr Tyr 110	Cys Gln His	His Ser
Asp Asn Pro 115	Trp Thr Phe (120		ly Thr Lys 25	s Val Glu lle	Lys Gly
Gly Gly Gly 130	Ser Gly Gly Se 135	er Gly Se 140		Gly Gly Ala	Ser Ala
Val Gln Leu 145	Gln Gln Ser G 150	ly Pro Gl 155		ı Lys Pro Gly 60	Ala Ser
•	Ser Cys Lys Ala 55 1	a Ser Gly 70	Tyr Ser F 175	'he Thr Gly ⊺	「yr Asn
Met Asn Trp 180	Val Lys Gln A 185	sn Asn G	ly Lys Se 190	r Leu Glu Trp	o lle Gly
Asn Ile Asp 195	Pro Tyr Tyr Gl 200		Thr Tyr A 05	isn Arg Lys F	Phe Lys
Gly Lys Ala 210	Thr Leu Thr Va 215	al Asp Lys 220		Ser Thr Ala	Tyr Met
Gln Leu Lys 225	Ser Leu Thr S 230	Ser Glu A 235		a Val Tyr Tyr 240	Cys Ala
-	Gly Pro Met A 45 2	sp Tyr Tr 50	o Gly Gln 255	Gly Thr Ser	Val Thr
Val Ser Ser 260	Ser Glu Pro L 265	ys Ser Se	er Asp Lys 270	Thr His Thr	Ser Pro
Pro Cys Pro 275	Ala Pro Glu L 280		ily Gly Pr 85	o Ser Val Ph	e Leu Phe
Pro Pro Lys	Pro Lys Asp T	hr Leu M	et lle Ser	Arg Thr Pro	Glu Val

Thr Cys Val Val Val Asp Val Ser His Glu Asp Pro Glu Val Lys Phe Asn Trp Tyr Val Asp Gly Val Glu Val His Asn Ala Lys Thr Lys Pro Arg Glu Glu Gln Tyr Asn Ser Thr Tyr Arg Val Val Ser Val Leu Thr Val Leu His Gln Asp Trp Leu Asn Gly Lys Glu Tyr Lys Cys Lys Val Ser Asn Lys Ala Leu Pro Ala Pro lle Glu Lys Thr lle Ser Lys Ala Lys Gly Gln Pro Arg Glu Pro Gln Val Tyr Thr Leu Pro Pro Ser Arg Asp Glu Leu Thr Lys Asn Gln Val Ser Leu Thr Cys Leu Val Lys Gly Phe Tyr Pro Ser Asp lle Ala Val Glu Trp Glu Ser Asn Gly Gln Pro Glu Asn Asn Tyr Lys Thr Thr Pro Pro Val Leu Asp Ser Asp Gly Ser Phe Phe Leu Tyr Ser Lys Leu Thr Val Asp Lys Ser Arg Trp Gln Gln Gly Asn Val Phe Ser Cys Ser Val Met His Glu Ala Leu His Asn His Tyr Thr Gln Lys Ser Leu Ser Leu Ser Pro Gly Lys <210> <211> 1479 <212> ADN Secuencia artificial <213>

<220>

<400> 21

<223> Proteína de unión específica a CD37

60 atggaageac cagegeaget tetetteete etgetaetet ggeteecaga taccaceggt gaaattgtgt tgacacagtc tccagccacc ctgtctttgt ctccaggcga aagagccacc 120 ctctcctgcc gaacaagtga aaatgtttac agctacttag cctggtacca acagaaacct 180 ggccaggete etaggeteet catetatttt gcaaaaacet tagcagaagg aattecagee 240 aggttcagtg gcagtggatc cgggacagac ttcactctca ccatcagcag cctagagcct 300 gaagattttg cagtttatta ctgtcaacat cattccgata atccgtggac attcggccaa 360 gggaccaagg tggaaatcaa aggtggcggt ggctcgggcg gtggtggatc tggaggaggt 420 ggagctagcc aggtgcagct ggtggagtct ggtggaggcg tggtccagcc tgggaggtcc 480 ctgagactct cctgtgcagc ctctggattc accttcagtg gctacaatat gaactgggtc 540 cgccagatgc ccgggaaagg cctggagtgg atgggcaata ttgatcctta ttatggtggt 600 660 actacctaca accggaagtt caagggccag gtcactatct ccgccgacaa gtccatcagc 720 accgcctacc tgcaatggag cagcctgaag gcctcggaca ccgccatgta ttactgtgca 780 egeteagteg gecetatgga etaetgggge egeggeacee tggteaetgt eteetegage 840 gageceaaat ettetgaeaa aacteacaca tetecacegt geecageace tgaacteetg ggtggaccgt cagtetteet ettecececa aaacecaagg acacecteat gateteeogg acceptagg teacatgegt ggtggtggac gtgagecacg aagaccetga ggteaagtte 960 aactggtacg tggacggcgt ggaggtgcat aatgccaaga caaagccgcg ggaggagcag 1020 tacaacagca cgtaccgtgt ggtcagcgtc ctcaccgtcc tgcaccagga ctggctgaat 1080 ggcaaggagt acaagtgcaa ggtctccaac aaagccctcc cagcccccat cgagaaaacc 1140 atctccaaag ccaaagggca gccccgagaa ccacaggtgt acaccctgcc cccatcccgg 1200 gatgagetga ccaagaacca ggtcageetg acetgeetgg tcaaaggett ctatccaage 1260 gacatcgccg tggagtggga gagcaatggg cagccggaga acaactacaa gaccacgcct 1320 cccgtgctgg actccgacgg ctccttcttc ctctacagca agctcaccgt ggacaagagc 1380 aggtggcagc aggggaacgt cttctcatgc tccgtgatgc atgaggctct gcacaaccac 1440 tacacgcaga agagcetete cetgteteeg ggtaaatga 1479

```
<210> 22
```

<211> 492

<212> PRT

<213> Secuencia artificial

<220>

<223> Proteína de unión específica a CD37

<400> 22

Met Glu Ala Pro Ala Gln Leu Leu Phe Leu Leu Leu Leu Trp Leu Pro 1 5 10 15

Asp Thr Thr Gly Glu lle Val Leu Thr Gln Ser Pro Ala Thr Leu Ser 20 25 30

Leu Ser Pro Gly Glu Arg Ala Thr Leu Ser Cys Arg Thr Ser Glu Asn 35 40 45

Val Tyr Ser Tyr Leu Ala Trp Tyr Gln Gln Lys Pro Gly Gln Ala Pro 50 55 60

Arg Leu Leu lle Tyr Phe Ala Lys Thr Leu Ala Glu Gly lle Pro Ala 65 70 75 80

Arg Phe Ser Gly Ser Gly Ser Gly Thr Asp Phe Thr Leu Thr Ile Ser 85 90 95

Ser Leu Glu Pro Glu Asp Phe Ala Val Tyr Tyr Cys Gln His His Ser 100 105 110

Asp Asn Pro Trp Thr Phe Gly Gln Gly Thr Lys Val Glu lle Lys Gly 115 120 125

Gly Gly Gly Ser Gly Gly Gly Ser Gly Gly Gly Gly Ala Ser Gln 130 135 140

Val Gln Leu Val Glu Ser Gly Gly Gly Val Val Gln Pro Gly Arg Ser 145 150 155 160

Leu Arg Leu Ser Cys Ala Ala Ser Gly Phe Thr Phe Ser Gly Tyr Asn 165 170 175

Met Asn Trp Val Arg Gln Met Pro Gly Lys Gly Leu Glu Trp Met Gly 180 185 190

Asn Ile Asp Pro Tyr Tyr Gly Gly Thr Thr Tyr Asn Arg Lys Phe Lys 195 200 205
Gly Gln Val Thr Ile Ser Ala Asp Lys Ser Ile Ser Thr Ala Tyr Leu 210 215 220
Gln Trp Ser Ser Leu Lys Ala Ser Asp Thr Ala Met Tyr Tyr Cys Ala 225 230 235 240
Arg Ser Val Gly Pro Met Asp Tyr Trp Gly Arg Gly Thr Leu Val Thr 245 250 255
Val Ser Ser Ser Glu Pro Lys Ser Ser Asp Lys Thr His Thr Ser Pro 260 265 270
Pro Cys Pro Ala Pro Glu Leu Leu Gly Gly Pro Ser Val Phe Leu Phe 275 280 285
Pro Pro Lys Pro Lys Asp Thr Leu Met Ile Ser Arg Thr Pro Glu Val 290 295 300
Thr Cys Val Val Val Asp Val Ser His Glu Asp Pro Glu Val Lys Phe 305 310 315 320
Asn Trp Tyr Val Asp Gly Val Glu Val His Asn Ala Lys Thr Lys Pro 325 330 335
Arg Glu Glu Gln Tyr Asn Ser Thr Tyr Arg Val Val Ser Val Leu Thr 340 345 350
Val Leu His Gln Asp Trp Leu Asn Gly Lys Glu Tyr Lys Cys Lys Val 355 360 365
Ser Asn Lys Ala Leu Pro Ala Pro Ile Glu Lys Thr Ile Ser Lys Ala 370 375 380
Lys Gly Gln Pro Arg Glu Pro Gln Val Tyr Thr Leu Pro Pro Ser Arg 385 390 395 400
Asp Glu Leu Thr Lys Asn Gln Val Ser Leu Thr Cys Leu Val Lys Gly 405 410 415

Phe Tyr Pro Ser Asp lle Ala Val Glu Trp Glu Ser Asn Gly Gln Pro 420 425 430

Glu Asn Asn Tyr Lys Thr Thr Pro Pro Val Leu Asp Ser Asp Gly Ser 435 440 445

Phe Phe Leu Tyr Ser Lys Leu Thr Val Asp Lys Ser Arg Trp Gln Gln 450 455 460

Gly Asn Val Phe Ser Cys Ser Val Met His Glu Ala Leu His Asn His 465 470 475 480

Tyr Thr Gln Lys Ser Leu Ser Leu Ser Pro Gly Lys 485 490

<210> 23

<211> 1503

<212> ADN

<213> Secuencia artificial

<220>

<223> Proteína de unión específica a CD37

<400> 23

atggaagcac cagcgcagct tetettecte etgetactet ggeteccaga taccaceggt 60
geggtecage tgeagcagte tggacetgag teggaaaage etggegette agtgaagatt 120
teetgeaagg ettetggtta eteatteaet ggetacaata tgaactgggt gaagcagaat 180
aatggaaaga geettgagtg gattggaaat attgateett attatggtgg tactacetae 240
aaceggaagt teaagggeaa ggeeacattg aetgtagaca aateeteeag eacageetae 300
atgeagetea agagtetgae atetgaggae tetgeagtet attactgtge aagateggte 360
ggeeetatgg aetactgggg teaaggaace teagteaeeg tetettetgg tggeggtgge 420
tegggeggtg gtgggteggg tggeggegga teaggaggag gegggaagtge tagegaaatt 480
gtgttgacae agteteeage eaceetgtet ttgteteeag gegaaagage eaceetetee 540
tgeegaacaa gtgaaaatgt ttacagetae ttageetggt accaacagaa acetggeeag 600
geteetagge teeteateta ttttgeaaaa acettageag aaggaattee ageeaggtte 660
agtggeagtg gateegggae agaetteeet eteaceatea geageetaga geetgaagat 720
tttgeagttt attactgtea acateattee gataateegt ggacattegg ceaagggace 780

aaggtggaaa tcaaaggctc gagcgagccc aaatcttctg acaaaactca cacatctcca 840
ccgtgcccag cacctgaact cctgggtgga ccgtcagtct tcctcttccc cccaaaaccc 900
aaggacaccc tcatgatctc ccggacccct gaggtcacat gcgtggtggt ggacgtgagc 960
cacgaagacc ctgaggtcaa gttcaactgg tacgtggacg gcgtggaggt gcataatgcc 1020
aagacaaagc cgcgggagga gcagtacaac agcacgtacc gtgtggtcag cgtcctcacc 1080
gtcctgcacc aggactggct gaatggcaag gagtacaagt gcaaggtctc caacaaagcc 1140
ctcccagccc ccatcgagaa aaccatctcc aaagccaaag ggcagccccg agaaccacag 1200
gtgtacaccc tgcccccatc ccgggatgag ctgaccaaga accaggtcag cctgacctgc 1260
ctggtcaaag gcttctatcc aagcgacatc gccgtggagt gggagagcaa tgggcagccg 1320
gagaacaact acaagaccac gcctcccgtg ctggactccg acggctcctt cttcctctac 1380
agcaagctca ccgtggacaa gagcaggtgg cagcagggga acgtcttctc atgctccgtg 1440
atgcatgagg ctctgcacaa ccactacacg cagaagagcc tctccctgtc tccgggtaaa 1500
tga 1503

<210> 24
<211> 500
<212> PRT
<213> Secuencia artificial
<220>
<223> Proteína de unión específica a CD37

<400> 24

Met Glu Ala Pro Ala Gln Leu Leu Phe Leu Leu Leu Leu Trp Leu Pro 1 5 10 15

Asp Thr Thr Gly Ala Val Gln Leu Gln Gln Ser Gly Pro Glu Ser Glu 20 25 30

Lys Pro Gly Ala Ser Val Lys lle Ser Cys Lys Ala Ser Gly Tyr Ser 35 40 45

Phe Thr Gly Tyr Asn Met Asn Trp Val Lys Gln Asn Asn Gly Lys Ser 50 55 60

Leu Glu Trp IIe Gly Asn IIe Asp Pro Tyr Tyr Gly Gly Thr Thr Tyr 65 70 75 80

Asn Arg Lys Phe Lys Gly Lys Ala Thr Leu Thr Val Asp Lys Ser Ser 85 90 95
Ser Thr Ala Tyr Met Gln Leu Lys Ser Leu Thr Ser Glu Asp Ser Ala 100 105 110
Val Tyr Tyr Cys Ala Arg Ser Val Gly Pro Met Asp Tyr Trp Gly Gln 115 120 125
Gly Thr Ser Val Thr Val Ser Ser Gly Gly Gly Gly Ser Gly Gly Gly 130 135 140
Gly Ser Gly Gly Gly Ser Gly Gly Gly Ser Ala Ser Glu lle 145 150 155 160
Val Leu Thr Gln Ser Pro Ala Thr Leu Ser Leu Ser Pro Gly Glu Arg 165 170 175
Ala Thr Leu Ser Cys Arg Thr Ser Glu Asn Val Tyr Ser Tyr Leu Ala 180 185 190
Trp Tyr Gln Gln Lys Pro Gly Gln Ala Pro Arg Leu Leu lle Tyr Phe 195 200 205
Ala Lys Thr Leu Ala Glu Gly lle Pro Ala Arg Phe Ser Gly Ser Gly 210 215 220
Ser Gly Thr Asp Phe Thr Leu Thr Ile Ser Ser Leu Glu Pro Glu Asp 225 230 235 240
Phe Ala Val Tyr Tyr Cys Gln His His Ser Asp Asn Pro Trp Thr Phe 245 250 255
Gly Gln Gly Thr Lys Val Glu lle Lys Gly Ser Ser Glu Pro Lys Ser

Ser Asp Lys Thr His Thr Ser Pro Pro Cys Pro Ala Pro Glu Leu Leu

Gly Gly Pro Ser Val Phe Leu Phe Pro Pro Lys Pro Lys Asp Thr Leu

Met lie Ser Arg Thr Pro Glu Val Thr Cys Val Val Val Asp Val Ser 310 315 305 His Glu Asp Pro Glu Val Lys Phe Asn Trp Tyr Val Asp Gly Val Glu 330 325 335 Val His Asn Ala Lys Thr Lys Pro Arg Glu Glu Gln Tyr Asn Ser Thr 345 350 340 Tyr Arq Val Val Ser Val Leu Thr Val Leu His Gln Asp Trp Leu Asn 360 365 355 Gly Lys Glu Tyr Lys Cys Lys Val Ser Asn Lys Ala Leu Pro Ala Pro 375 370 lle Glu Lys Thr lle Ser Lys Ala Lys Gly Gln Pro Arg Glu Pro Gln Val Tyr Thr Leu Pro Pro Ser Arg Asp Glu Leu Thr Lys Asn Gln Val 405 410 415 Ser Leu Thr Cys Leu Val Lys Gly Phe Tyr Pro Ser Asp lle Ala Val 420 425 430 Glu Trp Glu Ser Asn Gly Gln Pro Glu Asn Asn Tyr Lys Thr Thr Pro 440 435 445 Pro Val Leu Asp Ser Asp Gly Ser Phe Phe Leu Tyr Ser Lys Leu Thr 450

Val Asp Lys Ser Arg Trp Gln Gln Gly Asn Val Phe Ser Cys Ser Val 465 470 475 480

Met His Glu Ala Leu His Asn His Tyr Thr Gln Lys Ser Leu Ser Leu 485 490 495

Ser Pro Gly Lys 500

<210> 25 <211> 1488

<212> ADN

<213> Secuencia artificial

<220>

<223> Proteína de unión específica a CD37

<400> 25

atggattttc aagtgcagat tttcagcttc ctgctaatca gtgcttcagt cataattgcc agaggagteg aaattgtgtt gacacagtet ecagecaece tgtetttgte tecaggegaa 120 180 agagccaccc tctcctgccg aacaagtgaa aatgtttaca gctacttagc ctggtaccaa cagaaacctg gccaggctcc taggctcctc atctattttg caaaaacctt agcagaagga attecageca ggttcagtgg cagtggatec gggacagact teacteteae cateageage 300 ctagagcctg aagattttgc agtttattac tgtcaacatc attccgataa tccgtggaca 360 ttcggccaag ggaccaaggt ggaaatcaaa ggtggcggtg gctcgggcgg tggtggatct 420 ggaggaggtg gagctagcgc ggtccagctg cagcagtctg gacctgagtc ggaaaagcct 480 ggcgcttcag tgaagatttc ctgcaaggct tctggttact cattcactgg ctacaatatg 540 aactgggtga agcagaataa tggaaagagc cttgagtgga ttggaaatat tgatccttat 600 tatggtggta ctacctacaa ccggaagttc aagggcaagg ccacattgac tgtagacaaa tectecagea cageetacat geageteaag agtetgaeat etgaggaete tgeagtetat 720 tactgtgcaa gatcggtcgg ccctatggac tactggggtc aaggaacctc agtcaccgtc tectegageg ageceaaate ttetgacaaa acteacacat etecacegtg eecageacet 840 gaactcctgg gtggaccgtc agtcttcctc ttccccccaa aacccaagga caccctcatg 900 960 atctcccgga cccctgaggt cacatgcgtg gtggtggacg tgagccacga agaccctgag gtcaagttca actggtacgt ggacggcgtg gaggtgcata atgccaagac aaagccgcgg 1020 gaggagcagt acaacagcac gtaccgtgtg gtcagcgtcc tcaccgtcct gcaccaggac 1080 tggctgaatg gcaaggagta caagtgcaag gtctccaaca aagccctccc agcccccatc 1140 gagaaaacca totocaaagc caaagggcag cocogagaac cacaggtgta caccotgccc 1200 ccatcccggg atgagetgac caagaaccag gtcagcctga cctgcctggt caaaggcttc 1260 tatccaagcg acatcgccgt ggagtgggag agcaatgggc agccggagaa caactacaag 1320 accacgoote cogtgetgga eteogacgge teettettee tetacageaa geteaccgtg 1380 gacaagagca ggtggcagca ggggaacgtc ttctcatgct ccgtgatgca tgaggctctg 1440 1488 cacaaccact acacgcagaa gagcctctcc ctgtctccgg gtaaatga

<210> 26

<211> 495

<212> PRT <213> Secuencia artificial <223> Proteína de unión específica a CD37 <400> 26 Met Asp Phe Gln Val Gln lle Phe Ser Phe Leu Leu lle Ser Ala Ser Val Ile Ile Ala Arg Gly Val Glu Ile Val Leu Thr Gln Ser Pro Ala Thr Leu Ser Leu Ser Pro Gly Glu Arg Ala Thr Leu Ser Cys Arg Thr Ser Glu Asn Val Tyr Ser Tyr Leu Ala Trp Tyr Gln Gln Lys Pro Gly Gin Ala Pro Arg Leu Leu lle Tyr Phe Ala Lys Thr Leu Ala Glu Gly lle Pro Ala Arg Phe Ser Gly Ser Gly Ser Gly Thr Asp Phe Thr Leu Thr IIe Ser Ser Leu Glu Pro Glu Asp Phe Ala Val Tyr Tyr Cys Gln His His Ser Asp Asn Pro Trp Thr Phe Gly Gln Gly Thr Lys Val Glu Ala Ser Ala Val Gln Leu Gln Gln Ser Gly Pro Glu Ser Glu Lys Pro Gly Ala Ser Val Lys Ile Ser Cys Lys Ala Ser Gly Tyr Ser Phe Thr Gly Tyr Asn Met Asn Trp Val Lys Gln Asn Asn Gly Lys Ser Leu Glu

180	185	190	
Trp IIe Gly As	n lle Asp Pro 1	Tyr Tyr Gly Gly	y Thr Thr Tyr Asn Arg
195	200	205	
Lys Phe Lys (Gly Lys Ala Thi	r Leu Thr Val i	Asp Lys Ser Ser Ser Thr
210	215	220	
Ala Tyr Met G	Sin Leu Lys Se	r Leu Thr Ser	Glu Asp Ser Ala Val Tyr
225	230	235	240
Tyr Cys Ala A 245			Tyr Trp Gly Gln Gly Thr 55
Ser Val Thr V	al Ser Ser Ser	Glu Pro Lys \$	Ser Ser Asp Lys Thr His
260	265	270	
Thr Ser Pro F	Pro Cys Pro Ala	a Pro Glu Leu	Leu Gly Gly Pro Ser Val
275	280	285	
Phe Leu Phe	Pro Pro Lys P	ro Lys Asp Th	nr Leu Met lle Ser Arg Thr
290	295	300	
Pro Glu Val T	hr Cys Val Val	Val Asp Val S	Ser His Glu Asp Pro Glu
305	310	315	320
	Asn Trp Tyr Val 5 330		Glu Val His Asn Ala Lys 35
Thr Lys Pro A	Arg Glu Glu Glr	n Tyr Asn Ser	Thr Tyr Arg Val Val Ser
340	345	350	
Val Leu Thr V	/al Leu His GIn	Asp Trp Leu	Asn Gly Lys Glu Tyr Lys
355	360	365	
Cys Lys Val S	Ser Asn Lys Ala	a Leu Pro Ala	Pro lle Glu Lys Thr lle
370	375	380	
Ser Lys Ala L	ys Gly Gln Pro	Arg Glu Pro	Gln Val Tyr Thr Leu Pro
385	390	395	400

Pro Ser Arg Asp Glu Leu Thr Lys Asn Gln Val Ser Leu Thr Cys Leu

410 415 405

Val Lys Gly Phe Tyr Pro Ser Asp lle Ala Val Glu Trp Glu Ser Asn 420 425 430

Gly Gln Pro Glu Asn Asn Tyr Lys Thr Thr Pro Pro Val Leu Asp Ser 440 445 435

Asp Gly Ser Phe Phe Leu Tyr Ser Lys Leu Thr Val Asp Lys Ser Arg 450 455

Trp Gln Gln Gly Asn Val Phe Ser Cys Ser Val Met His Glu Ala Leu 470 475

His Asn His Tyr Thr Gln Lys Ser Leu Ser Leu Ser Pro Gly Lys 490 495

<210> 27

1503

<211> <212> ADN

<213> Secuencia artificial

<223> Proteína de unión específica a CD37

<400> 27

atggaagcac cagegeaget tetetteete etgetaetet ggeteecaga taccaceggt geggteeage tgeageagte tggacetgag teggaaaage etggegette agtgaagatt 120 tcctgcaagg cttctggtta ctcattcact ggctacaata tgaactgggt gaagcagaat 180 aatggaaaga geettgagtg gattggaaat attgateett attatggtgg taetaeetae 240 aaccggaagt tcaagggcaa ggccacattg actgtagaca aatcctccag cacagcctac 300 atgcagctca agagtctgac atctgaggac tctgcagtct attactgtgc aagatcggtc 360 ggccctatgg actactgggg tcaaggaacc tcagtcaccg tctcttctgg tggcggtggc 420 tcgggcggtg gtgggtcggg tggcggcgga tcaggaggag gcgggagtgc tagcgaaatt 480 gtgttgacac agtetecage caccetgtet ttgtetecag gegaaagage caccetetee 540 tgccgaacaa gtgaaaatgt ttacagctac ttagcctggt accaacagaa acctggccag 600 getectagge teeteateta tittgeaaaa aeettageag aaggaattee ageeaggite 660 agtggcagtg gatccgggac agacttcact ctcaccatca gcagcctaga gcctgaagat 720

aaggtggaaa tcaaaggctc gagcgagccc aaatcttctg acaaaactca cacatgccca 840
ccgtgcccag cacctgaact cctgggtgga ccgtcagtct tcctcttccc cccaaaaccc 900
aaggacaccc tcatgatctc ccggacccct gaggtcacat gcgtggtggt ggacgtgagc 960
cacgaagacc ctgaggtcaa gttcaactgg tacgtggacg gcgtggaggt gcataatgcc 1020
aagacaaagc cgcgggagga gcagtacaac agcacgtacc gtgtggtcag cgtcctcacc 1080
gtcctgcacc aggactggct gaatggcaag gagtacaagt gcaaggtctc caacaaagcc 1140
ctcccagccc ccatcgagaa aaccatctcc aaagccaaag ggcagcccg agaaccacag 1200
gtgtacaccc tgcccccatc ccgggatgag ctgaccaaga accaggtcag cctgacctgc 1260
ctggtcaaag gcttctatcc aagcgacatc gccgtggagt gggagagcaa tgggcagccg 1320
gagaacaact acaagaccac gcctcccgtg ctggactccg acggctcctt cttcctctac 1380
agcaagctca ccgtggacaa gagcaggtgg cagcagggga acgtcttctc atgctccgtg 1440
atgcatgagg ctctgcacaa ccactacacg cagaagagcc tctccctgtc tccgggtaaa 1500
tga 1503

iga 1505

<210> 28

<211> 500

<212> PRT

<213> Secuencia artificial

<220>

<223> Proteína de unión específica a CD37

<400> 28

Met Glu Ala Pro Ala Gln Leu Leu Phe Leu Leu Leu Leu Trp Leu Pro 1 5 10 15

Asp Thr Thr Gly Ala Val Gln Leu Gln Gln Ser Gly Pro Glu Ser Glu 20 25 30

Lys Pro Gly Ala Ser Val Lys IIe Ser Cys Lys Ala Ser Gly Tyr Ser 35 40 45

Phe Thr Gly Tyr Asn Met Asn Trp Val Lys Gln Asn Asn Gly Lys Ser 50 55 60

Leu Glu Trp lle Gly Asn lle Asp Pro Tyr Tyr Gly Gly Thr Thr Tyr

65	70		75	8	30	
Asn Arç	g Lys Phe 85	Lys Gly Ly 90	ys Ala Th	r Leu 1 95	Γhr Val Asp	Lys Ser Ser
Ser Th	r Ala Tyr N 100	Met Gln Le 105	u Lys Se	r Leu T 110	hr Ser Glu	Asp Ser Ala
Val Tyr 11		Ala Arg Ser 120		Pro Me 25	et Asp Tyr T	rp Gly Gln
Gly Thi 130	r Ser Val ⁻	Γhr Val Ser 135	Ser Gly 140	Gly Gl	y Gly Ser C	Gly Gly
Gly Se 145		Gly Gly Se 50	r Gly Gly 155	Gly G	ly Ser Ala S 160	Ser Glu lle
Val Leu	a Thr Gln 165	Ser Pro Ala 17		u Ser L 175		Gly Glu Arg
Ala Thi	r Leu Ser 180	Cys Arg Ti 185	nr Ser Gl	u Asn \ 190	√al Tyr Ser	Tyr Leu Ala
	Gln Gln 95	Lys Pro Gl 200		Pro Ai 05	rg Leu Leu	lle Tyr Phe
Ala Lys 210	Thr Leu	Ala Glu Gl 215	y lle Pro 220	Ala Arg	Phe Ser G	Bly Ser Gly
Ser Gly 225		Phe Thr L	eu Thr Ile 235	e Ser S	er Leu Glu 240	Pro Glu Asp
Phe Ala	a Val Tyr 245	Tyr Cys Gl 25		Ser As 255	•	Trp Thr Phe
Gly Glı	n Gly Thr 260	Lys Val Gli 265	u lle Lys	Gly Se 270	r Ser Glu P	ro Lys Ser
	p Lys Thr 75	His Thr Cy 280	•	o Cys 85	Pro Ala Pro	Glu Leu Leu
Gly Gly	y Pro Ser	Val Phe Le	eu Phe P	ro Pro	Lys Pro Lys	s Asp Thr Leu

290 295 300

Met lle Ser Arg Thr Pro Glu Val Thr Cys Val Val Val Asp Val Ser 305 310 315 320

His Glu Asp Pro Glu Val Lys Phe Asn Trp Tyr Val Asp Gly Val Glu 325 330 335

Val His Asn Ala Lys Thr Lys Pro Arg Glu Glu Gln Tyr Asn Ser Thr 340 345 350

Tyr Arg Val Val Ser Val Leu Thr Val Leu His Gln Asp Trp Leu Asn 355 360 365

Gly Lys Glu Tyr Lys Cys Lys Val Ser Asn Lys Ala Leu Pro Ala Pro 370 375 380

lle Glu Lys Thr lle Ser Lys Ala Lys Gly Gln Pro Arg Glu Pro Gln 385 390 395 400

Val Tyr Thr Leu Pro Pro Ser Arg Asp Glu Leu Thr Lys Asn Gln Val 405 410 415

Ser Leu Thr Cys Leu Val Lys Gly Phe Tyr Pro Ser Asp lle Ala Val 420 425 430

Glu Trp Glu Ser Asn Gly Gln Pro Glu Asn Asn Tyr Lys Thr Thr Pro 435 440 445

Pro Val Leu Asp Ser Asp Gly Ser Phe Phe Leu Tyr Ser Lys Leu Thr 450 455 460

Val Asp Lys Ser Arg Trp Gln Gln Gly Asn Val Phe Ser Cys Ser Val 465 470 475 480

Met His Glu Ala Leu His Asn His Tyr Thr Gln Lys Ser Leu Ser Leu 485 490 495

Ser Pro Gly Lys 500

<210> 29 <211> 1479

<212> ADN

<213> Secuencia artificial

<220>

<223> Proteína de unión específica a CD37

<400> 29

60 atggaageac cagegeaget tetetteete etgetaetet ggeteecaga taccaceggt gaaattgtgt tgacacagtc tccagccacc ctgtctttgt ctccaggcga aagagccacc 120 ctctcctgcc gaacaagtga aaatgtttac agctacttag cctggtacca acagaaacct 180 ggccaggctc ctaggctcct catctatttt gcaaaaacct tagcagaagg aattccagcc aggttcagtg gcagtggatc cgggacagac ttcactctca ccatcagcag cctagagcct 300 gaagattttg cagtttatta ctgtcaacat cattccgata atccgtggac attcggccaa 360 gggaccaagg tggaaatcaa aggtggcggt ggctcgggcg gtggtggatc tggaggaggt 420 ggagctagcg cggtccagct gcagcagtct ggacctgagt cggaaaagcc tggcgcttca 480 gtgaagattt cctgcaaggc ttctggttac tcattcactg gctacaatat gaactgggtg 540 aagcagaata atggaaagag ccttgagtgg attggaaata ttgatcctta ttatggtggt 600 actacctaca accggaagtt caagggcaag gccacattga ctgtagacaa atcctccagc 660 acagcetaca tgeageteaa gagtetgaea tetgaggaet etgeagteta ttaetgtgea 720 agatoggtog gecetatgga etactggggt caaggaacet cagtcacegt etectogage 840 gageceaaat ettetgacaa aacteacaca tetecacegt geecageace tgaacteetg ggtggaccgt cagtetteet etteeceeca aaacccaagg acacceteat gateteecgg accectgagg teacatgegt ggtggtggae gtgageeaeg aagaeeetga ggteaagtte 960 aactggtacg tggacggcgt ggaggtgcat aatgccaaga caaagccgcg ggaggagcag 1020 tacaacagca cgtaccgtgt ggtcagcgtc ctcaccgtcc tgcaccagga ctggctgaat 1080 ggcaaggagt acaagtgcaa ggtctccaac aaagccctcc cagcccccat cgagaaaacc 1140 atctccaaag ccaaagggca gccccgagaa ccacaggtgt acaccctgcc cccatcccgg 1200 gatgagctga ccaagaacca ggtcagcctg acctgcctgg tcaaaggctt ctatccaagc 1260 gacatcgccg tggagtggga gagcaatggg cagccggaga acaactacaa gaccacgcct 1320 cccgtgctgg actccgacgg ctccttcttc ctctacagca agctcaccgt ggacaagagc 1380 aggtggcagc aggggaacgt cttctcatgc tccgtgatgc atgaggctct gcacaaccac 1440 1479 tacacgcaga agageetete eetgteteeg ggtaaatga

<210> <211> <212> <213>	30 492 PRT Secuencia artificial
<220> <223>	Proteína de unión específica a CD37
<400>	30
Met 1	Glu Ala Pro Ala Gln Leu Leu Phe Leu Leu Leu Leu Trp Leu Pro 5 10 15
Asp	Thr Thr Gly Glu lle Val Leu Thr Gln Ser Pro Ala Thr Leu Ser 20 25 30
Leu	Ser Pro Gly Glu Arg Ala Thr Leu Ser Cys Arg Thr Ser Glu Asn 35 40 45
Val ⁻ 50	Tyr Ser Tyr Leu Ala Trp Tyr Gln Gln Lys Pro Gly Gln Ala Pro 55 60
Arg 65	Leu Leu IIe Tyr Phe Ala Lys Thr Leu Ala Glu Gly IIe Pro Ala 70 75 80
Arg	Phe Ser Gly Ser Gly Thr Asp Phe Thr Leu Thr Ile Ser 85 90 95
Ser	Leu Glu Pro Glu Asp Phe Ala Val Tyr Tyr Cys Gln His His Ser 100 105 110
Asp	Asn Pro Trp Thr Phe Gly Gln Gly Thr Lys Val Glu lle Lys Gly 115 120 125
-	Gly Gly Ser Gly Gly Gly Gly Gly Gly Ala Ser Ala 30 135 140
Val (145	Gin Leu Gin Gin Ser Giy Pro Giu Ser Giu Lys Pro Giy Ala Ser 150 155 160
Val	Lys lle Ser Cys Lys Ala Ser Gly Tyr Ser Phe Thr Gly Tyr Asn 165 170 175

Met Asn Trp	Val Lys Gln Asn Asn	Gly Lys Ser Leu	Glu T	rp lle	Gly
180	185	190			

- Asn lle Asp Pro Tyr Tyr Gly Gly Thr Thr Tyr Asn Arg Lys Phe Lys 195 200 205
- Gly Lys Ala Thr Leu Thr Val Asp Lys Ser Ser Ser Thr Ala Tyr Met 210 215 220
- Gin Leu Lys Ser Leu Thr Ser Glu Asp Ser Ala Val Tyr Tyr Cys Ala 225 230 235 240
- Arg Ser Val Gly Pro Met Asp Tyr Trp Gly Gln Gly Thr Ser Val Thr 245 250 255
- Val Ser Ser Ser Glu Pro Lys Ser Ser Asp Lys Thr His Thr Ser Pro 260 265 270
- Pro Cys Pro Ala Pro Glu Leu Leu Gly Gly Pro Ser Val Phe Leu Phe 275 280 285
- Pro Pro Lys Pro Lys Asp Thr Leu Met Ile Ser Arg Thr Pro Glu Val 290 295 300
- Thr Cys Val Val Val Asp Val Ser His Glu Asp Pro Glu Val Lys Phe 305 310 315 320
- Asn Trp Tyr Val Asp Gly Val Glu Val His Asn Ala Lys Thr Lys Pro 325 330 335
- Arg Glu Glu Gin Tyr Asn Ser Thr Tyr Arg Val Val Ser Val Leu Thr 340 345 350
- Val Leu His Gln Asp Trp Leu Asn Gly Lys Glu Tyr Lys Cys Lys Val 355 360 365
- Ser Asn Lys Ala Leu Pro Ala Pro IIe Glu Lys Thr IIe Ser Lys Ala 370 375 380
- Lys Gly Gln Pro Arg Glu Pro Gln Val Tyr Thr Leu Pro Pro Ser Arg 385 390 395 400

Asp Glu Leu Thr Lys Asn Gln Val Ser Leu Thr Cys Leu Val Lys Gly 405 410 415

Phe Tyr Pro Ser Asp lle Ala Val Glu Trp Glu Ser Asn Gly Gln Pro 420 425 430

Glu Asn Asn Tyr Lys Thr Thr Pro Pro Val Leu Asp Ser Asp Gly Ser 435 440 445

Phe Phe Leu Tyr Ser Lys Leu Thr Val Asp Lys Ser Arg Trp Gln Gln 450 455 460

Gly Asn Val Phe Ser Cys Ser Val Met His Glu Ala Leu His Asn His 465 470 475 480

Tyr Thr Gln Lys Ser Leu Ser Leu Ser Pro Gly Lys 485 490

<210> 31

<211> 1479

<212> ADN

<213> Secuencia artificial

<220>

<223> Proteína de unión específica a CD37

<400> 31

atggaageac cagegeaget tetetteete etgetaetet ggeteecaga taceaceggt 60
gaaattgtgt tgacacagte teeageeace etgtetttgt eteeaggega aagageeace 120
eteteetgee gaacaagtga aaatgtttae agetaettag eetggtaeca acagaaacet 180
ggeeaggete etaggeteet eatetatttt geaaaaacet tageagaagg aatteeagee 240
aggtteagtg geagtggate egggacagae tteaetetea eeateageag eetagageet 300
gaagattttg eagtttatta etgteaacat eatteegata ateegtggae atteggeeaa 360
gggaceaagg tggaaateaa aggtggeggt ggetegggeg gtggtggate tggaggaggt 420
ggagetageg eggteeaget geageagtet ggacetgagt eggaaaagee tggegettea 480
gtgaagattt eetgeaagge ttetggttae teatteaetg getaeaatat gaaetgggtg 540
aageagaata atggaaagag eettgagtgg attggaaata ttgateetta ttatggtgt 600
actaeetaea aeeggaagtt eaagggeaag geeacattga etgtagaeaa ateeteeage 660

acagcetaca tgcageteaa gagtetgaca tetgaggact etgcagteta ttaetgtgca 720

agateggteg geeetatgga etaetggggt caaggaacet cagteacegt eteetegage 780

gageeeaaat ettetgacaa aacteacaca tgeeeacegt geeeageace tgaacteetg 840

ggtggacegt cagtetteet etteeeeaa aaaceeaagg acaceeteat gateteeegg 900

acceetgagg teacatgegt ggtggtggac gtgageeacg aagaceetga ggteaagtte 960

aactggtacg tggacggegt ggaggtgeat aatgeeaaga caaageegg ggaggageag 1020

tacaacagea egtacegtgt ggteagegte eteacegtee tgeaceagga etggetgaat 1080

ggeaaggagt acaagtgeaa ggteteeaae aaageeetee eageeeeaat egagaaaace 1140

ateteeaaag ecaaagggea geeeeggagaa ecacaggtgt acaceetgee eecateeegg 1200

gatgagetga ecaaagagea ggteageetg acetgeetgg teaaaggett etateeaage 1260

gacategeeg tggagtggga gageaatggg eageeggaga acaactacaa gaceaegeet 1320

ceegtgetgg acteegaegg eteettette etetacagea ageteaeegt ggacaagage 1380

aggtggeage aggggaaegt etteteatge teegtgatge atgaggetet geacaaceae 1440

tacacgcaga agaggeaetete eetgteteeg ggtaaatga 1479

```
<210> 32
```

<220>

<400> 32

Met Glu Ala Pro Ala Gln Leu Leu Phe Leu Leu Leu Leu Trp Leu Pro 1 5 10 15

Asp Thr Thr Gly Glu lle Val Leu Thr Gln Ser Pro Ala Thr Leu Ser 20 25 30

Leu Ser Pro Gly Glu Arg Ala Thr Leu Ser Cys Arg Thr Ser Glu Asn 35 40 45

Val Tyr Ser Tyr Leu Ala Trp Tyr Gln Gln Lys Pro Gly Gln Ala Pro 50 55 60

Arg Leu Leu Ile Tyr Phe Ala Lys Thr Leu Ala Glu Gly Ile Pro Ala

<211> 492

<212> PRT

<213> Secuencia artificial

<223> Proteína de unión específica a CD37

65	70	l	75		80	
Arg Phe	Ser Gly 85	Ser Gly 9		Thr Asp 95	Phe Thr Leu 1	hr lle Ser
	Glu Pro 00	Glu Asp 105		Val Tyr 110	Tyr Cys Gln H	is His Ser
Asp Asn 115		Thr Phe 120	Gly GIn	Gly Thr 125	Lys Val Glu IIe	e Lys Gly
Gly Gly (Gly Ser	Gly Gly G 135	Gly Gly S 14		Gly Gly Gly Ala	Ser Ala
Val Gln I 145		GIn Ser (50	Gly Pro (155	Glu Ser	Glu Lys Pro G 160	ly Ala Ser
Val Lys I	le Ser (165	-	a Ser G 70	y Tyr S 17	er Phe Thr Gly 75	Tyr Asn
	Trp Val 80	Lys Gln A		Gly Lys 190	Ser Leu Glu T	rp lle Gly
Asn Ile A		Tyr Tyr G 200	ly Gly TI	nr Thr T 205	yr Asn Arg Lys	Phe Lys
Gly Lys / 210	Ala Thr	Leu Thr V 215	/al Asp L 22		Ser Ser Thr Ala	a Tyr Met
Gln Leu 225	-	Leu Thr	Ser Glu 235	Asp Se	r Ala Val Tyr Ty 240	r Cys Ala
Arg Ser	Val Gly 245		Asp Tyr ⁻ 250		GIn Gly Thr Se 55	er Val Thr
	Ser Ser 260	Glu Pro L 265	•	Ser Asp 270	Lys Thr His Th	nr Cys Pro
Pro Cys 275		Pro Glu l 280	Leu Leu	Gly Gly 285	Pro Ser Val P	he Leu Phe
Pro Pro	Lve Pro	ilve Aen	Thrlow	Met IIe	Ser Am Thr Pr	n Glu Val

Thr 305	•	sp Val Ser H 315	is Glu Asp Pro 320	Glu Val Lys Phe
Asn	Trp Tyr Val Asp (325	Gly Val Glu V 330	al His Asn Ala 335	Lys Thr Lys Pro
Arg	Glu Glu Gln Tyr 340	Asn Ser Thr ⁻ 345	Fyr Arg Val Val 350	Ser Val Leu Thr
Val		Trp Leu Asn 60	Gly Lys Glu Ty 365	r Lys Cys Lys Val
	Asn Lys Ala Leu 370 375			lle Ser Lys Ala
Lys 385	,	Glu Pro Gln \ 395	/al Tyr Thr Leo 400	ı Pro Pro Ser Arg
Asp	Glu Leu Thr Lys 405	Asn Gln Val 410	Ser Leu Thr C 415	ys Leu Val Lys Gly
Phe	e Tyr Pro Ser Asp 420	lle Ala Val G 425	lu Trp Glu Ser 430	Asn Gly Gln Pro
Glu		Thr Thr Pro 40	Pro Val Leu As 445	sp Ser Asp Gly Ser
	e Phe Leu Tyr Se 150 455			Ser Arg Trp Gln Gln
Gly 465		Cys Ser Val 475	Met His Glu A 480	la Leu His Asn His
Tyr	Thr Gln Lys Ser 485	Leu Ser Leu 490	Ser Pro Gly L	ys
<211> <212>	33 1479 ADN Secuencia artificia	I		
<220> <223>	Proteína de unión	específica a C	D37	
<400>	33			

atggaageae cagegeaget tetetteete etgetaetet ggeteecaga taecaeeggt 60 gaaattgtgt tgacacagtc tccagccacc ctgtctttgt ctccaggcga aagagccacc 120 ctctcctgcc gaacaagtga aaatgtttac agctacttag cctggtacca acagaaacct 180 ggccaggetc ctaggeteet catetatttt gcaaaaacet tagcagaagg aattecagee aggitcagtg gcagtggatc cgggacagac ttcactctca ccatcagcag cctagagcct 300 gaagattttg cagtttatta ctgtcaacat cattccgata atccgtggac attcggccaa gggaccaagg tggaaatcaa aggtggcggt ggctcgggcg gtggtggatc tggaggaggt = 420 ggagctagcc aggtgcagct ggtggagtct ggtggaggcg tggtccagcc tgggaggtcc 480 ctgagactet eetgtgeage etetggatte acetteagtg getacaatat gaactgggte 540 cgccagatgc ccgggaaagg cctggagtgg atgggcaata ttgatcctta ttatggtggt actacctaca accggaagtt caagggccag gtcactatct ccgccgacaa gtccatcagc 660 720 accgcctacc tgcaatggag cagcctgaag gcctcggaca ccgccatgta ttactgtgca cgctcagtcg gccctatgga ctactggggc cgcggcaccc tggtcactgt ctcctcgagc 780 gageceaaat ettetgacaa aacteacaca tgeecacegt geecageace tgaacteetg 840 ggtggaccgt cagtetteet ettecececa aaacccaagg acacceteat gateteeegg acccctgagg tcacatgcgt ggtggtggac gtgagccacg aagaccctga ggtcaagttc 960 aactggtacg tggacggcgt ggaggtgcat aatgccaaga caaagccgcg ggaggagcag 1020 tacaacagca cgtaccgtgt ggtcagcgtc ctcaccgtcc tgcaccagga ctggctgaat 1080 ggcaaggagt acaagtgcaa ggtctccaac aaagccctcc cagcccccat cgagaaaacc 1140 atotocaaag ccaaagggca gccccgagaa ccacaggtgt acaccctgcc cccatcccgg 1200 gatgagetga ccaagaacca ggteageetg acetgeetgg teaaaggett etatecaage 1260 gacatcgccg tggagtggga gagcaatggg cagccggaga acaactacaa gaccacgcct 1320 cccgtgctgg actccgacgg ctccttcttc ctctacagca agctcaccgt ggacaagagc 1380 aggtggcagc aggggaacgt cttctcatgc tccgtgatgc atgaggctct gcacaaccac 1440 1479 tacacgcaga agagcctctc cctgtctccg ggtaaatga

<210> 34

<211> 492

<212> PRT

<213> Secuencia artificial

<220>

<223> Proteína de unión específica a CD37

<40	Λ>	34
~ + U	0-	ᇰᅮ

Mel	t Glu Ala Pro Al	la Gln Leu Leu	Phe Leu Leu	Leu Leu Trp Leu Pro
1	5	10	15	

- Asp Thr Thr Gly Glu lle Val Leu Thr Gln Ser Pro Ala Thr Leu Ser 20 25 30
- Leu Ser Pro Gly Glu Arg Ala Thr Leu Ser Cys Arg Thr Ser Glu Asn 35 40 45
- Val Tyr Ser Tyr Leu Ala Trp Tyr Gln Gln Lys Pro Gly Gln Ala Pro 50 55 60
- Arg Leu Leu lle Tyr Phe Ala Lys Thr Leu Ala Glu Gly lle Pro Ala 65 70 75 80
- Arg Phe Ser Gly Ser Gly Ser Gly Thr Asp Phe Thr Leu Thr Ile Ser 85 90 95
- Ser Leu Glu Pro Glu Asp Phe Ala Val Tyr Tyr Cys Gln His His Ser 100 105 110
- Asp Asn Pro Trp Thr Phe Gly Gln Gly Thr Lys Val Glu lle Lys Gly 115 120 125
- Gly Gly Gly Ser Gly Gly Gly Ser Gly Gly Gly Gly Ala Ser Gln 130 135 140
- Val Gln Leu Val Glu Ser Gly Gly Gly Val Val Gln Pro Gly Arg Ser 145 150 155 160
- Leu Arg Leu Ser Cys Ala Ala Ser Gly Phe Thr Phe Ser Gly Tyr Asn 165 170 175
- Met Asn Trp Val Arg Gln Met Pro Gly Lys Gly Leu Glu Trp Met Gly 180 185 190

Asn Ile Asp Pro Tyr Tyr Gly Gly Thr Thr Tyr Asn Arg Lys Phe Lys 195 200 205
Gly Gln Val Thr IIe Ser Ala Asp Lys Ser IIe Ser Thr Ala Tyr Leu 210 215 220
Gln Trp Ser Ser Leu Lys Ala Ser Asp Thr Ala Met Tyr Tyr Cys Ala 225 230 235 240
Arg Ser Val Gly Pro Met Asp Tyr Trp Gly Arg Gly Thr Leu Val Thr 245 250 255
Val Ser Ser Ser Glu Pro Lys Ser Ser Asp Lys Thr His Thr Cys Pro 260 265 270
Pro Cys Pro Ala Pro Glu Leu Leu Gly Gly Pro Ser Val Phe Leu Phe 275 280 285
Pro Pro Lys Pro Lys Asp Thr Leu Met IIe Ser Arg Thr Pro Glu Val 290 295 300
Thr Cys Val Val Val Asp Val Ser His Glu Asp Pro Glu Val Lys Phe 305 310 315 320
Asn Trp Tyr Val Asp Gly Val Glu Val His Asn Ala Lys Thr Lys Pro 325 330 335
Arg Glu Glu Gln Tyr Asn Ser Thr Tyr Arg Val Val Ser Val Leu Thr 340 345 350
Val Leu His Gin Asp Trp Leu Asn Gly Lys Glu Tyr Lys Cys Lys Val 355 360 365
Ser Asn Lys Ala Leu Pro Ala Pro Ile Glu Lys Thr Ile Ser Lys Ala 370 375 380
Lys Gly Gln Pro Arg Glu Pro Gln Val Tyr Thr Leu Pro Pro Ser Arg 385 390 395 400
Asp Glu Leu Thr Lys Asn Gln Val Ser Leu Thr Cys Leu Val Lys Gly 405 410 415

Phe Tyr Pro Ser Asp IIe Ala Val Glu Trp Glu Ser Asn Gly Gln Pro 420 425 430

Glu Asn Asn Tyr Lys Thr Thr Pro Pro Val Leu Asp Ser Asp Gly Ser 435 440 445

Phe Phe Leu Tyr Ser Lys Leu Thr Val Asp Lys Ser Arg Trp Gln Gln 450 455 460

Gly Asn Val Phe Ser Cys Ser Val Met His Glu Ala Leu His Asn His 465 470 475 480

Tyr Thr Gln Lys Ser Leu Ser Leu Ser Pro Gly Lys 485 490

<210> 35

<211> 1479

<212> ADN

<213> Secuencia artificial

<220>

<223> Proteína de unión específica a CD37

<400> 35

60 atggaagcac cagcgcagct tetetteete etgetaetet ggeteecaga taccaceggt gaaattgtgt tgacacagtc tccagccacc ctgtctttgt ctccaggcga aagagccacc 120 ctctcctgcc gaacaagtga aaatgtttac agctacttag cctggtacca acagaaacct 180 ggccaggete etaggeteet catetattt gcaaaaacet tagcagaagg aattecagee aggiticagitg geagitggate egggaeagae titeaetetea eeateageag eetagageet 300 gaagattttg cagtttatta ctgtcaacat cattccgata atccgtggac attcggccaa 360 gggaccaagg tggaaatcaa aggtggcggt ggctcgggcg gtggtggatc tggaggaggt ggagctagcc aggtgcagct ggtggagtct ggtggaggcg tggtccagcc tgggaggtcc ctgagactct cctgtgcagc ctctggattc accttcagtg gctacaatat gaactgggtc 540 cgccagatgc ccgggaaagg cctggagtgg atgggcaata ttgatcctta ttatggtggt 600 660 actacctaca accggaagtt caagggccag gtcactatct ccgccgacaa gtccatcagc accgcctacc tgcaatggag cagcctgaag gcctcggaca ccgccatgta ttactgtgca 720 egeteagteg geectatgga etaetgggge egeggeaece tggteaetgt eteetegage 780

gageccaaat cttctgacaa aactcacaca tgeccacegt geocagcace tgaactectg 840
ggtggacegt cagtetteet ettececca aaacecaagg acacecteat gateteeegg 900
acceetgagg teacatgegt ggtggtggac gtgagecaeg aagaceetga ggteaagtte 960
aactggtacg tggacggegt ggaggtgeat aatgecaaga caaageegeg ggaggageag 1020
tacaacagea egtacegtgt ggteagegte eteacegtee tgeaceagga etggetgaat 1080
ggeaaggagt acaagtgeaa ggtetecaac aaageeetee eageeeecat egagaaaace 1140
atetecaaag ecaaagggea geeeegagaa ecacaggtgt acaceetgee eecateeegg 1200
gatgagetga ceaagaacea ggteageetg acetgeetgg teaaaggett etatecaage 1260
gacategeeg tggagtggga gageaatggg eageeggaga acaactacaa gaceaegeet 1320
eeegtgetgg acteegaegg eteettette etetacagea ageteaeegt ggacaagage 1380
aggtggeage aggggaacgt etteteatge teegtgatge atgaggetet gcacaaceae 1440
tacacgeaga agageetete eetgteteeg ggtaaatga 1479

<210> 36

<211> 492

<212> PRT

<213> Secuencia artificial

<220>

<223> Proteína de unión específica a CD37

<400> 36

Met Glu Ala Pro Ala Gln Leu Leu Phe Leu Leu Leu Leu Trp Leu Pro 1 5 10 15

Asp Thr Thr Gly Glu lle Val Leu Thr Gln Ser Pro Ala Thr Leu Ser 20 25 30

Leu Ser Pro Gly Glu Arg Ala Thr Leu Ser Cys Arg Thr Ser Glu Asn 35 40 45

Val Tyr Ser Tyr Leu Ala Trp Tyr Gln Gln Lys Pro Gly Gln Ala Pro 50 55 60

Arg Leu Leu lle Tyr Phe Ala Lys Thr Leu Ala Glu Gly lle Pro Ala 65 70 75 80

Arg Phe Ser Gly Ser Gly Ser Gly Thr Asp Phe Thr Leu Thr lle Ser

Ser Leu Glu Pro Glu Asp Phe Ala Val Tyr Tyr Cys Gln His His Ser 100 105 110
Asp Asn Pro Trp Thr Phe Gly Gln Gly Thr Lys Val Glu IIe Lys Gly 115 120 125
Gly Gly Gly Ser Gly Gly Gly Gly Gly Gly Gly Ala Ser Gln 130 135 140
Val Gln Leu Val Glu Ser Gly Gly Gly Val Val Gln Pro Gly Arg Ser 145 150 155 160
Leu Arg Leu Ser Cys Ala Ala Ser Gly Phe Thr Phe Ser Gly Tyr Asn 165 170 175
Met Asn Trp Val Arg Gln Met Pro Gly Lys Gly Leu Glu Trp Met Gly 180 185 190
Asn Ile Asp Pro Tyr Tyr Gly Gly Thr Thr Tyr Asn Arg Lys Phe Lys 195 200 205
Gly Gln Val Thr Ile Ser Ala Asp Lys Ser Ile Ser Thr Ala Tyr Leu 210 215 220
Gln Trp Ser Ser Leu Lys Ala Ser Asp Thr Ala Met Tyr Tyr Cys Ala 225 230 235 240
Arg Ser Val Gly Pro Met Asp Tyr Trp Gly Arg Gly Thr Leu Val Thr 245 250 255
Val Ser Ser Ser Glu Pro Lys Ser Ser Asp Lys Thr His Thr Ser Pro 260 265 270
Pro Cys Pro Ala Pro Glu Leu Leu Gly Gly Pro Ser Val Phe Leu Phe 275 280 285
Pro Pro Lys Pro Lys Asp Thr Leu Met IIe Ser Arg Thr Pro Glu Val 290 295 300
Thr Cys Val Val Val Asp Val Ser His Glu Asp Pro Glu Val Lys Phe

305	3	310	315	32	0	
Asr	ı Trp Tyr Val 325	Asp Gly Val 330		lis Asn A 335	la Lys Thr Lys P	ro
Arg	Glu Glu Gli 340	n Tyr Asn Se 345		Arg Val V 350	al Ser Val Leu T	hr
Val	Leu His Glr 355	Asp Trp Lei 360	a Asn Gly 36		Tyr Lys Cys Lys	Val
	Asn Lys Ala 370	a Leu Pro Ala 375	a Pro lle 0 380	Glu Lys T	hr lle Ser Lys Ala	a
Lys 385	•	o Arg Glu Pro 390	Gln Val	Tyr Thr L 40	eu Pro Pro Ser / 0	Arg
Asp	Glu Leu Th 405	nr Lys Asn G 41		Leu Thr 415	Cys Leu Val Lys	s Gly
Phe	e Tyr Pro Se 420	r Asp lle Ala 425		rp Glu S 430	er Asn Gly Gln F	Pro
Glu	Asn Asn Ty 435	r Lys Thr Th 440	r Pro Pro 44		Asp Ser Asp Gly	Ser
		yr Ser Lys Le 455			Ser Arg Trp Glr	Gln
Gly 465		e Ser Cys Si 170	er Val Me 475	t His Glu 48	Ala Leu His Asn 30	His
Tyr	Thr Gln Lys 485	Ser Leu Se 49		Pro Gly	Lys	
<210> <211> <212> <213>	37 1476 ADN Secuencia a	rtificial				
<220> <223>	Proteína de	unión específic	ca a CD37			
<400>	37					

atggaagcac cagegeaget tetetteete etgetaetet ggeteecaga taccaceggt 60	
gaaattgtgt tgacacagtc tccagccacc ctgtctttgt ctccaggcga aagagccacc 120	
ctctcctgcc gaacaagtga aaatgtttac agctacttag cctggtacca acagaaacct 180	
ggccaggctc ctaggctcct catctatttt gcaaaaacct tagcagaagg aattccagcc 240	
aggttcagtg gcagtggatc cgggacagac ttcactctca ccatcagcag cctagagcct 300	
gaagattttg cagtttatta ctgtcaacat cattccgata atccgtggac attcggccaa 360	
gggaccaagg tggaaatcaa aggtggcggt ggctcgggcg gtggtggatc tggaggaggt 420	
ggggctagcg aggtgcagct ggtggagtct ggtggaggct tggtccagcc tggagggtcc 480	
ctgagactct cctgtgcagc ctctggattc accttcagtg gctacaatat gaactgggtc 540	
cgccagatgc ccgggaaagg cctggagtgg atgggcaata ttgatcctta ttatggtggt 600	
actacctaca accggaagtt caagggccag gtcactatct ccgccgacaa gtccatcagc 660	
accgcctacc tgcaatggag cagcctgaag gcctcggaca ccgccatgta ttactgtgca 720	
cgctcagtcg gccctatgga ctactggggc cgcggcaccc tggtcactgt ctcctcgagc 780	
gageceaaat ettetgacaa aacteacaca tetecacegt geecageace tgaacteetg 840	
ggtggaccgt cagtetteet etteececa aaacecaagg acacecteat gateteegg 900	
acccctgagg tcacatgcgt ggtggtggac gtgagccacg aagaccctga ggtcaagttc 960	
aactggtacg tggacggcgt ggaggtgcat aatgccaaga caaagccgcg ggaggagcag 102	0:
tacaacagca cgtaccgtgt ggtcagcgtc ctcaccgtcc tgcaccagga ctggctgaat 1080	
ggcaaggagt acaagtgcaa ggtctccaac aaagccctcc cagcccccat cgagaaaacc 114	0
atctccaaag ccaaagggca gccccgagaa ccacaggtgt acaccctgcc cccatcccgg 1200)
gatgagetga ecaagaacea ggteageetg acetgeetgg teaaaggett etateeaage 1260	
gacatcgccg tggagtggga gagcaatggg cagccggaga acaactacaa gaccacgcct 132	20
cccgtgctgg actccgacgg ctccttcttc ctctacagca agctcaccgt ggacaagagc 1380	
aggtggcagc aggggaacgt cttctcatgc tccgtgatgc atgaggctct gcacaaccac 1440	
tacacgcaga agagcetete cetgteteeg ggtaaa 1476	

<210> 38 <211> 492 <212> PRT <213> Secuencia artificial

<220> <223> Proteína de unión específica a CD37 <400> 38 Met Glu Ala Pro Ala Gln Leu Leu Phe Leu Leu Leu Leu Trp Leu Pro Asp Thr Thr Gly Glu lle Val Leu Thr Gln Ser Pro Ala Thr Leu Ser Leu Ser Pro Gly Glu Arg Ala Thr Leu Ser Cys Arg Thr Ser Glu Asn Val Tyr Ser Tyr Leu Ala Trp Tyr Gln Gln Lys Pro Gly Gln Ala Pro Arg Leu Leu lle Tyr Phe Ala Lys Thr Leu Ala Glu Gly lle Pro Ala Arg Phe Ser Gly Ser Gly Ser Gly Thr Asp Phe Thr Leu Thr Ile Ser Ser Leu Glu Pro Glu Asp Phe Ala Val Tyr Tyr Cys Gln His His Ser Asp Asn Pro Trp Thr Phe Gly Gln Gly Thr Lys Val Glu lle Lys Gly Gly Gly Gly Ser Gly Gly Gly Gly Gly Gly Ala Ser Glu Val Gln Leu Val Glu Ser Gly Gly Gly Leu Val Gln Pro Gly Gly Ser Leu Arg Leu Ser Cys Ala Ala Ser Gly Phe Thr Phe Ser Gly Tyr Asn Met Asn Trp Val Arg Gln Met Pro Gly Lys Gly Leu Glu Trp Met Gly

Asn lle Asp Pro Tyr Tyr Gly Gly Thr Thr Tyr Asn Arg Lys Phe Lys

Gly Gln Val Thr Ile Ser Ala Asp Lys Ser Ile Ser Thr Ala Tyr Leu 210 215 220
Gln Trp Ser Ser Leu Lys Ala Ser Asp Thr Ala Met Tyr Tyr Cys Ala 225 230 235 240
Arg Ser Val Gly Pro Met Asp Tyr Trp Gly Arg Gly Thr Leu Val Thr 245 250 255
Val Ser Ser Ser Glu Pro Lys Ser Ser Asp Lys Thr His Thr Ser Pro 260 265 270
Pro Cys Pro Ala Pro Glu Leu Leu Gly Gly Pro Ser Val Phe Leu Phe 275 280 285
Pro Pro Lys Pro Lys Asp Thr Leu Met Ile Ser Arg Thr Pro Glu Val 290 295 300
Thr Cys Val Val Val Asp Val Ser His Glu Asp Pro Glu Val Lys Phe 305 310 315 320
Asn Trp Tyr Val Asp Gly Val Glu Val His Asn Ala Lys Thr Lys Pro 325 330 335
Arg Glu Glu Gln Tyr Asn Ser Thr Tyr Arg Val Val Ser Val Leu Thr 340 345 350
Val Leu His Gln Asp Trp Leu Asn Gly Lys Glu Tyr Lys Cys Lys Val 355 360 365
Ser Asn Lys Ala Leu Pro Ala Pro Ile Glu Lys Thr Ile Ser Lys Ala 370 375 380
Lys Gly Gln Pro Arg Glu Pro Gln Val Tyr Thr Leu Pro Pro Ser Arg 385 390 395 400
Asp Glu Leu Thr Lys Asn Gln Val Ser Leu Thr Cys Leu Val Lys Gly 405 410 415
Phe Tyr Pro Ser Asp IIe Ala Val Glu Trp Glu Ser Asn Gly Gln Pro 420 425 430

Glu Asn Asn Tyr Lys Thr Thr Pro Pro Val Leu Asp Ser Asp Gly Ser 435 440 445

Phe Phe Leu Tyr Ser Lys Leu Thr Val Asp Lys Ser Arg Trp Gln Gln 450 455 460

Gly Asn Val Phe Ser Cys Ser Val Met His Glu Ala Leu His Asn His 465 470 475 480

Tyr Thr Gln Lys Ser Leu Ser Leu Ser Pro Gly Lys 485 490

<210> 39

<211> 1476

<212> ADN

<213> Secuencia artificial

<220:

<223> Proteína de unión específica a CD37

<400> 39

atggaagcac cagcgcagct tetetteete etgetaetet ggeteecaga taccaccggt 60 120 gaaattgtgt tgacacagtc tccagccacc ctgtctttgt ctccaggcga aagagccacc ctctcctgcc gaacaagtga aaatgtttac agctacttag cctggtacca acagaaacct 180 ggccaggctc ctaggctcct catctatttt gcaaaaacct tagcagaagg aattccagcc 240 300 aggitcagtg gcagtggatc cgggacagac ttcactctca ccatcagcag cctagagcct gaagattttg cagtttatta ctgtcaacat cattccgata atccgtggac attcggccaa gggaccaagg tggaaatcaa aggtggcggt ggctcgggcg gtggtggatc tggaggaggt ggggetageg aggtgeaget ggtggagtet ggtggagget tggteeagee tggagggtee ctgagactct cctgtgcagc ctctggattc accttcagtg gctacaatat gaactgggtc 540 cgccagatgc ccgggaaagg cctggagtgg atgggcaata ttgatcctta ttatggtggt 600 660 actacctaca accggaagtt caagggccag gtcactatct ccgccgacaa gtccatcagc 720 accocctace tocaatogag cagcetogaag geeteggaca eegecatota ttactotoga cgctcagtcg gccctatgga ctactggggc cgcggcaccc tggtcactgt ctcctcgagc 780 gageceaaat ettetgacaa aacteacaca tgeceacegt geceageace tgaacteetg 840 ggtggaccgt cagtetteet etteececca aaacccaagg acacceteat gateteecgg 900

accectgagg teacatgegt ggtggtggac gtgagecaeg aagaecetga ggteaagtte 960

aactggtaeg tggaeggegt ggaggtgeat aatgecaaga caaageegeg ggaggageag 1020
tacaacagea egtaeegtgt ggteagegte etcaeegtee tgeaecagga etggetgaat 1080
ggeaaggagt acaagtgeaa ggtetecaae aaageeetee eageeeecat egagaaaaec 1140
atetecaaag eeaaagggea geeecgagaa eeacaggtgt acaeeetgee eecateeegg 1200
gatgagetga eeaagaaeea ggteageetg acetgeetgg teaaaggett etatecaage 1260
gacategeeg tggagtggga gageaatggg eageeggaga acaaetaeaa gaeeaegeet 1320
eeegtgetgg acteegaegg eteettette etetacagea ageteaeegt ggaeaagage 1380
aggtggeage aggggaaegt etteteatge teegtgatge atgaggetet geacaaecae 1440
tacaegeaga agageetete eetgteteeg ggtaaa 1476

<210> 40 <211> 492 <212> PRT

<213> Secuencia artificial

<220>

<223> Proteína de unión específica a CD37

<400> 40

Met Glu Ala Pro Ala Gln Leu Leu Phe Leu Leu Leu Leu Trp Leu Pro 1 5 10 15

Asp Thr Thr Gly Glu lle Val Leu Thr Gln Ser Pro Ala Thr Leu Ser 20 25 30

Leu Ser Pro Gly Glu Arg Ala Thr Leu Ser Cys Arg Thr Ser Glu Asn 35 40 45

Val Tyr Ser Tyr Leu Ala Trp Tyr Gln Gln Lys Pro Gly Gln Ala Pro 50 55 60

Arg Leu Leu Ile Tyr Phe Ala Lys Thr Leu Ala Glu Gly Ile Pro Ala 65 70 75 80

Arg Phe Ser Gly Ser Gly Ser Gly Thr Asp Phe Thr Leu Thr Ile Ser 85 90 95

Ser Leu Glu Pro Glu Asp Phe Ala Val Tyr Tyr Cys Gln His His Ser

	100	105	110		
Α	sp Asn Pro 115	Trp Thr Phe G 120	Gly Gln Gly Th 125	r Lys Val Glu lle Lys	Gly
G	ly Gly Gly 130	Ser Gly Gly Gl 135	y Gly Ser Gly 140	Gly Gly Gly Ala Ser	Glu
	al Gln Leu 45	Val Glu Ser Gl 150	y Gly Gly Leu 155	Val Gln Pro Gly Gly 160	Ser
L	eu Arg Leu 16			e Thr Phe Ser Gly T 75	yr Asn
N	let Asn Trp 180	Val Arg Gln M 185	et Pro Gly Lys 190	Gly Leu Glu Trp Mo	et Gly
A	sn lle Asp 195	Pro Tyr Tyr Gly 200	Gly Thr Thr 1 205	Tyr Asn Arg Lys Phe	Lys
G	ily Gln Val 210	Thr IIe Ser Ala 215	Asp Lys Ser II 220	le Ser Thr Ala Tyr Le	u
	SIn Trp Ser 25	Ser Leu Lys Al 230	a Ser Asp Thr 235	Ala Met Tyr Tyr Cys 240	s Ala
Δ	rg Ser Val 24	•		Arg Gly Thr Leu Val 55	Thr
٧	al Ser Ser 260	Ser Glu Pro Ly 265	s Ser Ser Asp 270	Lys Thr His Thr Cy	s Pro
F	ro Cys Pro 275	Ala Pro Glu Lo 280	eu Leu Gly Gl 285	y Pro Ser Val Phe L	eu Phe
F	ro Pro Lys 290	Pro Lys Asp T 295	hr Leu Met Ile 300	Ser Arg Thr Pro Glu	ı Val
	hr Cys Val 05	Val Val Asp Va 310	l Ser His Glu 315	Asp Pro Glu Val Lys 320	Phe

Asn Trp Tyr Val Asp Gly Val Glu Val His Asn Ala Lys Thr Lys Pro

Arg	Glu Glu G 340	In Tyr Asn Sei 345		Arg Val Val 350	Ser Val Leu Thr		
Val	Leu His GI 355	In Asp Trp Leu 360	ı Asn Gly 365		r Lys Cys Lys Va	al	
	r Asn Lys A 370	la Leu Pro Ala 375	Pro lle G 380	ilu Lys Thr	lle Ser Lys Ala		
Lys 385	•	ro Arg Glu Pro 390	GIn Val 3	Tyr Thr Leu 400	Pro Pro Ser Arg	9	
As	o Glu Leu T 405	•		Leu Thr C	ys Leu Val Lys 0	Эly	
Ph	e Tyr Pro S 420	er Asp Ile Ala 425		rp Glu Ser 130	Asn Gly Gln Pro)	
Glu	u Asn Asn T 435	yr Lys Thr Th 440	r Pro Pro 445		p Ser Asp Gly S	er	
	e Phe Leu 450	Tyr Ser Lys Le 455	eu Thr Val 460	Asp Lys S	er Arg Trp Gln G	Sin	
Gly 46		he Ser Cys Se 470	er Val Met 475	His Glu Al 480	a Leu His Asn F	lis	
Ту	r Thr Gln Ly 485	s Ser Leu Se 490		Pro Gly Ly	s		
<210> <211> <212> <213>	41 1476 ADN Secuencia a	artificial					
<220> <223>	Proteína de	unión específic	a a CD37				
<400>	41						
atgga	agcac cag	egcaget tete	ttcctc ctg	ctactct gg	ctcccaga tacca	ccggt	60
gaaa	ttgtgt tgaca	acagtc tccag	ccacc ctg	tctttgt ctc	caggoga aagag	jccacc	120

180 ctctcctgcc gaacaagtga aaatgtttac agctacttag cctggtacca acagaaacct ggccaggete etaggeteet catetattt gcaaaaacet tagcagaagg aattecagee 240 aggitcagtg gcagtggatc cgggacagac ttcactctca ccatcagcag cctagagcct 300 gaagattttg cagtttatta ctgtcaacat cattccgata atccgtggac attcggccaa gggaccaagg tggaaatcaa aggtggcggt ggctcgggcg gtggtggatc tggaggaggt 420 ggggctageg aggtgcaget ggtggagtet ggtggagget etgtecagee tggagggtee ctgagactct cctgtgcagc ctctggattc accttcagtg gctacaatat gaactgggtc 540 cgccagatgc ccgggaaagg cctggagtgg atgggcaata ttgatcctta ttatggtggt 600 660 actacctaca accggaagtt caagggccag gtcactatct ccgccgacaa gtccatcagc 720 accgcctacc tgcaatggag cagcctgaag gcctcggaca ccgccatgta ttactgtgca 780 cgctcagtcg gccctatgga ctactggggc cgcggcaccc tggtcactgt ctcctcgagc 840 gageceaaat ettetgaeaa aacteacaca tetecacegt geecageace tgaacteetg 900 ggtggaccgt cagtetteet etteececa aaacccaagg acacceteat gateteegg acccctgagg tcacatgcgt ggtggtggac gtgagccacg aagaccctga ggtcaagttc 960 aactggtacg tggacggcgt ggaggtgcat aatgccaaga caaagccgcg ggaggagcag 1020 tacaacagca cgtaccgtgt ggtcagcgtc ctcaccgtcc tgcaccagga ctggctgaat 1080 ggcaaggagt acaagtgcaa ggtctccaac aaagccctcc cagcccccat cgagaaaacc 1140 atctccaaag ccaaagggca gcccgagaa ccacaggtgt acaccctgcc cccatcccgg 1200 gatgagetga ccaagaacca ggteageetg acetgeetgg tcaaaggett etatecaage 1260 gacategeeg tggagtggga gagcaatggg cageeggaga acaactacaa gaccaegeet 1320 cccgtgctgg actccgacgg ctccttcttc ctctacagca agctcaccgt ggacaagagc 1380 aggtggcagc aggggaacgt cttctcatgc tccgtgatgc atgaggctct gcacaaccac 1440 1476 tacacgcaga agagcctctc cctgtctccg ggtaaa

```
<210> 42
```

<211> 492

<212> PRT

<213> Secuencia artificial

<220>

<223> Proteína de unión específica a CD37

<4	nη	>	42
` +	υu	_	42

Met Glu Ala Pro Ala Gln Leu Leu Phe Leu Leu Leu Leu Trp Leu Pro 1 5 10 15

- Asp Thr Thr Gly Glu lle Val Leu Thr Gln Ser Pro Ala Thr Leu Ser 20 25 30
- Leu Ser Pro Gly Glu Arg Ala Thr Leu Ser Cys Arg Thr Ser Glu Asn 35 40 45
- Val Tyr Ser Tyr Leu Ala Trp Tyr Gin Gln Lys Pro Gly Gln Ala Pro 50 55 60
- Arg Leu Leu Ile Tyr Phe Ala Lys Thr Leu Ala Glu Gly Ile Pro Ala 65 70 75 80
- Arg Phe Ser Gly Ser Gly Ser Gly Thr Asp Phe Thr Leu Thr Ile Ser 85 90 95
- Ser Leu Glu Pro Glu Asp Phe Ala Val Tyr Tyr Cys Gln His His Ser 100 105 110
- Asp Asn Pro Trp Thr Phe Gly Gln Gly Thr Lys Val Glu lle Lys Gly 115 120 125
- Gly Gly Gly Ser Gly Gly Gly Gly Gly Gly Gly Ala Ser Glu 130 135 140
- Val Gln Leu Val Glu Ser Gly Gly Gly Ser Val Gln Pro Gly Gly Ser 145 150 155 160
- Leu Arg Leu Ser Cys Ala Ala Ser Gly Phe Thr Phe Ser Gly Tyr Asn 165 170 175
- Met Asn Trp Val Arg Gln Met Pro Gly Lys Gly Leu Glu Trp Met Gly 180 185 190
- Asn Ile Asp Pro Tyr Tyr Gly Gly Thr Thr Tyr Asn Arg Lys Phe Lys 195 200 205
- Gly Gln Val Thr lle Ser Ala Asp Lys Ser lle Ser Thr Ala Tyr Leu 210 215 220

Gln Trp Ser Ser Leu Lys Ala Ser Asp Thr Ala Met Tyr Tyr Cys Ala 225 230 235 240
Arg Ser Val Gly Pro Met Asp Tyr Trp Gly Arg Gly Thr Leu Val Thr 245 250 255
Val Ser Ser Ser Glu Pro Lys Ser Ser Asp Lys Thr His Thr Ser Pro 260 265 270
Pro Cys Pro Ala Pro Glu Leu Leu Gly Gly Pro Ser Val Phe Leu Phe 275 280 285
Pro Pro Lys Pro Lys Asp Thr Leu Met lle Ser Arg Thr Pro Glu Val 290 295 300
Thr Cys Val Val Asp Val Ser His Glu Asp Pro Glu Val Lys Phe 305 310 315 320
Asn Trp Tyr Val Asp Gly Val Glu Val His Asn Ala Lys Thr Lys Pro 325 330 335
Arg Glu Glu Gln Tyr Asn Ser Thr Tyr Arg Val Val Ser Val Leu Thr 340 345 350
Val Leu His Gln Asp Trp Leu Asn Gly Lys Glu Tyr Lys Cys Lys Val 355 360 365
Ser Asn Lys Ala Leu Pro Ala Pro lle Glu Lys Thr lle Ser Lys Ala 370 375 380
Lys Gly Gln Pro Arg Glu Pro Gln Val Tyr Thr Leu Pro Pro Ser Arg 385 390 395 400
Asp Glu Leu Thr Lys Asn Gln Val Ser Leu Thr Cys Leu Val Lys Gly 405 410 415
Phe Tyr Pro Ser Asp Ile Ala Val Glu Trp Glu Ser Asn Gly Gln Pro 420 425 430
Glu Asn Asn Tyr Lys Thr Thr Pro Pro Val Leu Asp Ser Asp Gly Ser 435 440 445

Phe Phe Leu Tyr Ser Lys Leu Thr Val Asp Lys Ser Arg Trp Gln Gln 450 455 460

Gly Asn Val Phe Ser Cys Ser Val Met His Glu Ala Leu His Asn His 465 470 475 480

Tyr Thr Gln Lys Ser Leu Ser Leu Ser Pro Gly Lys 485 490

<210> 43

<211> 1476

<212> ADN

<213> Secuencia artificial

<220>

<223> Proteína de unión específica a CD37

<400> 43

60 atggaagcac cagcgcagct tetetteete etgetaetet ggeteecaga taccaceggt gaaattgtgt tgacacagtc tccagccacc ctgtctttgt ctccaggcga aagagccacc 120 ctctcctgcc gaacaagtga aaatgtttac agctacttag cctggtacca acagaaacct 180 ggccaggctc ctaggctcct catctatttt gcaaaaacct tagcagaagg aattccagcc aggttcagtg gcagtggatc cgggacagac ttcactctca ccatcagcag cctagagcct 300 gaagattttg cagtttatta ctgtcaacat cattccgata atccgtggac attcggccaa gggaccaagg tggaaatcaa aggtggcggt ggctcgggcg gtggtggatc tggaggaggt 420 ggggctagcg aggtgcagct ggtggagtct ggtggaggct ctgtccagcc tggagggtcc 480 ctgagactct cctgtgcagc ctctggattc accttcagtg gctacaatat gaactgggtc 540 cgccagatgc ccgggaaagg cctggagtgg atgggcaata ttgatcctta ttatggtggt 660 actacctaca accggaagtt caagggccag gtcactatct ccgccgacaa gtccatcagc 720 accgcctacc tgcaatggag cagcctgaag gcctcggaca ccgccatgta ttactgtgca 780 cgctcagtcg gccctatgga ctactggggc cgcggcaccc tggtcactgt ctcctcgagc gagoccaaat ottotgacaa aactoacaca tgoccacogt goccagoaco tgaactootg 840 ggtggaccgt cagtetteet ettecececa aaacccaagg acacceteat gateteeegg 900 acccctgagg tcacatgcgt ggtggtggac gtgagccacg aagaccctga ggtcaagttc 960 aactggtacg tggacggcgt ggaggtgcat aatgccaaga caaagccgcg ggaggagcag 1020

tacaacagca cgtaccgtgt ggtcagcgtc ctcaccgtcc tgcaccagga ctggctgaat 1080
ggcaaggagt acaagtgcaa ggtctccaac aaagccctcc cagcccccat cgagaaaacc 1140
atctccaaag ccaaagggca gccccgagaa ccacaggtgt acaccctgcc cccatcccgg 1200
gatgagctga ccaagaacca ggtcagcctg acctgcctgg tcaaaggctt ctatccaagc 1260
gacatcgccg tggagtggga gagcaatggg cagccggaga acaactacaa gaccacgcct 1320
cccgtgctgg actccgacgg ctccttcttc ctctacagca agctcaccgt ggacaagagc 1380
aggtggcagc aggggaacgt cttctcatgc tccgtgatgc atgaggctct gcacaaccac 1440
tacacgcaga agagcctctc cctgtctccg ggtaaa 1476

<210> 44

<211> 492

<212> PRT

<213> Secuencia artificial

<220>

<223> Proteína de unión específica a CD37

<400> 44

Met Glu 1	Ala Pro 5	Ala Gin L 10		ie Leu Le 15	u Leu Leu	Trp Leu Pro
	Thr Gly 20	Glu lle Va 25		GIn Ser F 30	Pro Ala Thr	Leu Ser
Leu Ser 35	Pro Gly	Glu Arg A	Ala Thr Lei 45	u Ser Cys	Arg Thr S	er Glu Asn
Val Tyr S 50	Ser Tyr l	∟eu Ala Tr 55	p Tyr Gln 60	GIn Lys P	ro Gly Gln	Ala Pro
Arg Leu 65	Leu lle 70	-	la Lys Thr 75	Leu Ala (80	Glu Gly lle	Pro Ala
Arg Phe	Ser Gly 85	Ser Gly 9	•	ır Asp Phi 95	e Thr Leu 1	Thr lle Ser
	Glu Pro 100	Glu Asp 105		al Tyr Tyr 110	Cys Gln H	is His Ser
Asp Asn	Pro Trp	Thr Phe	Gly Gln G	ly Thr Lys	s Val Glu IIe	e Lys Gly

115	120	125	
Gly Gly Gly S	er Gly Gly Gly	Gly Ser Gly 0	Gly Gly Ala Ser Glu
130	135	140	
Val Gln Leu V	al Glu Ser Gly	Gly Gly Ser \	/al Gln Pro Gly Gly Ser
145	150	155	160
Leu Arg Leu \$	•	•	Thr Phe Ser Gly Tyr Asn 5
Met Asn Trp \	/al Arg GIn Me	et Pro Gly Lys	Gly Leu Glu Trp Met Gly
180	185	190	
Asn Ile Asp P	ro Tyr Tyr Gly	Gly Thr Thr Ty	yr Asn Arg Lys Phe Lys
195	200	205	
Gly Gln Val T	hr lle Ser Ala A	Asp Lys Ser IIe	e Ser Thr Ala Tyr Leu
210	215	220	
Gln Trp Ser S	ier Leu Lys Ala	a Ser Asp Thr	Ala Met Tyr Tyr Cys Ala
225	230	235	240
Arg Ser Val G 245			Arg Gly Thr Leu Val Thr 5
Val Ser Ser S	er Glu Pro Lys	s Ser Ser Asp	Lys Thr His Thr Cys Pro
260	265	270	
Pro Cys Pro /	Ala Pro Glu Le	u Leu Gly Gly	Pro Ser Val Phe Leu Phe
275	280	285	
Pro Pro Lys F	Pro Lys Asp Th	r Leu Met IIe :	Ser Arg Thr Pro Glu Val
290	295	300	
Thr Cys Val \	/al Val Asp Val	Ser His Glu A	sp Pro Glu Val Lys Phe
305	310	315	320
Asn Trp Tyr V 325			sn Ala Lys Thr Lys Pro 35

Arg Glu Glu Gln Tyr Asn Ser Thr Tyr Arg Val Val Ser Val Leu Thr

Val Leu His Gln Asp Trp Leu Asn Gly Lys Glu Tyr Lys Cys Lys Val 355 360 365	
Ser Asn Lys Ala Leu Pro Ala Pro IIe Glu Lys Thr IIe Ser Lys Ala 370 375 380	
Lys Gly Gln Pro Arg Glu Pro Gln Val Tyr Thr Leu Pro Pro Ser Arg 385 390 395 400	
Asp Glu Leu Thr Lys Asn Gln Val Ser Leu Thr Cys Leu Val Lys Gly 405 410 415	
Phe Tyr Pro Ser Asp IIe Ala Val Glu Trp Glu Ser Asn Gly Gln Pro 420 425 430	
Glu Asn Asn Tyr Lys Thr Thr Pro Pro Val Leu Asp Ser Asp Gly Ser 435 440 445	
Phe Phe Leu Tyr Ser Lys Leu Thr Val Asp Lys Ser Arg Trp Gln Gln 450 455 460	
Gly Asn Val Phe Ser Cys Ser Val Met His Glu Ala Leu His Asn His 465 470 475 480	
Tyr Thr Gln Lys Ser Leu Ser Leu Ser Pro Gly Lys 485 490	
:210> 45 :211> 1482 :212> ADN :213> Secuencia artificial	
:220> :223> Proteína de unión específica a CD37	
:400> 45	
atggaagece cageteaget tetetteete etgetaetet ggeteecaga taccacegga	60
gaaattgtgt tgacacagtc tccagccacc ctgtctttgt ctccaggcga aagagccacc	120
ctctcctgcc gagcaagtca aagtgtttac agctacttag cctggtacca acagaaacct	180
ggccaggete ctaggeteet catetatttt gcaaaaacet tagcagaagg aattecagee	240

aggitcagtg gcagtggatc cgggacagac ttcactctca ccatcagcag cctagagcct 300 gaagattttg cagtttatta ctgtcaacat cattccgata atccgtggac attcggccaa 360 gggaccaagg tggaaatcaa aggtggcggt ggctcgggcg gtggtggatc tggaggaggt gggaccggtg aggtgcagct ggtgcagtct ggagcagagg tgaaaaagcc cggagagtct ctgaagattt cctgtaaggg atccggttac tcattcactg gctacaatat gaactgggtg 540 cgccagatgc ccgggaaagg cctcgagtgg atgggcaata ttgatcctta ttatggtggt 600 actacctaca accggaagtt caagggccag gtcactatct ccgccgacaa gtccatcagc 660 720 accgcctacc tgcaatggag cagcctgaag gcctcggaca ccgccatgta ttactgtgca cgctcagtcg gccctatgga ctactggggc cgcggcaccc tggtcactgt ctcctctgat 780 caggagecea aatettetga caaaacteae acateteeae egtgeecage acetgaacte 840 ctgggtggac cgtcagtctt cctcttcccc ccaaaaccca aggacaccct catgatctcc 900 cggacccctg aggtcacatg cgtggtggtg gacgtgagcc acgaagaccc tgaggtcaag ttcaactggt acgtggacgg cgtggaggtg cataatgcca agacaaagcc gcgggaggag 1020 cagtacaaca gcacgtaccg tgtggtcagc gtcctcaccg tcctgcacca ggactggctg 1080 aatggcaagg agtacaagtg caaggtctcc aacaaagccc tcccagcccc catcgagaaa 1140 accateteca aagecaaagg geageceega gaaccacagg tgtacaccet geececatee 1200 cgggatgage tgaccaagaa ccaggtcage etgacetgee tggtcaaagg ettetateea 1260 agegacateg cegtggagtg ggagageaat gggcageegg agaacaacta caagaccaeg 1320 cetecegtge tggacteega eggeteette tteetetaca geaageteae egtggacaag 1380 agcaggtggc agcaggggaa cgtcttctca tgctccgtga tgcatgaggc tctgcacaac 1440 cactacacgc agaagagcct ctccctgtct ccgggtaaat ga 1482

```
<210> 46
<211> 493
<212> PRT
<213> Secuencia artificial
<220>
<223> Proteína de unión específica a CD37
<400> 46
Met Glu Ala Pro Ala Gln Leu Leu Phe Leu Leu Leu Trp Leu Pro
1 5 10 15
```

Asp Thr Thr Gly Glu Ile Val Leu Thr Gln Ser Pro Ala Thr Leu Ser 20 25 30
Leu Ser Pro Gly Glu Arg Ala Thr Leu Ser Cys Arg Ala Ser Gln Ser 35 40 45
Val Tyr Ser Tyr Leu Ala Trp Tyr Gln Gln Lys Pro Gly Gln Ala Pro 50 55 60
Arg Leu Leu IIe Tyr Phe Ala Lys Thr Leu Ala Glu Gly IIe Pro Ala 65 70 75 80
Arg Phe Ser Gly Ser Gly Ser Gly Thr Asp Phe Thr Leu Thr Ile Ser 85 90 95
Ser Leu Glu Pro Glu Asp Phe Ala Val Tyr Tyr Cys Gln His His Ser 100 105 110
Asp Asn Pro Trp Thr Phe Gly Gln Gly Thr Lys Val Glu lle Lys Gly 115 120 125
Gly Gly Gly Ser Gly Gly Gly Gly Gly Gly Thr Gly Glu 130 135 140
Val Gln Leu Val Gln Ser Gly Ala Glu Val Lys Lys Pro Gly Glu Ser 145 150 155 160
Leu Lys IIe Ser Cys Lys Gly Ser Gly Tyr Ser Phe Thr Gly Tyr Asn 165 170 175
Met Asn Trp Val Arg Gin Met Pro Gly Lys Gly Leu Glu Trp Met Gly 180 185 190
Asn Ile Asp Pro Tyr Tyr Gly Gly Thr Thr Tyr Asn Arg Lys Phe Lys 195 200 205
Gly Gln Val Thr lle Ser Ala Asp Lys Ser lle Ser Thr Ala Tyr Leu 210 215 220
Gin Trp Ser Ser Leu Lys Ala Ser Asp Thr Ala Met Tyr Tyr Cys Ala 225 230 235 240

Arg Ser Val Gly Pro Met Asp Tyr Trp Gly Arg Gly Thr Leu Val Thr 245 250 255
Val Ser Ser Asp Gln Glu Pro Lys Ser Ser Asp Lys Thr His Thr Ser 260 265 270
Pro Pro Cys Pro Ala Pro Glu Leu Leu Gly Gly Pro Ser Val Phe Leu 275 280 285
Phe Pro Pro Lys Pro Lys Asp Thr Leu Met Ile Ser Arg Thr Pro Glu 290 295 300
Val Thr Cys Val Val Val Asp Val Ser His Glu Asp Pro Glu Val Lys 305 310 315 320
Phe Asn Trp Tyr Val Asp Gly Val Glu Val His Asn Ala Lys Thr Lys 325 330 335
Pro Arg Glu Glu Gln Tyr Asn Ser Thr Tyr Arg Val Val Ser Val Leu 340 345 350
Thr Val Leu His Gln Asp Trp Leu Asn Gly Lys Glu Tyr Lys Cys Lys 355 360 365
Val Ser Asn Lys Ala Leu Pro Ala Pro Ile Glu Lys Thr Ile Ser Lys 370 375 380
Ala Lys Gly Gln Pro Arg Glu Pro Gln Val Tyr Thr Leu Pro Pro Ser 385 390 395 400
Arg Asp Glu Leu Thr Lys Asn Gln Val Ser Leu Thr Cys Leu Val Lys 405 410 415
Gly Phe Tyr Pro Ser Asp Ile Ala Val Glu Trp Glu Ser Asn Gly Gln 420 425 430
Pro Glu Asn Asn Tyr Lys Thr Thr Pro Pro Val Leu Asp Ser Asp Gly 435 440 445
Ser Phe Phe Leu Tyr Ser Lys Leu Thr Val Asp Lys Ser Arg Trp Gln 450 455 460

Gln Gly Asn Val Phe Ser Cys Ser Val Met His Glu Ala Leu His Asn 465 470 475 480

His Tyr Thr Gln Lys Ser Leu Ser Leu Ser Pro Gly Lys 485 490

<210> 47

<211> 1500

<212> ADN

<213> Secuencia artificial

<220>

<223> Proteína de unión específica a CD37

<400> 47

60 aagettgeeg ceatggaage eecagegeag ettetettee teetgetaet etggeteeca 120 gataccaccg gagaaattgt gttgacacag tctccagcca ccctgtcttt gtctccaggc 180 gaaagagcca ccctctcctg ccgagcaagt gaaaatgttt acagctactt agcctggtac 240 caacagaaac ctggccaggc tcctaggctc ctcatctatt ttgcaaaaac cttagcagaa 300 ggaattccag ccaggttcag tggcagtgga tccgggacag acttcactct caccatcagc agectagage etgaagattt tgeagtttat taetgteaae ateatteega taateegtgg 360 420 acattcggcc aagggaccaa ggtggaaatc aaaggtggcg gcggctcggg cggtggtgga tctggaggag gtgggaccgg tgaggtgcag ctggtgcagt ctggagcaga ggtgaaaaag 480 cccqqaqaqt ctctqaagat ttcctgtaag ggatccggtt actcattcac tggctacaat 540 atgaactggg tgcgccagat gcccgggaaa ggcctcgagt ggatgggcaa tattgatcct 600 tattatggtg gtactaccta caaccggaag ttcaagggcc aggtcactat ctccgccgac 720 aagtecatea geacegeeta eetgeaatgg ageageetga aggeetegga cacegeeatg 780 tattactgtg cacgeteagt eggeeettte gactactggg geeagggeae eetggteact gtotoctotg atcaggagec caaatettet gacaaaacte acacatetee acegtgecea 840 geacetgaae teetgggtgg accgteagte tteetettee eeceaaaace caaggacace 900 ctcatgatct cccggacccc tgaggtcaca tgcgtggtgg tggacgtgag ccacgaagac 960 1020 cctgaggtca agttcaactg gtacgtggac ggcgtggagg tgcataatgc caagacaaag ccgcgggagg agcagtacaa cagcacgtac cgtgtggtca gcgtcctcac cgtcctgcac 1080 caggactggc tgaatggcaa ggagtacaag tgcaaggtct ccaacaaagc cctcccagcc 1140

cccatcgaga aaaccatctc caaagccaaa gggcagcccc gagaaccaca ggtgtacacc 1200 ctgcccccat cccgggatga gctgaccaag aaccaggtca gcctgacctg cctggtcaaa 1260 ggcttctatc caagcgacat cgccgtggag tgggagagca atgggcagcc ggagaacaac 1320 tacaagacca cgcctcccgt gctggactcc gacggctcct tcttcctcta cagcaagctc 1380 accgtggaca agagcaggtg gcagcagggg aacgtcttct catgctccgt gatgcatgag 1440 gctctgcaca accactacac gcagaagagc ctctccctgt ctccgggtaa atgatctaga 1500

<210> 48

<211> 493

<212> PRT

<213> Secuencia artificial

<220>

<223> Proteína de unión específica a CD37

<400> 48

Met Glu Ala Pro Ala Gln Leu Leu Phe Leu Leu Leu Leu Trp Leu Pro 1 5 10 15

Asp Thr Thr Gly Glu lle Val Leu Thr Gln Ser Pro Ala Thr Leu Ser 20 25 30

Leu Ser Pro Gly Glu Arg Ala Thr Leu Ser Cys Arg Ala Ser Glu Asn 35 40 45

Val Tyr Ser Tyr Leu Ala Trp Tyr Gln Gln Lys Pro Gly Gln Ala Pro 50 55 60

Arg Leu Leu IIe Tyr Phe Ala Lys Thr Leu Ala Glu Gly IIe Pro Ala 65 70 75 80

Arg Phe Ser Gly Ser Gly Ser Gly Thr Asp Phe Thr Leu Thr Ile Ser 85 90 95

Ser Leu Glu Pro Glu Asp Phe Ala Val Tyr Tyr Cys Gln His His Ser 100 105 110

Asp Asn Pro Trp Thr Phe Gly Gln Gly Thr Lys Val Glu lle Lys Gly 115 120 125

Gly Gly Gly Ser Gly Gly Gly Gly Gly Gly Gly Thr Gly Glu

130	135	140	
Val Gln Leu V 145		Ala Glu Val Lys Lys P 155 160	ro Gly Glu Ser
Leu Lys IIe Se 165		Ger Gly Tyr Ser Phe 1 175	hr Gly Tyr Asn
Met Asn Trp \	/al Arg Gln Met	Pro Gly Lys Gly Leu	Glu Trp Met Gly
180	185	190	
Asn ile Asp P	ro Tyr Tyr Gly G	lly Thr Thr Tyr Asn Ar	g Lys Phe Lys
195	200	205	
Gly Gln Val T	hr IIe Ser Ala As	sp Lys Ser lle Ser Thi	Ala Tyr Leu
210	215	220	
Gln Trp Ser S 225		Ser Asp Thr Ala Met ¹ 235 240	Tyr Tyr Cys Ala
Arg Ser Val G 245		Tyr Trp Gly Gln Gly ² 255	Γhr Leu Val Thr
Val Ser Ser A	sp Gln Glu Pro	Lys Ser Ser Asp Lys	Thr His Thr Ser
260	265	270	
Pro Pro Cys I	Pro Ala Pro Glu	Leu Leu Gly Gly Pro	Ser Val Phe Leu
275	280	285	
Phe Pro Pro l	Lys Pro Lys Asp	Thr Leu Met IIe Ser	Arg Thr Pro Glu
290	295	300	
Val Thr Cys V	/al Val Val Asp \	/al Ser His Glu Asp P	ro Glu Val Lys
305	310	315 320	
Phe Asn Trp 325		Val Glu Val His Asn A 335	Ala Lys Thr Lys
Pro Arg Glu 0	Glu Gln Tyr Asn	Ser Thr Tyr Arg Val V	'al Ser Val Leu
340	345	350	

Thr Val Leu His Gln Asp Trp Leu Asn Gly Lys Glu Tyr Lys Cys Lys

3	355 360	365	
Val Se 370		Pro Ile Glu Lys Thr Ile Ser Lys 80	
Ala Ly 385	rs Gly Gln Pro Arg Glu Pro 0 390 395	GIn Val Tyr Thr Leu Pro Pro Ser 400	
Arg As	sp Glu Leu Thr Lys Asn Gln 405 410	Val Ser Leu Thr Cys Leu Val Lys 415	
Gly Pl	he Tyr Pro Ser Asp Ile Ala V 420 425	al Glu Trp Glu Ser Asn Gly Gln 430	
	lu Asn Asn Tyr Lys Thr Thr l 135 440	Pro Pro Val Leu Asp Ser Asp Gly 445	
Ser P 450		ı Thr Val Asp Lys Ser Arg Trp Gln 60	
Gln G 465	lly Asn Val Phe Ser Cys Ser 470 475	Val Met His Glu Ala Leu His Asn 480	
His Ty	yr Thr Gln Lys Ser Leu Ser l 485 490	Leu Ser Pro Gly Lys	
<210> <400> 000	49 49		
<210> <400> 000	50 50		
<210> <211> <212> <213>	51 1381 ADN Secuencia artificial		
<220> <223>	Proteína de unión específica a	CD37	
<400>	51		
aagct	tgccg ccatggaagc cccago	geag ettetettee teetgetaet etggeteeea	60
gatac	caccg gagaaattgt gttgaca	cag tetecageea ecetgtettt gtetecagge	120

180 gaaagagcca ccctctcctg ccgagcaagt gaaaatgttt acagctactt agcctggtac caacagaaac ctggccaggc tcctaggctc ctcatctatt ttgcaaaaac cttagcagaa 240 ggaattccag ccaggttcag tggcagtgga tccgggacag acttcactct caccatcagc agcctagagc ctgaagattt tgcagtttat tactgtcaac atcattccga taatccgtgg 420 acatteggee aagggaecaa ggtggaaate aaaggtggeg gtggeteggg eggtggtgga tctggaggag gtgggaccgg tgaggtgcag ctggtgcagt ctggagcaga ggtgaaaaag 480 cccggagagt ctctgaagat ttcctgtaag ggatccggtt actcattcac tggctacaat 540 atgaactggg tgcgccagat gcccgggaaa ggcctcgagt ggatgggcaa tattgatcct 600 tattatggtg gtactaccta caaccggaag ttcaagggcc aggtcactat ctccgccgac 660 720 aagtecatea geacegeeta eetgeaatgg ageageetga aggeetegga cacegeeatg tattactgtg cacgctcagt cggccctttc gactcctggg gccagggcac cctggtcact 780 gtctcctctg atcaggagcc caaatcttct gacaaaactc acacatctcc accgtgccca 840 900 geacetgaae teetgggtgg accgteagte tteetettee eeccaaaaee caaggacaee 960 ctcatgatct cccggacccc tgaggtcaca tgcgtggtgg tggacgtgag ccacgaagac cctgaggtca agttcaactg gtacgtggac ggcgtggagg tgcataatgc caagacaaag ccgcgggagg agcagtacaa cagcacgtac cgtgtggtca gcgtcctcac cgtcctgcac 1080 caggactggc tgaatggcaa ggagtacaag tgcaaggtct ccaacaaagc cctcccagcc 1140 cccatcgaga aaaccatctc caaagccaaa gggcagcccc gagaaccaca ggtgtacacc 1200 ctgcccccat cccgggatga gctgaccaag aaccaggtca gcctgacctg cctggtcaaa 1260 ggettetate caagegacat egeegtggag tgggagagea atgggeagee ggagaacaac 1320 tacaagacca cgcctcccgt gctggactcc gacggctcct tcttcctcta cagcaagctc 1380

а

1381

<210> 52 <211> 493 <212> PRT

<213> Secuencia artificial

<220>

<223> Proteína de unión específica a CD37

<400> 52

Met G	lu Ala Pi	ro Ala Gln Le	eu Leu f	he Leu L	eu Leu Lei	ı Trp Leu Pro
1	5	10		15		
Asp Th	r Thr Gly 20	Glu lle Val Lo 25	eu Thr G 30		Ala Thr Leu	Ser
Leu Se 35		/ Glu Arg Ala [·] 40	Thr Leu 45	Ser Cys A	rg Ala Ser Gl	lu Asn
Val Tyr 50	Ser Tyr I	Leu Ala Trp T 55	yr Gln G 60	In Lys Pro	Gly Gln Ala	Pro
Arg Lei 65	u Leu IIe 70	Tyr Phe Ala L) 7	ys Thr L 5	Leu Ala Glu 80	ı Gly lle Pro	Ala
Arg Ph	e Ser Gly 85	y Ser Gly Ser 90	Gly Thr	Asp Phe T 95	hr Leu Thr I	le Ser
Ser Le	u Glu Pro 100	o Glu Asp Phe 105		Tyr Tyr Cy 110	ys Gln His Hi	is Ser
•	n Pro Τη I5	p Thr Phe Gly 120	Gin Gly 129		al Glu lle Lys	s Gly
Gly Gly 130	y Gly Ser	Gly Gly Gly 0 135	Gly Ser 140	Gly Gly Gl	y Gly Thr Gly	y Glu
		Gln Ser Gly / 50				ı Ser
Leu Ly	s Ile Ser 165	Cys Lys Gly 9 170	Ser Gly	Tyr Ser Ph 175	e Thr Gly Ty	r Asn
Met As	n Trp Va 180	l Arg Gln Met 185		Lys Gly Le 190	eu Glu Trp M	let Gly
	Asp Pro 95	Tyr Tyr Gly 0 200	Sly Thr T 20		Arg Lys Phe	e Lys
Gly Gli 210	n Val Thr	lle Ser Ala A 215	sp Lys S 220	er lle Ser	Thr Ala T yr L	eu
Gln Tr	p Ser Se	r Leu Lys Ala	Ser Asp	Thr Ala M	et Tyr Tyr Cy	rs Ala

225	230	23	5	240	
Arg Ser \	/al Gly Pro F 245	he Asp Se 250	er Trp Gly (255	Gin Gly Thr Led	ı Val Thr
	Ser Asp Gln (60	Glu Pro Lys 265	s Ser Ser A 270	Asp Lys Thr His	Thr Ser
Pro Pro 0 275		Pro Glu Le 30	u Leu Gly 285	Gly Pro Ser Va	l Phe Leu
Phe Pro 290	Pro Lys Pro 295		nr Leu Met 300	lle Ser Arg Th	r Pro Glu
Val Thr C 305	Cys Val Val V 310	al Asp Val 31		u Asp Pro Glu 320	Val Lys
Phe Asn	Trp Tyr Val A 325	Asp Gly Va 330	l Glu Val H 335	is Asn Ala Lys	Thr Lys
	Glu Glu Gln ⁻ 40	Гуг Asn Se 345	r Thr Tyr A 350	rg Val Val Ser	Val Leu
Thr Val L 355		sp Trp Lei 60	u Asn Gly l 365	ys Glu Tyr Lys	Cys Lys
Val Ser A 370	Asn Lys Ala L 375		ı Pro lle Gl 380	u Lys Thr lle S	er Lys
Ala Lys (385	Gly Gln Pro A 390	Arg Glu Pro 39		yr Thr Leu Pro 400	Pro Ser
Arg Asp	Glu Leu Thr 405	Lys Asn G 410	In Val Ser i 41	Leu Thr Cys Le	eu Val Lys
•	Tyr Pro Ser / 20	Asp Ile Ala 425	Val Glu Tr 430	p Glu Ser Asn	Gly Gln
Pro Glu / 435	•	Lys Thr Th 40	r Pro Pro \ 445	/al Leu Asp Se	r Asp Gly
Ser Phe	Phe Leu Tyr	Ser Lys L	eu Thr Val	Asp Lys Ser A	rg Trp Gln

```
Gln Gly Asn Val Phe Ser Cys Ser Val Met His Glu Ala Leu His Asn
 465
               470
                            475
                                         480
 His Tyr Thr Gln Lys Ser Leu Ser Leu Ser Pro Gly Lys
                        490
<210> 53
<400> 53
000
<210> 54
<400> 54
000
<210> 55
<400> 55
000
<210> 56
<400> 56
000
<210> 57
<400> 57
000
<210> 58
<400> 58
000
<210> 59
<400> 59
000
<210> 60
<400> 60
000
<210> 61
<211> 11
<212> PRT
<213> Secuencia artificial
<220>
<223> CDR
<400> 61
Arg Ala Ser Glu Asn Val Tyr Ser Tyr Leu Ala
1
          5
                       10
<210> 62
<211> 11
<212> PRT
<213> Secuencia artificial
<220>
<223> CDR
```

450

<400> 62

455

460

```
Arg Thr Ser Glu Asn Val Tyr Ser Tyr Leu Ala
<210> 63
<211> 5
<212> PRT
<213> Secuencia artificial
<220>
<223> CDR
<400> 63
Gly Tyr Met Asn Met
           5
<210> 64
<211> 7
<212> PRT
<213> Secuencia artificial
<220>
<223> CDR
<400> 64
 Phe Ala Lys Thr Leu Ala Glu
          5
<210> 65
<211> 17
<212> PRT
<213> Secuencia artificial
<220>
<223> CDR
<400> 65
 Asn lle Asp Pro Tyr Tyr Gly Gly Thr Thr Tyr Asn Arg Lys Phe Lys
            5
                   10
 Gly
<210> 66
<211> 9
<212> PRT
<213> Secuencia artificial
<220>
<223> CDR
<400> 66
  Gln His His Ser Asp Asn Pro Trp Thr
<210> 67
<211> 7
<212> PRT
<213> Secuencia artificial
```

<220>

```
<223> CDR
<400> 67
Ser Val Gly Pro Phe Asp Tyr
          5
<210> 68
<211> 7
<212> PRT
<213> Secuencia artificial
<220>
<223> CDR
<400> 68
 Ser Val Gly Pro Phe Asp Ser
           5
<210> 69
<211> 7
<212> PRT
<213> Secuencia artificial
<220>
<223> CDR
<400> 69
Ser Val Gly Pro Met Asp Tyr
           5
<210> 70
<400> 70
000
<210> 71
<400> 71
000
<210> 72
<400> 72
000
<210> 73
<400> 73
000
<210> 74
<400> 74
000
<210> 75
<400> 75
000
<210> 76
<400> 76
000
<210> 77
<400> 77
000
```

<210> 78

<400> 000	78
<210><211><211><212><213>	1500
<220> <223>	Proteína de unión específica a CD37
<400>	79

60 aagettgeeg eeatggaage eecagegeag ettetettee teetgetaet etggeteeea gataccaccg gagaaattgt gttgacacag tctccagcca ccctgtcttt gtctccaggc 120 180 gaaagagcca ccctctcctg ccgagcaagt gaaaatgttt acagctactt agcctggtac caacagaaac ctggccaggc tcctaggctc ctcatctatt ttgcaaaaac cttagcagaa 240 ggaattccag ccaggttcag tggcagtgga tccgggacag acttcactct caccatcagc 300 agcctagagc ctgaagattt tgcagtttat tactgtcaac atcattccga taatccgtgg acattcggcc aagggaccaa ggtggaaatc aaaggtggcg gtggctcggg cggtggtgga 420 480 tctggaggag gtgggaccgg tgaggtgcag ctggtgcagt ctggagcaga ggtgaaaaag cccggagagt ctctgaagat ttcctgtaag ggatccggtt actcattcac tggctacaat 540 atgaactggg tgcgccagat gcccgggaaa ggcctcgagt ggatgggcaa tattgatcct 600 tattatggtg gtactaccta caaccggaag ttcaagggcc aggtcactat ctccgccgac 660 aagtccatca gcaccgccta cctgcaatgg agcagcctga aggcctcgga caccgccatg 720 tattactgtg cacgctcagt cggccctttc gacctctggg gcagaggcac cctggtcact 780 gtctcctctg atcaggagcc caaatcttct gacaaaactc acacatctcc accgtgccca 840 gcacctgaac teetgggtgg accgteagte tteetettee ecceaaaace caaggacace 900 ctcatgatct cccggacccc tgaggtcaca tgcgtggtgg tggacgtgag ccacgaagac 960 cctgaggtca agttcaactg gtacgtggac ggcgtggagg tgcataatgc caagacaaag 1020 ccgcgggagg agcagtacaa cagcacgtac cgtgtggtca gcgtcctcac cgtcctgcac 1080 caggactggc tgaatggcaa ggagtacaag tgcaaggtct ccaacaaagc cctcccagcc 1140 cccatcgaga aaaccatctc caaagccaaa gggcagcccc gagaaccaca ggtgtacacc 1200 ctgcccccat cccgggatga gctgaccaag aaccaggtca gcctgacctg cctggtcaaa 1260 ggettetate caagegacat egeegtggag tgggagagea atgggeagee ggagaacaac 1320 tacaagacca cgcctcccgt gctggactcc gacggctcct tcttcctcta cagcaagctc 1380 accgtggaca agagcaggtg gcagcagggg aacgtcttct catgctccgt gatgcatgag 1440 gctctgcaca accactacac gcagaagagc ctctccctgt ctccgggtaa atgatctaga 1500

<210> 80

<211> 493

<212> PRT

<213> Secuencia artificial

<220>

<223> Proteína de unión específica a CD37 <400> 80 Met Glu Ala Pro Ala Gln Leu Leu Phe Leu Leu Leu Leu Trp Leu Pro Asp Thr Thr Gly Glu lle Val Leu Thr Gln Ser Pro Ala Thr Leu Ser Leu Ser Pro Gly Glu Arg Ala Thr Leu Ser Cys Arg Ala Ser Glu Asn Val Tyr Ser Tyr Leu Ala Trp Tyr Gln Gln Lys Pro Gly Gln Ala Pro Arg Leu Leu Ile Tyr Phe Ala Lys Thr Leu Ala Glu Gly Ile Pro Ala Arg Phe Ser Gly Ser Gly Ser Gly Thr Asp Phe Thr Leu Thr lle Ser Ser Leu Glu Pro Glu Asp Phe Ala Val Tyr Tyr Cys Gln His His Ser Asp Asn Pro Trp Thr Phe Gly Gln Gly Thr Lys Val Glu lle Lys Gly Gly Gly Gly Ser Gly Gly Gly Gly Gly Gly Gly Thr Gly Glu Val Gln Leu Val Gln Ser Gly Ala Glu Val Lys Lys Pro Gly Glu Ser Leu Lys Ile Ser Cys Lys Gly Ser Gly Tyr Ser Phe Thr Gly Tyr Asn Met Asn Trp Val Arg Gln Met Pro Gly Lys Gly Leu Glu Trp Met Gly

Asn Ile Asp Pro Tyr Tyr Gly Gly Thr Thr Tyr Asn Arg Lys Phe Lys 195 200 205
Gly Gln Val Thr lie Ser Ala Asp Lys Ser Ile Ser Thr Ala Tyr Leu 210 215 220
Gin Trp Ser Ser Leu Lys Ala Ser Asp Thr Ala Met Tyr Tyr Cys Ala 225 230 235 240
Arg Ser Val Gly Pro Phe Asp Leu Trp Gly Arg Gly Thr Leu Val Thr 245 250 255
Val Ser Ser Asp Gln Glu Pro Lys Ser Ser Asp Lys Thr His Thr Ser 260 265 270
Pro Pro Cys Pro Ala Pro Glu Leu Leu Gly Gly Pro Ser Val Phe Leu 275 280 285
Phe Pro Pro Lys Pro Lys Asp Thr Leu Met IIe Ser Arg Thr Pro Glu 290 295 300
Val Thr Cys Val Val Val Asp Val Ser His Glu Asp Pro Glu Val Lys 305 310 315 320
Phe Asn Trp Tyr Val Asp Gly Val Glu Val His Asn Ala Lys Thr Lys 325 330 335
Pro Arg Glu Glu Gln Tyr Asn Ser Thr Tyr Arg Val Val Ser Val Leu 340 345 350
Thr Val Leu His Gln Asp Trp Leu Asn Gly Lys Glu Tyr Lys Cys Lys 355 360 365
Val Ser Asn Lys Ala Leu Pro Ala Pro Ile Glu Lys Thr Ile Ser Lys 370 375 380
Ala Lys Gly Gln Pro Arg Glu Pro Gln Val Tyr Thr Leu Pro Pro Ser 385 390 395 400
Arg Asp Glu Leu Thr Lys Asn Gln Val Ser Leu Thr Cys Leu Val Lys 405 410 415

Gly Phe Tyr Pro Ser Asp lle Ala Val Glu Trp Glu Ser Asn Gly Gln 420 425 430

Pro Glu Asn Asn Tyr Lys Thr Thr Pro Pro Val Leu Asp Ser Asp Gly 435 440 445

Ser Phe Phe Leu Tyr Ser Lys Leu Thr Val Asp Lys Ser Arg Trp Gln 450 455 460

Gln Gly Asn Val Phe Ser Cys Ser Val Met His Glu Ala Leu His Asn 465 470 475 480

His Tyr Thr Gln Lys Ser Leu Ser Leu Ser Pro Gly Lys 485 490

<210> 81

<211> 1494

<212> ADN

<213> Secuencia artificial

<220>

<223> Proteína de unión específica a CD37

<400> 81

aagettgeeg ceatggaage eecageteag ettetettee teetgetaet etggeteeca 60 120 gataccaccg gagaaattgt gttgacacag tetecageca ecetgtettt gtetecagge gaaagagcca ccctctcctg ccgagcaagt gaaaatgttt acagctactt agcctggtac 180 caacagaaac ctggccaggc tcctaggctc ctcatctatt ttgcaaaaac cttagcagaa 240 300 ggaattccag ccaggttcag tggcagtgga tccgggacag acttcactct caccatcagc agectagage etgaagattt tgeagtttat taetgteaae ateatteega taateegtgg 420 acatteggee aagggaceaa ggtggaaate aaaggtggeg gtggeteggg eggtggtgga tctggaggag gtggggctag cgaggtgcag ctggtgcagt ctggagcaga ggtgaaaaag 480 cccggagagt ctctgaagat ttcctgtaag ggatccggtt actcattcac tagctacaat 540 atgaactggg tgcgccagat gcccgggaaa ggcctggagt ggatgggcaa tattgatcct 600 tattatggtg gtactaacta cgcccagaag ttccagggcc aggtcactat ctccgccgac 660 aagtecatea geacegeeta eetgeaatgg ageageetga aggeetegga cacegeeatg 720 tattactgtg cacgctcagt cggccctatg gactactggg gccgcggcac cctggtcact 780 gtctcctctg atcaggagcc caaatcttct gacaaaactc acacatctcc accgtgccca 840

gcacctgaac teetgggtgg accgtcagte tteetettee ecceaaaace caaggacace 900
cteatgatet eceggaceee tgaggteaca tgegtggtgg tggacgtgag ecacgaagae 960
cetgaggtea agtteaactg gtacgtggac ggegtggagg tgeataatge caagacaaag 1020
cegegggagg agcagtacaa eagcacgtae egtgtggtea gegteeteac egteetgeae 1080
caggactgge tgaatggeaa ggagtacaag tgeaaggtet ecaacaaage eeteecagee 1140
ceeategaga aaaceatete eaaageeaaa gggeageeee gagaaceaca ggtgtacaee 1200
ctgeeceeat eeegggatga getgaceaag aaceaggtea geetgacetg eetggteaaa 1260
ggettetate eaagegacat egeegtggag tgggagagea atgggeagee ggagaacaac 1320
tacaagacea egeeteeegt getggactee gaeggeteet tetteeteta eagcaagete 1380
accgtggaca agageaggtg geageagggg aacgtettet eatgeteegt gatgeatgag 1440
getetgeaca accactacae geagaagage eteteeetgt eteegggtaa atga 1494

```
<210> 82
<211> 493
```

<211> +35 <212> PRT

<213> Secuencia artificial

<220>

<223> Proteína de unión específica a CD37

<400> 82

Met Glu Ala Pro Ala Gln Leu Leu Phe Leu Leu Leu Leu Trp Leu Pro 1 5 10 15

Asp Thr Thr Gly Glu lle Val Leu Thr Gln Ser Pro Ala Thr Leu Ser 20 25 30

Leu Ser Pro Gly Glu Arg Ala Thr Leu Ser Cys Arg Ala Ser Glu Asn 35 40 45

Val Tyr Ser Tyr Leu Ala Trp Tyr Gln Gln Lys Pro Gly Gln Ala Pro 50 55 60

Arg Leu Leu IIe Tyr Phe Ala Lys Thr Leu Ala Glu Gly IIe Pro Ala 65 70 75 80

Arg Phe Ser Gly Ser Gly Ser Gly Thr Asp Phe Thr Leu Thr Ile Ser 85 90 95

Ser Leu Glu Pro Glu Asp Phe Ala Val Tyr Tyr Cys Gln His His Ser 100 105 110
Asp Asn Pro Trp Thr Phe Gly Gln Gly Thr Lys Val Glu Ile Lys Gly 115 120 125
Gly Gly Gly Ser Gly Gly Gly Gly Gly Gly Ala Ser Glu 130 135 140
Val Gln Leu Val Gln Ser Gly Ala Glu Val Lys Lys Pro Gly Glu Ser 145 150 155 160
Leu Lys IIe Ser Cys Lys Gly Ser Gly Tyr Ser Phe Thr Ser Tyr Asn 165 170 175
Met Asn Trp Val Arg Gln Met Pro Gly Lys Gly Leu Glu Trp Met Gly 180 185 190
Asn Ile Asp Pro Tyr Tyr Gly Gly Thr Asn Tyr Ala Gln Lys Phe Gln 195 200 205
Gly Gln Val Thr Ile Ser Ala Asp Lys Ser Ile Ser Thr Ala Tyr Leu 210 215 220
Gln Trp Ser Ser Leu Lys Ala Ser Asp Thr Ala Met Tyr Tyr Cys Ala 225 230 235 240
Arg Ser Val Gly Pro Met Asp Tyr Trp Gly Arg Gly Thr Leu Val Thr 245 250 255

195	200	203	
Gly Gln Val TI	nr IIe Ser Ala A	asp Lys Ser lle	Ser Thr Ala Tyr Leu
210	215	220	
Gln Trp Ser S	er Leu Lys Ala	Ser Asp Thr A	la Met Tyr Tyr Cys Ala
225	230	235	240
Arg Ser Val G 245			rg Gly Thr Leu Val Thr i
Val Ser Ser As	sp Gln Glu Pro	Lys Ser Ser A	sp Lys Thr His Thr Ser
260	265	270	
Pro Pro Cys F	Pro Ala Pro Glu	u Leu Leu Gly (Gly Pro Ser Val Phe Leu
275	280	285	
Phe Pro Pro L	ys Pro Lys As	p Thr Leu Met	lle Ser Arg Thr Pro Glu
290	295	300	
Val Thr Cys V	'al Val Val Asp	Val Ser His Gli	u Asp Pro Glu Val Lys
305	310	315	320

Phe Asn Trp Tyr Val Asp Gly Val Glu Val His Asn Ala Lys Thr Lys 325 330 335

Pro Arg Glu Glu Gln Tyr Asn Ser Thr Tyr Arg Val Val Ser Val Leu 340 345 350	
Thr Val Leu His Gln Asp Trp Leu Asn Gly Lys Glu Tyr Lys Cys Lys 355 360 365	
Val Ser Asn Lys Ala Leu Pro Ala Pro Ile Glu Lys Thr Ile Ser Lys 370 375 380	
Ala Lys Gly Gln Pro Arg Glu Pro Gln Val Tyr Thr Leu Pro Pro Ser 385 390 395 400	
Arg Asp Glu Leu Thr Lys Asn Gln Val Ser Leu Thr Cys Leu Val Lys 405 410 415	
Gly Phe Tyr Pro Ser Asp lle Ala Val Glu Trp Glu Ser Asn Gly Gln 420 425 430	
Pro Glu Asn Asn Tyr Lys Thr Thr Pro Pro Val Leu Asp Ser Asp Gly 435 440 445	
Ser Phe Phe Leu Tyr Ser Lys Leu Thr Val Asp Lys Ser Arg Trp Gln 450 455 460	
Gln Gly Asn Val Phe Ser Cys Ser Val Met His Glu Ala Leu His Asn 465 470 475 480	
His Tyr Thr Gln Lys Ser Leu Ser Leu Ser Pro Gly Lys 485 490	
<210> 83 <211> 1476 <212> ADN <213> Secuencia artificial	
<220> <223> Proteína de unión específica a CD37	
<400> 83	
aagettgeeg ecatggaage eccagegeag ettetettee teetgetaet etggeteeca	60

120 gataccaccg gagaaattgt gttgacacag tctccagcca ccctgtcttt gtctccaggc 180 gaaagagcca ccctctcctg ccgagcaagt gagaatgttt acagctactt agcctggtac caacagaaac ctggccaggc tcctaggctc ctcatctatt ttgcaaaaac cttagcagaa gggattccag ccagattcag tggcagtggt tccgggacag acttcactct caccatcagc agcctagagc ctgaagattt tgcagtttat tactgtcaac atcattccga taatccgtgg acattcggcc aagggaccaa ggtggaaatc aaaggtggcg gtggctcggg cggtggtgga 420 480 tctggaggag gtgggagcgg aggaggagct agcgaggtgc agctggtgca gtctggagca gaggtgaaaa agcccggaga gtctctgaag atttcctgta agggatccgg ttactcattc 540 actggctaca atatgaactg ggtgcgccag atgcccggga aaggcctcga atggatgggc 600 aatattgatc cttattatgg tggtactacc tacaaccgga agttcaaggg ccaggtcact 660 atctccgccg acaagtccat cagcaccgcc tacctgcaag gagcagcctg aaggcctcgg 720 780 acaccgccat gtattactgt gcacgctcag tcggcccttt cgactcctgg ggccagggca ccctggtcac tgtctcgagt tgtccaccgt gcccagcacc tgaactcctg ggtggaccgt 840 cagtetteet etteececa aaacccaagg acacceteat gateteegg acccetgagg 960 tcacatgcgt ggtggtggac gtgagccacg aagaccctga ggtcaagttc aactggtacg tggacggcgt ggaggtgcat aatgccaaga caaagccgcg ggaggagcag tacaacagca 1020 cgtaccgtgt ggtcagcgtc ctcaccgtcc tgcaccagga ctggctgaat ggcaaggagt 1080 acaagtgcaa ggtctccaac aaagccctcc cagcccccat cgagaaaacc atctccaaag 1140 ccaaagggca gccccgagaa ccacaggtgt acaccctgcc cccatcccgg gatgagctga 1200 ccaagaacca ggtcagcctg acctgcctgg tcaaaggctt ctatccaagc gacatcgccg 1260 tggagtggga gagcaatggg cagccggaga acaactacaa gaccacgcct cccgtgctgg 1320 actocgacgg etcettette etctacagea ageteacegt ggacaagage aggtggeage 1380 aggggaacgt cttctcatgc tccgtgatgc atgaggctct gcacaaccac tacacgcaga 1440 1476 agageetete eetgteteeg ggtaaatgae tetaga

<210> 84

<211> 485

<212> PRT

<213> Secuencia artificial

<220>

<223> Proteína de unión específica a CD37

<400)>	84

Met	Glu Ala	Pro Ala Gln Leu	Leu Phe Leu	Leu Leu Leu	Trp Leu Pro
1	5	10	15		

- Asp Thr Thr Gly Glu lle Val Leu Thr Gln Ser Pro Ala Thr Leu Ser 20 25 30
- Leu Ser Pro Gly Glu Arg Ala Thr Leu Ser Cys Arg Ala Ser Glu Asn 35 40 45
- Val Tyr Ser Tyr Leu Ala Trp Tyr Gln Gln Lys Pro Gly Gln Ala Pro 50 55 60
- Arg Leu Leu lle Tyr Phe Ala Lys Thr Leu Ala Glu Gly lle Pro Ala 65 70 75 80
- Arg Phe Ser Gly Ser Gly Ser Gly Thr Asp Phe Thr Leu Thr Ile Ser 85 90 95
- Ser Leu Glu Pro Glu Asp Phe Ala Val Tyr Tyr Cys Gln His His Ser 100 105 110
- Asp Asn Pro Trp Thr Phe Gly Gln Gly Thr Lys Val Glu lie Lys Gly 115 120 125
- Gly Gly Gly Ser Gly Gly Gly Ser Gly Gly Gly Ser Gly Gly 130 135 140
- Gly Ala Ser Glu Val Gln Leu Val Gln Ser Gly Ala Glu Val Lys Lys 145 150 155 160
- Pro Gly Glu Ser Leu Lys lle Ser Cys Lys Gly Ser Gly Tyr Ser Phe 165 170 175
- Thr Gly Tyr Asn Met Asn Trp Val Arg Gln Met Pro Gly Lys Gly Leu 180 185 190
- Glu Trp Met Gly Asn Ile Asp Pro Tyr Tyr Gly Gly Thr Thr Tyr Asn 195 200 205

Arg Lys Phe Lys Gly Gln Val Thr lle Ser Ala Asp Lys Ser Ile Ser 210 215 220
Thr Ala Tyr Leu Gln Trp Ser Ser Leu Lys Ala Ser Asp Thr Ala Met 225 230 235 240
Tyr Tyr Cys Ala Arg Ser Val Gly Pro Phe Asp Ser Trp Gly Gln Gly 245 250 255
Thr Leu Val Thr Val Ser Ser Cys Pro Pro Cys Pro Ala Pro Glu Leu 260 265 270
Leu Gly Gly Pro Ser Val Phe Leu Phe Pro Pro Lys Pro Lys Asp Thi 275 280 285
Leu Met IIe Ser Arg Thr Pro Glu Val Thr Cys Val Val Val Asp Val 290 295 300
Ser His Glu Asp Pro Glu Val Lys Phe Asn Trp Tyr Val Asp Gly Val 305 310 315 320
Glu Val His Asn Ala Lys Thr Lys Pro Arg Glu Glu Gln Tyr Asn Ser 325 330 335
Thr Tyr Arg Val Val Ser Val Leu Thr Val Leu His Gln Asp Trp Leu 340 345 350
Asn Gly Lys Glu Tyr Lys Cys Lys Val Ser Asn Lys Ala Leu Pro Ala 355 360 365
Pro Ile Glu Lys Thr Ile Ser Lys Ala Lys Gly Gln Pro Arg Glu Pro 370 375 380
Gin Val Tyr Thr Leu Pro Pro Ser Arg Asp Glu Leu Thr Lys Asn Gin 385 390 395 400
Val Ser Leu Thr Cys Leu Val Lys Gly Phe Tyr Pro Ser Asp lle Ala 405 410 415
Val Glu Trp Glu Ser Asn Gly Gln Pro Glu Asn Asn Tyr Lys Thr Thr

Pro Pro Val Leu Asp Ser Asp Gly Ser Phe Phe Leu Tyr Ser Lys Leu 435 440 445

Thr Val Asp Lys Ser Arg Trp Gln Gln Gly Asn Val Phe Ser Cys Ser 450 455 460

Val Met His Glu Ala Leu His Asn His Tyr Thr Gln Lys Ser Leu Ser 465 470 475 480

Leu Ser Pro Gly Lys 485

<210> 85 <211> 1494

<211> 1434 <212> ADN

<213> Secuencia artificial

<220>

<223> Proteína de unión específica a CD37

<400> 85

aagettgeeg eeatggaage eecageteag ettetettee teetgetaet etggeteeea 60
gataccaccg gagaaattgt gttgacacag tctccagcca ccctgtcttt gtctccaggc 120
gaaagagcca ccctctcctg ccgaacaagt gaaaatgttt acagctactt agcctggtac 180
caacagaaac ctggccaggc tcctaggctc ctcatctatt ttgcaaaaac cttagcagaa 240
ggaattccag ccaggttcag tggcagtgga tccgggacag acttcactct caccatcagc 300
agcctagage etgaagattt tgeagtttat taetgteaac ateatteega taateegtgg 360
acattcggcc aagggaccaa ggtggaaatc aaaggtggcg gtggctcggg cggtggtgga 420
tctggaggag gtgggaccgg tgaggtgcag ctggtgcagt ctggagcaga ggtgaaaaag 480
cccggagagt ctctgaagat ttcctgtaag ggatccggtt actcattcac tggctacaat 540
atgaactggg tgcgccagat gcccgggaaa ggcctggagt ggatgggcaa tattgatcct 600
tattatggtg gtactaccta caaccggaag ttcaagggcc aggtcactat ctccgccgac 660
aagtccatca gcaccgccta cctgcaatgg agcagcctga aggcctcgga caccgccatg 720
tattactgtg cacgctcagt cggccctatg gactactggg gccgcggcac cctggtcact 780
gtctcctctg atcaggagcc caaatcttct gacaaaactc acacatctcc accgtgccca 840
gcacctgaac teetgggtgg accgteagte tteetettee eeceaaaace caaggacace 900
ctcatgatct cccggacccc tgaggtcaca tgcgtggtgg tggacgtgag ccacgaagac 960
cctgaggtca agttcaactg gtacgtggac ggcgtggagg tgcataatgc caagacaaag 1020
ccgcgggagg agcagtacaa cagcacgtac cgtgtggtca gcgtcctcac cgtcctgcac 1080
caggactggc tgaatggcaa ggagtacaag tgcaaggtct ccaacaaagc cctcccagcc 1140
cccatcgaga aaaccatctc caaagccaaa gggcagcccc gagaaccaca ggtgtacacc 1200
ctgcccccat cccgggatga gctgaccaag aaccaggtca gcctgacctg cctggtcaaa 1260
ggettetate caagegacat egeegtggag tgggagagea atgggeagee ggagaacaac 1320
tacaagacca cgcctcccgt gctggactcc gacggctcct tcttcctcta cagcaagctc 1380
acceptageaca agageaggtg geageagggg aacqtettet eatgeteegt gatgeatgag 1440
gctctgcaca accactacac gcagaagagc ctctccctgt ctccgggtaa atga 1494

<210> 86

<211> 493

<212> PRT

<213> Secuencia artificial

<220> <223> Proteína de unión específica a CD37 <400> 86 Met Glu Ala Pro Ala Gin Leu Leu Phe Leu Leu Leu Leu Trp Leu Pro Asp Thr Thr Gly Glu lle Val Leu Thr Gln Ser Pro Ala Thr Leu Ser Leu Ser Pro Gly Glu Arg Ala Thr Leu Ser Cys Arg Thr Ser Glu Asn Val Tyr Ser Tyr Leu Ala Trp Tyr Gln Gln Lys Pro Gly Gln Ala Pro Arg Leu Leu lle Tyr Phe Ala Lys Thr Leu Ala Glu Gly lle Pro Ala Arg Phe Ser Gly Ser Gly Ser Gly Thr Asp Phe Thr Leu Thr Ile Ser Ser Leu Glu Pro Glu Asp Phe Ala Val Tyr Tyr Cys Gln His His Ser

Asp Asn Pro Trp Thr Phe Gly Gln Gly Thr Lys Val Glu lle Lys Gly 115 120 125
Gly Gly Gly Ser Gly Gly Gly Gly Gly Gly Ala Ser Glu 130 135 140
Val Gln Leu Val Gln Ser Gly Ala Glu Val Lys Lys Pro Gly Glu Ser 145 150 155 160
Leu Lys IIe Ser Cys Lys Gly Ser Gly Tyr Ser Phe Thr Gly Tyr Asn 165 170 175
Met Asn Trp Val Arg Gln Met Pro Gly Lys Gly Leu Glu Trp Met Gly 180 185 190
Asn Ile Asp Pro Tyr Tyr Gly Gly Thr Thr Tyr Asn Arg Lys Phe Lys 195 200 205
Gly Gln Val Thr Ile Ser Ala Asp Lys Ser Ile Ser Thr Ala Tyr Leu 210 215 220
Gln Trp Ser Ser Leu Lys Ala Ser Asp Thr Ala Met Tyr Tyr Cys Ala 225 230 235 240
Arg Ser Val Gly Pro Met Asp Tyr Trp Gly Arg Gly Thr Leu Val Thr 245 250 255
Val Ser Ser Asp Gln Glu Pro Lys Ser Ser Asp Lys Thr His Thr Ser 260 265 270
Pro Pro Cys Pro Ala Pro Glu Leu Leu Gly Gly Pro Ser Val Phe Leu 275 280 285
Phe Pro Pro Lys Pro Lys Asp Thr Leu Met Ile Ser Arg Thr Pro Glu 290 295 300
Val Thr Cys Val Val Val Asp Val Ser His Glu Asp Pro Glu Val Lys 305 310 315 320
Phe Asn Trp Tyr Val Asp Gly Val Glu Val His Asn Ala Lys Thr Lys 325 330 335

Pro Arg Glu Glu Gln Tyr Asn Ser Thr Tyr Arg Val Val Ser Val Leu 340 345 350
Thr Val Leu His Gln Asp Trp Leu Asn Gly Lys Glu Tyr Lys Cys Lys 355 360 365
Val Ser Asn Lys Ala Leu Pro Ala Pro Ile Glu Lys Thr Ile Ser Lys 370 375 380
Ala Lys Gly Gln Pro Arg Glu Pro Gln Val Tyr Thr Leu Pro Pro Ser 385 390 395 400
Arg Asp Glu Leu Thr Lys Asn Gln Val Ser Leu Thr Cys Leu Val Lys 405 410 415
Gly Phe Tyr Pro Ser Asp Ile Ala Val Glu Trp Glu Ser Asn Gly Gln 420 425 430
Pro Glu Asn Asn Tyr Lys Thr Thr Pro Pro Val Leu Asp Ser Asp Gly 435 440 445
Ser Phe Phe Leu Tyr Ser Lys Leu Thr Val Asp Lys Ser Arg Trp Gln 450 455 460
Gln Gly Asn Val Phe Ser Cys Ser Val Met His Glu Ala Leu His Asn 465 470 475 480
His Tyr Thr Gln Lys Ser Leu Ser Leu Ser Pro Gly Lys 485 490
<210> 87 <211> 1494 <212> ADN <213> Secuencia artificial
<220> <223> Proteína de unión específica a CD37
<400> 87

60 aagettgeeg ceatggaage eecageteag ettetettee teetgetaet etggeteeea 120 gataccaccg gigaaattgt gitgacacag tctccagcca ccctgtcttt gictccaggc 180 gaaagagcca ccctctcctg ccgaacaagt gaaaatgttt acagctactt agcctggtac 240 caacagaaac ctggccaggc tcctaggctc ctcatctatt ttgcaaaaac cttagcagaa ggaattccag ccaggttcag tggcagtgga tccgggacag acttcactct caccatcagc 300 agectagage etgaagattt tgeagtttat taetgteaae ateatteega taateegtgg 360 420 acatteggee aagggaecaa ggtggaaate aaaggtggeg gtggeteggg eggtggtgga 480 tctggaggag gtggggctag cgaggtgcag ctggtgcagt ctggagcaga ggtgaaaaag cccggagagt ctctgaggat ttcctgtaag ggatccggtt actcattcac tggctacaat 540 atgaactggg tgcgccagat gcccgggaaa ggcctggagt ggatgggcaa tattgatcct 600 tattatggtg gtactaccta caaccggaag ttcaagggcc aggtcactat ctccgccgac aagtocatca gcaccgocta cctgcaatgg agcagoctga aggcctcgga caccgccatg tattactgtg cacgctcagt cggccctatg gactactggg gccgcggcac cctggtcact 780 840 gteteetetg ateaggagee caaatettet gacaaaaete acacatetee acegtgeeca 900 gcacctgaac teetgggtgg accgteagte tteetettee ecceaaaace caaggacace ctcatgatct cccggacccc tgaggtcaca tgcgtggtgg tggacgtgag ccacgaagac 960 cctgaggtca agttcaactg gtacgtggac ggcgtggagg tgcataatgc caagacaaag 1020 ccgcgggagg agcagtacaa cagcacgtac cgtgtggtca gcgtcctcac cgtcctgcac 1080 caggactggc tgaatggcaa ggagtacaag tgcaaggtct ccaacaaagc cctcccagcc 1140 cccatcgaga aaaccatctc caaagccaaa gggcagcccc gagaaccaca ggtgtacacc 1200 ctgcccccat cccgggatga gctgaccaag aaccaggtca gcctgacctg cctggtcaaa 1260 ggcttctatc caagcgacat cgccgtggag tgggagagca atgggcagcc ggagaacaac 1320 tacaagacca cgcctcccgt gctggactcc gacggctcct tcttcctcta cagcaagctc 1380 accgtggaca agagcaggtg gcagcagggg aacgtcttct catgctccgt gatgcatgag 1440 1494 gctctgcaca accactacac gcagaagagc ctctccctgt ctccgggtaa atga

<210> 88

<211> 493

<212> PRT

<213> Secuencia artificial <220> <223> Proteína de unión específica a CD37 <400> 88 Met Glu Ala Pro Ala Gln Leu Leu Phe Leu Leu Leu Trp Leu Pro Asp Thr Thr Gly Glu lle Val Leu Thr Gln Ser Pro Ala Thr Leu Ser Leu Ser Pro Gly Glu Arg Ala Thr Leu Ser Cys Arg Thr Ser Glu Asn Val Tyr Ser Tyr Leu Ala Trp Tyr Gln Gln Lys Pro Gly Gln Ala Pro Arg Leu Leu lie Tyr Phe Ala Lys Thr Leu Ala Glu Gly lie Pro Ala Arg Phe Ser Gly Ser Gly Ser Gly Thr Asp Phe Thr Leu Thr lle Ser Ser Leu Glu Pro Glu Asp Phe Ala Val Tyr Tyr Cys Gln His His Ser Asp Asn Pro Trp Thr Phe Gly Gln Gly Thr Lys Val Glu lle Lys Gly Gly Gly Gly Ser Gly Gly Gly Gly Gly Gly Gly Ala Ser Glu Val Gin Leu Val Gin Ser Gly Ala Glu Val Lys Lys Pro Gly Glu Ser Leu Arg Ile Ser Cys Lys Gly Ser Gly Tyr Ser Phe Thr Gly Tyr Asn Met Asn Trp Val Arg Gln Met Pro Gly Lys Gly Leu Glu Trp Met Gly Asn IIe Asp Pro Tyr Tyr Gly Gly Thr Thr Tyr Asn Arg Lys Phe Lys Gly Gln Val Thr lle Ser Ala Asp Lys Ser lle Ser Thr Ala Tyr Leu

Gln Trp Ser Ser Leu Lys Ala Ser Asp Thr Ala Met Tyr Tyr Cys Ala 225 230 235 240
Arg Ser Val Gly Pro Met Asp Tyr Trp Gly Arg Gly Thr Leu Val Thr 245 250 255
Val Ser Ser Asp Gln Glu Pro Lys Ser Ser Asp Lys Thr His Thr Ser 260 265 270
Pro Pro Cys Pro Ala Pro Glu Leu Leu Gly Gly Pro Ser Val Phe Leu 275 280 285
Phe Pro Pro Lys Pro Lys Asp Thr Leu Met Ile Ser Arg Thr Pro Glu 290 295 300
Val Thr Cys Val Val Val Asp Val Ser His Glu Asp Pro Glu Val Lys 305 310 315 320
Phe Asn Trp Tyr Val Asp Gly Val Glu Val His Asn Ala Lys Thr Lys 325 330 335
Pro Arg Glu Glu Gln Tyr Asn Ser Thr Tyr Arg Val Val Ser Val Leu 340 345 350
Thr Val Leu His Gln Asp Trp Leu Asn Gly Lys Glu Tyr Lys Cys Lys 355 360 365
Val Ser Asn Lys Ala Leu Pro Ala Pro Ile Glu Lys Thr Ile Ser Lys 370 375 380
Ala Lys Gly Gln Pro Arg Glu Pro Gln Val Tyr Thr Leu Pro Pro Ser 385 390 395 400
Arg Asp Glu Leu Thr Lys Asn Gln Val Ser Leu Thr Cys Leu Val Lys 405 410 415
Gly Phe Tyr Pro Ser Asp lle Ala Val Glu Trp Glu Ser Asn Gly Gln 420 425 430
Pro Glu Asn Asn Tyr Lys Thr Thr Pro Pro Val Leu Asp Ser Asp Gly 435 440 445

```
Ser Phe Phe Leu Tyr Ser Lys Leu Thr Val Asp Lys Ser Arg Trp Gln
     450
                    455
   Gln Gly Asn Val Phe Ser Cys Ser Val Met His Glu Ala Leu His Asn
                 470
                               475
                                             480
   His Tyr Thr Gln Lys Ser Leu Ser Leu Ser Pro Gly Lys
<210> 89
<211> 45
<212> ADN
<213> Secuencia artificial
<220>
<223> Región bisagra
gagcccaaat cttgtgacaa aactcacaca tgtccaccgt gccca
                                                                             45
<210> 90
<211> 15
<212> PRT
<213> Secuencia artificial
<220>
<223> Región bisagra
<400> 90
 Glu Pro Lys Ser Cys Asp Lys Thr His Thr Cys Pro Pro Cys Pro
           5
                        10
<210>
       91
<211> 45
<212> ADN
<213> Secuencia artificial
<220>
<223> Región bisagra
gagcccaaat cttctgacaa aactcacaca tgtccaccgt gccca
                                                                             45
<210> 92
<211> 15
<212> PRT
<213> Secuencia artificial
<220>
<223> Región bisagra
<400> 92
 Glu Pro Lys Ser Ser Asp Lys Thr His Thr Cys Pro Pro Cys Pro
                        10
                                     15
<210> 93
<211> 45
<212> ADN
<213> Secuencia artificial
```

<220>

```
<223> Región bisagra
<400>
       93
gagcccaaat cttctgacaa aactcacaca tgtccaccgt gctca
                                                                             45
<210>
       94
<211>
       15
<212>
       PRT
<213> Secuencia artificial
<220>
<223>
       Región bisagra
<400> 94
 Glu Pro Lys Ser Ser Asp Lys Thr His Thr Cys Pro Pro Cys Ser
                          10
                                        15
<210>
       95
<211>
       45
<212> ADN
<213> Secuencia artificial
<220>
<223>
       Región bisagra
<400> 95
                                                                             45
gagcccaaat cttgtgacaa aactcacaca tgtccaccga gctca
<211>
       15
<212>
       PRT
<213> Secuencia artificial
<220>
<223>
       Región bisagra
<400> 96
 Glu Pro Lys Ser Ser Asp Lys Thr His Thr Cys Pro Pro Ser Ser
 1
            5
                          10
<210> 97
<211>
       45
<212>
       ADN
<213> Secuencia artificial
<220>
<223> Región bisagra
<400> 97 45
gageccaaat ettetgacaa aacteacaca tetecacega gecca
                                                                               45
<210>
       98
<211>
       15
       PRT
<212>
       Secuencia artificial
<213>
<220>
       Región bisagra
<223>
<400> 98
  Glu Pro Lys Ser Ser Asp Lys Thr His Thr Ser Pro Pro Ser Pro
  1
            5
                          10
                                        15
```

```
<210> 99
<211> 45
<212> ADN
<213> Secuencia artificial
<220>
<223> Región bisagra
<400> 99
gagcccaaat cttctgacaa aactcacaca tctccaccga gctca
                                                                               45
<210> 100
<211> 15
<212>
       PRT
<213> Secuencia artificial
<220>
<223> Región bisagra
<400> 100
  Glu Pro Lys Ser Ser Asp Lys Thr His Thr Ser Pro Pro Ser Ser
                                       15
                         10
            5
<210>
       101
<211>
       45
<212>
       ADN
<213> Secuencia artificial
<220>
<223>
       Región bisagra
<400> 101
gagcccaaat cttgtgacaa aactcacaca tctccaccgt gccca
                                                                               45
<210>
       102
<211> 15
<212> PRT
<213> Secuencia artificial
<220>
<223> Región bisagra
<400> 102
 Glu Pro Lys Ser Cys Asp Lys Thr His Thr Ser Pro Pro Cys Pro
           5
                       10
 1
<210> 103
<211> 45
<212> ADN
<213> Secuencia artificial
<220>
<223> Región bisagra
gagcccaaat cttgtgacaa aactcacaca tctccaccgt gctca
                                                                               45
<210> 104
<211>
       15
<212> PRT
<213> Secuencia artificial
```

```
<220>
<223> Región bisagra
<400> 104
  Glu Pro Lys Ser Cys Asp Lys Thr His Thr Ser Pro Pro Cys Ser
            5
<210> 105
<211> 45
<212> ADN
<213> Secuencia artificial
<220>
<223>
       Región bisagra
<400> 105
gagcccaaat cttctgacaa aactcacaca tctccaccgt gccca
                                                                              45
<210> 106
<211> 15
<212> PRT
<213> Secuencia artificial
<220>
<223> Región bisagra
<400> 106
Glu Pro Lys Ser Ser Asp Lys Thr His Thr Ser Pro Pro Cys Pro
           5
                        10
<210> 107
<211> 45
<212> ADN
<213> Secuencia artificial
<220>
<223>
       Región bisagra
<400> 107
gageceaaat ettetgacaa aacteacaca tetecacegt getea
                                                                              45
<210> 108
<211> 15
<212>
       PRT
<213> Secuencia artificial
<220>
<223> Región bisagra
<400> 108
 Glu Pro Lys Ser Ser Asp Lys Thr His Thr Ser Pro Pro Cys Ser
           5
                         10
                                      15
<210> 109
<211> 45
<212>
       ADN
<213> Secuencia artificial
<220>
<223>
       Región bisagra
<400> 109
```

```
45
gagcccaaat cttgtgacaa aactcacaca tctccaccga gccca
<210>
       110
<211>
       15
<212> PRT
<213> Secuencia artificial
<220>
<223> Región bisagra
<400> 110
  Glu Pro Lys Ser Cys Asp Lys Thr His Thr Ser Pro Pro Ser Pro
           5
                        10
                                      15
<210> 111
<211> 45
<212> ADN
<213> Secuencia artificial
<220>
<223> Región bisagra
<400> 111
                                                                              45
gagcccaaat cttgtgacaa aactcacaca tctccaccga gctca
<210> 112
<211> 15
<212> PRT
<213> Secuencia artificial
<220>
<223> Región bisagra
<400> 112
Glu Pro Lys Ser Cys Asp Lys Thr His Thr Ser Pro Pro Ser Ser
           5
                        10
<210> 113
<400> 113
000
<210> 114
<400> 114
000
<210> 115
<211> 19
<212> PRT
<213> Secuencia artificial
<220>
<223> Región bisagra
<400> 115
Val Pro Ser Thr Pro Pro Thr Pro Ser Pro Ser Thr Pro Pro Thr Pro
                        10
                                       15
Ser Pro Ser
<210> 116
```

<211> 6

ES 2 368 700 T3

```
<212> PRT
<213> Secuencia artificial
<220>
<223> Región bisagra
<400> 116
 Val Pro Pro Pro Pro
           5
<210> 117
<211> 186
<212> ADN
<213> Secuencia artificial
<220>
<223> Región bisagra
<400> 117
                                                                        60
 gageteaaaa eteetetegg ggataegaee eataegtgte eeegetgtee tgaaeegaag
                                                                       120
 tcctgcgata cgcctccgcc atgtccacgg tgcccagagc ccaaatcatg cgatacgccc
 ccaccgtgtc cccgctgtcc tgaaccaaag tcatgcgata ccccaccacc atgtccaaga
                                                                        180
                                              186
 tgccca
<210> 118
<211> 62
<212> PRT
<213> Secuencia artificial
<220>
<223> Región bisagra
<400> 118
  Glu Leu Lys Thr Pro Leu Gly Asp Thr Thr His Thr Cys Pro Arg Cys
            5
                         10
  Pro Glu Pro Lys Ser Cys Asp Thr Pro Pro Pro Cys Pro Arg Cys Pro
                                    30
         20
                       25
  Glu Pro Lys Ser Cys Asp Thr Pro Pro Pro Cys Pro Arg Cys Pro Glu
       35
                    40
                                  45
  Pro Lys Ser Cys Asp Thr Pro Pro Pro Cys Pro Arg Cys Pro
                  55
                               60
    50
<210> 119
<211> 45
<212> ADN
<213> Secuencia artificial
```

```
<220>
<223> Región bisagra
<400> 119
                                                                               45
gagcccaaat cttctgacac acctcccca tgcccacggt gcccc
<210> 120
<211> 15
<212> PRT
<213> Secuencia artificial
<220>
<223> Región bisagra
<400> 120
Glu Pro Lys Ser Ser Asp Thr Pro Pro Pro Cys Pro Arg Cys Pro
                         10
           5
<210> 121
<211> 45
<212> ADN
<213> Secuencia artificial
<220>
<223> Región bisagra
<400> 121
gagcccaaat cttgtgacac acctccccca tccccacggt cccca
                                                                               45
<210> 122
<211> 15
<212> PRT
<213> Secuencia artificial
<220>
<223> Región bisagra
<400> 122
 Glu Pro Lys Ser Cys Asp Thr Pro Pro Pro Ser Pro Arg Ser Pro
                         10
            5
                                        15
<210> 123
<211> 45
<212> ADN
<213> Secuencia artificial
<220>
<223>
       Región bisagra
<400> 123
gageceaaat ettetgacae aceteecea teeceaeggt eecea
                                                                               45
<210> 124
<211> 15
<212>
       PRT
<213>
       Secuencia artificial
<220>
<223> Región bisagra
<400> 124
```

```
Glu Pro Lys Ser Ser Asp Thr Pro Pro Pro Ser Pro Arg Ser Pro
           5
                         10
<210> 125
<211> 45
<212> ADN
<213> Secuencia artificial
<220>
<223> Región bisagra
<400> 125
gageceaaat ettgtgacae aceteceea teeceaeggt gecea
                                                                          45
<210> 126
<211> 15
<212> PRT
<213> Secuencia artificial
<220>
<223> Región bisagra
<400> 126
 Glu Pro Lys Ser Cys Asp Thr Pro Pro Pro Ser Pro Arg Cys Pro
            5
                          10
<210> 127
<211> 58
<212> PRT
<213> Secuencia artificial
<220>
<223> Región bisagra
<400> 127
 Glu Ser Pro Lys Ala Gln Ala Ser Ser Val Pro Thr Ala Gln Pro Gln
 1
            5
                         10
                                       15
 Ala Glu Gly Ser Leu Ala Lys Ala Thr Thr Ala Pro Ala Thr Thr Arg
         20
                       25
                                     30
 Asn Thr Gly Arg Gly Gly Glu Glu Lys Lys Lys Glu Lys Glu Lys Glu
                    40
      35
                                  45
 Glu Gln Glu Glu Arg Glu Thr Lys Thr Pro
    50
                  55
<210> 128
<211> 11
<212> PRT
<213> Secuencia artificial
<220>
<223> CDR
<400> 128
```

```
Arg Thr Ser Gln Asn Val Tyr Ser Tyr Leu Ala
             5
<210> 129
<211> 11
<212> PRT
<213> Secuencia artificial
<220>
<223> CDR
<400> 129
 Arg Thr Ser Glu Ser Val Tyr Ser Tyr Leu Ala
                         10
            5
<210> 130
<211> 11
<212>
      PRT
<213> Secuencia artificial
<220>
<223> CDR
<400> 130
 Arg Ala Ser Gln Ser Val Tyr Ser Tyr Leu Ala
            5
                          10
<210> 131
<211> 11
<212> PRT
<213> Secuencia artificial
<220>
<223> CDR
<400> 131
Arg Ala Ser Gln Ser Val Ser Ser Tyr Leu Ala
          5
                        10
<210> 132
<211> 11
<212> PRT
<213> Secuencia artificial
<220>
<223> CDR
<400> 132
Arg Ala Ser Gin Ser Val Ser Tyr Tyr Leu Ala
           5
                        10
<210>
      133
<211>
      PRT
<212>
<213> Secuencia artificial
<220>
<223> CDR
```

<400> 133

```
Ser Tyr Met Asn Met
<210> 134
<211> 5
<212> PRT
<213> Secuencia artificial
<220>
<223> CDR
<400> 134
 Ser Tyr Trp Ile Gly
<210> 135
<211> 7
<212> PRT
<213> Secuencia artificial
<220>
<223> CDR
<400> 135
 Ala Ala Ser Ser Leu Gln Ser
            5
<210> 136
<211> 7
<212> PRT
<213> Secuencia artificial
<220>
<223> CDR
<400> 136
 Gly Ala Ser Thr Arg Ala Thr
<210> 137
<211> 7
<212> PRT
<213> Secuencia artificial
<220>
<223> CDR
<400> 137
Asp Ala Ser Asn Arg Ala Thr
           5
<210> 138
<211> 17
<212> PRT
<213> Secuencia artificial
<220>
<223> CDR
```

<400> 138

```
lle lle Tyr Pro Gly Asp Ser Asp Thr Arg Tyr Ser Pro Ser Phe Gln
           5
                         10
 Gly
<210> 139
<211> 17
<212> PRT
<213> Secuencia artificial
<220>
<223> CDR
<400> 139
 Arg lie Asp Pro Ser Asp Ser Tyr Thr Asn Tyr Ser Pro Ser Phe Gin
            5
                         10
                                      15
 Gly
<210> 140
<211> 30
<212> PRT
<213> Secuencia artificial
<220>
<223> Región marco
<400> 140
  Gln Val Gln Leu Val Gln Ser Gly Ala Glu Val Lys Lys Pro Gly Ala
             5
                          10
 Ser Val Lys Val Ser Cys Lys Ala Ser Gly Tyr Thr Phe Thr
         20
                       25
                                      30
<210> 141
<211>
      30
<212> PRT
<213> Secuencia artificial
<220>
<223> Región marco
<400> 141
```

```
Gln Val Gln Leu Val Gln Ser Gly Ala Glu Val Lys Lys Pro Gly Ser
           5
Ser Val Lys Val Ser Cys Lys Ala Ser Gly Gly Thr Phe Ser
                       25
                                     30
        20
<210> 142
<211>
      30
<212>
      PRT
<213> Secuencia artificial
<220>
<223> Región marco
<400> 142
 Gln Val Gln Leu Val Gln Ser Gly Ala Glu Val Lys Lys Pro Gly Ser
            5
                         10
 Ser Val Lys Val Ser Cys Lys Ala Ser Gly Gly Thr Phe Ser
                       25
                                     30
<210> 143
<211>
      30
<212> PRT
<213> Secuencia artificial
<220>
<223> Región marco
<400> 143
 Glu Val Gln Leu Val Gln Ser Gly Ala Glu Val Lys Lys Pro Gly Ala
  1
            5
                                       15
                         10
 Thr Val Lys lle Ser Cys Lys Val Ser Gly Tyr Thr Phe Thr
                       25
                                     30
<210> 144
<211> 30
<212> PRT
<213> Secuencia artificial
<220>
<223> Región marco
<400> 144
 Glu Val Gln Leu Val Gln Ser Gly Ala Glu Val Lys Lys Pro Gly Glu
            5
                         10
                                      15
 Ser Leu Lys lle Ser Cys Lys Gly Ser Gly Tyr Ser Phe Thr
                      25
         20
```

```
<210> 145
<211> 30
<212> PRT
<213> Secuencia artificial
<220>
<223> Región marco
<400> 145
 Glu Val Gln Leu Val Gln Ser Gly Ala Glu Val Lys Lys Pro Gly Glu
           5
                        10
 Ser Leu Arg Ile Ser Cys Lys Gly Ser Gly Tyr Ser Phe Thr
                      25
                                   30
        20
<210> 146
<211>
       30
<212>
       PRT
<213> Secuencia artificial
<220>
<223> Región marco
<400> 146
 Gln Val Gln Leu Val Gln Ser Gly Ser Glu Leu Lys Lys Pro Gly Ala
            5
                          10
 Ser Val Lys Val Ser Cys Lys Ala Ser Gly Tyr Thr Phe Thr
         20
                       25
                                      30
<210>
       147
<211>
       14
<212>
       PRT
<213>
       Secuencia artificial
<220>
<223> Región marco
<400> 147
 Trp Val Arg Gin Ala Pro Gly Gin Gly Leu Glu Trp Met Gly
            5
<210>
       148
<400>
       148
000
<210>
       149
<400>
       149
000
<210>
       150
<211>
       14
<212>
       PRT
<213>
       Secuencia artificial
<220>
<223> Región marco
```

```
<400> 150
 Trp Val Gln Gln Ala Pro Gly Lys Gly Leu Glu Trp Met Gly
            5
<210>
      151
<211>
      14
<212> PRT
<213> Secuencia artificial
<220>
<223> Región marco
<400> 151
 Trp Val Arg Gln Met Pro Gly Lys Gly Leu Glu Trp Met Gly
<210>
      152
<400>
      152
000
<210>
      153
<400>
      153
000
<210> 154
<211>
      32
<212>
      PRT
<213> Secuencia artificial
<220>
<223>
      Región marco
<400> 154
 Arg Val Thr Met Thr Thr Asp Thr Ser Thr Ser Thr Ala Tyr Met Glu
            5
 Leu Arg Ser Leu Arg Ser Asp Asp Thr Ala Val Tyr Tyr Cys Ala Arg
        20
                      25
                                    30
<210>
      155
<211>
      32
      PRT
<212>
<213> Secuencia artificial
<220>
<223>
      Región marco
<400> 155
Arg Val Thr Ile Thr Ala Asp Glu Ser Thr Ser Thr Ala Tyr Met Glu
           5
                         10
Leu Ser Ser Leu Arg Ser Glu Asp Thr Ala Val Tyr Tyr Cys Ala Arg
```

20

25

```
<210> 156
<211> 32
<212> PRT
<213> Secuencia artificial
<220>
<223> Región marco
<400> 156
 Arg Val Thr Ile Thr Ala Asp Lys Ser Thr Ser Thr Ala Tyr Met Glu
            5
                          10
                                        15
 Leu Ser Ser Leu Arg Ser Glu Asp Thr Ala Val Tyr Tyr Cys Ala Arg
<210>
      157
<211>
      32
<212> PRT
<213> Secuencia artificial
<220>
<223> Región marco
<400> 157
 Arg Val Thr lie Thr Ala Asp Thr Ser Thr Asp Thr Ala Tyr Met Glu
 1
            5
                           10
                                         15
 Leu Ser Ser Leu Arg Ser Glu Asp Thr Ala Val Tyr Tyr Cys Ala Thr
                        25
<210>
      158
<211>
      32
<212> PRT
<213> Secuencia artificial
<220>
<223> Región marco
<400> 158
  Gin Val Thr Ile Ser Ala Asp Lys Ser Ile Ser Thr Ala Tyr Leu Gin
             5
                           10
                                         15
  Trp Ser Ser Leu Lys Ala Ser Asp Thr Ala Met Tyr Tyr Cys Ala Arg
          20
                        25
                                       30
<210>
      159
<211>
      32
<212>
      PRT
<213> Secuencia artificial
<223> Región marco
```

```
<400> 159
 His Val Thr lle Ser Ala Asp Lys Ser lle Ser Thr Ala Tyr Leu Gln
            5
                          10
 Trp Ser Ser Leu Lys Ala Ser Asp Thr Ala Met Tyr Tyr Cys Ala Arg
                       25
                                      30
<210> 160
<211> 32
<212> PRT
<213> Secuencia artificial
<220>
<223> Región marco
<400> 160
Arg Phe Val Phe Ser Leu Asp Thr Ser Val Ser Thr Ala Tyr Leu Gln
           5
                          10
lle Ser Ser Leu Lys Ala Glu Asp Thr Ala Val Tyr Tyr Cys Ala Arg
        20
                       25
                                      30
<210> 161
<211> 11
<212> PRT
<213> Secuencia artificial
<220>
<223> Región marco
<400> 161
Trp Gly Gln Gly Thr Leu Val Thr Val Ser Ser
          5
<210>
      162
<211> 11
<212> PRT
<213> Secuencia artificial
<220>
<223> Región marco
<400> 162
 Trp Gly Arg Gly Thr Leu Val Thr Val Ser Ser
           5
                         10
<210> 163
<211> 11
<212> PRT
<213> Secuencia artificial
<220>
```

<223> Región marco

```
<400> 163
 Trp Gly Gln Gly Thr Met Val Thr Val Ser Ser
                        10
<210> 164
<400> 164
000
<210> 165
<400> 165
000
<210> 166
<400> 166
000
<210> 167
<400> 167
000
<210> 168
<211> 11
<212> PRT
<213> Secuencia artificial
<220>
<223> Región marco
<400> 168
 Trp Gly Gln Gly Thr Thr Val Thr Val Ser Ser
           5
                         10
<210> 169
<211> 11
<212> PRT
<213> Secuencia artificial
<220>
<223> Región marco
<400> 169
 Trp Gly Lys Gly Thr Thr Val Thr Val Ser Ser
                          10
<210> 170
<211> 23
<212> PRT
<213> Secuencia artificial
<220>
<223> Región marco
<400> 170
Glu lle Val Met Thr Gln Ser Pro Ala Thr Leu Ser Val Ser Pro Gly
           5
                         10
```

Glu Arg Ala Thr Leu Ser Cys

```
<210> 171
<211> 23
<212> PRT
<213> Secuencia artificial
<220>
<223> Región marco
<400> 171
 Glu lle Val Leu Thr Gln Ser Pro Ala Thr Leu Ser Leu Ser Pro Gly
            5
                          10
                                        15
 Glu Arg Ala Thr Leu Ser Cys
<210> 172
<211> 23
<212> PRT
<213> Secuencia artificial
<220>
<223> Región marco
<400> 172
 Asp lie Gin Met Thr Gin Ser Pro Ser Ser Leu Ser Ala Ser Val Gly
            5
                          10
 Asp Arg Val Thr Ile Thr Cys
         20
<210> 173
<400> 173
000
<210> 174
<400> 174
000
<210> 175
<211>
      23
<212>
      PRT
<213>
      Secuencia artificial
<220>
<223> Región marco
<400> 175
 Asn Ile Gin Met Thr Gin Ser Pro Ser Ala Met Ser Ala Ser Val Gly
            5
                         10
                                        15
 Asp Arg Val Thr Ile Thr Cys
         20
<210> 176
<400> 176
```

```
000
<210>
       177
<211>
       23
<212> PRT
<213> Secuencia artificial
<220>
<223> Región marco
<400> 177
 Ala Ile Gln Leu Thr Gln Ser Pro Ser Ser Leu Ser Ala Ser Val Gly
            5
                         10
 Asp Arg Val Thr Ile Thr Cys
        20
<210> 178
<211> 23
<212> PRT
<213>
       Secuencia artificial
<220>
<223> Región marco
<400> 178
Asp lle Gln Leu Thr Gln Ser Pro Ser Phe Leu Ser Ala Ser Val Gly
 1
            5
                         10
                                       15
Asp Arg Val Thr Ile Thr Cys
            20
<210> 179
<211> 23
<212> PRT
<213> Secuencia artificial
<220>
<223> Región marco
<400> 179
 Ala lle Arg Met Thr Gln Ser Pro Phe Ser Leu Ser Ala Ser Val Gly
            5
 1
                         10
                                       15
 Asp Arg Val Thr Ile Thr Cys
         20
<210> 180
<211>
       23
<212>
       PRT
       Secuencia artificial
<213>
<220>
<223> Región marco
```

```
<400> 180
 Ala Ile Gln Met Thr Gln Ser Pro Ser Ser Leu Ser Ala Ser Val Gly
            5
                         10
 Asp Arg Val Thr Ile Thr Cys
         20
<210> 181
<211> 23
<212> PRT
<213> Secuencia artificial
<220>
<223> Región marco
<400> 181
  Asp lie Gin Met Thr Gin Ser Pro Ser Thr Leu Ser Ala Ser Val Gly
            5
                          10
                                       15
  Asp Arg Val Thr Ile Thr Cys
<210> 182
<211> 15
<212> PRT
<213> Secuencia artificial
<220>
<223> Región marco
<400> 182
 Trp Tyr Gln Gln Lys Pro Gly Gln Ala Pro Arg Leu Leu lle Tyr
            5
                          10
                                        15
<210> 183
<400> 183
000
<210> 184
<211> 15
<212> PRT
<213> Secuencia artificial
<223> Región marco
<400> 184
Trp Tyr Gln Gln Lys Pro Gly Lys Ala Pro Lys Leu Leu lle Tyr
           5
                         10
<210> 185
<211> 15
<212> PRT
```

<213> Secuencia artificial

```
<220>
<223>
       Región marco
<400> 185
  Trp Tyr Gln Gln Lys Pro Gly Lys Val Pro Lys Leu Leu lle Tyr
                          10
                                         15
<210>
       186
<211>
       15
<212>
       PRT
       Secuencia artificial
<213>
<220>
<223>
       Región marco
<400> 186
  Trp Tyr Gln Gln Lys Pro Gly Lys Ala Pro Lys Arg Leu lle Tyr
            5
                          10
<210>
       187
<211>
       15
<212>
       PRT
<213>
       Secuencia artificial
<220>
       Región marco
<223>
<400>
       187
 Trp Phe Gln Gln Lys Pro Gly Lys Val Pro Lys His Leu Ile Tyr
 1
            5
                           10
                                         15
<210>
       188
<211>
       15
<212> PRT
<213> Secuencia artificial
<220>
<223>
       Región marco
<400> 188
Trp Phe Gln Gln Lys Pro Gly Lys Ala Pro Lys Ser Leu lle Tyr
            5
                          10
 1
                                         15
<210>
       189
<400>
       189
000
<210>
       190
<400>
       190
000
<210>
       191
<211>
       15
<212>
       PRT
<213>
       Secuencia artificial
<220>
<223>
       Región marco
```

```
<400> 191
 Trp Tyr Gln Gln Lys Pro Ala Lys Ala Pro Lys Leu Phe lle Tyr
                                          15
<210>
      192
<400>
      192
000
<210>
      193
<400>
      193
000
<210>
      194
<211>
      32
<212>
      PRT
<213> Secuencia artificial
<220>
<223>
      Región marco
<400> 194
Gly lle Pro Ala Arg Phe Ser Gly Ser Gly Ser Gly Thr Glu Phe Thr
           5
                         10
Leu Thr lle Ser Ser Leu Gln Ser Glu Asp Phe Ala Val Tyr Tyr Cys
        20
                      25
                                    30
<210>
      195
<211>
       32
<212>
      PRT
<213>
      Secuencia artificial
<220>
<223>
      Región marco
<400> 195
 Gly lle Pro Ala Arg Phe Ser Gly Ser Gly Ser Gly Thr Asp Phe Thr
                         10
            5
 Leu Thr lle Ser Ser Leu Glu Pro Glu Asp Phe Ala Val Tyr Tyr Cys
         20
                       25
                                     30
<210>
      196
<211>
      32
<212>
      PRT
<213>
      Secuencia artificial
<220>
<223> Región marco
<400> 196
```

```
Gly Val Pro Ser Arg Phe Ser Gly Ser Gly Ser Gly Thr Asp Phe Thr
            5
  Leu Thr lle Ser Ser Leu Gin Pro Glu Asp Phe Ala Thr Tyr Tyr Cys
                                    30
<210> 197
<211>
      32
<212>
      PRT
<213>
      Secuencia artificial
<220>
<223> Región marco
<400> 197
 Gly Val Pro Ser Arg Phe Ser Gly Ser Gly Ser Gly Thr Asp Phe Thr
           5
                         10
                                       15
Leu Thr Ile Ser Ser Leu Gln Pro Glu Asp Val Ala Thr Tyr Tyr Cys
                      25
        20
<210> 198
<211> 32
<212> PRT
<213> Secuencia artificial
<220>
<223> Región marco
<400> 198
 Gly Val Pro Ser Arg Phe Ser Gly Ser Gly Ser Gly Thr Glu Phe Thr
                         10
           5
 Leu Thr Ile Ser Ser Leu Gln Pro Glu Asp Phe Ala Thr Tyr Tyr Cys
        20
                      25
                                    30
<210>
      199
<400>
      199
000
<210>
      200
<400> 200
000
<210> 201
<400> 201
000
<210> 202
<400> 202
000
<210> 203
<211> 32
<212> PRT
<213> Secuencia artificial
```

```
<220>
<223> Región marco
<400> 203
 Gly Val Pro Ser Arg Phe Ser Gly Ser Gly Ser Gly Thr Asp Tyr Thr
            5
                         10
                                       15
 Leu Thr Ile Ser Ser Leu Gln Pro Glu Asp Phe Ala Thr Tyr Tyr Cys
         20
                      25
                                     30
<210>
      204
<400>
      204
000
<210>
      205
<211>
      32
<212> PRT
<213> Secuencia artificial
<220>
<223> Región marco
<400> 205
  Gly Val Pro Ser Arg Phe Ser Gly Ser Gly Ser Gly Thr Glu Phe Thr
             5
                           10
                                        15
  Leu Thr Ile Ser Ser Leu Gln Pro Asp Asp Phe Ala Thr Tyr Tyr Cys
                                      30
                        25
<210> 206
<211> 10
<212> PRT
<213> Secuencia artificial
<220>
<223> Región marco
<400> 206
 Phe Gly Gln Gly Thr Lys Val Glu lle Lys
   1
            5
                         10
<210>
      207
<211> 10
<212> PRT
<213> Secuencia artificial
<220>
<223> Región marco
<400> 207
 Phe Gly Gln Gly Thr Lys Leu Glu lie Lys
            5
                        10
<210>
      208
<211> 10
```

```
<212> PRT
<213> Secuencia artificial
<220>
<223> Región marco
<400> 208
Phe Gly Pro Gly Thr Lys Val Asp Ile Lys
           5
                        10
<210> 209
<211> 10
<212>
       PRT
<213> Secuencia artificial
<220>
<223> Región marco
<400> 209
  Phe Gly Gly Gly Thr Lys Val Glu ile Lys
            5
<210> 210
<211> 10
<212> PRT
<213> Secuencia artificial
<220>
<223> Región marco
<400> 210
  Phe Gly Gln Gly Thr Arg Leu Glu lle Lys
                           10
    1
              5
<210> 211
<211>
<212>
       PRT
<213> Secuencia artificial
<220>
<223> CDR
<400> 211
  Ser Val Gly Pro Met Asp Tyr
  1
            5
<210> 212
<211> 7
<212> PRT
<213> Secuencia artificial
<220>
<223> CDR
<400> 212
 Ser Val Gly Pro Phe Asp Tyr
            5
 1
<210> 213
<211> 7
```

```
<212> PRT
<213> Secuencia artificial
<220>
<223> CDR
<400> 213
 Ser Val Gly Pro Met Asp Val
<210> 214
<211> 7
<212> PRT
<213> Secuencia artificial
<220>
<223> CDR
<400> 214
 Ser Val Gly Pro Phe Asp Ser
<210> 215
<211> 7
<212> PRT
<213> Secuencia artificial
<220>
<223> CDR
<400> 215
 Ser Val Gly Pro Phe Asp Pro
 1 5
<210> 216
<211> 7
<212> PRT
<213> Secuencia artificial
<220>
<223> CDR
<400> 216
 Ser Val Gly Pro Phe Gln His
 1 5
<210> 217
<211> 7
<212> PRT
<213> Secuencia artificial
<220>
<223> CDR
<400> 217
 Ser Val Gly Pro Phe Asp Val
           5
<210> 218
<211> 7
```

```
<212> PRT
<213> Secuencia artificial
<220>
<223> CDR
<400> 218
 Ser Val Gly Pro Phe Asp Ile
<210>
       219
<211> 7
<212> PRT
<213> Secuencia artificial
<220>
<223> CDR
<400> 219
 Ser Val Gly Pro Phe Asp Leu
<210>
       220
<211> 9
<212>
       PRT
<213>
       Secuencia artificial
<220>
<223> CDR
<400> 220
  Gln His His Ser Asp Asn Pro Trp Thr
<210>
       221
<211> 1530
<212> ADN
<213> Secuencia artificial
<220>
<223> Proteína de unión específica a CD37
<400> 221
  aagettgeeg eeatggaage eeeageteag ettetettee teetgetaet etggeteeea
                                                                       60
                                                                             120
  gataccaccg gagaggtgca gctggtgcag tctggagcag aggtgaaaaa gcccggagag
                                                                     180
  tctctgaaga tttcctgtaa gggctccggt tactcattca ctggctacaa tatgaactgg
                                                                        240
  gtgcgccaga tgcccgggaa aggcctcgag tggatgggca atattgatcc ttattatggt
                                                                         300
  ggtactacct acaaccggaa gttcaagggc caggtcacta tctccgccga caagtccatc
                                                                         360
  agcaccgcct acctgcaatg gagcagcctg aaggcctcgg acaccgccat gtattactgt
                                                                       420
  gcacgeteag teggeeettt egaeteetgg ggeeagggea eeetggteae tgteteetet
                                                                          480
  gggggtggag gctctggtgg cggtggctct ggcggaggtg gatccggtgg cggcggatct
```

ES 2 368 700 T3

ggcggggtg gctctgaaat tgtgttgaca cagtctccag ccaccctgtc tttgtctcca 540 ggcgaaagag ccaccctctc ctgccgagca agtgaaaatg tttacagcta cttagcctgg 600 taccaacaga aacctggcca ggctcctagg ctcctcatct attttgcaaa aaccttagca 660 720 gaaggaattc cagccaggtt cagtggcagt ggctccggga cagacttcac tctcaccatc 780 agcagectag agcetgaaga ttttgcagtt tattactgte aacateatte egataateeg 840 tggacattcg gccaagggac caaggtggaa atcaaaggtg atcaggagcc caaatcttct 900 gacaaaactc acacatetee accgtgeeca geacetgaac teetgggtgg accgteagte 960 ttectettee ecceaaaace caaggacace etcatgatet eeeggaceee tgaggteaca tgcgtggtgg tggacgtgag ccacgaagac cctgaggtca agttcaactg gtacgtggac 1020 1080 ggcgtggagg tgcataatgc caagacaaag ccgcgggagg agcagtacaa cagcacgtac 1140 cgtgtggtca gcgtcctcac cgtcctgcac caggactggc tgaatggcaa ggagtacaag 1200 tgcaaggtct ccaacaaagc cctcccagcc cccatcgaga aaaccatctc caaagccaaa 1260 gggcagcccc gagaaccaca ggtgtacacc ctgcccccat cccgggatga gctgaccaag 1320 aaccaggica gcctgacctg cctggtcaaa ggcttctatc caagcgacat cgccgtggag 1380 tgggagagca atgggcagcc ggagaacaac tacaagacca cgcctcccgt gctggactcc gacggctcct tcttcctcta cagcaagctc accgtggaca agagcaggtg gcagcagggg 1440 aacgtettet catgeteegt gatgeatgag getetgeaca accaetaeae geagaagage 1500 1530 ctctccctgt ctccgggtaa atgatctaga

<210> 222 <211> 503

<211> 503

<212> PRT

<213> Secuencia artificial

<220>

<223> Proteína de unión específica a CD37

<400> 222

Met Glu Ala Pro Ala Gln Leu Leu Phe Leu Leu Leu Leu Trp Leu Pro 1 5 10 15

Asp Thr Thr Gly Glu Val Gln Leu Val Gln Ser Gly Ala Glu Val Lys 20 25 30

Lys Pro Gly Glu Ser Leu Lys Ile Ser Cys Lys Gly Ser Gly Tyr Ser

35 40	45	
Phe Thr Gly Tyr Asn Me 50 55	t Asn Trp Val Arg Gln Met Pro 60	Gly Lys Gly
Leu Glu Trp Met Gly Asi 65 70	n lie Asp Pro Tyr Tyr Gly Gly 1 75 80	Thr Thr Tyr
Asn Arg Lys Phe Lys Gl 85	y Gln Val Thr Ile Ser Ala Asp I 90 95	_ys Ser lle
	Trp Ser Ser Leu Lys Ala Ser A D5 110	Asp Thr Ala
Met Tyr Tyr Cys Ala Arg 115 120	Ser Val Gly Pro Phe Asp Ser 125	Trp Gly Gln
Gly Thr Leu Val Thr Val 130 135	Ser Ser Gly Gly Gly Ser (140	Gly Gly Gly
Gly Ser Gly Gly Gly 145 150	Ser Gly Gly Gly Ser Gly 155 160	Gly Gly Gly
Ser Glu lle Val Leu Thr 165	Gln Ser Pro Ala Thr Leu Ser I 170 175	₋eu Ser Pro
	Ser Cys Arg Ala Ser Glu Asn 85 190	Val Tyr Ser
Tyr Leu Ala Trp Tyr Gln 195 200	Gln Lys Pro Gly Gln Ala Pro A 205	Arg Leu Leu
lle Tyr Phe Ala Lys Thr 210 215	Leu Ala Glu Gly lle Pro Ala Ar 220	g Phe Ser
Gly Ser Gly Ser Gly Thr 225 230	Asp Phe Thr Leu Thr Ile Ser 235 240	Se r Leu Glu
Pro Glu Asp Phe Ala Va 245	ıl Tyr Tyr Cys Gln His His Ser 250 255	Asp Asn Pro

Trp Thr Phe Gly Gln Gly Thr Lys Val Glu lle Lys Gly Asp Gln Glu

200	203	210	
Pro Lys Ser Se	r Asp Lys Thr	His Thr Ser F	Pro Pro Cys Pro Ala Pro
275	280	285	
Glu Leu Leu Gl	ly Gly Pro Se	r Val Phe Leu	Phe Pro Pro Lys Pro Lys
290	295	300	
	et lle Ser Arg	Thr Pro Glu \	/al Thr Cys Val Val Val
	310	315	320
Asp Val Ser His	s Glu Asp Pro		Phe Asn Trp Tyr Val Asp
325	330		5
Gly Val Glu Val	His Asn Ala l	Lys Thr Lys P	ro Arg Glu Glu Gln Tyr
340	345	350	
Asn Ser Thr Ty	r Arg Val Val	Ser Val Leu T	hr Val Leu His Gln Asp
355	360	365	
Trp Leu Asn Gi	ly Lys Glu Tyr	Lys Cys Lys	Val Ser Asn Lys Ala Leu
370	375	380	
	Glu Lys Thr I	le Ser Lys Ala	Lys Gly Gln Pro Arg
	390	395	400
Glu Pro Gln Va	nl Tyr Thr Leu		Arg Asp Glu Leu Thr Lys
405	410		5
Asn Gln Val Se	er Leu Thr Cy	s Leu Val Lys	Gly Phe Tyr Pro Ser Asp
420	425	430	
lle Ala Val Glu	Trp Glu Ser A	Asn Gly Gln Pi	ro Glu Asn Asn Tyr Lys
435	440	445	
Thr Thr Pro Pr	o Val Leu Asp	Ser Asp Gly	Ser Phe Phe Leu Tyr Ser
450	455	460	
•	al Asp Lys Sei	r Arg Trp GIn (Gln Gly Asn Val Phe Ser
	470	475	480
Cys Ser Val M	et His Glu Ala	Leu His Asn	His Tyr Thr Gln Lys Ser

495

```
Leu Ser Leu Ser Pro Gly Lys
          500
<210> 223
<211> 23
<212> PRT
<213> Secuencia artificial
<220>
<223> Secuencia conectora
<400> 223
 Met Asp Phe Gln Val Gln Ile Phe Ser Phe Leu Leu Ile Ser Ala Ser
           5
                      10
                                   15
 Val Ile Ile Ala Arg Gly Val
        20
<210> 224
<211> 20
<212> PRT
<213> Secuencia artificial
<220>
<223> Secuencia conectora
<400> 224
 Met Glu Ala Pro Ala Gln Leu Leu Phe Leu Leu Leu Leu Trp Leu Pro
 1
           5
                      10
 Asp Thr Thr Gly
        20
<210> 225
<211>
      16
<212> PRT
<213> Secuencia artificial
<220>
<223> Secuencia conectora
<400> 225
 Gly Gly Gly Ser Gly Gly Gly Gly Ser Gly Gly Gly Ser Ser
  1
           5
                      10
<210>
      226
<211>
      16
<212>
      PRT
<213> Secuencia artificial
<220>
<223> Secuencia conectora
<400> 226
  5
                      10
                                  15
<210> 227
<211> 16
```

485

```
<212> PRT
<213> Secuencia artificial
<220>
<223> Secuencia conectora
<400> 227
 Gly Gly Gly Ser Gly Ser Gly Ser Gly Gly Gly Ala Ser
                     10
<210> 228
<211> 16
<212> PRT
<213> Secuencia artificial
<220>
<223> Secuencia conectora
<400> 228
 Gly Gly Gly Ser Gly Gly Gly Ser Gly Gly Gly Thr Gly
           5
                      10
                                  15
<210> 229
<211> 25
<212> PRT
<213> Secuencia artificial
<220>
<223> Secuencia conectora
<400> 229
 Gly Gly Gly Ser Gly Gly Gly Ser Gly Gly Gly Ser Gly
            5
                       10
 Gly Gly Gly Ser Gly Gly Gly Ser
                     25
<210> 230
<211> 5
<212> PRT
<213> Secuencia artificial
<220>
<223> Secuencia bisagra
<400> 230
Cys Pro Pro Cys Pro
         5
<210> 231
<211> 16
<212> PRT
<213> Secuencia artificial
<220>
<223> Secuencia bisagra
<400> 231
```

```
Ser Glu Pro Lys Ser Ser Asp Lys Thr His Thr Ser Pro Pro Cys Pro
           5
 1
<210>
      232
<211>
      17
<212> PRT
<213> Secuencia artificial
<220>
<223> Secuencia bisagra
<400> 232
Asp Leu Glu Pro Lys Ser Ser Asp Lys Thr His Thr Ser Pro Pro Cys
 1
                         10
Pro
<210> 233
<211> 17
<212>
      PRT
<213> Secuencia artificial
<220>
<223> Secuencia bisagra
<400> 233
 Asp Gln Glu Pro Lys Ser Ser Asp Lys Thr His Thr Ser Pro Pro Cys
  1
            5
                        10
                                      15
 Pro
<210>
      234
<211>
      18
<212> PRT
<213> Secuencia artificial
<220>
<223> Secuencia bisagra
Gly Asp Gln Glu Pro Lys Ser Ser Asp Lys Thr His Thr Ser Pro Pro
                        10
                                     15
1
           5
Cys Pro
<210>
      235
<211>
      18
<212>
      PRT
<213>
      Secuencia artificial
<220>
<223> Secuencia bisagra
<400> 235
Gly Ser Ser Glu Pro Lys Ser Ser Asp Lys Thr His Thr Ser Pro Pro
                        10
                                       15
           5
Cys Pro
<210> 236
<211> 107
<212> PRT
<213> Secuencia artificial
```

```
<220>
<223>
      Región variable de cadena ligera
<400>
      236
Asp lle Gln Met Thr Gln Ser Pro Ala Ser Leu Ser Ala Ser Val Gly
                          10
 Glu Thr Val Thr Ile Thr Cys Arg Thr Ser Glu Asn Val Tyr Ser Tyr
                       25
 Leu Ala Trp Tyr Gln Gln Lys Gln Gly Lys Ser Pro Gln Leu Leu Val
                    40
 Ser Phe Ala Lys Thr Leu Ala Glu Gly Val Pro Ser Arg Phe Ser Gly
                  55
                                60
 Ser Gly Ser Gly Thr Gln Phe Ser Leu Lys lle Ser Ser Leu Gln Pro
 Glu Asp Ser Gly Ser Tyr Phe Cys Gln His His Ser Asp Asn Pro Trp
                          90
                                        95
 Thr Phe Gly Gly Gly Thr Glu Leu Glu lle Lys
<210>
      237
<211>
      107
<212>
      PRT
<213>
      Secuencia artificial
<220>
<223>
      Región variable de cadena ligera
<400>
      237
 Glu lie Vai Leu Thr Gin Ser Pro Ala Thr Leu Ser Leu Ser Pro Gly
Glu Arg Ala Thr Leu Ser Cys Arg Thr Ser Glu Asn Val Tyr Ser Tyr
                      25
Leu Ala Trp Tyr Gln Gln Lys Pro Gly Gln Ala Pro Arg Leu Leu lle
                   40
                                 45
Tyr Phe Ala Lys Thr Leu Ala Glu Gly lle Pro Ala Arg Phe Ser Gly
                 55
                               60
Ser Gly Ser Gly Thr Asp Phe Thr Leu Thr Ile Ser Ser Leu Glu Pro
                            75
                                           80
Glu Asp Phe Ala Val Tyr Tyr Cys Gln His His Ser Asp Asn Pro Trp
                        90
Thr Phe Gly Gln Gly Thr Lys Val Glu lle Lys
        100
                       105
<210>
      238
<211>
       107
<212>
      PRT
<213>
      Secuencia artificial
<220>
<223>
      Región variable de cadena ligera
<400>
      238
```

ES 2 368 700 T3

```
Glu lle Val Leu Thr Gln Ser Pro Ala Thr Leu Ser Leu Ser Pro Gly
  Glu Arg Ala Thr Leu Ser Cys Arg Ala Ser Glu Asn Val Tyr Ser Tyr
                       25
  Leu Ala Trp Tyr Gln Gln Lys Pro Gly Gln Ala Pro Arg Leu Leu lle
                                   45
  Tyr Phe Ala Lys Thr Leu Ala Glu Gly lle Pro Ala Arg Phe Ser Gly
                  55
                                60
  Ser Gly Ser Gly Thr Asp Phe Thr Leu Thr Ile Ser Ser Leu Glu Pro
               70
                              75
  Glu Asp Phe Ala Val Tyr Tyr Cys Gln His His Ser Asp Asn Pro Trp
                          90
                                        95
  Thr Phe Gly Gln Gly Thr Lys Val Glu lle Lys
         100
                        105
<210> 239
<211 107
<212> PRT
<213> Secuencia artificial
<220>
<223> Región variable de cadena ligera
<400> 239
Glu lle Val Leu Thr Gln Ser Pro Ala Thr Leu Ser Leu Ser Pro Gly
                         10
                                       15
Glu Arg Ala Thr Leu Ser Cys Arg Thr Ser Gln Asn Val Tyr Ser Tyr
                      25
Leu Ala Trp Tyr Gln Gln Lys Pro Gly Gln Ala Pro Arg Leu Leu lle
                   40
                                  45
Tyr Phe Ala Lys Thr Leu Ala Glu Gly lle Pro Ala Arg Phe Ser Gly
                               60
                 55
 Ser Gly Ser Gly Thr Asp Phe Thr Leu Thr Ile Ser Ser Leu Glu Pro
                            75
 Glu Asp Phe Ala Val Tyr Tyr Cys Gln His His Ser Asp Asn Pro Trp
                        90
 Thr Phe Gly Gln Gly Thr Lys Val Glu lle Lys
         100
                       105
<210>
      240
<211>
      107
<212>
      PRT
<213>
      Secuencia artificial
<220>
<223> Región variable de cadena ligera
<400> 240
```

```
Glu lle Val Leu Thr Gln Ser Pro Ala Thr Leu Ser Leu Ser Pro Gly
                          10
  Glu Arg Ala Thr Leu Ser Cys Arg Thr Ser Glu Ser Val Tyr Ser Tyr
                       25
                                     30
  Leu Ala Trp Tyr Gln Gln Lys Pro Gly Gln Ala Pro Arg Leu Leu lle
                                   45
  Tyr Phe Ala Lys Thr Leu Ala Glu Gly lle Pro Ala Arg Phe Ser Gly
                  55
                                60
  Ser Gly Ser Gly Thr Asp Phe Thr Leu Thr Ile Ser Ser Leu Glu Pro
                              75
  Glu Asp Phe Ala Val Tyr Tyr Cys Gln His His Ser Asp Asn Pro Trp
                          90
  Thr Phe Gly Gln Gly Thr Lys Val Glu lle Lys
          100
                        105
      241
<210>
<211>
      116
      PRT
<212>
<213>
      Secuencia artificial
<220>
<223> Región variable de cadena pesada
<400> 241
 Ala Val Gln Leu Gln Gln Ser Gly Pro Glu Ser Glu Lys Pro Gly Ala
                          10
  Ser Val Lys IIe Ser Cys Lys Ala Ser Gly Tyr Ser Phe Thr Gly Tyr
  Asn Met Asn Trp Val Lys Gln Asn Asn Gly Lys Ser Leu Glu Trp Ile
                                   45
                     40
  Gly Asn lie Asp Pro Tyr Tyr Gly Gly Thr Thr Tyr Asn Arg Lys Phe
                                60
  Lys Gly Lys Ala Thr Leu Thr Val Asp Lys Ser Ser Ser Thr Ala Tyr
                              75
                70
  Met Gin Leu Lys Ser Leu Thr Ser Glu Asp Ser Ala Val Tyr Tyr Cys
                          90
  Ala Arg Ser Val Gly Pro Met Asp Tyr Trp Gly Gln Gly Thr Ser Val
                      105
                                   110
         100
  Thr Val Ser Ser
       115
<210>
      242
<211>
      116
<212>
      PRT
      Secuencia artificial
<213>
<223>
      Región variable de cadena pesada
<400> 242
```

```
Glu Val Gln Leu Val Gln Ser Gly Ala Glu Val Lys Lys Pro Gly Glu
                          10
                                         15
 Ser Leu Lys Ile Ser Cys Lys Gly Ser Gly Tyr Ser Phe Thr Gly Tyr
                        25
 Asn Met Asn Trp Val Arg Gln Met Pro Gly Lys Gly Leu Glu Trp Met
                                   45
 Gly Asn lle Asp Pro Tyr Tyr Gly Gly Thr Thr Tyr Asn Arg Lys Phe
 Lys Gly Gln Val Thr lle Ser Ala Asp Lys Ser lle Ser Thr Ala Tyr
                70
                              75
                                            80
 Leu Gin Trp Ser Ser Leu Lys Ala Ser Asp Thr Ala Met Tyr Tyr Cys
                          90
            85
                                        95
 Ala Arg Ser Val Gly Pro Met Asp Tyr Trp Gly Gln Gly Thr Leu Val
         100
                        105
                                       110
  Thr Val Ser Ser
       115
<210>
      243
<211>
      116
<212>
      PRT
<213> Secuencia artificial
<220>
<223>
      Región variable de cadena pesada
<400>
      243
 Glu Val Gln Leu Val Gln Ser Gly Ala Glu Val Lys Lys Pro Gly Glu
 Ser Leu Lys IIe Ser Cys Lys Gly Ser Gly Tyr Ser Phe Thr Gly Tyr
         20
                      25
                                    30
 Asn Met Asn Trp Val Arg Gln Met Pro Gly Lys Gly Leu Glu Trp Met
 Gly Asn lle Asp Pro Tyr Tyr Gly Gly Thr Thr Tyr Asn Arg Lys Phe
                  55
                               60
 Lys Gly Gln Val Thr lie Ser Ala Asp Lys Ser lie Ser Thr Ala Tyr
                             75
               70
 Leu Gln Trp Ser Ser Leu Lys Ala Ser Asp Thr Ala Met Tyr Tyr Cys
                         90
 Ala Arg Ser Val Gly Pro Met Asp Val Trp Gly Gln Gly Thr Leu Val
         100
                       105
                                      110
 Thr Val Ser Ser
    115
<210>
      244
<211>
       116
<212>
      PRT
<213>
      Secuencia artificial
<223>
      Región variable de cadena pesada
<400> 244
```

```
Glu Val Gln Leu Val Gln Ser Gly Ala Glu Val Lys Lys Pro Gly Glu
                        10
 Ser Leu Lys IIe Ser Cys Lys Gly Ser Gly Tyr Ser Phe Thr Gly Tyr
                      25
 Asn Met Asn Trp Val Arg Gln Met Pro Gly Lys Gly Leu Glu Trp Met
 Gly Asn lle Asp Pro Tyr Tyr Gly Gly Thr Thr Tyr Asn Arg Lys Phe
                 55
                               60
 Lys Gly Gln Val Thr lie Ser Ala Asp Lys Ser lie Ser Thr Ala Tyr
                            75
 Leu Gln Trp Ser Ser Leu Lys Ala Ser Asp Thr Ala Met Tyr Tyr Cys
           85
                        90
 Ala Arg Ser Val Gly Pro Phe Asp Tyr Trp Gly Gln Gly Thr Leu Val
         100
                       105
                                     110
 Thr Val Ser Ser
      115
<210>
      245
<211>
       116
<212>
      PRT
      Secuencia artificial
<213>
<220>
<223>
      Región variable de cadena pesada
<400>
      245
 Glu Val Gln Leu Val Gln Ser Gly Ala Glu Val Lys Lys Pro Gly Glu
 Ser Leu Lys Ile Ser Cys Lys Gly Ser Gly Tyr Ser Phe Thr Gly Tyr
                       25
 Asn Met Asn Trp Val Arg Gln Met Pro Gly Lys Gly Leu Glu Trp Met
 Gly Asn lle Asp Pro Tyr Tyr Gly Gly Thr Thr Tyr Asn Arg Lys Phe
                  55
                                60
 Lys Gly Gln Val Thr lle Ser Ala Asp Lys Ser lle Ser Thr Ala Tyr
                              75
 Leu Gln Trp Ser Ser Leu Lys Ala Ser Asp Thr Ala Met Tyr Tyr Cys
                          90
                                        95
 Ala Arg Ser Val Gly Pro Phe Asp Ser Trp Gly Gln Gly Thr Leu Val
                        105
         100
 Thr Val Ser Ser
      115
<210> 246
<211>217
<212> PRT
<213>
      Secuencia artificial
<223> Regiones CH2 y CH3 de IgG1 humana
<400> 246
```

```
Ala Pro Glu Leu Leu Gly Gly Pro Ser Val Phe Leu Phe Pro Pro Lys
             5
                          10
                                       15
  Pro Lys Asp Thr Leu Met Ile Ser Arg Thr Pro Glu Val Thr Cys Val
                       25
                                    30
  Val Val Asp Val Ser His Glu Asp Pro Glu Val Lys Phe Asn Trp Tyr
                    40
  Val Asp Gly Val Glu Val His Asn Ala Lys Thr Lys Pro Arg Glu Glu
                  55
                               60
  Gln Tyr Asn Ser Thr Tyr Arg Val Val Ser Val Leu Thr Val Leu His
                70
                             75
  Gln Asp Trp Leu Asn Gly Lys Glu Tyr Lys Cys Lys Val Ser Asn Lys
                         90
                                       95
  Ala Leu Pro Ala Pro Ile Glu Lys Thr Ile Ser Lys Ala Lys Gly Gln
                        105
                                      110
  Pro Arg Glu Pro Gln Val Tyr Thr Leu Pro Pro Ser Arg Asp Glu Leu
                     120
                                   125
  Thr Lys Asn Gln Val Ser Leu Thr Cys Leu Val Lys Gly Phe Tyr Pro
                   135
                                 140
  Ser Asp Ile Ala Val Glu Trp Glu Ser Asn Gly Gln Pro Glu Asn Asn
                150
                               155
                                             160
  Tyr Lys Thr Thr Pro Pro Val Leu Asp Ser Asp Gly Ser Phe Phe Leu
            165
                          170
  Tyr Ser Lys Leu Thr Val Asp Lys Ser Arg Trp Gln Gln Gly Asn Val
                        185
                                      190
  Phe Ser Cys Ser Val Met His Glu Ala Leu His Asn His Tyr Thr Gln
                     200
                                   205
  Lys Ser Leu Ser Leu Ser Pro Gly Lys
     210
                   215
<210>
       247
<211> 473
<212> PRT
<213>
       Secuencia artificial
<220>
<223>
       Proteína de unión específica a CD37
<400> 247
 Asp lie Gin Met Thr Gin Ser Pro Ala Ser Leu Ser Ala Ser Val Gly
 Glu Thr Val Thr lle Thr Cys Arg Thr Ser Glu Asn Val Tyr Ser Tyr
                       25
 Leu Ala Trp Tyr Gin Gin Lys Gin Gly Lys Ser Pro Gin Leu Leu Val
                    40
                                  45
 Ser Phe Ala Lys Thr Leu Ala Glu Gly Val Pro Ser Arg Phe Ser Gly
```

```
50
                 55
                              60
  Ser Gly Ser Gly Thr Gln Phe Ser Leu Lys Ile Ser Ser Leu Gln Pro
                                         80
              70
                            75
 Glu Asp Ser Gly Ser Tyr Phe Cys Gln His His Ser Asp Asn Pro Trp
           85
                        90
                                      95
  Thr Phe Gly Gly Gly Thr Glu Leu Glu lle Lys Gly Gly Gly Ser
                      105
                                    110
  Gly Gly Gly Ser Gly Gly Gly Ser Ser Ala Val Gln Leu Gln
                    120
  Gln Ser Gly Pro Glu Ser Glu Lys Pro Gly Ala Ser Val Lys lle Ser
                  135
                                140
  Cys Lys Ala Ser Gly Tyr Ser Phe Thr Gly Tyr Asn Met Asn Trp Val
                             155
  Lys Gln Asn Asn Gly Lys Ser Leu Glu Trp lle Gly Asn lle Asp Pro
                         170
                                       175
  Tyr Tyr Gly Gly Thr Thr Tyr Asn Arg Lys Phe Lys Gly Lys Ala Thr
                                    190
         180
                      185
  Leu Thr Val Asp Lys Ser Ser Ser Thr Ala Tyr Met Gln Leu Lys Ser
                                  205
                    200
  Leu Thr Ser Glu Asp Ser Ala Val Tyr Tyr Cys Ala Arg Ser Val Gly
                                220
                  215
  Pro Met Asp Tyr Trp Gly Gln Gly Thr Ser Val Thr Val Ser Ser Asp
               230
                             235
                                           240
  Leu Glu Pro Lys Ser Ser Asp Lys Thr His Thr Ser Pro Pro Cys Pro
                         250
                                       255
  Ala Pro Glu Leu Leu Gly Gly Pro Ser Val Phe Leu Phe Pro Pro Lys
                      265
                                    270
         260
  Pro Lys Asp Thr Leu Met Ile Ser Arg Thr Pro Glu Val Thr Cys Val
                    280
      275
                                  285
  Val Val Asp Val Ser His Glu Asp Pro Glu Val Lys Phe Asn Trp Tyr
                  295
                                300
  Val Asp Gly Val Glu Val His Asn Ala Lys Thr Lys Pro Arg Glu Glu
  305
               310
                                           320
                             315
  Gln Tyr Asn Ser Thr Tyr Arg Val Val Ser Val Leu Thr Val Leu His
                         330
                                       335
  Gln Asp Trp Leu Asn Gly Lys Glu Tyr Lys Cys Lys Val Ser Asn Lys
                       345
                                     350
  Ala Leu Pro Ala Pro Ile Glu Lys Thr Ile Ser Lys Ala Lys Gly Gln
                    360
                                  365
  Pro Arg Glu Pro Gln Val Tyr Thr Leu Pro Pro Ser Arg Asp Glu Leu
                  375
                                380
  Thr Lys Asn Gln Val Ser Leu Thr Cys Leu Val Lys Gly Phe Tyr Pro
               390
                             395
                                           400
  Ser Asp Ile Ala Val Glu Trp Glu Ser Asn Gly Gln Pro Glu Asn Asn
                         410
                                       415
  Tyr Lys Thr Thr Pro Pro Val Leu Asp Ser Asp Gly Ser Phe Phe Leu
                       425
                                     430
  Tyr Ser Lys Leu Thr Val Asp Lys Ser Arg Trp Gln Gln Gly Asn Val
                    440
                                  445
  Phe Ser Cys Ser Val Met His Glu Ala Leu His Asn His Tyr Thr Gln
                  455
                                460
  Lys Ser Leu Ser Leu Ser Pro Gly Lys
               470
  465
<210> 248
<211> 473
```

```
<212> PRT
<213> Secuencia artificial
<223>
       Proteína de unión específica a CD37
<400> 248
Glu lle Val Leu Thr Gln Ser Pro Ala Thr Leu Ser Leu Ser Pro Gly
                       10
Glu Arg Ala Thr Leu Ser Cys Arg Thr Ser Glu Asn Val Tyr Ser Tyr
Leu Ala Trp Tyr Gln Gln Lys Pro Gly Gln Ala Pro Arg Leu Leu lle
                  40
                                45
Tyr Phe Ala Lys Thr Leu Ala Glu Gly lle Pro Ala Arg Phe Ser Gly
                55
                             60
Ser Gly Ser Gly Thr Asp Phe Thr Leu Thr Ile Ser Ser Leu Glu Pro
              70
                           75
                                         80
Glu Asp Phe Ala Val Tyr Tyr Cys Gln His His Ser Asp Asn Pro Trp
                       90
Thr Phe Gly Gin Gly Thr Lys Val Glu lle Lys Gly Gly Gly Ser
                     105
                                    110
Gly Gly Gly Ser Gly Gly Gly Thr Gly Glu Val Gln Leu Val
                   120
                                 125
Gln Ser Gly Ala Glu Val Lys Lys Pro Gly Glu Ser Leu Lys Ile Ser
                 135
                               140
Cys Lys Gly Ser Gly Tyr Ser Phe Thr Gly Tyr Asn Met Asn Trp Val
                            155
Arg Gln Met Pro Gly Lys Gly Leu Glu Trp Met Gly Asn Ile Asp Pro
                        170
Tyr Tyr Gly Gly Thr Thr Tyr Asn Arg Lys Phe Lys Gly Gln Val Thr
                      185
                                    190
lle Ser Ala Asp Lys Ser lle Ser Thr Ala Tyr Leu Gln Trp Ser Ser
                   200
     195
                                 205
Leu Lys Ala Ser Asp Thr Ala Met Tyr Tyr Cys Ala Arg Ser Val Gly
   210
                 215
                               220
Pro Met Asp Tyr Trp Gly Arg Gly Thr Leu Val Thr Val Ser Ser Asp
                            235
              230
                                           240
Gln Glu Pro Lys Ser Ser Asp Lys Thr His Thr Ser Pro Pro Cys Pro
          245
                        250
                                       255
Ala Pro Glu Leu Leu Gly Gly Pro Ser Val Phe Leu Phe Pro Pro Lys
                     265
                                    270
Pro Lys Asp Thr Leu Met lle Ser Arg Thr Pro Glu Val Thr Cys Val
                   280
Val Val Asp Val Ser His Glu Asp Pro Glu Val Lys Phe Asn Trp Tyr
                 295
                               300
Val Asp Gly Val Glu Val His Asn Ala Lys Thr Lys Pro Arg Glu Glu
              310
                            315
                                           320
Gln Tyr Asn Ser Thr Tyr Arg Val Val Ser Val Leu Thr Val Leu His
                        330
          325
                                       335
 Gln Asp Trp Leu Asn Gly Lys Glu Tyr Lys Cys Lys Val Ser Asn Lys
                      345
                                    350
        340
 Ala Leu Pro Ala Pro Ile Glu Lys Thr Ile Ser Lys Ala Lys Gly Gln
     355
                   360
                                  365
 Pro Arg Glu Pro Gln Val Tyr Thr Leu Pro Pro Ser Arg Asp Glu Leu
   370
                 375
                               380
```

```
Thr Lys Asn Gln Val Ser Leu Thr Cys Leu Val Lys Gly Phe Tyr Pro
                390
  385
                             395
  Ser Asp Ile Ala Val Glu Trp Glu Ser Asn Gly Gln Pro Glu Asn Asn
           405
                         410
                                       415
  Tyr Lys Thr Thr Pro Pro Val Leu Asp Ser Asp Gly Ser Phe Phe Leu
                       425
                                     430
  Tyr Ser Lys Leu Thr Val Asp Lys Ser Arg Trp Gln Gln Gly Asn Val
                    440
  Phe Ser Cys Ser Val Met His Glu Ala Leu His Asn His Tyr Thr Gln
                  455
                                460
  Lys Ser Leu Ser Leu Ser Pro Gly Lys
  465
               470
<210> 249
<211>
       473
<212>
       PRT
<213> Secuencia artificial
<220>
<223>
       Proteína de unión específica a CD37
<400>
       249
 Glu lle Val Leu Thr Gln Ser Pro Ala Thr Leu Ser Leu Ser Pro Gly
                         10
                                      15
 Glu Arg Ala Thr Leu Ser Cys Arg Ala Ser Glu Asn Val Tyr Ser Tyr
                                    30
                      25
 Leu Ala Trp Tyr Gln Gln Lys Pro Gly Gln Ala Pro Arg Leu Leu lle
                    40
                                 45
 Tyr Phe Ala Lys Thr Leu Ala Glu Gly lle Pro Ala Arg Phe Ser Gly
                 55
                               60
  Ser Gly Ser Gly Thr Asp Phe Thr Leu Thr Ile Ser Ser Leu Glu Pro
                            75
               70
                                          80
  Glu Asp Phe Ala Val Tyr Tyr Cys Gln His His Ser Asp Asn Pro Trp
                         90
                                      95
  Thr Phe Gly Gln Gly Thr Lys Val Glu lle Lys Gly Gly Gly Ser
                       105
                                     110
  Gly Gly Gly Ser Gly Gly Gly Gly Thr Gly Glu Val Gln Leu Val
                    120
  Gln Ser Gly Ala Glu Val Lys Lys Pro Gly Glu Ser Leu Lys lle Ser
                  135
                                140
  Cys Lys Gly Ser Gly Tyr Ser Phe Thr Gly Tyr Asn Met Asn Trp Val
                150
                              155
  Arg Gln Met Pro Gly Lys Gly Leu Glu Trp Met Gly Asn lle Asp Pro
                         170
                                        175
           165
  Tyr Tyr Gly Gly Thr Thr Tyr Asn Arg Lys Phe Lys Gly Gln Val Thr
                       185
                                     190
  lle Ser Ala Asp Lys Ser lle Ser Thr Ala Tyr Leu Gln Trp Ser Ser
                     200
                                   205
  Leu Lys Ala Ser Asp Thr Ala Met Tyr Tyr Cys Ala Arg Ser Val Gly
                                220
                  215
  Pro Phe Asp Tyr Trp Gly Gln Gly Thr Leu Val Thr Val Ser Ser Asp
                              235
                230
                                            240
  Gln Glu Pro Lys Ser Ser Asp Lys Thr His Thr Ser Pro Pro Cys Pro
           245
                         250
  Ala Pro Glu Leu Leu Gly Gly Pro Ser Val Phe Leu Phe Pro Pro Lys
```

```
265
                                     270
         260
 Pro Lys Asp Thr Leu Met Ile Ser Arg Thr Pro Glu Val Thr Cys Val
                     280
                                   285
 Val Val Asp Val Ser His Glu Asp Pro Glu Val Lys Phe Asn Trp Tyr
                                300
                  295
 Val Asp Gly Val Glu Val His Asn Ala Lys Thr Lys Pro Arg Glu Glu
                              315
                                            320
  Gln Tyr Asn Ser Thr Tyr Arg Val Val Ser Val Leu Thr Val Leu His
            325
                          330
                                        335
  Gln Asp Trp Leu Asn Gly Lys Glu Tyr Lys Cys Lys Val Ser Asn Lys
                       345
                                     350
  Ala Leu Pro Ala Pro Ile Glu Lys Thr Ile Ser Lys Ala Lys Gly Gln
                     360
                                   365
  Pro Arg Glu Pro Gln Val Tyr Thr Leu Pro Pro Ser Arg Asp Glu Leu
                                380
    370
                  375
  Thr Lys Asn Gln Val Ser Leu Thr Cys Leu Val Lys Gly Phe Tyr Pro
                390
                              395
                                            400
  Ser Asp Ile Ala Val Glu Trp Glu Ser Asn Gly Gln Pro Glu Asn Asn
            405
                          410
                                        415
  Tyr Lys Thr Thr Pro Pro Val Leu Asp Ser Asp Gly Ser Phe Phe Leu
                       425
                                     430
  Tyr Ser Lys Leu Thr Val Asp Lys Ser Arg Trp Gln Gln Gly Asn Val
       435
                     440
                                   445
  Phe Ser Cys Ser Val Met His Glu Ala Leu His Asn His Tyr Thr Gln
                  455
                                460
  Lys Ser Leu Ser Leu Ser Pro Gly Lys
  465
                470
<210>
      250
<211> 473
<212>
      PRT
<213>
      Secuencia artificial
<220>
<223> Proteína de unión específica a CD37
<400> 250
 Glu Ile Val Leu Thr Gln Ser Pro Ala Thr Leu Ser Leu Ser Pro Gly
                        10
                                      15
 Glu Arg Ala Thr Leu Ser Cys Arg Ala Ser Glu Asn Val Tyr Ser Tyr
        20
                      25
                                   30
 Leu Ala Trp Tyr Gin Gin Lys Pro Gly Gin Ala Pro Arg Leu Leu lle
                   40
 Tyr Phe Ala Lys Thr Leu Ala Glu Gly lle Pro Ala Arg Phe Ser Gly
                 55
                              60
 Ser Gly Ser Gly Thr Asp Phe Thr Leu Thr lle Ser Ser Leu Glu Pro
              70
                            75
                                          80
 Glu Asp Phe Ala Val Tyr Tyr Cys Gln His His Ser Asp Asn Pro Trp
                         90
 Thr Phe Gly Gln Gly Thr Lys Val Glu lle Lys Gly Gly Gly Ser
                       105
         100
                                     110
 Gly Gly Gly Ser Gly Gly Gly Gly Thr Gly Glu Val Gln Leu Val
                    120
                                  125
 Gln Ser Gly Ala Glu Val Lys Lys Pro Gly Glu Ser Leu Lys Ile Ser
    130
                  135
                                140
```

```
Cys Lys Gly Ser Gly Tyr Ser Phe Thr Gly Tyr Asn Met Asn Trp Val
                150
                                            160
                              155
  Arg Gln Met Pro Gly Lys Gly Leu Glu Trp Met Gly Asn lle Asp Pro
           165
                         170
                                        175
  Tyr Tyr Gly Gly Thr Thr Tyr Asn Arg Lys Phe Lys Gly Gln Val Thr
         180
                       185
                                     190
  lle Ser Ala Asp Lys Ser Ile Ser Thr Ala Tyr Leu Gln Trp Ser Ser
                    200
                                   205
  Leu Lys Ala Ser Asp Thr Ala Met Tyr Tyr Cys Ala Arg Ser Val Gly
                  215
                                220
  Pro Phe Asp Ser Trp Gly Gln Gly Thr Leu Val Thr Val Ser Ser Asp
                              235
                                            240
                230
  Gln Glu Pro Lys Ser Ser Asp Lys Thr His Thr Ser Pro Pro Cys Pro
                         250
           245
  Ala Pro Glu Leu Leu Gly Gly Pro Ser Val Phe Leu Phe Pro Pro Lys
                       265
                                     270
  Pro Lys Asp Thr Leu Met Ile Ser Arg Thr Pro Glu Val Thr Cys Val
                     280
                                   285
  Val Val Asp Val Ser His Glu Asp Pro Glu Val Lys Phe Asn Trp Tyr
                  295
                                300
  Val Asp Gly Val Glu Val His Asn Ala Lys Thr Lys Pro Arg Glu Glu
                              315
  Gln Tyr Asn Ser Thr Tyr Arg Val Val Ser Val Leu Thr Val Leu His
                         330
                                        335
  Gln Asp Trp Leu Asn Gly Lys Glu Tyr Lys Cys Lys Val Ser Asn Lys
                       345
                                     350
  Ala Leu Pro Ala Pro Ile Glu Lys Thr Ile Ser Lys Ala Lys Gly Gln
                     360
                                   365
  Pro Arg Glu Pro Gln Val Tyr Thr Leu Pro Pro Ser Arg Asp Glu Leu
                  375
  Thr Lys Asn Gln Val Ser Leu Thr Cys Leu Val Lys Gly Phe Tyr Pro
                              395
                                            400
  Ser Asp Ile Ala Val Glu Trp Glu Ser Asn Gly Gln Pro Glu Asn Asn
                          410
                                        415
  Tyr Lys Thr Thr Pro Pro Val Leu Asp Ser Asp Gly Ser Phe Phe Leu
                       425
                                     430
  Tyr Ser Lys Leu Thr Val Asp Lys Ser Arg Trp Gln Gln Gly Asn Val
                     440
                                   445
  Phe Ser Cys Ser Val Met His Glu Ala Leu His Asn His Tyr Thr Gln
                  455
  Lys Ser Leu Ser Leu Ser Pro Gly Lys
  465
                470
<210>
      251
<211>
      480
<212>
      PRT
      Secuencia artificial
<213>
<220>
      Proteína de unión específica a CD37
<223>
<400> 251
```

ES 2 368 700 T3

Ala Val Gin Leu Gin Gin Ser Gly Pro Glu Ser Glu Lys Pro Gly Ala 1 5 10 15 Ser Val Lys Ile Ser Cys Lys Ala Ser Gly Tyr Ser Phe Thr Gly Tyr

20	25	30	
_		sn Gly Lys Ser Leu	Glu Trp lle
Gly Asn Ile Asp Pro		Thr Thr Tyr Asn Ar	g Lys Phe
Lys Gly Lys Ala Th		p Lys Ser Ser Ser T 80	hr Ala Tyr
		Glu Asp Ser Ala Val	Tyr Tyr Cys
Ala Arg Ser Val Gly 100		r Trp Gly Gln Gly T 110	hr Ser Val
Thr Val Ser Ser Gly 115		r Gly Gly Gly Gly S 25	er Gly Gly
Gly Gly Ser Gly Gly 130 13	35 140		
145 150	155	ro Gly Glu Arg Ala ⁻ 160	
165	170		•
180	185	eu lle Tyr Phe Ala L 190	
195	200 2	r Gly Ser Gly Ser G 205	
		lu Pro Glu Asp Phe	Ala Val Tyr
	15 220 s Sar Asn Asn P	ro Trp Thr Phe Gly	Gln Gly Thr
225 230		240	Gill Gly 11ii
	Gly Ser Ser Glu	Pro Lys Ser Ser A	sp Lys Thr
		ro Glu Leu Leu Gly	Gly Pro Ser
		ys Asp Thr Leu Me 285	t lle Ser Arg
	r Cys Val Val Va 95	l Asp Val Ser His G)	lu Asp Pro
Glu Val Lys Phe As 305 310		p Gly Val Glu Val F 320	lis Asn Ala
Lys Thr Lys Pro Ar 325	g Glu Glu Gln Ty 330	r Asn Ser Thr Tyr A 335	Arg Val Val
340	345	sp Trp Leu Asn Gly 350	
355	360	eu Pro Ala Pro lle G 365	-
370 3	75 380		
	•	ys Asn Gln Val Ser	Leu Thr Cys
385 390	395	400 sp lle Ala Val Glu T.	rn Glu Ser
405	410	415	ip Gia Sei
		ys Thr Thr Pro Pro 430	Val Leu Asp
	he Phe Leu Tyr :	Ser Lys Leu Thr Va 145	l Asp Lys Ser
Arg Trp Gln Gln Gl		er Cys Ser Val Met	His Glu Ala
		er Leu Ser Leu Ser	Pro Gly Lys
465 47	0 475	480	

```
<210> 252
<211> 472
<212> PRT
<213> Secuencia artificial
<220>
<223>
       Proteína de unión específica a CD37
<400>
       252
Glu Ile Val Leu Thr Gln Ser Pro Ala Thr Leu Ser Leu Ser Pro Gly
                        10
                                     15
 Glu Arg Ala Thr Leu Ser Cys Arg Thr Ser Glu Asn Val Tyr Ser Tyr
                     25
Leu Ala Trp Tyr Gln Gln Lys Pro Gly Gln Ala Pro Arg Leu Leu lle
                                45
                   40
 Tyr Phe Ala Lys Thr Leu Ala Glu Gly lle Pro Ala Arg Phe Ser Gly
                 55
                              60
 Ser Gly Ser Gly Thr Asp Phe Thr Leu Thr Ile Ser Ser Leu Glu Pro
              70
                            75
 Glu Asp Phe Ala Val Tyr Tyr Cys Gln His His Ser Asp Asn Pro Trp
                        90
                                     95
 Thr Phe Gly Gln Gly Thr Lys Val Glu lle Lys Gly Gly Gly Ser
                      105
                                    110
 Gly Gly Gly Ser Gly Gly Gly Gly Ala Ser Ala Val Gln Leu Gln
                   120
                                  125
 Gln Ser Gly Pro Glu Ser Glu Lys Pro Gly Ala Ser Val Lys lle Ser
                 135
                               140
 Cys Lys Ala Ser Gly Tyr Ser Phe Thr Gly Tyr Asn Met Asn Trp Val
               150
                             155
                                           160
 Lys Gln Asn Asn Gly Lys Ser Leu Glu Trp lle Gly Asn lle Asp Pro
                         170
                                       175
 Tyr Tyr Gly Gly Thr Thr Tyr Asn Arg Lys Phe Lys Gly Lys Ala Thr
                      185
                                    190
 Leu Thr Val Asp Lys Ser Ser Ser Thr Ala Tyr Met Gln Leu Lys Ser
                    200
 Leu Thr Ser Glu Asp Ser Ala Val Tyr Tyr Cys Ala Arg Ser Val Gly
                 215
                               220
 Pro Met Asp Tyr Trp Gly Gln Gly Thr Ser Val Thr Val Ser Ser Ser
               230
                             235
                                           240
 Glu Pro Lys Ser Ser Asp Lys Thr His Thr Ser Pro Pro Cys Pro Ala
                         250
                                       255
 Pro Glu Leu Leu Gly Gly Pro Ser Val Phe Leu Phe Pro Pro Lys Pro
                      265
                                    270
 Lys Asp Thr Leu Met Ile Ser Arg Thr Pro Glu Val Thr Cys Val Val
                    280
                                  285
 Val Asp Val Ser His Glu Asp Pro Glu Val Lys Phe Asn Trp Tyr Val
                 295
                                300
 Asp Gly Val Glu Val His Asn Ala Lys Thr Lys Pro Arg Glu Glu Gln
               310
                             315
                                           320
 Tyr Asn Ser Thr Tyr Arg Val Val Ser Val Leu Thr Val Leu His Gln
                         330
                                       335
 Asp Trp Leu Asn Gly Lys Glu Tyr Lys Cys Lys Val Ser Asn Lys Ala
        340
                      345
                                    350
```

```
Leu Pro Ala Pro Ile Glu Lys Thr Ile Ser Lys Ala Lys Gly Gin Pro
       355
                     360
                                  365
   Arg Glu Pro Gln Val Tyr Thr Leu Pro Pro Ser Arg Asp Glu Leu Thr
     370
                  375
                                380
   Lys Asn Gln Val Ser Leu Thr Cys Leu Val Lys Gly Phe Tyr Pro Ser
                390
                              395
   Asp Ile Ala Val Glu Trp Glu Ser Asn Gly Gln Pro Glu Asn Asn Tyr
            405
                         410
                                       415
   Lys Thr Thr Pro Pro Val Leu Asp Ser Asp Gly Ser Phe Phe Leu Tyr
          420
                       425
                                     430
   Ser Lys Leu Thr Val Asp Lys Ser Arg Trp Gln Gln Gly Asn Val Phe
                     440
                                  445
   Ser Cys Ser Val Met His Glu Ala Leu His Asn His Tyr Thr Gln Lys
                  455
                                460
   Ser Leu Ser Leu Ser Pro Gly Lys
   465
                470
<210>
       253
<211>
       483
       PRT
<212>
       Secuencia artificial
<213>
<220>
<223>
       Proteína de unión específica a CD37
<400>
       253
  Glu Val Gln Leu Val Gln Ser Gly Ala Glu Val Lys Lys Pro Gly Glu
                         10
  Ser Leu Lys Ile Ser Cys Lys Gly Ser Gly Tyr Ser Phe Thr Gly Tyr
         20
                       25
                                    30
  Asn Met Asn Trp Val Arg Gln Met Pro Gly Lys Gly Leu Glu Trp Met
                    40
                                  45
  Gly Asn Ile Asp Pro Tyr Tyr Gly Gly Thr Thr Tyr Asn Arg Lys Phe
                  55
  Lys Gly Gln Val Thr lle Ser Ala Asp Lys Ser lle Ser Thr Ala Tyr
  65
               70
                             75
  Leu Gln Trp Ser Ser Leu Lys Ala Ser Asp Thr Ala Met Tyr Tyr Cys
                         90
                                       95
  Ala Arg Ser Val Gly Pro Phe Asp Ser Trp Gly Gln Gly Thr Leu Val
                        105
                                      110
  Thr Val Ser Ser Gly Gly Gly Gly Ser Gly Gly Gly Ser Gly Gly
       115
                     120
                                   125
  Gly Gly Ser Gly Gly Gly Gly Gly Gly Gly Ser Glu lle Val
                   135
                                 140
  Leu Thr Gln Ser Pro Ala Thr Leu Ser Leu Ser Pro Gly Glu Arg Ala
                150
                               155
  Thr Leu Ser Cys Arg Ala Ser Glu Asn Val Tyr Ser Tyr Leu Ala Trp
                          170
                                         175
  Tyr Gln Gln Lys Pro Gly Gln Ala Pro Arg Leu Leu Ile Tyr Phe Ala
         180
                        185
                                      190
  Lys Thr Leu Ala Glu Gly lle Pro Ala Arg Phe Ser Gly Ser Gly Ser
                     200
       195
                                   205
  Gly Thr Asp Phe Thr Leu Thr Ile Ser Ser Leu Glu Pro Glu Asp Phe
                   215
                                 220
  Ala Val Tyr Tyr Cys Gln His His Ser Asp Asn Pro Trp Thr Phe Gly
```

```
225
                 230
                               235
                                             240
   Gin Gly Thr Lys Val Glu ile Lys Gly Asp Gln Glu Pro Lys Ser Ser
                          250
                                        255
   Asp Lys Thr His Thr Ser Pro Pro Cys Pro Ala Pro Glu Leu Leu Gly
                        265
                                      270
   Gly Pro Ser Val Phe Leu Phe Pro Pro Lys Pro Lys Asp Thr Leu Met
                     280
                                   285
   lle Ser Arg Thr Pro Glu Val Thr Cys Val Val Val Asp Val Ser His
                                 300
                   295
   Glu Asp Pro Glu Val Lys Phe Asn Trp Tyr Val Asp Gly Val Glu Val
                 310
                               315
                                             320
   His Asn Ala Lys Thr Lys Pro Arg Glu Glu Gln Tyr Asn Ser Thr Tyr
             325
                          330
                                        335
   Arg Val Val Ser Val Leu Thr Val Leu His Gln Asp Trp Leu Asn Gly
                        345
                                      350
   Lys Glu Tyr Lys Cys Lys Val Ser Asn Lys Ala Leu Pro Ala Pro Ile
                      360
                                    365
   Glu Lys Thr lle Ser Lys Ala Lys Gly Gln Pro Arg Glu Pro Gln Val
     370
                   375
                                 380
   Tyr Thr Leu Pro Pro Ser Arg Asp Glu Leu Thr Lys Asn Gln Val Ser
                 390
                               395
                                             400
   Leu Thr Cys Leu Val Lys Gly Phe Tyr Pro Ser Asp Ile Ala Val Glu
                          410
                                        415
   Trp Glu Ser Asn Gly Gln Pro Glu Asn Asn Tyr Lys Thr Thr Pro Pro
                        425
                                      430
   Val Leu Asp Ser Asp Gly Ser Phe Phe Leu Tyr Ser Lys Leu Thr Val
                      440
                                    445
        435
   Asp Lys Ser Arg Trp Gln Gln Gly Asn Val Phe Ser Cys Ser Val Met
                   455
                                 460
   His Glu Ala Leu His Asn His Tyr Thr Gln Lys Ser Leu Ser Leu Ser
   465
                 470
                               475
   Pro Gly Lys
<210>
      254
<211> 473
<212>
      PRT
<213>
      Secuencia artificial
<220>
<223>
      Proteína de unión específica a CD37
<400>
      254
 Glu lie Val Leu Thr Gln Ser Pro Ala Thr Leu Ser Leu Ser Pro Gly
                         10
                                      15
 Glu Arg Ala Thr Leu Ser Cys Arg Ala Ser Glu Asn Val Tyr Ser Tyr
        20
                      25
                                    30
 Leu Ala Trp Tyr Gln Gln Lys Pro Gly Gln Ala Pro Arg Leu Leu lle
                                 45
                   40
 Tyr Phe Ala Lys Thr Leu Ala Glu Gly Ile Pro Ala Arg Phe Ser Gly
                 55
                               60
 Ser Gly Ser Gly Thr Asp Phe Thr Leu Thr Ile Ser Ser Leu Glu Pro
              70
                            75
 Glu Asp Phe Ala Val Tyr Tyr Cys Gln His His Ser Asp Asn Pro Trp
                        90
                                      95
```

```
Thr Phe Gly Gln Gly Thr Lys Val Glu lle Lys Gly Gly Gly Ser
                       105
                                     110
  Gly Gly Gly Ger Gly Gly Gly Gly Thr Gly Glu Val Gln Leu Val
                     120
                                   125
       115
  Gln Ser Gly Ala Glu Val Lys Lys Pro Gly Glu Ser Leu Lys Ile Ser
                   135
                                140
  Cys Lys Gly Ser Gly Tyr Ser Phe Thr Gly Tyr Asn Met Asn Trp Val
  145
                              155
                150
  Arg Gln Met Pro Gly Lys Gly Leu Glu Trp Met Gly Asn Ile Asp Pro
                          170
                                        175
            165
  Tyr Tyr Gly Gly Thr Thr Tyr Asn Arg Lys Phe Lys Gly Gln Val Thr
                       185
                                     190
  lle Ser Ala Asp Lys Ser lle Ser Thr Ala Tyr Leu Gin Trp Ser Ser
                     200
                                   205
  Leu Lys Ala Ser Asp Thr Ala Met Tyr Tyr Cys Ala Arg Ser Val Gly
                  215
                                 220
  Pro Met Asp Val Trp Gly Gln Gly Thr Thr Val Thr Val Ser Ser Asp
                             235
                230
                                            240
  Gln Glu Pro Lys Ser Ser Asp Lys Thr His Thr Ser Pro Pro Cys Pro
                          250
                                        255
  Ala Pro Glu Leu Leu Gly Gly Pro Ser Val Phe Leu Phe Pro Pro Lys
                        265
                                     270
  Pro Lys Asp Thr Leu Met Ile Ser Arg Thr Pro Glu Val Thr Cys Val
                     280
                                   285
  Val Val Asp Val Ser His Glu Asp Pro Glu Val Lys Phe Asn Trp Tyr
                  295
                                 300
  Val Asp Gly Val Glu Val His Asn Ala Lys Thr Lys Pro Arg Glu Glu
                              315
  Gln Tyr Asn Ser Thr Tyr Arg Val Val Ser Val Leu Thr Val Leu His
            325
                          330
                                        335
   Gln Asp Trp Leu Asn Gly Lys Glu Tyr Lys Cys Lys Val Ser Asn Lys
                        345
                                      350
  Ala Leu Pro Ala Pro Ile Glu Lys Thr Ile Ser Lys Ala Lys Gly Gln
                     360
                                   365
  Pro Arg Glu Pro Gln Val Tyr Thr Leu Pro Pro Ser Arg Asp Glu Leu
                   375
                                 380
   Thr Lys Asn Gln Val Ser Leu Thr Cys Leu Val Lys Gly Phe Tyr Pro
                390
                               395
                                            400
   Ser Asp Ile Ala Val Glu Trp Glu Ser Asn Gly Gln Pro Glu Asn Asn
                          410
                                        415
   Tyr Lys Thr Thr Pro Pro Val Leu Asp Ser Asp Gly Ser Phe Phe Leu
                        425
                                      430
   Tyr Ser Lys Leu Thr Val Asp Lys Ser Arg Trp Gln Gln Gly Asn Val
                                  445
                     440
  Phe Ser Cys Ser Val Met His Glu Ala Leu His Asn His Tyr Thr Gln
                  455
                                 460
  Lys Ser Leu Ser Leu Ser Pro Gly Lys
   465
                470
<210>
       255
<211>
       15
<212>
       PRT
<213>
       Secuencia artificial
<223>
       Región bisagra
<400>
       255
```

```
Glu Pro Lys Ser Cys Asp Lys Thr His Thr Cys Pro Pro Ser Pro
                        10
           5
<210> 256
<211> 15
<212> PRT
<213> Secuencia artificial
<223> Región bisagra
<400> 256
 Glu Pro Lys Ser Cys Asp Lys Thr His Thr Cys Pro Pro Ser Ser
                        10
                                      15
<210> 257
<211>
       15
<212>
       PRT
<213> Secuencia artificial
<220>
<223> Región bisagra
<400> 257
 Glu Pro Lys Ser Ser Asp Lys Thr His Thr Cys Pro Pro Ser Pro
            5
                         10
                                       15
<210>
       258
<211>
       15
<212>
       PRT
<213> Secuencia artificial
<220>
<223> Región bisagra
<400> 258
 Glu Pro Lys Ser Cys Asp Thr Pro Pro Pro Cys Pro Arg Cys Pro
           5
                       10
<210> 259
<211> 15
<212> PRT
<213> Secuencia artificial
<220>
<223> Región bisagra
Glu Pro Lys Ser Cys Asp Thr Pro Pro Pro Cys Pro Arg Ser Pro
             5
   1
                         10
                                     15
<210>
       260
<211> 15
<212> PRT
<213> Secuencia artificial
<220>
<223> Región bisagra
```

```
<400> 260
  Glu Pro Lys Ser Cys Asp Thr Pro Pro Pro Ser Pro Arg Cys Pro
                        10
                                     15
<210>
       261
       15
<211>
<212>
       PRT
<213> Secuencia artificial
<220>
<223> Región bisagra
<400> 261
  Glu Pro Lys Ser Cys Asp Thr Pro Pro Pro Cys Pro Arg Ser Pro
                       10
            5
<210>
       262
<211> 493
<212> PRT
<213> Secuencia artificial
<220>
<223> Proteína de unión específica a CD37
<400> 262
  Met Glu Ala Pro Ala Gln Leu Leu Phe Leu Leu Leu Leu Trp Leu Pro
                         10
  Asp Thr Thr Gly Glu lie Val Leu Thr Gln Ser Pro Ala Thr Leu Ser
         20
                      25
                                    30
  Leu Ser Pro Gly Glu Arg Ala Thr Leu Ser Cys Arg Ala Ser Glu Asn
                    40
  Val Tyr Ser Tyr Leu Ala Trp Tyr Gln Gln Lys Pro Gly Gln Ala Pro
                  55
  Arg Leu Leu Ile Tyr Phe Ala Lys Thr Leu Ala Glu Gly Ile Pro Ala
                            75
               70
  Arg Phe Ser Gly Ser Gly Ser Gly Thr Asp Phe Thr Leu Thr lle Ser
                         90
                                      95
  Ser Leu Glu Pro Glu Asp Phe Ala Val Tyr Tyr Cys Gln His His Ser
         100
                       105
                                     110
  Asp Asn Pro Trp Thr Phe Gly Gln Gly Thr Lys Val Glu lle Lys Gly
                    120
                                  125
  Gly Gly Gly Ser Gly Gly Gly Gly Gly Gly Gly Ala Ser Glu
```

140

130

135

```
Val Gln Leu Val Gln Ser Gly Ala Glu Val Lys Lys Pro Gly Glu Ser
                              155
                150
  Leu Lys Ile Ser Cys Lys Gly Ser Gly Tyr Ser Phe Thr Ser Tyr Asn
                                       175
                         170
  Met Asn Trp Val Arg Gln Met Pro Gly Lys Gly Leu Glu Trp Met Gly
                                     190
                       185
  Asn Ile Asp Pro Tyr Tyr Gly Gly Thr Gly Tyr Ala Gln Lys Phe Gln
                    200
                                  205
  Gly Gln Val Thr lle Ser Ala Asp Lys Ser lle Ser Thr Ala Tyr Leu
                  215
                                220
  Gln Trp Ser Ser Leu Lys Ala Ser Asp Thr Ala Met Tyr Tyr Cys Ala
                230
                              235
                                            240
  Arg Ser Val Gly Pro Met Asp Tyr Trp Gly Arg Gly Thr Leu Val Thr
                          250
                                        255
  Val Ser Ser Asp Gln Glu Pro Lys Ser Ser Asp Lys Thr His Thr Ser
                       265
                                     270
  Pro Pro Cys Pro Ala Pro Glu Leu Leu Gly Gly Pro Ser Val Phe Leu
                     280
                                   285
  Phe Pro Pro Lys Pro Lys Asp Thr Leu Met Ile Ser Arg Thr Pro Glu
                  295
                                300
  Val Thr Cys Val Val Val Asp Val Ser His Glu Asp Pro Glu Val Lys
  305
                310
                              315
  Phe Asn Trp Tyr Val Asp Gly Val Glu Val His Asn Ala Lys Thr Lys
            325
                          330
                                        335
  Pro Arg Glu Glu Gln Tyr Asn Ser Thr Tyr Arg Val Val Ser Val Leu
                       345
                                     350
  Thr Val Leu His Gln Asp Trp Leu Asn Gly Lys Glu Tyr Lys Cys Lys
       355
                     360
                                   365
  Val Ser Asn Lys Ala Leu Pro Ala Pro Ile Glu Lys Thr Ile Ser Lys
                  375
                                 380
  Ala Lys Gly Gln Pro Arg Glu Pro Gln Val Tyr Thr Leu Pro Pro Ser
                390
                              395
                                            400
  Arg Asp Glu Leu Thr Lys Asn Gln Val Ser Leu Thr Cys Leu Val Lys
                          410
                                        415
  Gly Phe Tyr Pro Ser Asp Ile Ala Val Glu Trp Glu Ser Asn Gly Gln
                       425
                                     430
  Pro Glu Asn Asn Tyr Lys Thr Thr Pro Pro Val Leu Asp Ser Asp Gly
                     440
                                   445
  Ser Phe Phe Leu Tyr Ser Lys Leu Thr Val Asp Lys Ser Arg Trp Gln
                  455
                                 460
  Gln Gly Asn Val Phe Ser Cys Ser Val Met His Glu Ala Leu His Asn
                470
                              475
  His Tyr Thr Gln Lys Ser Leu Ser Leu Ser Pro Gly Lys
                          490
            485
<210>
      263
<211>
      10
<212>
      PRT
<213> Homo sapiens
<400> 263
 Glu Pro Lys Ser Cys Asp Lys Thr His Thr
           5
                        10
```

```
<211> 4
<212> PRT
<213> Homo sapiens
<400> 264
Cys Pro Pro Cys
<210>
       265
<211>
<212>
       PRT
<213> Homo sapiens
<400> 265
Gly Thr Cys Tyr
<210>
       266
<211>
       473
<212>
       PRT
       Secuencia artificial
<213>
<220>
<223>
       Proteína de unión específica a CD37
<400>
       266
  Glu Ile Val Leu Thr Gln Ser Pro Ala Thr Leu Ser Leu Ser Pro Gly
                         10
  Glu Arg Ala Thr Leu Ser Cys Arg Ala Ser Glu Asn Val Tyr Ser Tyr
                      25
                                    30
  Leu Ala Trp Tyr Gln Gln Lys Pro Gly Gln Ala Pro Arg Leu Leu lle
                    40
                                 45
       35
  Tyr Phe Ala Lys Thr Leu Ala Glu Gly lle Pro Ala Arg Phe Ser Gly
  Ser Gly Ser Gly Thr Asp Phe Thr Leu Thr Ile Ser Ser Leu Glu Pro
               70
                            75
                                          80
  Glu Asp Phe Ala Val Tyr Tyr Cys Gln His His Ser Asp Asn Pro Trp
                         90
            85
  Thr Phe Gly Gln Gly Thr Lys Val Glu lle Lys Gly Gly Gly Ser
                       105
                                     110
  Gly Gly Gly Gly Ser Gly Gly Gly Gly Thr Gly Glu Val Gln Leu Val
                     120
                                   125
  Gln Ser Gly Ala Glu Val Lys Lys Pro Gly Glu Ser Leu Lys lle Ser
                  135
                                140
  Cys Lys Gly Ser Gly Tyr Ser Phe Thr Gly Tyr Asn Met Asn Trp Val
                150
                              155
                                            160
  Arg Gin Met Pro Gly Lys Gly Leu Glu Trp Met Gly Asn Ile Asp Pro
                          170
                                        175
  Tyr Tyr Gly Gly Thr Thr Tyr Asn Arg Lys Phe Lys Gly Gln Val Thr
                       185
  lle Ser Ala Asp Lys Ser lle Ser Thr Ala Tyr Leu Gln Trp Ser Ser
                     200
                                   205
  Leu Lys Ala Ser Asp Thr Ala Met Tyr Tyr Cys Ala Arg Ser Val Gly
```

```
210
                  215
                                220
 Pro Phe Asp Pro Trp Gly Gln Gly Thr Leu Val Thr Val Ser Ser Asp
               230
                             235
                                            240
 Gln Glu Pro Lys Ser Ser Asp Lys Thr His Thr Ser Pro Pro Cys Pro
                         250
                                       255
 Ala Pro Glu Leu Leu Gly Gly Pro Ser Val Phe Leu Phe Pro Pro Lys
                       265
 Pro Lys Asp Thr Leu Met IIe Ser Arg Thr Pro Glu Val Thr Cys Val
      275
                    280
                                  285
 Val Val Asp Val Ser His Glu Asp Pro Glu Val Lys Phe Asn Trp Tyr
                  295
                                300
 Val Asp Gly Val Glu Val His Asn Ala Lys Thr Lys Pro Arg Glu Glu
               310
                              315
                                            320
 Gln Tyr Asn Ser Thr Tyr Arg Val Val Ser Val Leu Thr Val Leu His
                         330
 Gln Asp Trp Leu Asn Gly Lys Glu Tyr Lys Cys Lys Val Ser Asn Lys
         340
                       345
                                     350
 Ala Leu Pro Ala Pro Ile Glu Lys Thr Ile Ser Lys Ala Lys Gly Gln
                    360
                                  365
 Pro Arg Glu Pro Gln Val Tyr Thr Leu Pro Pro Ser Arg Asp Glu Leu
                                380
    370
                  375
 Thr Lys Asn Gln Val Ser Leu Thr Cys Leu Val Lys Gly Phe Tyr Pro
 385
               390
                              395
                                            400
 Ser Asp Ile Ala Val Glu Trp Glu Ser Asn Gly Gln Pro Glu Asn Asn
           405
                         410
                                        415
 Tyr Lys Thr Thr Pro Pro Val Leu Asp Ser Asp Gly Ser Phe Phe Leu
                       425
                                     430
 Tyr Ser Lys Leu Thr Val Asp Lys Ser Arg Trp Gln Gln Gly Asn Val
                    440
                                  445
 Phe Ser Cys Ser Val Met His Glu Ala Leu His Asn His Tyr Thr Gln
                  455
                                460
 Lys Ser Leu Ser Leu Ser Pro Gly Lys
 465
               470
<210>
       267
<211>
       473
       PRT
<212>
       Secuencia artificial
<213>
<220>
<223>
       Proteína de unión específica a CD37
<400>
       267
 Glu lie Val Leu Thr Gln Ser Pro Ala Thr Leu Ser Leu Ser Pro Gly
                       10
                                     15
 Glu Arg Ala Thr Leu Ser Cys Arg Ala Ser Glu Asn Val Tyr Ser Tyr
                     25
                                  30
 Leu Ala Trp Tyr Gin Gin Lys Pro Gly Gin Ala Pro Arg Leu Leu lle
                               45
                   40
 Tyr Phe Ala Lys Thr Leu Ala Glu Gly lle Pro Ala Arg Phe Ser Gly
                 55
 Ser Gly Ser Gly Thr Asp Phe Thr Leu Thr Ile Ser Ser Leu Glu Pro
              70
                           75
 Glu Asp Phe Ala Val Tyr Tyr Cys Gln His His Ser Asp Asn Pro Trp
                       90
                                     95
```

```
Thr Phe Gly Gln Gly Thr Lys Val Glu lle Lys Gly Gly Gly Ser
         100
                       105
                                     110
 Gly Gly Gly Ser Gly Gly Gly Gly Thr Gly Glu Val Gln Leu Val
                    120
 Gln Ser Gly Ala Glu Val Lys Lys Pro Gly Glu Ser Leu Lys Ile Ser
                  135
                                140
 Cys Lys Gly Ser Gly Tyr Ser Phe Thr Gly Tyr Asn Met Asn Trp Val
                150
                              155
                                            160
 Arg Gln Met Pro Gly Lys Gly Leu Glu Trp Met Gly Asn Ile Asp Pro
                         170
                                       175
 Tyr Tyr Gly Gly Thr Thr Tyr Asn Arg Lys Phe Lys Gly Gln Val Thr
                       185
                                     190
         180
 lle Ser Ala Asp Lys Ser lle Ser Thr Ala Tyr Leu Gln Trp Ser Ser
                     200
                                  205
 Leu Lys Ala Ser Asp Thr Ala Met Tyr Tyr Cys Ala Arg Ser Val Gly
  Pro Met Glu His Trp Gly Gln Gly Thr Leu Val Thr Val Ser Ser Asp
                              235
                230
                                           240
  Gln Glu Pro Lys Ser Ser Asp Lys Thr His Thr Ser Pro Pro Cys Pro
                         250
                                       255
  Ala Pro Glu Leu Leu Gly Gly Pro Ser Val Phe Leu Phe Pro Pro Lys
                       265
                                     270
  Pro Lys Asp Thr Leu Met Ile Ser Arg Thr Pro Glu Val Thr Cys Val
                     280
       275
                                  285
  Val Val Asp Val Ser His Glu Asp Pro Glu Val Lys Phe Asn Trp Tyr
                  295
                                300
  Val Asp Gly Val Glu Val His Asn Ala Lys Thr Lys Pro Arg Glu Glu
  305
                310
                              315
  Gln Tyr Asn Ser Thr Tyr Arg Val Val Ser Val Leu Thr Val Leu His
                         330
           325
                                       335
  Gln Asp Trp Leu Asn Gly Lys Glu Tyr Lys Cys Lys Val Ser Asn Lys
                       345
                                     350
  Ala Leu Pro Ala Pro Ile Glu Lys Thr Ile Ser Lys Ala Lys Gly Gln
                     360
                                  365
  Pro Arg Glu Pro Gln Val Tyr Thr Leu Pro Pro Ser Arg Asp Glu Leu
    370
                  375
                                380
  Thr Lys Asn Gln Val Ser Leu Thr Cys Leu Val Lys Gly Phe Tyr Pro
                              395
                                            400
                390
  Ser Asp Ile Ala Val Glu Trp Glu Ser Asn Gly Gln Pro Glu Asn Asn
                          410
                                        415
  Tyr Lys Thr Thr Pro Pro Val Leu Asp Ser Asp Gly Ser Phe Phe Leu
                                     430
         420
                       425
  Tyr Ser Lys Leu Thr Val Asp Lys Ser Arg Trp Gln Gln Gly Asn Val
                     440
                                   445
  Phe Ser Cys Ser Val Met His Glu Ala Leu His Asn His Tyr Thr Gln
                  455
  Lys Ser Leu Ser Leu Ser Pro Gly Lys
  465
                470
<210>
       268
<211>
       473
<212>
       PRT
<213> Secuencia artificial
<220>
<223> Proteína de unión específica a CD37
```

<400> 268

Glu lle Val Leu Thr Gln Ser Pro Ala Thr Leu Ser Leu Ser Pro Gly
1 5 10 15
Glu Arg Ala Thr Leu Ser Cys Arg Ala Ser Glu Asn Val Tyr Ser Tyr 20 25 30
Leu Ala Trp Tyr GIn Gin Lys Pro Gly Gin Ala Pro Arg Leu Leu lle 35 40 45
Tyr Phe Ala Lys Thr Leu Ala Glu Gly lle Pro Ala Arg Phe Ser Gly 50 55 60
Ser Gly Ser Gly Thr Asp Phe Thr Leu Thr Ile Ser Ser Leu Glu Pro
65 70 75 80
Glu Asp Phe Ala Val Tyr Tyr Cys Gln His His Ser Asp Asn Pro Trp
85 90 95
Thr Phe Gly Gln Gly Thr Lys Val Glu lle Lys Gly Gly Gly Ser
100 105 110
Gly Gly Gly Ser Gly Gly Gly Gly Thr Gly Glu Val Gln Leu Val
115 120 125
Gln Ser Gly Ala Glu Val Lys Lys Pro Gly Glu Ser Leu Lys lle Ser
130 135 140
Cys Lys Gly Ser Gly Tyr Ser Phe Thr Gly Tyr Asn Met Asn Trp Val
145 150 155 160
144
Arg Gln Met Pro Gly Lys Gly Leu Glu Trp Met Gly Asn lle Asp Pro 165 170 175
Tyr Tyr Gly Gly Thr Thr Tyr Asn Arg Lys Phe Lys Gly Gln Val Thr
180 185 190
lle Ser Ala Asp Lys Ser Ile Ser Thr Ala Tyr Leu Gln Trp Ser Ser 195 200 205
Leu Lys Ala Ser Asp Thr Ala Met Tyr Tyr Cys Ala Arg Ser Val Gly
210 215 220
=·•
Pro Phe Asp Val Trp Gly Gln Gly Thr Met Val Thr Val Ser Ser Asp
225 230 235 240
Gln Glu Pro Lys Ser Ser Asp Lys Thr His Thr Ser Pro Pro Cys Pro 245 250 255
Ala Pro Glu Leu Leu Gly Gly Pro Ser Val Phe Leu Phe Pro Pro Lys
•
Pro Lys Asp Thr Leu Met lle Ser Arg Thr Pro Glu Val Thr Cys Val 275 280 285
Val Val Asp Val Ser His Glu Asp Pro Glu Val Lys Phe Asn Trp Tyr
290 295 300
Val Asp Gly Val Glu Val His Asn Ala Lys Thr Lys Pro Arg Glu Glu
305 310 315 320
Gln Tyr Asn Ser Thr Tyr Arg Val Val Ser Val Leu Thr Val Leu His 325 330 335
Gln Asp Trp Leu Asn Gly Lys Glu Tyr Lys Cys Lys Val Ser Asn Lys 340 345 350
Ala Leu Pro Ala Pro Ile Glu Lys Thr Ile Ser Lys Ala Lys Gly Gln
355 360 365
Pro Arg Glu Pro Gln Val Tyr Thr Leu Pro Pro Ser Arg Asp Glu Leu

Thr Lys Asn Gln Val Ser Leu Thr Cys Leu Val Lys Gly Phe Tyr Pro

Ser Asp Ile Ala Val Glu Trp Glu Ser Asn Gly Gln Pro Glu Asn Asn

Tyr Lys Thr Thr Pro Pro Val Leu Asp Ser Asp Gly Ser Phe Phe Leu

```
420
                      425
                                    430
 Tyr Ser Lys Leu Thr Val Asp Lys Ser Arg Trp Gln Gln Gly Asn Val
                    440
                                  445
 Phe Ser Cys Ser Val Met His Glu Ala Leu His Asn His Tyr Thr Gln
                 455
                               460
 Lys Ser Leu Ser Leu Ser Pro Gly Lys
 465
               470
<210>
       269
<211>
       473
<212>
       PRT
<213>
       Secuencia artificial
<220>
<223>
       Proteína de unión específica a CD37
<400>
       269
 Glu Ile Val Leu Thr Gln Ser Pro Ala Thr Leu Ser Leu Ser Pro Gly
                         10
                                      15
 Glu Arg Ala Thr Leu Ser Cys Arg Ala Ser Glu Asn Val Tyr Ser Tyr
                      25
                                    30
 Leu Ala Trp Tyr Gln Gln Lys Pro Gly Gln Ala Pro Arg Leu Leu lle
                   40
                                 45
 Tyr Phe Ala Lys Thr Leu Ala Glu Gly lle Pro Ala Arg Phe Ser Gly
                 55
                               60
 Ser Gly Ser Gly Thr Asp Phe Thr Leu Thr Ile Ser Ser Leu Glu Pro
               70
                            75
                                          80
 Glu Asp Phe Ala Val Tyr Tyr Cys Gln His His Ser Asp Asn Pro Trp
                         90
 Thr Phe Gly Gln Gly Thr Lys Val Glu lie Lys Gly Gly Gly Ser
                       105
                                     110
 Gly Gly Gly Gly Ser Gly Gly Gly Gly Thr Gly Glu Val Gln Leu Val
                    120
                                   125
  Gln Ser Gly Ala Glu Val Lys Lys Pro Gly Glu Ser Leu Lys Ile Ser
                  135
                                140
  Cys Lys Gly Ser Gly Tyr Ser Phe Thr Gly Tyr Asn Met Asn Trp Val
                150
                              155
  Arg Gin Met Pro Gly Lys Gly Leu Glu Trp Met Gly Asn lle Asp Pro
                         170
           165
                                        175
  Tyr Tyr Gly Gly Thr Thr Tyr Asn Arg Lys Phe Lys Gly Gln Val Thr
                       185
                                     190
  lle Ser Ala Asp Lys Ser lle Ser Thr Ala Tyr Leu Gln Trp Ser Ser
                    200
                                   205
 Leu Lys Ala Ser Asp Thr Ala Met Tyr Tyr Cys Ala Arg Ser Val Gly
                  215
                                220
 Pro Phe Asp lie Trp Gly Gln Gly Thr Met Val Thr Val Ser Ser Asp
                              235
                230
                                            240
  Gln Glu Pro Lys Ser Ser Asp Lys Thr His Thr Ser Pro Pro Cys Pro
                         250
                                        255
           245
  Ala Pro Glu Leu Leu Gly Gly Pro Ser Val Phe Leu Phe Pro Pro Lys
         260
                       265
                                     270
  Pro Lys Asp Thr Leu Met Ile Ser Arg Thr Pro Glu Val Thr Cys Val
                    280
                                   285
  Val Val Asp Val Ser His Glu Asp Pro Glu Val Lys Phe Asn Trp Tyr
    290
                  295
                                 300
```

ES 2 368 700 T3

Val Asp Gly Val Glu Val His Asn Ala Lys Thr Lys Pro Arg Glu Glu 305 310 315 320
Gln Tyr Asn Ser Thr Tyr Arg Val Val Ser Val Leu Thr Val Leu His 325 330 335
Gln Asp Trp Leu Asn Gly Lys Glu Tyr Lys Cys Lys Val Ser Asn Lys 340 345 350
Ala Leu Pro Ala Pro Ile Glu Lys Thr Ile Ser Lys Ala Lys Gly Gln 355 360 365
Pro Arg Glu Pro Gln Val Tyr Thr Leu Pro Pro Ser Arg Asp Glu Leu 370 375 380
Thr Lys Asn Gln Val Ser Leu Thr Cys Leu Val Lys Gly Phe Tyr Pro 385 390 395 400
Ser Asp IIe Ala Val Glu Trp Glu Ser Asn Gly Gln Pro Glu Asn Asn 405 410 415
Tyr Lys Thr Thr Pro Pro Val Leu Asp Ser Asp Gly Ser Phe Phe Leu 420 425 430
Tyr Ser Lys Leu Thr Val Asp Lys Ser Arg Trp Gln Gln Gly Asn Val 435 440 445
Phe Ser Cys Ser Val Met His Glu Ala Leu His Asn His Tyr Thr Gln 450 455 460
Lys Ser Leu Ser Pro Gly Lys 465 470

REIVINDICACIONES

- 1. Una molécula de unión específica a CD37, que comprende una secuencia de aminoácidos como se muestra en el SEQ ID NO. 253.
- 2. Una molécula de unión específica a CD37 de la reivindicación 1, que consiste en la secuencia de aminoácidos mostrada en el SEQ ID NO: 253.
 - 3. Una molécula de ácido nucleico aislada, que comprende una secuencia de nucleótidos que codifica la molécula de unión específica a CD37 humanizada de acuerdo con una cualquiera de las reivindicaciones anteriores.
 - 4. Un vector que comprende la molécula de ácido nucleico de acuerdo con la reivindicación 3.
 - 5. Una célula anfitriona que comprende un vector de acuerdo con la reivindicación 4.

15

30

40

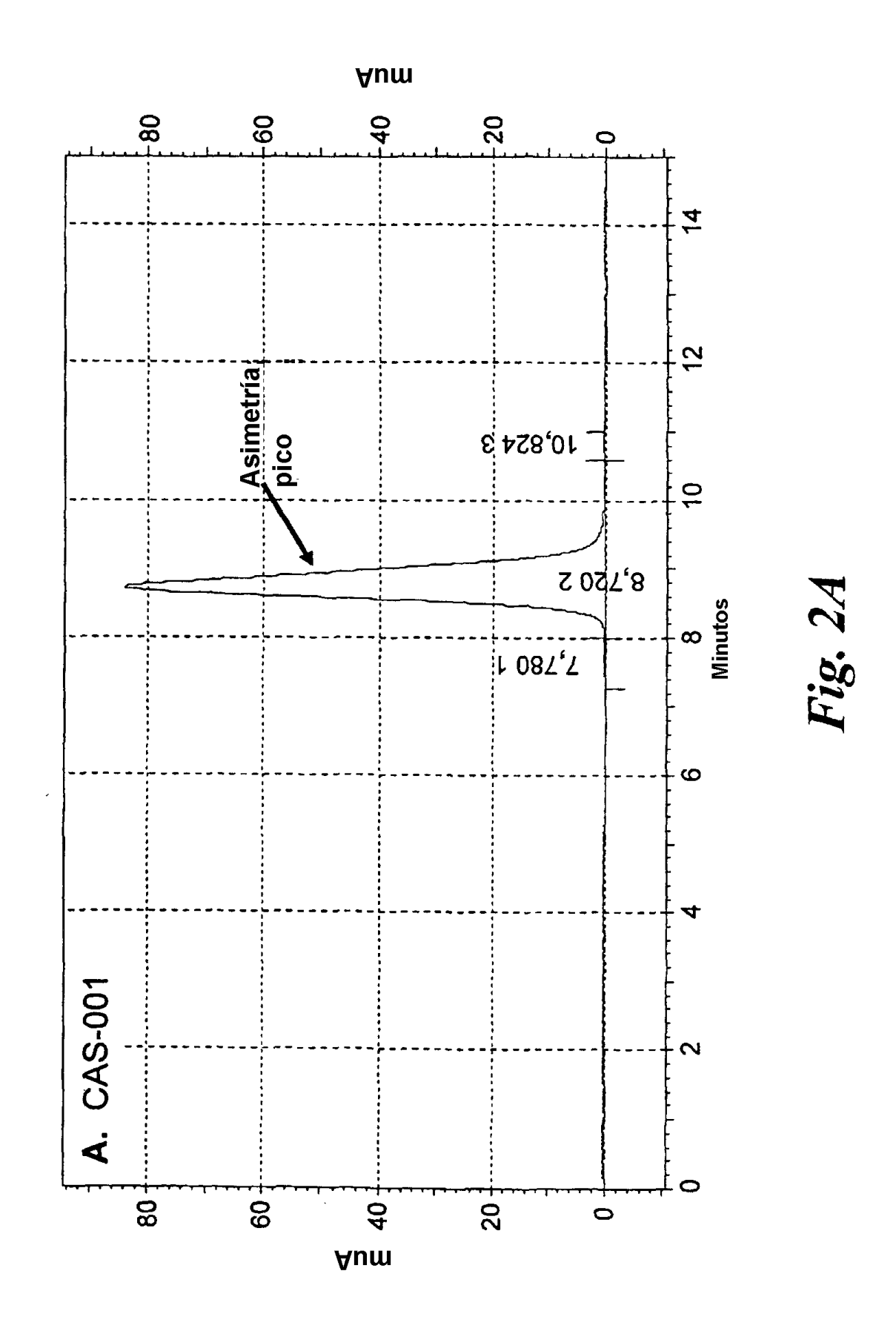
45

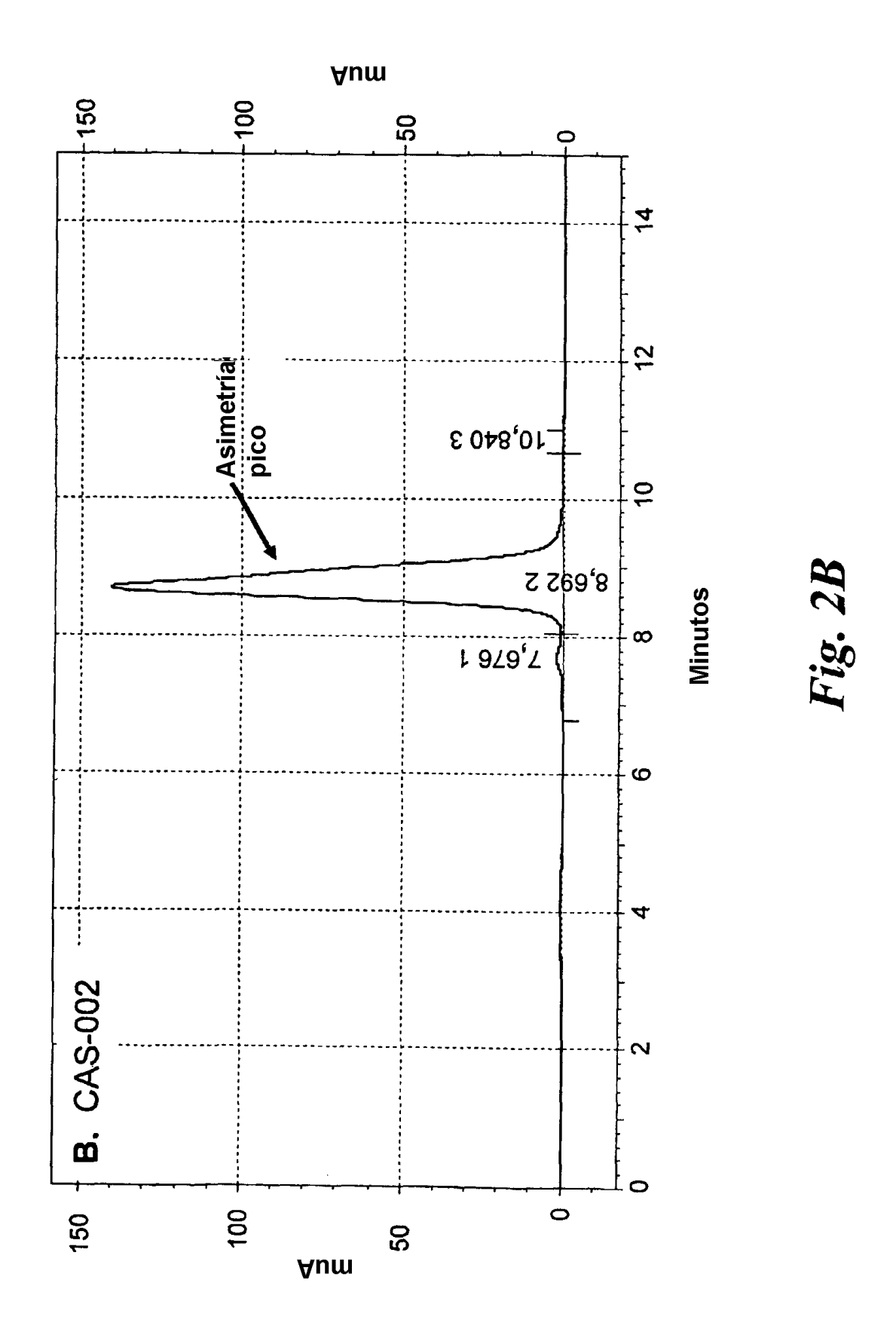
50

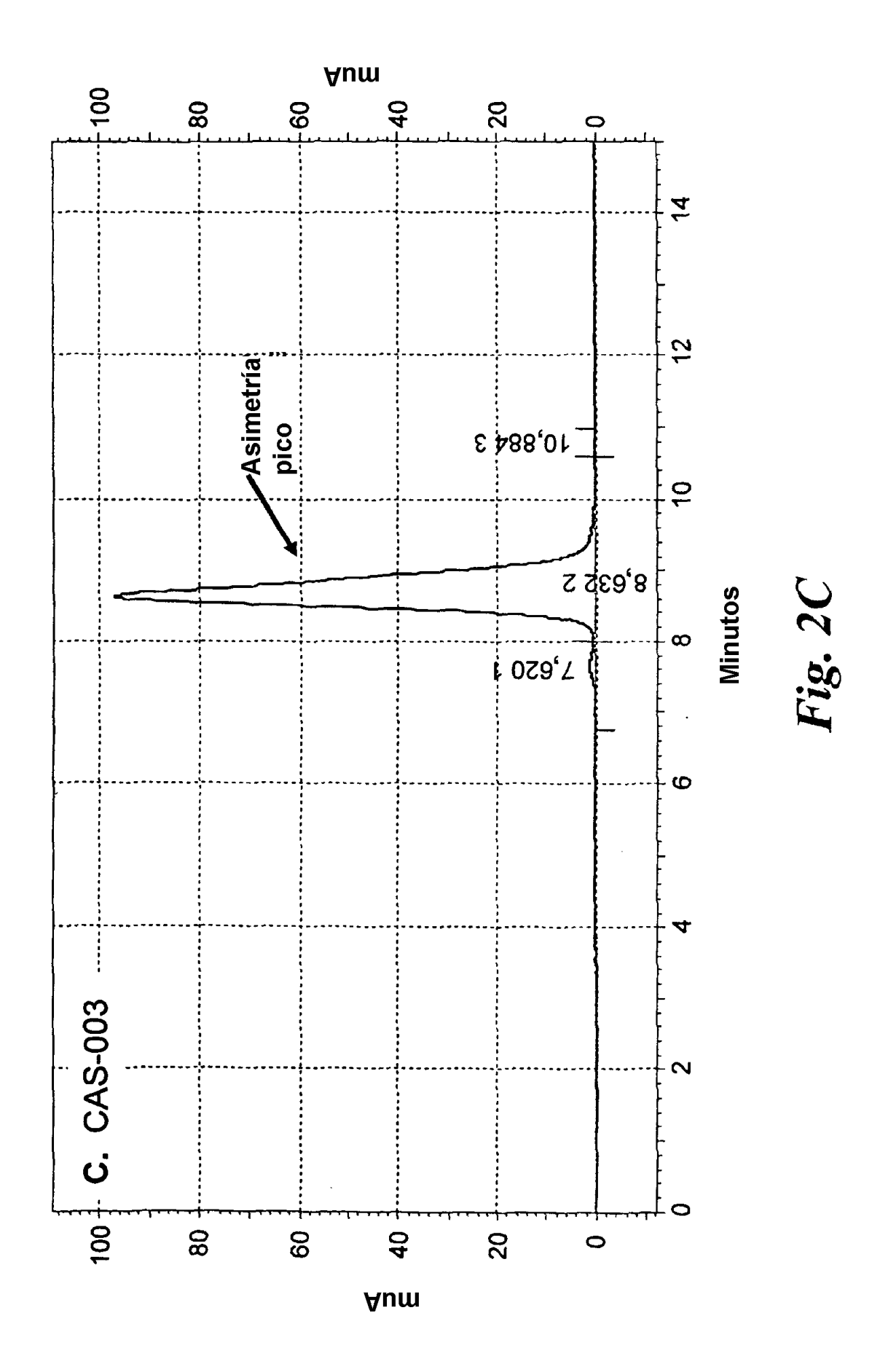
- 10 6. Una composición que comprende una molécula de unión específica a CD37 humanizada de acuerdo con una cualquiera de las reivindicaciones 1 a 2 y un portador farmacéuticamente aceptable.
 - 7. Una molécula de unión de la reivindicación 1 o 2 o la composición de la reivindicación 6 para su uso en terapia.
 - 8. Una molécula de unión específica a CD37 humanizada de acuerdo con una cualquiera de las reivindicaciones 1 o 2 para su uso en un método para reducir las células B o tratar una enfermedad asociada con la actividad aberrante de las células B.
 - 9. Una molécula de unión de la reivindicación 8, donde la enfermedad asociada con la actividad aberrante de las células B es un linfoma de las células B, una leucemia de células B, un mieloma de células B, una enfermedad caracterizada por la producción de auto-anticuerpos, o una enfermedad caracterizada por la estimulación inapropiada de las células B asociada con una ruta de las células B.
- 20 10. La molécula de unión de la reivindicación 9, donde la enfermedad caracterizada por la producción de auto-anticuerpos es la miopatía inflamatoria idiopática, la artritis reumatoide, la artritis reumatoide juvenil, la miastenia grave, la enfermedad de Graves, la diabetes melitus de tipo I, la enfermedad de la membrana del basamento anti-glomerular, la glomerulonefritis de progreso rápido, la enfermedad de Berger (nefropatía IgA), el lupus eritematoso generalizado (LEG), la enfermedad de Crohn, la colitis ulcerativa, la púrpura trombocitopénica idiopática (PTI), el síndrome de anticuerpos anti-fosfolípidos, la neuromielitis óptica, la esclerosis múltiple, una enfermedad autoinmunitaria, la dermatomiositis, la polimiositis, o la macroglobinemia de Waldenstrom.
 - 11. La molécula de unión de la reivindicación 9, donde la enfermedad asociada con la actividad aberrante de las células B es la leucemia linfocítica crónica (LLC), el linfoma no Hodgkins (LNH), la leucemia de las células pilosas, el linfoma linfocítico de células pequeñas, el linfoma linfoplasmacítico, el linfoma esplénico de la zona marginal, el linfoma de células B de la zona marginal extra-nodal de tipo tejido linfoide asociado a la mucosa (TLAM), el linfoma de células B de la zona marginal nodal, el linfoma folicular, el linfoma de las células del manto, el linfoma de células B grandes difuso, el linfoma de células B grandes de mediastino (tímico), el linfoma de células B grandes intravascular, el linfoma de efusión primaria, o el linfoma/leucemia de Burkitt.
- 12. El uso de la molécula de unión específica a CD37 humanizada de acuerdo con una cualquiera de las reivindicaciones 1 o 2 para la fabricación de un medicamento para su uso en un método para reducir las células B o tratar una enfermedad asociada con la actividad aberrante de las células B.
 - 13. El uso de la reivindicación 12, donde la enfermedad asociada con la actividad aberrante de las células B es un linfoma de células B, una leucemia de células B, un mieloma de células B, una enfermedad **caracterizada por** la producción de auto-anticuerpos, o una enfermedad **caracterizada por** la estimulación inapropiada de las células T asociada con una ruta de las células B.
 - 14. El uso de la reivindicación 13, donde la enfermedad **caracterizada por** la producción de auto-anticuerpos es la miopatía inflamatoria idiopática, la artritis reumatoide, la artritis reumatoide juvenil, la miastenia grave, la enfermedad de Graves, la diabetes melitus de tipo I, la enfermedad de la membrana del basamento anti-glomerular, la glomerulonefritis de progreso rápido, la enfermedad de Berger (nefropatía IgA), el lupus eritematoso generalizado (LEG), la enfermedad de Crohn, la colitis ulcerativa, la púrpura trombocitopénica idiopática (PTI), el síndrome de anticuerpos anti-fosfolípidos, la neuromielitis óptica, la esclerosis múltiple, una enfermedad autoinmunitaria, la dermatomiositis, la polimiositis, o la macroglobinemia de Waldenstrom.
 - 15. El uso de la reivindicación 13, donde la enfermedad asociada con la actividad aberrante de las células B es la leucemia linfocítica crónica (LLC), el linfoma no Hodgkins (LNH), la leucemia de las células pilosas, el linfoma linfocítico de células pequeñas, el linfoma linfoplasmacítico, el linfoma esplénico de la zona marginal, el linfoma de células B de la zona marginal extra-nodal de tipo tejido linfoide asociado a la mucosa (TLAM), el linfoma de células B de la zona marginal nodal, el linfoma folicular, el linfoma de las células del manto, el linfoma de células B grandes difuso, el linfoma de células B grandes de mediastino (tímico), el linfoma de células B grandes intravascular, el linfoma de efusión primaria, o el linfoma/leucemia de Burkitt.

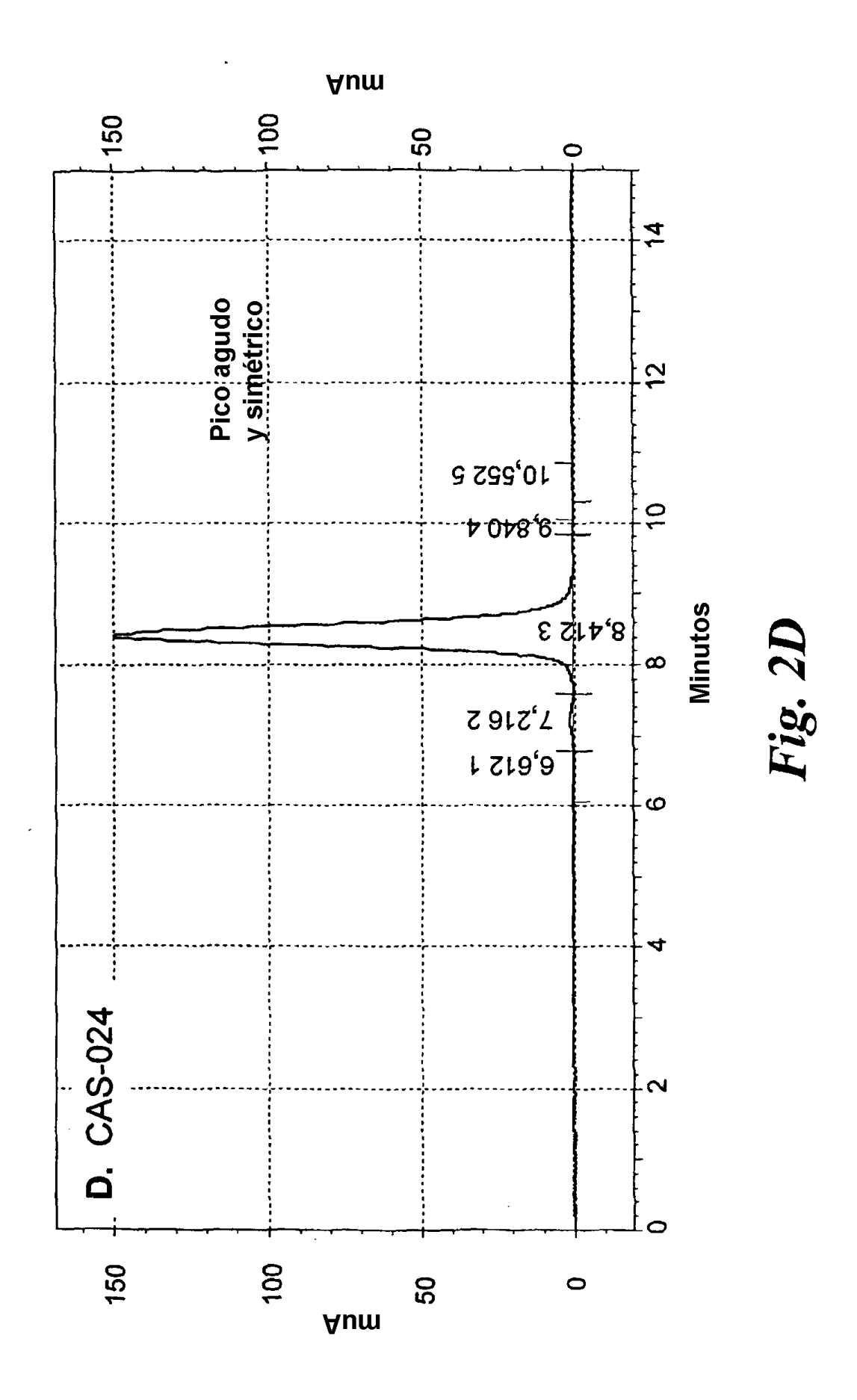
CDR1 CDR2 CDR2 CDR2 CDR2 CDR2 CSFT GYNMN WVKQNNGKSLEWIG NIDPYYGGTTYNRKFKG KSFT GYNMN WVRQMPGKGLEWMG NIDPYYGGTTYNRKFKG KSFT GYNMN WV-QGK-LEW-G NIDPYYGGTTYNRKFKG	G28-1 KATLTVDKSSSTAYMQLKSLTSEDSAVYYCAR SVGPMDY WGQGTSVTVSS CAS-024 QVTISADKSISTAYLQWSSLKASDTAMYYCAR SVGPEDS WGQGTLVTVSS ConsensoTDKS-STAY-QSLD-A-YYCAR SVGP-D- WGQGT-VTVSS	RISENVYSYLA WYQQKPGKSPQLLVS FAKTLAE RASENVYSYLA WYQQKPGQAPRLLIY FAKTLAE R-SENVYSYLA WYQQK-GP-LL FAKTLAE	YYC QHHSDNPWT FGQGTKVEIK YYC QHHSDNPWT FGQGTKVEIK Y-C QHHSDNPWT FGQGTKVEIK
CADENA PESADA G28-1 AVQLQQSGPESEKPGASVKISCKASGYSFT CAS-024 EVQLVQSGAEVKKPGESLKISCKGSGYSFT Consenso -VQL-QSG-EKPG-S-KISCK-SGYSFT		CADENA LIGERA G28-1 DIOMTOSPASISASVGETVTITC RTSE CAS-024 EIVLTOSPATISISPGERATISC RASE CONSENSO -ITOSPATIS-S-GETC R-SE	G28-1 GVPSRFSGSGSGTQFSLKISSLQPEDSGSYFC CAS-024 GIPARFSGSGSGTDFTLTISSLEPEDFAVYYC Consenso G-P-RFSGSGSGT-F-L-ISSL-PEDY-C

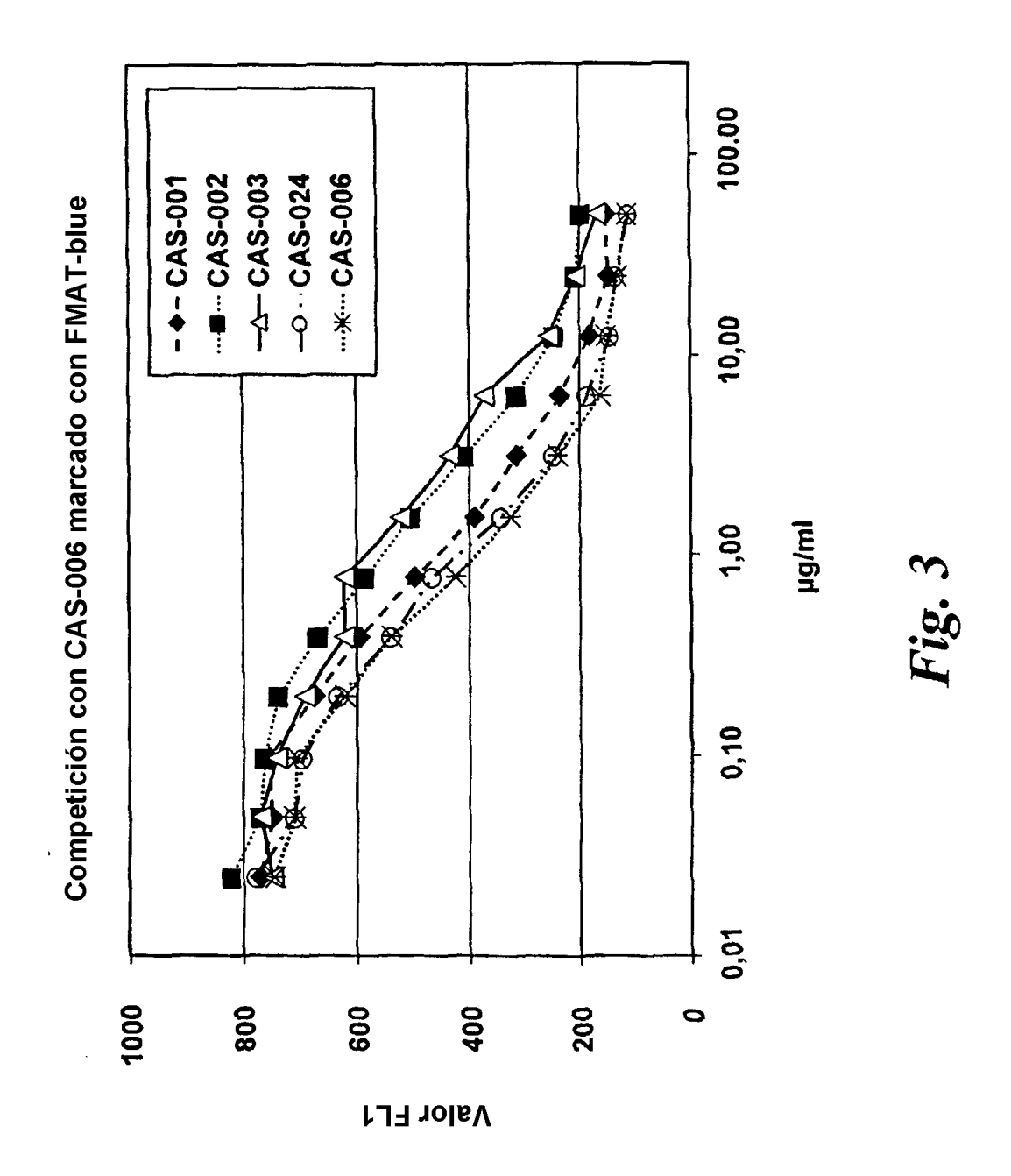
Fig. 1

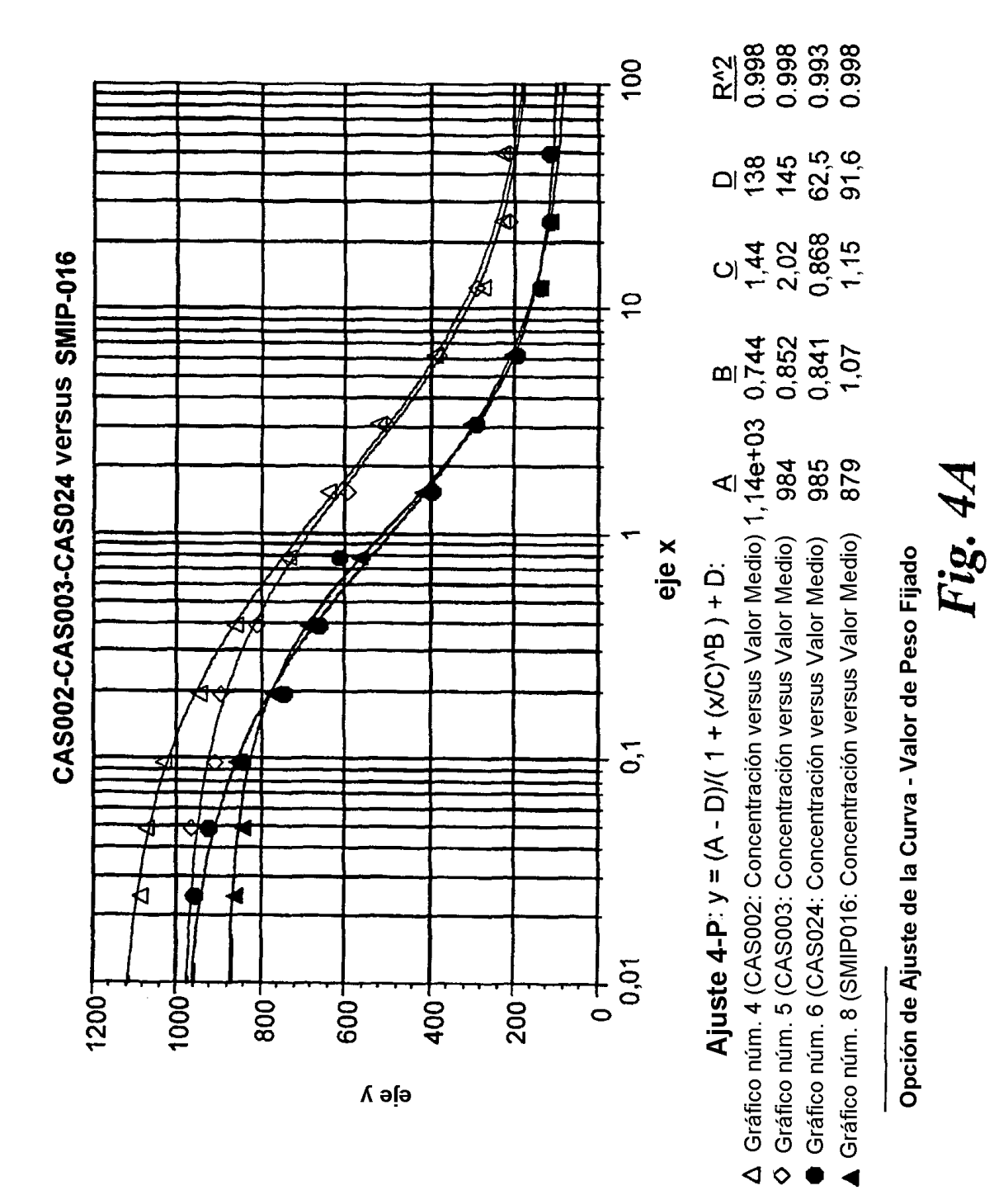




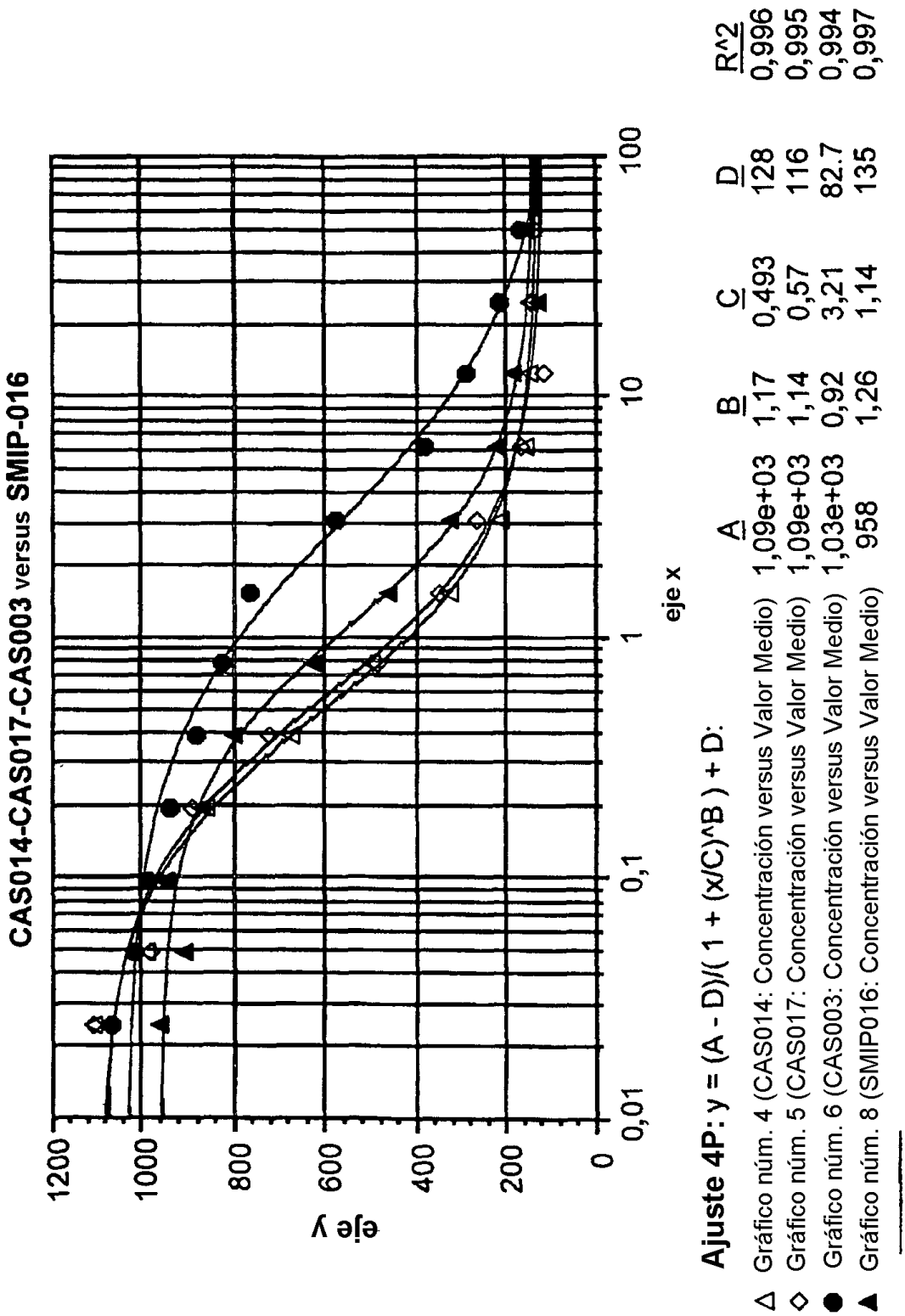




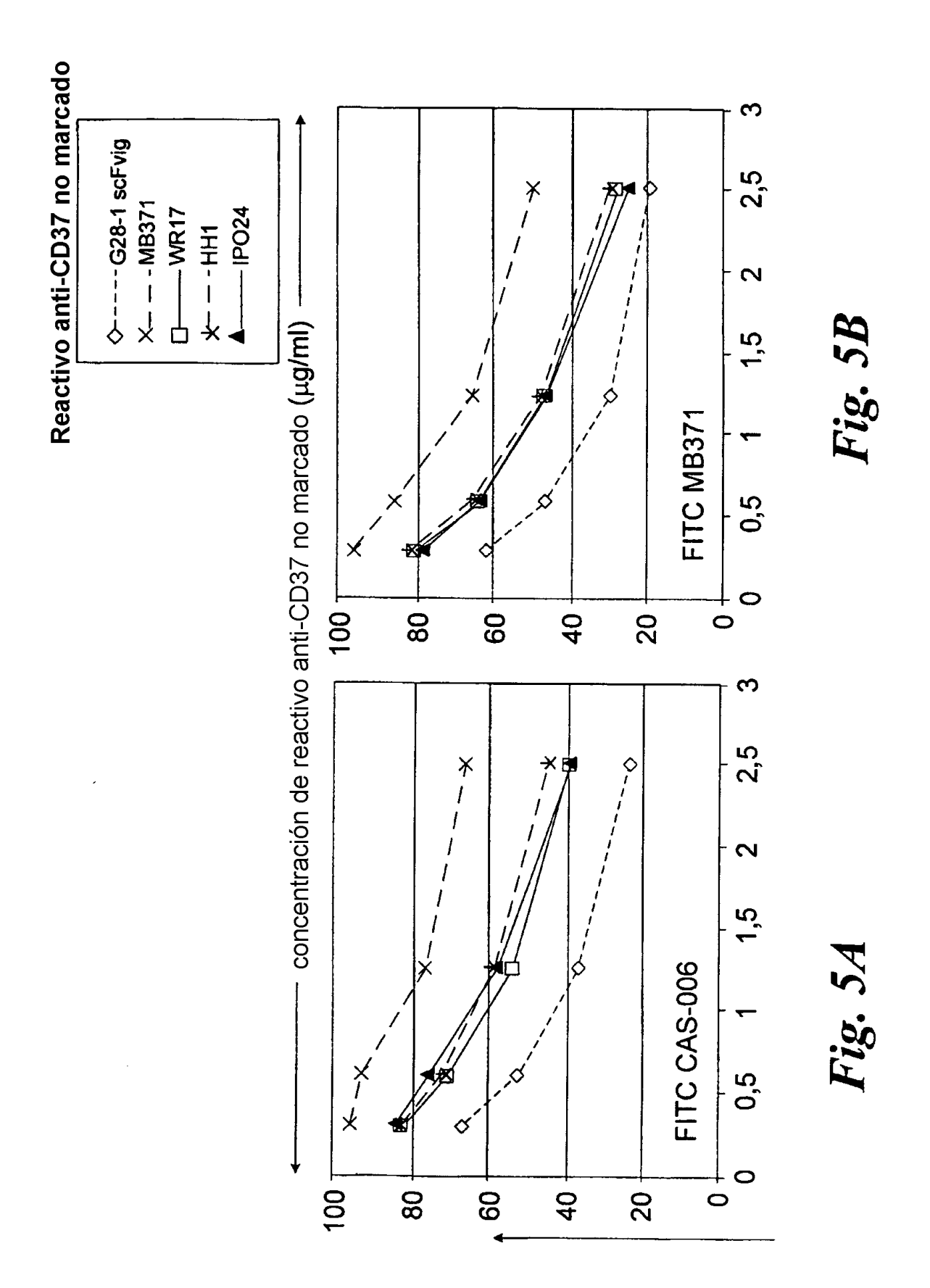


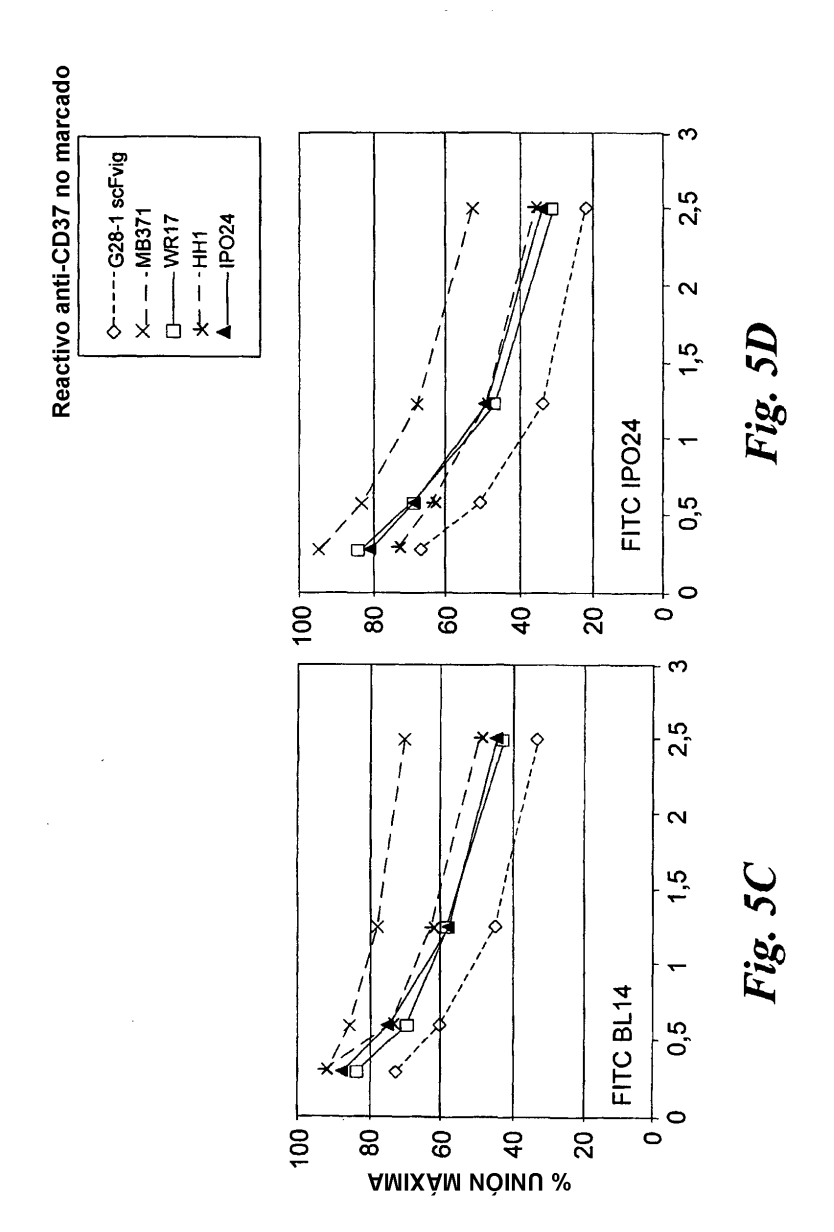


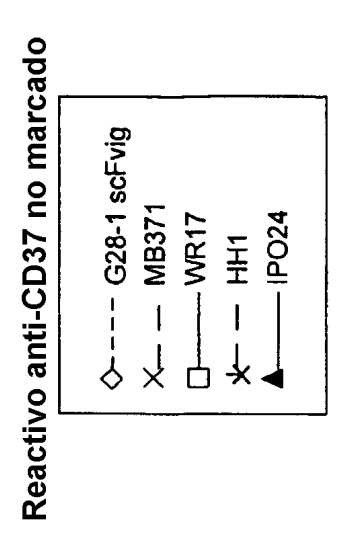
212

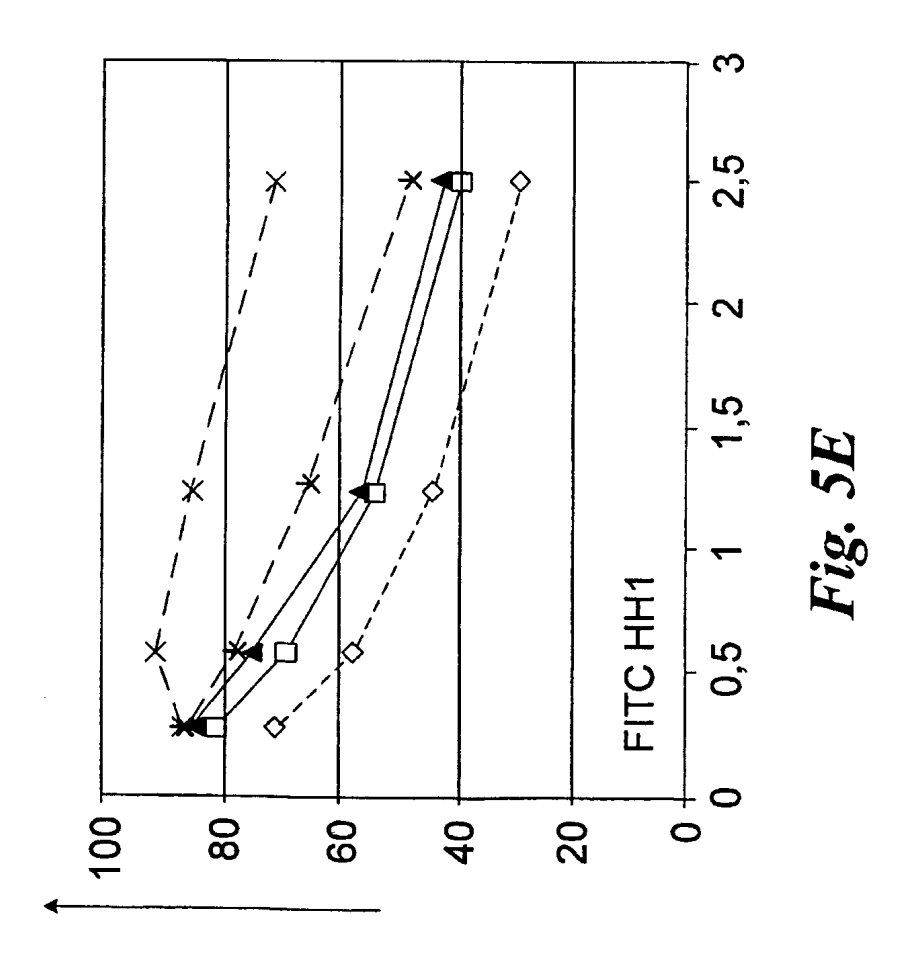


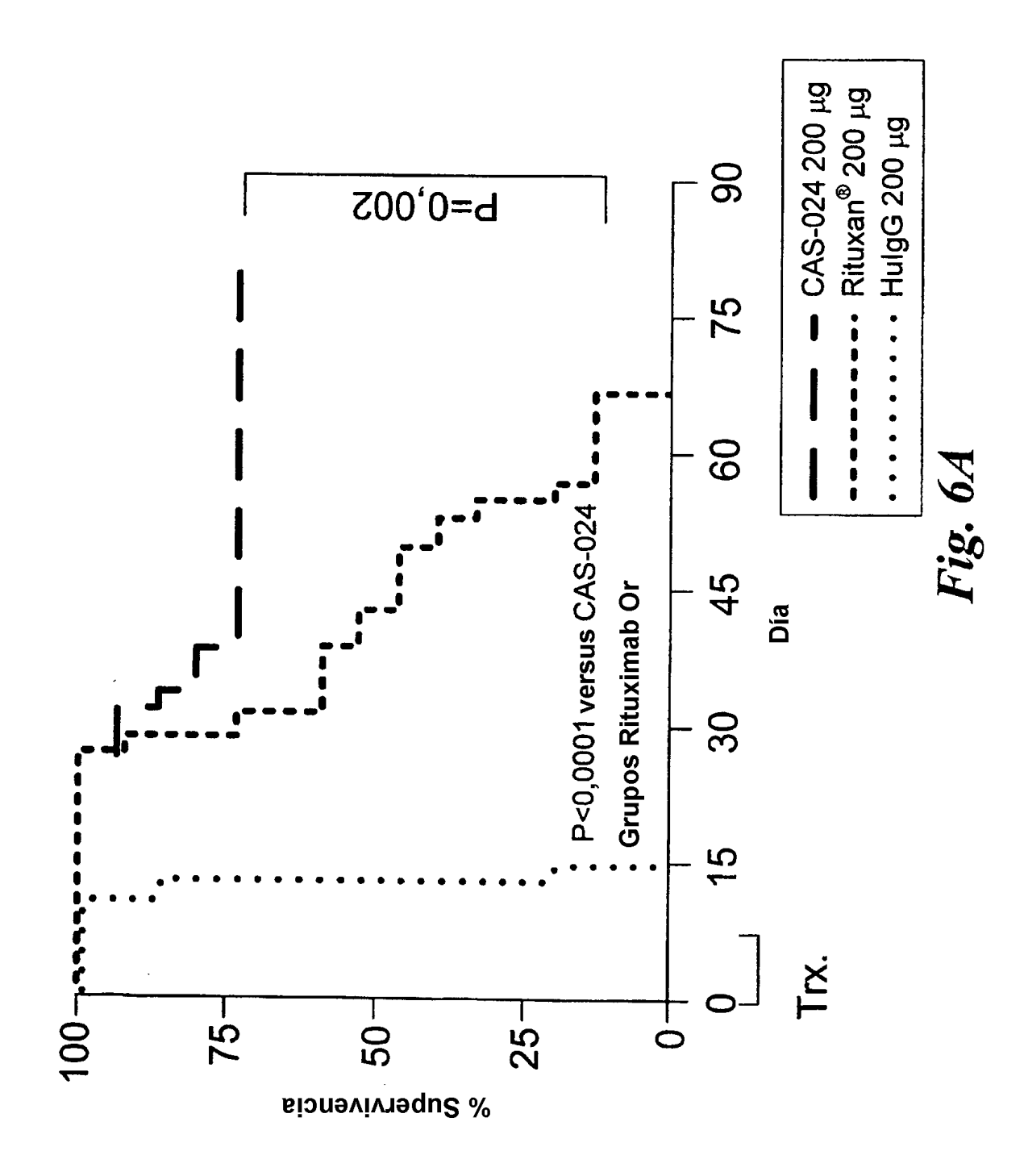
Opción de Ajuste de la Curva - Valor de Peso Fijado

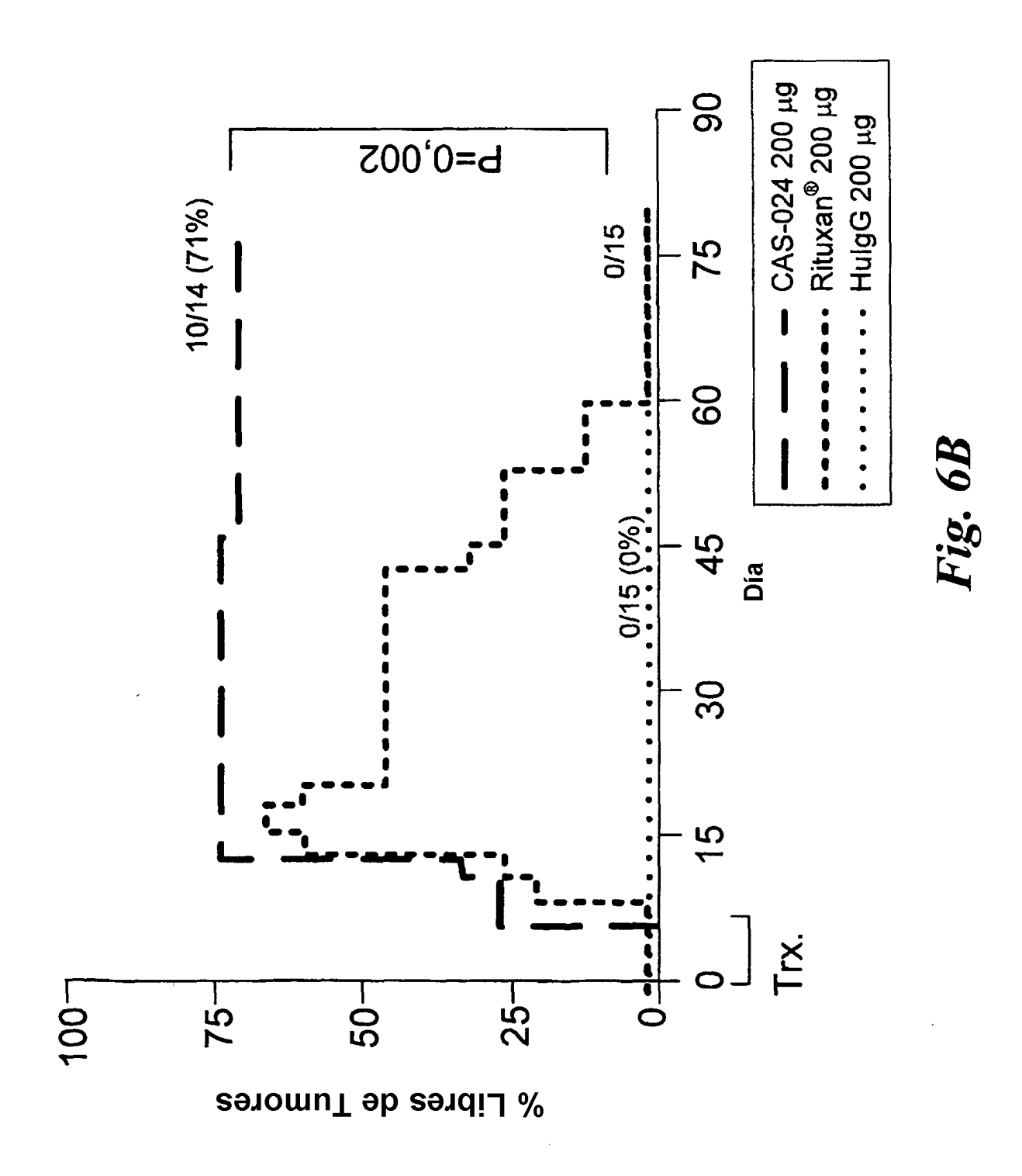


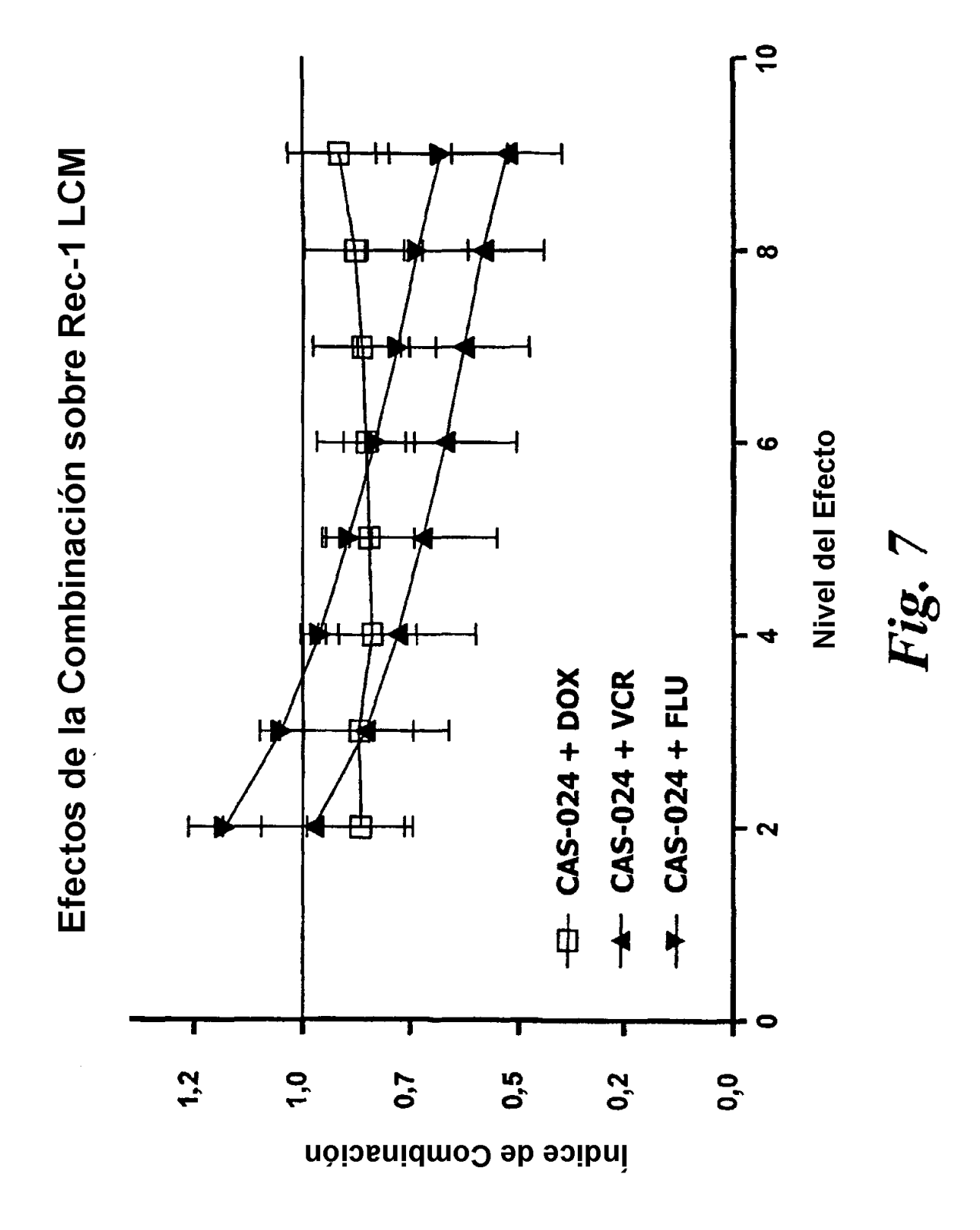


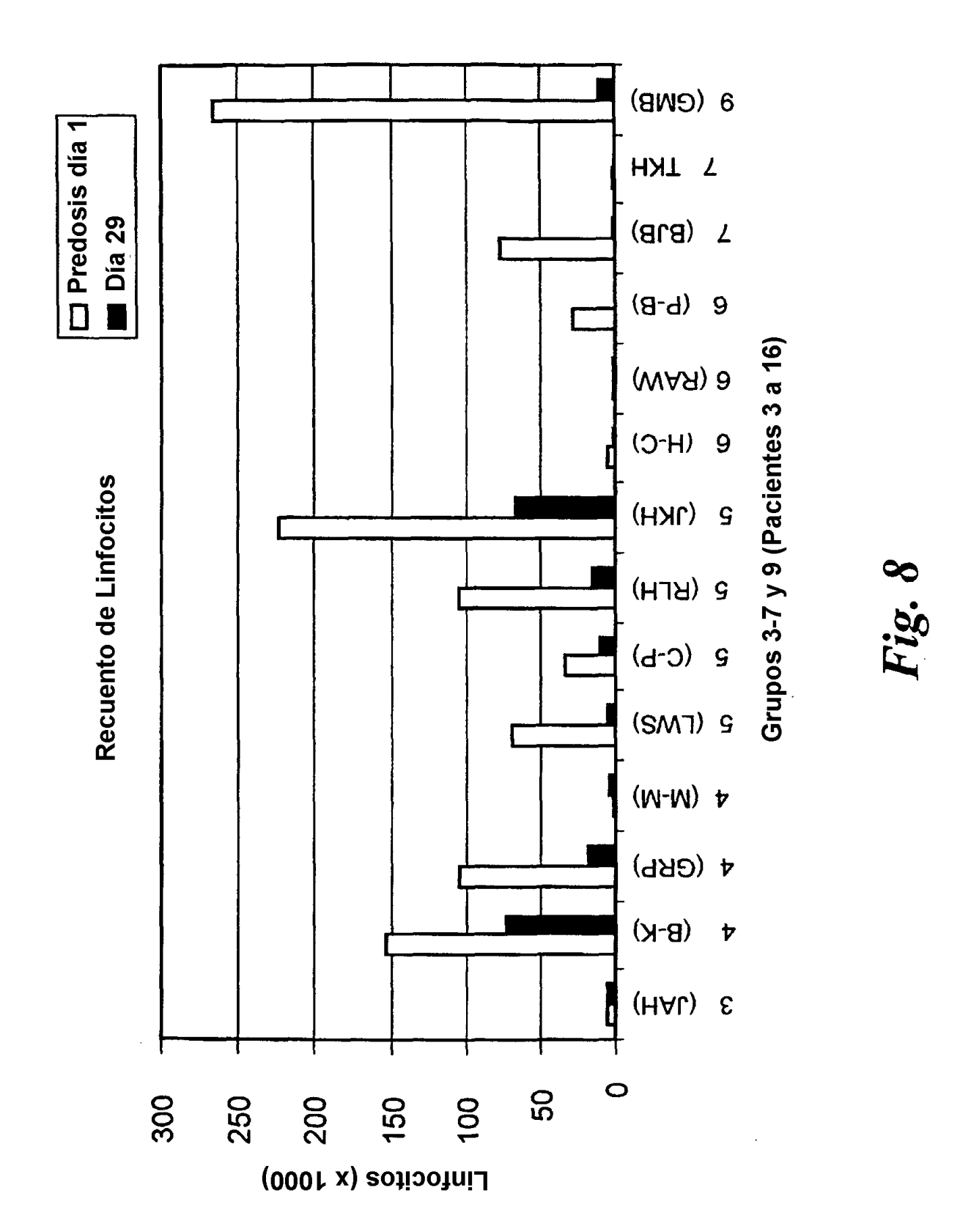




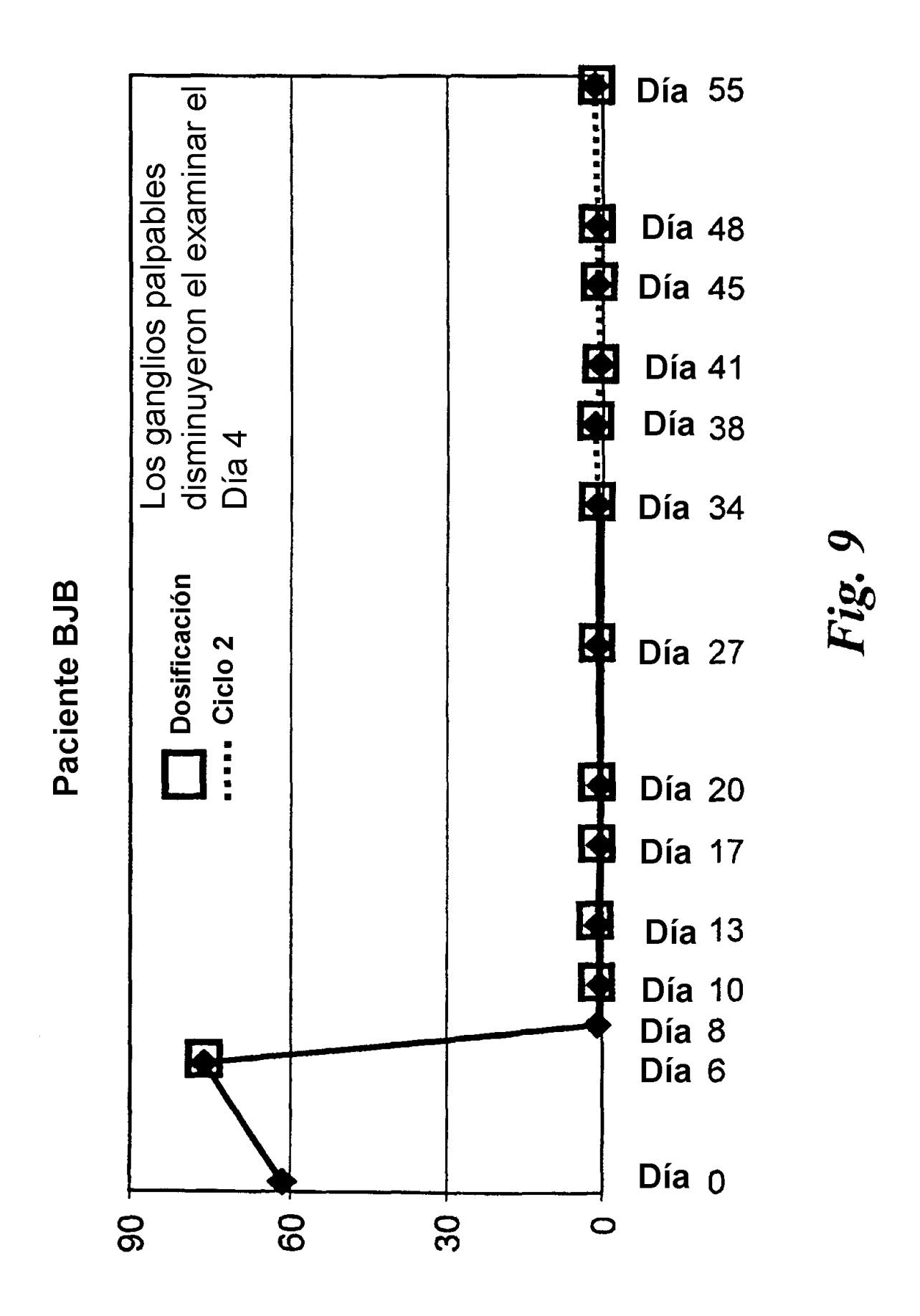


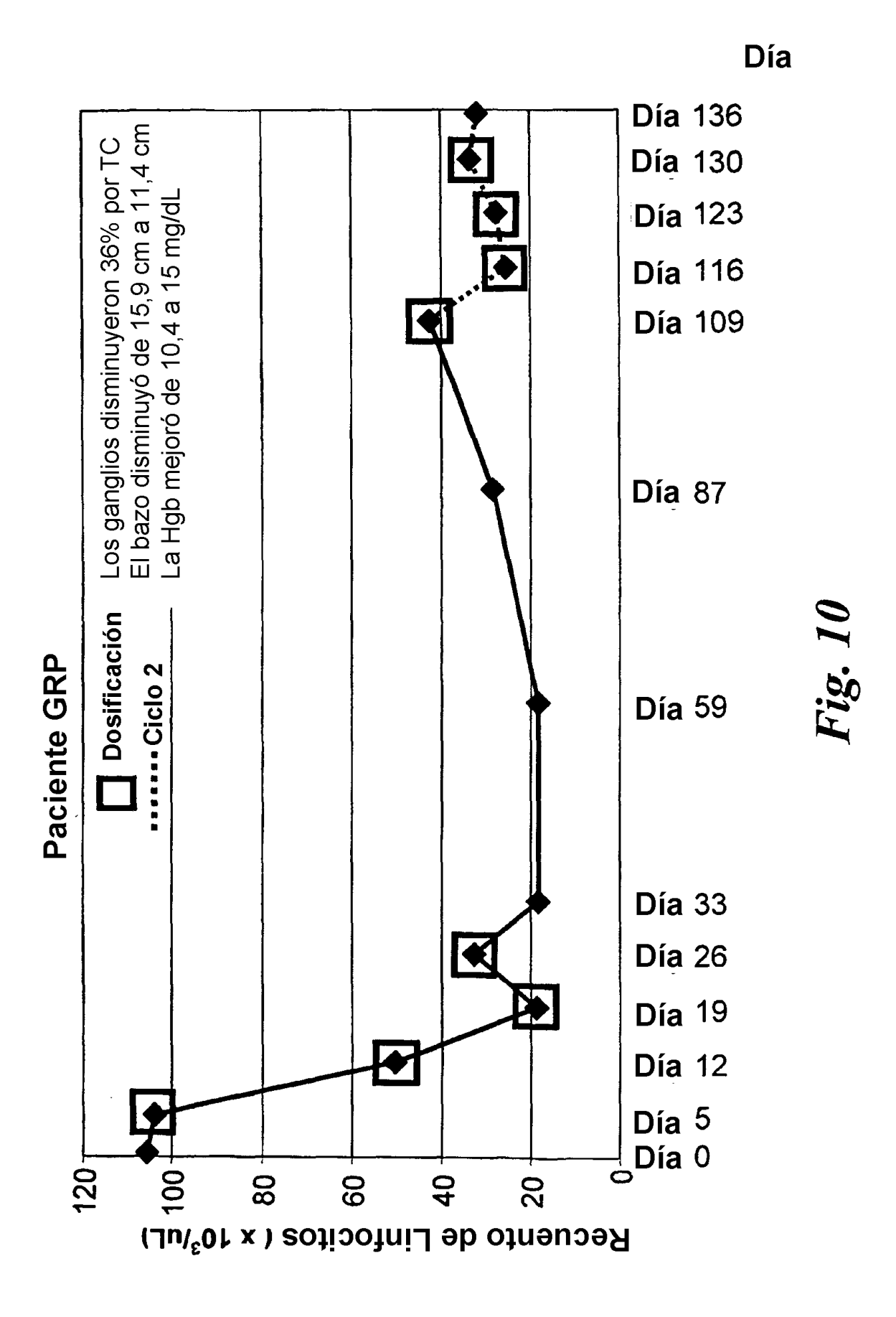




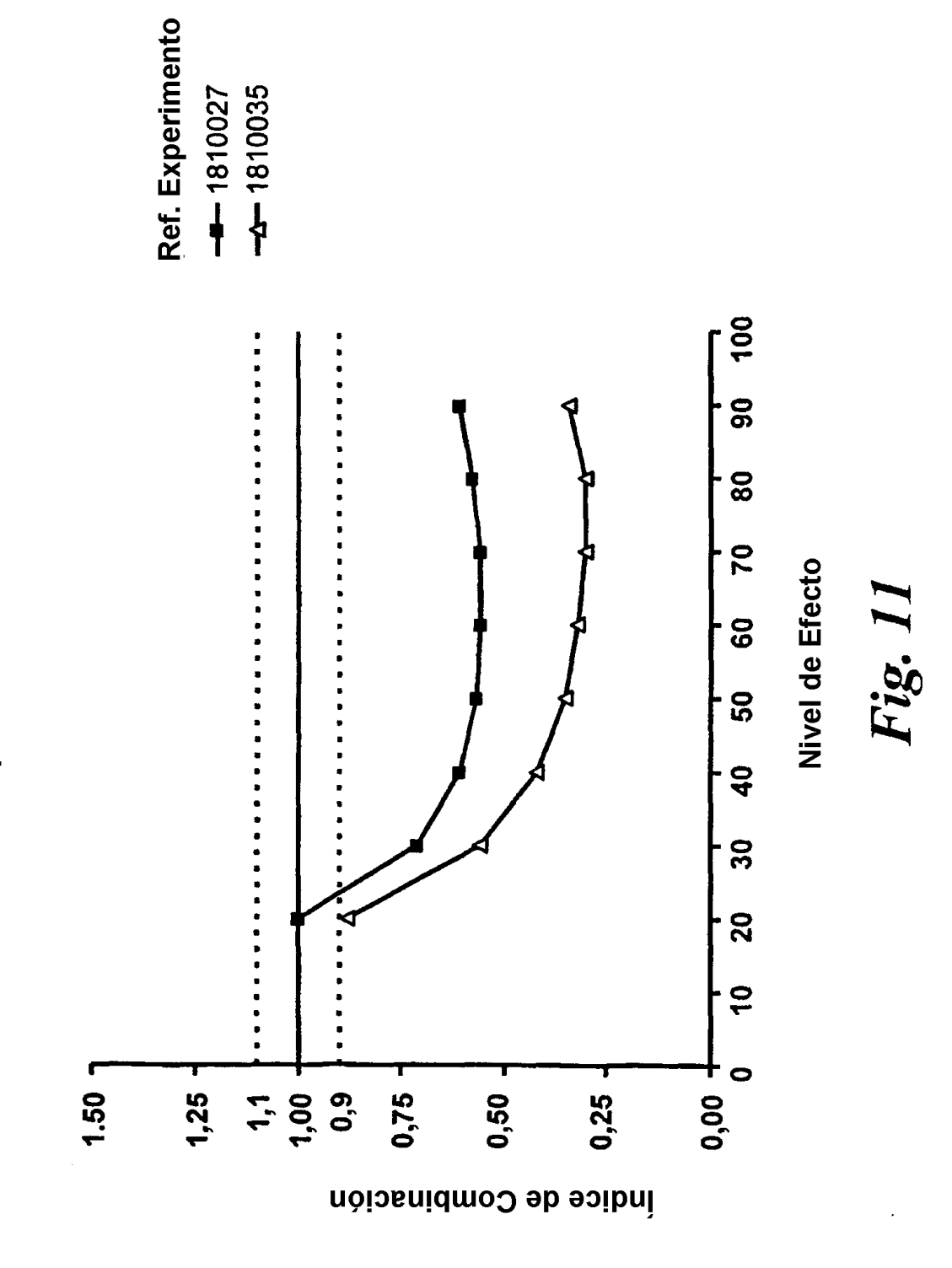


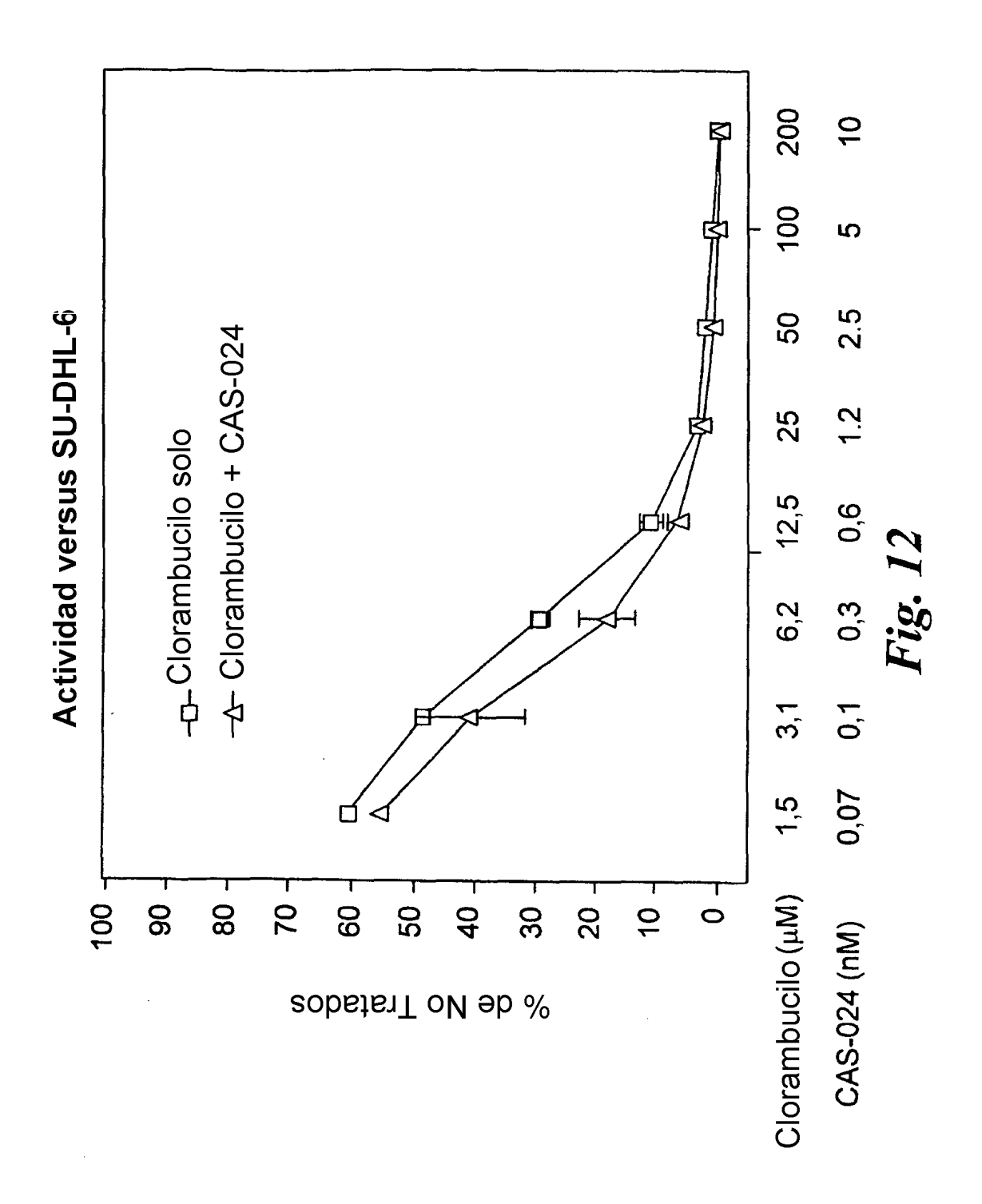
220



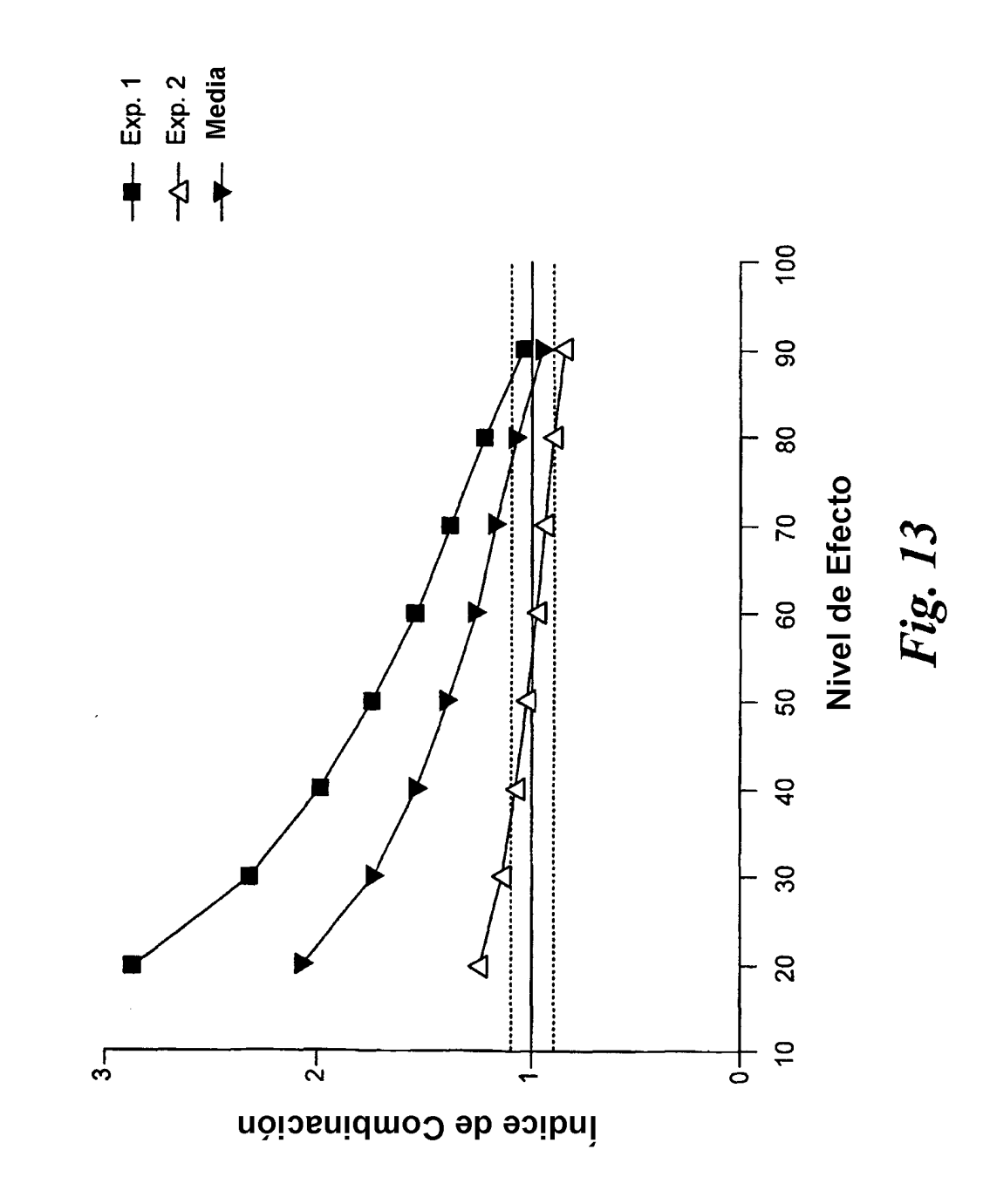


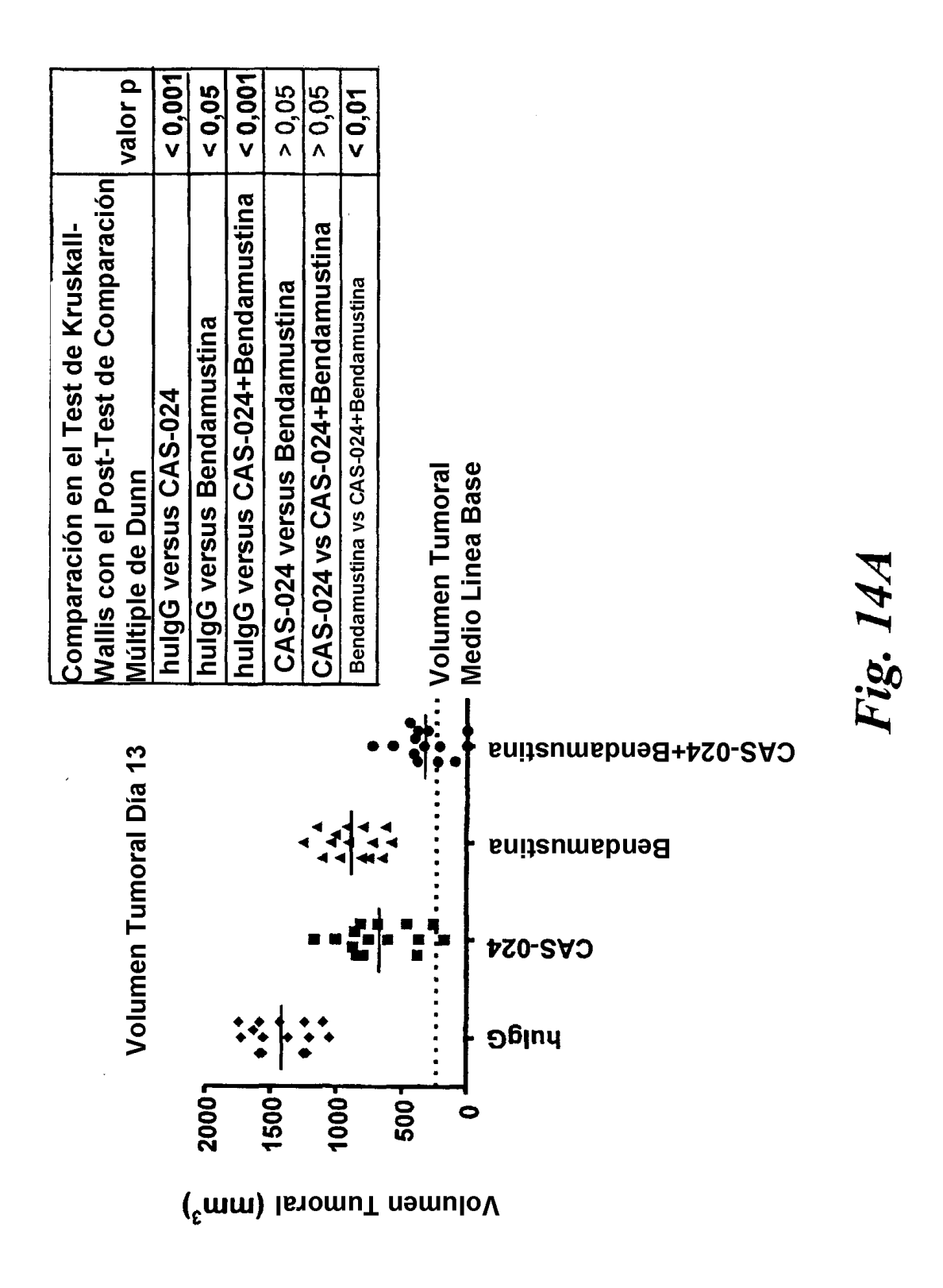
Valores del Índice de Combinación para CAS-024 + Bendamustina frente a Rec-1











valor p

< 0,05

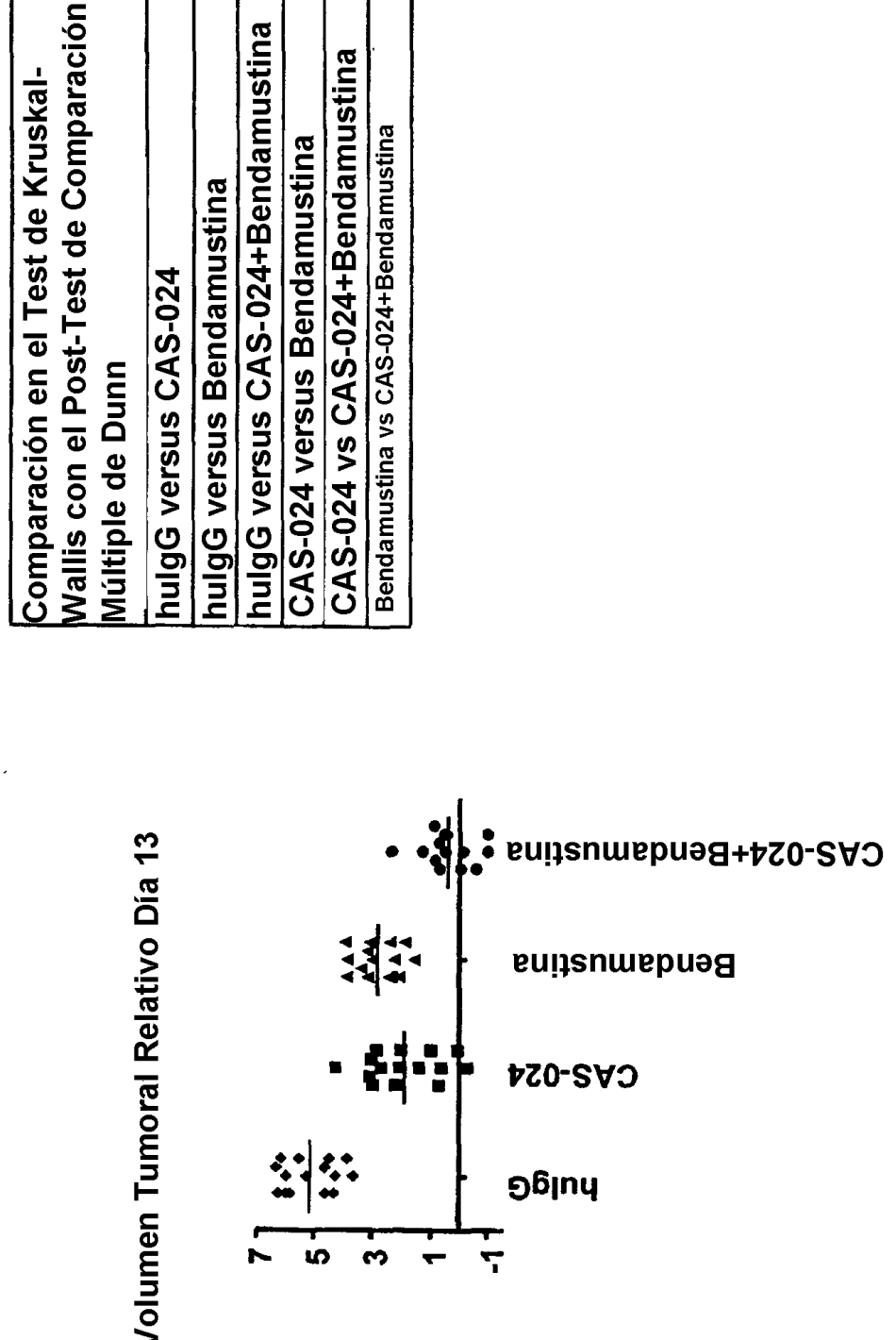
< 0,001

> 0,05

> 0,05 < 0.01

< 0,001

Fig. 14B



Volumen Tumoral Relativo Día 13 Volumen Tumoral Relativo **(mm**³)

